

การสร้างและการประยุกต์ระบบควบคุมอัจฉริยะฟัซซีพีเอสแควร์ไอดี

IMPLEMENTATION AND APPLICATION OF GENO-FUZZY P²ID
CONTROL SYSTEMS

ธีรนนท์ ตังเจริญสุข

TERANUN TANGCHAROENSUK

วิทยานิพนธ์นี้เป็นส่วนหนึ่งของการศึกษาตามหลักสูตรปริญญาวิศวกรรมศาสตรมหาบัณฑิต

สาขาวิชาวิศวกรรมสารสนเทศ

บัณฑิตวิทยาลัย

สถาบันเทคโนโลยีพระจอมเกล้าเจ้าคุณทหารลาดกระบัง

พ.ศ. 2550

สำนักหอสมุดกลาง พระจอมเกล้าลาดกระบัง

การสร้างและการประยุกต์ระบบควบคุมจิ้นฟัซซี่พีดี

IMPLEMENTATION AND APPLICATION OF GENO-FUZZY P²ID
CONTROL SYSTEMS

ธีรนนท์ ตั้งเจริญสุข

TERANUN TANGCHAROENSUK

เลขหมู่.....
เลขทะเบียน..... 74563
วัน,เดือน,ปี..... - 3 ต.ค. 2550

วิทยานิพนธ์นี้เป็นส่วนหนึ่งของการศึกษาตามหลักสูตรปริญญาวิศวกรรมศาสตรมหาบัณฑิต

สาขาวิชาวิศวกรรมสารสนเทศ

บัณฑิตวิทยาลัย

สถาบันเทคโนโลยีพระจอมเกล้าเจ้าคุณทหารลาดกระบัง

พ.ศ. 2550

**IMPLEMENTATION AND APPLICATION OF GENO-FUZZY P²ID
CONTROL SYSTEMS**

TERANUN TANGCHAROENSUK

**A THESIS SUBMITTED IN PARTIAL FULFILLMENT
OF THE REQUIREMENT FOR THE DEGREE OF
MASTER OF ENGINEERING IN INFORMATION ENGINEERING
SCHOOL OF GRADUATE STUDIES
KING MOMGKUT'S INSTITUTE OF TECHNOLOGY LADKRABANG**

2007

COPYRIGHT 2007

SCHOOL OF GRADUATE STUDIES

KING MONGKUT'S INSTITUTE OF TECHNOLOGY LADKRABANG

หัวข้อวิทยานิพนธ์	การสร้างและการประยุกต์ระบบควบคุมจีโนฟัซซีพีสแควร์ไอดี
นักศึกษา	นายธีรนนท์ ตั้งเจริญสุข
รหัสนักศึกษา	46061310
ปริญญา	วิศวกรรมศาสตรมหาบัณฑิต
สาขาวิชา	วิศวกรรมสารสนเทศ
พ.ศ.	2550
อาจารย์ที่ปรึกษาวิทยานิพนธ์	รศ.ดร. ปิติเขต สุรักษา

บทคัดย่อ

งานวิจัยนี้นำเสนอการสร้างและการประยุกต์ตัวควบคุมแบบ Fuzzy P²ID Controller ที่ปรับค่าพารามิเตอร์ให้เหมาะสมด้วยวิธีการทางพันธุศาสตร์ (Genetic Algorithms) เรียกระบบนี้ว่า Geno-fuzzy P²ID Control Systems และประยุกต์ใช้งานจริงกับหุ่นยนต์แบบข้อต่ออ่อนตัว (Flexible joint robot arm) อีกทั้งยังทดสอบประสิทธิภาพของระบบควบคุมดังกล่าวโดยการเพิ่มสัญญาณรบกวนอลวน (Chaos) เข้ามาในระบบ ซึ่งจากการจำลองผลด้วยคอมพิวเตอร์และจากการทดลองนั้นพบว่า การควบคุมหุ่นยนต์แบบข้อต่ออ่อนตัวโดยใช้ตัวควบคุมแบบ Fuzzy P²ID Controller ที่ปรับค่าพารามิเตอร์ด้วยวิธีการทางพันธุศาสตร์นั้น ให้ผลตอบสนองที่รวดเร็วและแม่นยำกว่าการปรับแต่งค่าพารามิเตอร์ของตัวควบคุมโดยผู้ใช้และยังสามารถกำจัดสัญญาณรบกวนอลวนได้เป็นอย่างดี

Thesis Title	Implementation and Application of Geno-fuzzy P ² ID Control Systems
Student	Mr. Teranun Tangcharoensuk
Student ID.	46061310
Degree	Master of Engineering
Program	Information Engineering
Year	2007
Thesis Advisor	Asst. Prof. Dr. Pitikhate Sooraksa

ABSTRACT

This thesis proposes implementation and application of a geno-fuzzy P²ID controller, which is a fuzzy P²ID controller tuning automatically by using genetic algorithm. The controlled system is then applied for controlling a flexible joint robot arm in the presence of chaotic disturbance. According to computer simulation and experimental results, the implementation is successfully valid. The finding indicates that the geno-fuzzy controller outperforms the manual tuning. In addition, the controlled system is effectively able to cope with the chaotic disturbance.

กิตติกรรมประกาศ

วิทยานิพนธ์ฉบับนี้สำเร็จลุล่วงได้อย่างดี ด้วยคำแนะนำและให้คำปรึกษาเกี่ยวกับแนวคิดหลักการ ในการประยุกต์ใช้ตัวควบคุมสำหรับระบบควบคุมจริงให้มีความถูกต้อง ข้อคิดเห็น คำเสนอแนะอันมีค่า และให้คำปรึกษาที่มีประโยชน์แก่ข้าพเจ้า ตลอดจนช่วยแก้ไขปัญหาต่างๆ รวมถึงการตรวจทานแก้ไขวิทยานิพนธ์ฉบับนี้จนสำเร็จสมบูรณ์จาก รศ.ดร. ปิติเขต สุริรักษา ซึ่งเป็นอาจารย์ผู้ควบคุมวิทยานิพนธ์ ข้าพเจ้าขอกราบขอบพระคุณเป็นอย่างสูง

ขอกราบขอบพระคุณคณาจารย์ทุกท่านที่ได้ประสาทความรู้ให้แก่ข้าพเจ้าตลอดระยะเวลาของการเรียนจนกระทั่งข้าพเจ้ามีโอกาสประสบความสำเร็จ

ขอกราบขอบพระคุณบิดา มารดาของข้าพเจ้า ที่ให้การสนับสนุน และให้กำลังใจในการเรียน และการทำวิจัยเป็นอย่างดีตลอดมา

สุดท้ายนี้ขอขอบคุณเพื่อน ๆ พี่ ๆ นักศึกษาปริญญาโทที่ให้คำแนะนำเป็นอย่างดีตลอดมา ขอขอบคุณพี่ ๆ น้องๆ บริษัท DTAC ฝ่าย Core network แผนก Implementation and Improvement ที่ให้กำลังใจจนสามารถทำงานวิจัยได้เป็นผลสำเร็จในที่สุดซึ่งคุณค่าและประโยชน์อันพึงมีจากวิทยานิพนธ์ฉบับนี้ ผู้วิจัยขอมอบแด่ผู้มีพระคุณทุกท่าน

ธีรนนท์ ตั้งเจริญสุข

สารบัญ

	หน้า
บทคัดย่อภาษาไทย.....	I
บทคัดย่อภาษาอังกฤษ.....	II
กิตติกรรมประกาศ.....	III
สารบัญ.....	IV
สารบัญตาราง.....	IX
สารบัญรูป.....	X
บทที่1 บทนำ	1
1.1 ความเป็นมาและความสำคัญของงานวิจัย.....	1
1.2 วัตถุประสงค์ของงานวิจัย.....	2
1.3 สมมุติฐานเบื้องต้น.....	2
1.4 ทฤษฎีหรือแนวความคิดที่ใช้ในการวิจัย.....	2
1.5 ขอบเขตของงานวิจัย.....	2
1.6 ขั้นตอนของงานวิจัย.....	2
บทที่2 การทดลองเบื้องต้น	4
2.1 ตัวควบคุมแบบพีซีซีพีดี.....	4
2.1.1 การออกแบบตัวควบคุมแบบพีซีซีพีดี.....	4
2.1.2 การทำพีซีซีพีเคชั่น.....	6
2.1.3 การกำหนดกฎของพีซีซีพีดี.....	7
2.1.4 การทำดีพีซีซีพีเคชั่นของพีซีซีพีดี.....	9
2.2 ตัวควบคุมแบบพีซีซีพีไอ.....	10
2.2.1 การออกแบบตัวควบคุมแบบพีซีซีพีไอ.....	10
2.2.2 การทำพีซีซีพีเคชั่น.....	12
2.2.3 การกำหนดกฎของพีซีซีพีไอ.....	13
2.2.4 การทำดีพีซีซีพีเคชั่นของพีซีซีพีไอ.....	15
2.3 ตัวควบคุมแบบพีซีซีพีแอสควร์ไอดี.....	16

สารบัญ (ต่อ)

	หน้า
บทที่3 กระบวนการทางพันธุศาสตร์.....	19
3.1 การแทนที่ประชากร.....	20
3.2 ฟังก์ชันเป้าหมายและฟังก์ชันฟิตเนส.....	21
3.3 การคัดเลือก.....	22
3.3.1การคัดเลือกแบบยูนิเวอร์ซอลโดยสุ่ม.....	23
3.4 การรวมตัวของยีน.....	23
3.4.1การรวมตัวของยีน โดยใช้ค่าจริง.....	23
3.5 การกลายพันธุ์.....	24
3.6 การแทนที่.....	24
บทที่4 ผลการจำลองและการทดลอง.....	26
4.1 แบบจำลองแขนกลแบบข้อต่ออ่อนตัว.....	26
4.1.1 สมการทางคณิตศาสตร์ของแขนกลแบบข้อต่ออ่อนตัว.....	26
4.1.2 สมการปริภูมิสถานะ(State-Space).....	27
4.2 การจำลองการควบคุมแขนกลข้อต่ออ่อนตัวด้วยคอมพิวเตอร์.....	28
4.2.1 การเปรียบเทียบผลตอบสนองของตัวควบคุมฟuzzyฟิสแควร์ไอดี ปรับแต่งค่าพารามิเตอร์โดยผู้ใช้ที่ไม่มีทักษะและความชำนาญของ แบบจำลองแขนกลแบบข้อต่ออ่อนตัว โดยกำหนดค่าเป้า หมายไว้ที่ 70, 80, 90 องศา.....	28
4.2.2 การเปรียบเทียบผลตอบสนองของตัวควบคุมฟuzzyฟิสแควร์ไอดี ปรับแต่งค่าพารามิเตอร์โดยผู้ใช้ที่มีทักษะและความชำนาญกับการ ปรับแต่งค่าพารามิเตอร์ด้วยวิธีการทางพันธุศาสตร์ของแบบจำลอง แขนกลแบบข้อต่ออ่อนตัว โดยกำหนดค่าเป้าหมายไว้ที่ 70, 80, 90 องศา.....	32
4.2.3 การทดสอบประสิทธิภาพของตัวควบคุมฟuzzyฟิสแควร์ไอดีที่ปรับ ค่าพารามิเตอร์ให้เหมาะสมด้วยวิธีการทางพันธุศาสตร์.....	37

สารบัญ (ต่อ)

	หน้า
4.3 อุปกรณ์ที่ใช้ในการทดลอง.....	47
4.4 การทำงานของระบบ.....	47
4.5 การทดลองระบบจริง.....	48
4.5.1 ผลตอบสนองระบบจริงของตัวควบคุมพีชชีฟิสแควร์ไอดีปรับแต่ง ค่าพารามิเตอร์โดยผู้ใช้ที่ไม่มีทักษะและความชำนาญของแขนกล แบบข้อต่ออ่อนตัวโดยกำหนดค่าเป้าหมายไว้ที่ 70, 80, 90 องศา....	49
4.5.2 ผลตอบสนองระบบจริงของตัวควบคุมพีชชีฟิสแควร์ไอดีปรับแต่ง ค่าพารามิเตอร์โดยผู้ใช้ที่มีทักษะและความชำนาญของแบบแขนกล แบบข้อต่ออ่อนตัวโดยกำหนดค่าเป้าหมายไว้ที่ 70, 80, 90 องศา.....	54
4.5.3 ผลตอบสนองระบบจริงของตัวควบคุมพีชชีฟิสแควร์ไอดีปรับแต่ง ค่าพารามิเตอร์ด้วยวิธีการทางพันธุศาสตร์ของแบบแขนกลแบบข้อ ต่ออ่อนตัวโดยกำหนดค่าเป้าหมายไว้ที่ 70, 80, 90 องศา.....	59
4.5.4 ผลตอบสนองระบบจริงของตัวควบคุมพีชชีฟิสแควร์ไอดีปรับแต่ง ค่าพารามิเตอร์ด้วยวิธีการทางพันธุศาสตร์ของแบบแขนกลแบบข้อต่อ อ่อนตัวขณะเพิ่มสัญญาณรบกวนอลวน logistic map โดยกำหนด ค่าเป้าหมายไว้ที่ 70, 80, 90 องศา.....	64
4.5.5 ผลตอบสนองระบบจริงของตัวควบคุมพีชชีฟิสแควร์ไอดีปรับแต่ง ค่าพารามิเตอร์ด้วยวิธีการทางพันธุศาสตร์ของแขนกลแบบข้อต่อ อ่อนตัวขณะจัดสัญญาณรบกวนอลวน logistic map โดยกำหนด ค่าเป้าหมายไว้ที่ 70, 80, 90 องศา.....	70
4.5.6 ผลตอบสนองระบบจริงแบบ dynamics ของตัวควบคุมพีชชีฟิสแควร์ ไอดีปรับแต่งค่าพารามิเตอร์โดยผู้ใช้ที่ไม่มีทักษะ และความชำนาญ ของแขนกลแบบข้อต่ออ่อนตัวโดยกำหนดค่าเป้าหมายให้เปลี่ยน แปลงจาก 90, 70, 80 องศา.....	75

สารบัญ (ต่อ)

หน้า

4.5.7 ผลตอบสนองระบบจริงแบบ dynamics ของตัวควบคุมพีชชีพี สแควร์ไอดีปรับแต่งค่าพารามิเตอร์โดยผู้ใช้ที่มีทักษะและความ ชำนาญของแขนกลแบบข้อต่ออ่อนตัว โดยกำหนดค่าเป้าหมาย ให้เปลี่ยนแปลงจาก 90, 70, 80 องศา.....	77
4.5.8 ผลตอบสนองระบบจริงแบบ dynamics ของตัวควบคุมพีชชีพี สแควร์ไอดีปรับแต่งค่าพารามิเตอร์ด้วยวิธีการทางพันธุศาสตร์ ของแขนกลแบบข้อต่ออ่อนตัว โดยกำหนดค่าเป้าหมายให้ เปลี่ยนแปลงจาก 90, 70, 80 องศา.....	79
4.5.9 ผลตอบสนองระบบจริงแบบ dynamics ของตัวควบคุมพีชชีพี สแควร์ไอดีปรับแต่งค่าพารามิเตอร์ด้วยวิธีการทางพันธุศาสตร์ ขณะเพิ่มสัญญาณรบกวนลอจิสติก map ของแขนกลแบบ ข้อต่ออ่อนตัว โดยกำหนดค่าเป้าหมายให้เปลี่ยนแปลงจาก 90, 70, 80 องศา.....	81
4.5.10 ผลตอบสนองระบบจริงแบบ dynamics ของตัวควบคุมพีชชีพี สแควร์ไอดีปรับแต่งค่าพารามิเตอร์ด้วยวิธีการทางพันธุศาสตร์ ขณะจัดสัญญาณรบกวนลอจิสติก map ของแขนกลแบบ ข้อต่ออ่อนตัว โดยกำหนดค่าเป้าหมายให้เปลี่ยนแปลงจาก 90, 70, 80 องศาตามลำดับ.....	83
บทที่ 5 สรุปผลการวิจัยและข้อเสนอแนะ.....	86
5.1 สรุปผลการทดลอง.....	86
5.2 ข้อเสนอแนะในการวิจัย.....	86
5.3 ปัญหาที่พบในงานวิจัย.....	87
5.4 แนวทางพัฒนาในอนาคต.....	87

สารบัญ (ต่อ)

	หน้า
เอกสารอ้างอิง.....	88
ภาคผนวก ก การควบคุมความเร็วมอเตอร์.....	91
ภาคผนวก ข ผลงานทางวิชาการที่ได้รับการตีพิมพ์.....	95
ประวัติผู้เขียน.....	100

สารบัญตาราง

ตารางที่	หน้า
2.1 กฎของตัวควบคุมแบบพีชชีพีดี.....	8
2.2 กฎของตัวควบคุมแบบพีชชีพีไอ.....	14
4.1 ค่าพารามิเตอร์ของตัวควบคุมพีชชีพีสแควร์ไอดีที่ไม่ได้ปรับค่าพารามิเตอร์โดยผู้ใช้ที่ไม่มีทักษะและความชำนาญ.....	28
4.2 ผลการวัดค่าประสิทธิภาพของการใช้ตัวควบคุมพีชชีพีสแควร์ไอดีที่ปรับค่าพารามิเตอร์โดยผู้ใช้ที่ไม่มีทักษะและความชำนาญโดยจำลองด้วยคอมพิวเตอร์.....	30
4.3 ค่าพารามิเตอร์ของตัวควบคุมพีชชีพีสแควร์ไอดีที่ปรับค่าพารามิเตอร์โดยผู้ใช้ที่มีทักษะและความชำนาญ.....	33
4.4 ค่าพารามิเตอร์ของตัวควบคุมพีชชีพีสแควร์ไอดีที่ปรับค่าพารามิเตอร์ด้วยวิธีการทางพันธุศาสตร์.....	33
4.5 ผลการวัดค่าประสิทธิภาพของการใช้ตัวควบคุมแบบพีชชีพีสแควร์ไอดีที่ปรับค่าพารามิเตอร์ให้เหมาะสมด้วยวิธีการทางพันธุศาสตร์โดยจำลองด้วยคอมพิวเตอร์.....	35
4.6 ผลการวัดค่าประสิทธิภาพของการใช้ตัวควบคุมพีชชีพีสแควร์ไอดีที่ปรับค่าพารามิเตอร์ให้เหมาะสมด้วยวิธีการทางพันธุศาสตร์ซึ่งทำการเพิ่มสัญญาณรบกวนอลวน logistic map โดยจำลอง โดยคอมพิวเตอร์.....	40
4.7 ค่าพารามิเตอร์ของตัวควบคุมพีชชีพีสแควร์ไอดีที่ปรับค่าพารามิเตอร์ให้เหมาะสมด้วยวิธีการทางพันธุศาสตร์ของแบบจำลองแขนกลแบบข้อต่ออ่อนตัวที่จัดสัญญาณรบกวนอลวนในรูป logistic map แล้ว.....	43
4.8 ผลการวัดค่าประสิทธิภาพของการใช้ตัวควบคุมพีชชีพีสแควร์ไอดีที่ปรับค่าพารามิเตอร์ให้เหมาะสมด้วยวิธีการทางพันธุศาสตร์โดยจัดสัญญาณรบกวนอลวน logistic map โดยจำลอง โดยคอมพิวเตอร์.....	46

สารบัญรูป

รูปที่	หน้า
2.1 ระบบควบคุมอนาล็อกพีดีแบบดั้งเดิม.....	4
2.2 ระบบควบคุมดิจิทัลพีดีแบบดั้งเดิม.....	6
2.3 ระบบควบคุมแบบพีซีพีดี.....	6
2.4 ฟังก์ชันสมาชิกของอินพุตของตัวควบคุมพีซีแบบพีดี.....	7
2.5 ฟังก์ชันสมาชิกของเอาต์พุตของตัวควบคุมพีซีแบบพีดี.....	7
2.6 ผลตอบสนองที่ใช้กำหนดกฎของพีซีพีดี.....	8
2.7 แสดงพื้นที่ทั้งหมดของพีซีพีดี.....	9
2.8 ระบบควบคุมอนาล็อกพีไอแบบดั้งเดิม.....	10
2.9 ระบบควบคุมดิจิทัลพีไอแบบดั้งเดิม.....	12
2.10 ระบบควบคุมแบบพีซีพีไอ.....	12
2.11 ฟังก์ชันสมาชิกของอินพุตของตัวควบคุมพีซีแบบพีไอ.....	13
2.12 ฟังก์ชันสมาชิกของเอาต์พุตของตัวควบคุมพีซีแบบพีไอ.....	13
2.13 ผลตอบสนองที่ใช้กำหนดกฎของพีซีพีไอ.....	14
2.14 แสดงพื้นที่ทั้งหมดของพีซีพีไอ.....	15
2.15 ระบบควบคุมแบบพีซีพีแอสควร์ไอดี.....	17
2.16 วิธีเอาต์พุตเทียบกับเวลา.....	18
2.17 วิธีค่าความผิดพลาดบนระนาบเฟส.....	18
3.1 โครงสร้างกระบวนการทางพันธุศาสตร์.....	20
3.2 วิธีการคัดเลือกแบบยูนิเวอร์ซอลโดยสุ่ม.....	23
3.3 โพลีชาร์ตโปรแกรมทางพันธุศาสตร์ของตัวควบคุมพีซีพีแอสควร์ไอดี.....	25
4.1 แบบจำลองแกนกลแบบข้อต่ออ่อนตัวขณะการเปลี่ยนแปลงตามเวลา.....	26
4.2 ผลจำลองการตอบสนองการควบคุมตำแหน่งมอเตอร์ของแกนกลแบบข้อต่ออ่อนตัว ด้วยคอมพิวเตอร์ค่าเป้าหมายที่ 70 องศา ปรับแต่งค่าพารามิเตอร์ โดยผู้ใช้ที่ไม่มีทักษะ.....	29

สารบัญรูป(ต่อ)

รูปที่	หน้า
4.3 ผลจำลองการตอบสนองการควบคุมตำแหน่งมอเตอร์ของแขนกลแบบข้อต่อ อ่อนตัวด้วยคอมพิวเตอร้ค่าเป้าหมายที่ 80 องศา ปรับแต่งค่าพารามิเตอร์ โดยผู้ใช้ที่ไม่มีทักษะ.....	29
4.4 ผลจำลองการตอบสนองการควบคุมตำแหน่งมอเตอร์ของแขนกลแบบข้อต่อ อ่อนตัวด้วยคอมพิวเตอร้ค่าเป้าหมายที่ 90 องศา ปรับแต่งค่าพารามิเตอร์ โดยผู้ใช้ที่ไม่มีทักษะ.....	30
4.5 ระบายเฟสความผิดพลาดที่สอดคล้องกับผลตอบสนองของการควบคุมตำแหน่ง มอเตอร์ของแขนกลแบบข้อต่ออ่อนตัวด้วยคอมพิวเตอร้ค่าเป้าหมายที่ 70 องศา ของรูปที่ 4.2.....	31
4.6 ระบายเฟสความผิดพลาดที่สอดคล้องกับผลตอบสนองของการควบคุมตำแหน่ง มอเตอร์ของแขนกลแบบข้อต่ออ่อนตัวด้วยคอมพิวเตอร้ค่าเป้าหมายที่ 80 องศา ของรูปที่ 4.3.....	31
4.7 ระบายเฟสความผิดพลาดที่สอดคล้องกับผลตอบสนองของการควบคุมตำแหน่ง มอเตอร์ของแขนกลแบบข้อต่ออ่อนตัวด้วยคอมพิวเตอร้ค่าเป้าหมายที่ 90 องศา ของรูปที่ 4.4.....	32
4.8 การเปรียบเทียบผลจำลองการตอบสนองการควบคุมตำแหน่งมอเตอร์ของแขนกล แบบข้อต่ออ่อนตัวด้วยคอมพิวเตอร้ค่าเป้าหมายที่ 70 องศา ระหว่างการปรับแต่ง พารามิเตอร์โดยผู้ใช้ที่มีทักษะกับการใช้วิธีการทางพันธุศาสตร์.....	34
4.9 การเปรียบเทียบผลจำลองการตอบสนองการควบคุมตำแหน่งมอเตอร์ของแขนกล แบบข้อต่ออ่อนตัวด้วยคอมพิวเตอร้ค่าเป้าหมายที่ 80 องศา ระหว่างการปรับแต่ง พารามิเตอร์โดยผู้ใช้ที่มีทักษะกับการใช้วิธีการทางพันธุศาสตร์.....	34
4.10 การเปรียบเทียบผลจำลองการตอบสนองการควบคุมตำแหน่งมอเตอร์ของแขนกล แบบข้อต่ออ่อนตัวด้วยคอมพิวเตอร้ค่าเป้าหมายที่ 90 องศา ระหว่างการปรับแต่ง พารามิเตอร์โดยผู้ใช้ที่มีทักษะกับการใช้วิธีการทางพันธุศาสตร์.....	35

สารบัญรูป(ต่อ)

รูปที่	หน้า
4.11 ระนาบเฟสความผิดพลาดที่สอดคล้องกับผลตอบสนองของการควบคุมตำแหน่งมอเตอร์ของแกนกลแบบข้อต่ออ่อนตัวด้วยคอมพิวเตอรืค่าเป้าหมายที่ 70 องศาของรูปที่ 4.8.....	36
4.12 ระนาบเฟสความผิดพลาดที่สอดคล้องกับผลตอบสนองของการควบคุมตำแหน่งมอเตอร์ของแกนกลแบบข้อต่ออ่อนตัวด้วยคอมพิวเตอรืค่าเป้าหมายที่ 80 องศาของรูปที่ 4.9.....	36
4.13 ระนาบเฟสความผิดพลาดที่สอดคล้องกับผลตอบสนองของการควบคุมตำแหน่งมอเตอร์ของแกนกลแบบข้อต่ออ่อนตัวด้วยคอมพิวเตอรืค่าเป้าหมายที่ 90 องศาของรูปที่ 4.10.....	37
4.14 สัญญาณอลวนในรูป logistic map.....	38
4.15 ผลการจำลองการตอบสนองการควบคุมตำแหน่งมอเตอร์ของแกนกลแบบข้อต่ออ่อนตัวด้วยคอมพิวเตอรืขณะมีสัญญาณรบกวนอลวน logistic map ค่าเป้าหมายที่ 70 องศา.....	39
4.16 ผลการจำลองการตอบสนองการควบคุมตำแหน่งมอเตอร์ของแกนกลแบบข้อต่ออ่อนตัวด้วยคอมพิวเตอรืขณะมีสัญญาณรบกวนอลวน logistic map ค่าเป้าหมายที่ 80 องศา.....	39
4.17 ผลการจำลองการตอบสนองการควบคุมตำแหน่งมอเตอร์ของแกนกลแบบข้อต่ออ่อนตัวด้วยคอมพิวเตอรืขณะมีสัญญาณรบกวนอลวน logistic map ค่าเป้าหมายที่ 90 องศา.....	40
4.18 ระนาบเฟสความผิดพลาดที่สอดคล้องกับผลตอบสนองของการควบคุมตำแหน่งมอเตอร์ของแกนกลแบบข้อต่ออ่อนตัวด้วยคอมพิวเตอรืขณะมีสัญญาณรบกวนอลวนค่าเป้าหมายที่ 70 องศา ของรูปที่ 4.15.....	41
4.19 ระนาบเฟสความผิดพลาดที่สอดคล้องกับผลตอบสนองของการควบคุมตำแหน่งมอเตอร์ของแกนกลแบบข้อต่ออ่อนตัวด้วยคอมพิวเตอรืขณะมีสัญญาณรบกวนอลวนค่าเป้าหมายที่ 80 องศา ของรูปที่ 4.16.....	41

สารบัญญรูป(ต่อ)

รูปที่	หน้า
4.20 ระนาบเฟสความผิดพลาดที่สอดคล้องกับผลตอบสนองของการควบคุมตำแหน่งมอเตอร์ของแขนกลแบบข้อต่ออ่อนตัวด้วยคอมพิวเตอร์ขณะมีสัญญาณรบกวนอลวนค่าเป้าหมายที่ 90 องศา ของรูปที่ 4.17.....	42
4.21 ผลการจำลองการตอบสนองการควบคุมตำแหน่งมอเตอร์ของแขนกลแบบข้อต่ออ่อนตัวด้วยคอมพิวเตอร์ขณะขจัดสัญญาณรบกวน logistic map ค่าเป้าหมายที่ 70 องศา.....	43
4.22 ผลการจำลองการตอบสนองการควบคุมตำแหน่งมอเตอร์ของแขนกลแบบข้อต่ออ่อนตัวด้วยคอมพิวเตอร์ขณะขจัดสัญญาณรบกวน logistic map ค่าเป้าหมายที่ 80 องศา.....	44
4.23 ผลการจำลองการตอบสนองการควบคุมตำแหน่งมอเตอร์ของแขนกลแบบข้อต่ออ่อนตัวด้วยคอมพิวเตอร์ขณะขจัดสัญญาณรบกวน logistic map ค่าเป้าหมายที่ 90 องศา.....	44
4.24 ระนาบเฟสความผิดพลาดที่สอดคล้องกับผลตอบสนองของการควบคุมตำแหน่งมอเตอร์ของแขนกลแบบข้อต่ออ่อนตัวด้วยคอมพิวเตอร์ขณะมีสัญญาณรบกวนอลวนค่าเป้าหมาย ที่ 70 องศา ของรูปที่ 4.21.....	45
4.25 ระนาบเฟสความผิดพลาดที่สอดคล้องกับผลตอบสนองของการควบคุมตำแหน่งมอเตอร์ของแขนกลแบบข้อต่ออ่อนตัวด้วยคอมพิวเตอร์ขณะมีสัญญาณรบกวนอลวนค่าเป้าหมายที่ 80 องศา ของรูปที่ 4.22.....	45
4.26 ระนาบเฟสความผิดพลาดที่สอดคล้องกับผลตอบสนองของการควบคุมตำแหน่งมอเตอร์ของแขนกลแบบข้อต่ออ่อนตัวด้วยคอมพิวเตอร์ขณะมีสัญญาณรบกวนอลวนค่าเป้าหมายที่ 90 องศา ของรูปที่ 4.23.....	46
4.27 บล็อกการทำงานของระบบแขนกลแบบข้อต่ออ่อนตัว.....	47
4.28 แขนกลแบบข้อต่ออ่อนตัวที่ใช้ทดลองจริง.....	48
4.29 ผลทดลองระบบจริงการตอบสนองการควบคุมตำแหน่งมอเตอร์ของแขนกลแบบข้อต่ออ่อนตัวค่าเป้าหมายที่ 70 องศา ปรับแต่งค่าพารามิเตอร์โดยผู้ใช้ที่ไม่มีทักษะ.....	49

สารบัญรูป(ต่อ)

รูปที่	หน้า
4.30 ผลทดลองระบบจริงการตอบสนองการควบคุมตำแหน่งมอเตอร์ของแกนกลแบบข้อต่ออ่อนตัวค่าเป้าหมายที่ 80 องศา ปรับแต่งค่าพารามิเตอร์โดยผู้ใช้ที่ไม่มีทักษะ.....	50
4.31 ผลทดลองระบบจริงการตอบสนองการควบคุมตำแหน่งมอเตอร์ของแกนกลแบบ ข้อต่ออ่อนตัวค่าเป้าหมายที่ 90 องศา ปรับแต่งค่าพารามิเตอร์โดยผู้ใช้ที่ไม่มีทักษะ.....	50
4.32 ผลสัญญาณควบคุมตำแหน่งมอเตอร์ของแกนกลแบบข้อต่ออ่อนตัวค่าเป้าหมายที่ 70 องศา ของรูปที่ 4.29.....	51
4.33 ระนาบเฟสความผิดพลาดของระบบจริงที่สอดคล้องกับการตอบสนองการควบคุมตำแหน่งมอเตอร์ของแกนกลแบบข้อต่ออ่อนตัวค่าเป้าหมายที่ 70 องศา ของรูปที่ 4.29.....	51
4.34 ผลสัญญาณควบคุมตำแหน่งมอเตอร์ของ แกนกลแบบข้อต่ออ่อนตัวค่าเป้าหมายที่ 80องศา ของรูปที่ 4.30.....	52
4.35 ระนาบเฟสความผิดพลาดของระบบจริงที่สอดคล้องกับการตอบสนองการควบคุมตำแหน่งมอเตอร์ของแกนกลแบบข้อต่ออ่อนตัวค่าเป้าหมายที่ 80 องศา ของรูปที่ 4.30.....	52
4.36 ผลการควบคุมตำแหน่งมอเตอร์ของแกนกลแบบข้อต่ออ่อนตัวค่าเป้าหมายที่ 90 องศา ของรูปที่ 4.31.....	53
4.37 ระนาบเฟสความผิดพลาดของระบบจริงที่สอดคล้องกับการตอบสนองการควบคุม ตำแหน่งมอเตอร์ของแกนกลแบบข้อต่ออ่อนตัวค่าเป้าหมายที่ 90 องศา ของรูปที่ 4.31.....	53
4.38 ผลทดลองระบบจริงการตอบสนองการควบคุมตำแหน่งมอเตอร์ของแกนกลแบบข้อต่ออ่อนตัวค่าเป้าหมายที่ 70 องศา ปรับแต่งค่าพารามิเตอร์โดยผู้ใช้ที่มีทักษะ.....	54

สารบัญรูป(ต่อ)

รูปที่	หน้า
4.39 ผลทดลองระบบจริงการตอบสนองการควบคุมตำแหน่งมอเตอร์ของแขนกลแบบข้อต่ออ่อนตัวค่าเป้าหมายที่ 80 องศา ปรับแต่งค่าพารามิเตอร์โดยผู้ใช้ที่มีทักษะ.....	55
4.40 ผลทดลองระบบจริงการตอบสนองการควบคุมตำแหน่งมอเตอร์ของแขนกลแบบข้อต่ออ่อนตัวค่าเป้าหมายที่ 90 องศา ปรับแต่งค่าพารามิเตอร์โดยผู้ใช้ที่มีทักษะ.....	56
4.41 ผลสัญญาณการควบคุมตำแหน่งมอเตอร์ของแขนกลแบบข้อต่ออ่อนตัวค่าเป้าหมายที่ 70 องศา ของรูปที่ 4.38.....	56
4.42 ระนาบเฟสความผิดพลาดของระบบจริงที่สอดคล้องกับการตอบสนองการควบคุมตำแหน่งมอเตอร์ของแขนกลแบบข้อต่ออ่อนตัวค่าเป้าหมายที่ 70 องศา ของรูปที่ 4.38.....	56
4.43 ผลสัญญาณการควบคุมตำแหน่งมอเตอร์ของแขนกลแบบข้อต่ออ่อนตัวค่าเป้าหมายที่ 80 องศา ของรูปที่ 4.39.....	57
4.44 ระนาบเฟสความผิดพลาดของระบบจริงที่สอดคล้องกับการตอบสนองการควบคุมตำแหน่งมอเตอร์ของแขนกลแบบข้อต่ออ่อนตัวค่าเป้าหมายที่ 80 องศา ของรูปที่ 4.39.....	57
4.45 ผลสัญญาณการควบคุมตำแหน่งมอเตอร์ของแขนกลแบบข้อต่ออ่อนตัวค่าเป้าหมายที่ 90 องศา ของรูปที่ 4.40.....	58
4.46 ระนาบเฟสความผิดพลาดของระบบจริงที่สอดคล้องกับการตอบสนองการควบคุมตำแหน่งมอเตอร์ของแขนกลแบบข้อต่ออ่อนตัวค่าเป้าหมายที่ 90 องศา ของรูปที่ 4.40.....	58
4.47 ผลทดลองระบบจริงการตอบสนองการควบคุมตำแหน่งมอเตอร์ของแขนกลแบบข้อต่ออ่อนตัวค่าเป้าหมายที่ 70 องศา ปรับแต่งค่าพารามิเตอร์ด้วยวิธีการทางพันธุศาสตร์.....	59

สารบัญรูป(ต่อ)

รูปที่	หน้า
4.48 ผลทดลองระบบจริงการตอบสนองการควบคุมตำแหน่งมอเตอร์ของแขนกล แบบข้อต่ออ่อนตัวค่าเป้าหมายที่ 80 องศา ปรับแต่งค่าพารามิเตอร์ ด้วยวิธีการทางพันธุศาสตร์.....	60
4.49 ผลทดลองระบบจริงการตอบสนองการควบคุมตำแหน่งมอเตอร์ของแขนกล แบบข้อต่ออ่อนตัวค่าเป้าหมายที่ 90 องศา ปรับแต่งค่าพารามิเตอร์ ด้วยวิธีการทางพันธุศาสตร์.....	60
4.50 ผลสัญญาณการตอบสนองการควบคุมตำแหน่งมอเตอร์ของแขนกล แบบข้อต่ออ่อนตัวค่าเป้าหมายที่ 70 องศา ของรูปที่ 4.47.....	61
4.51 ระนาบเฟสความผิดพลาดของระบบจริงที่สอดคล้องกับการตอบสนอง การควบคุมตำแหน่งมอเตอร์ของแขนกลแบบข้อต่ออ่อนตัว ค่าเป้าหมายที่ 70 องศา ของรูปที่ 4.47.....	61
4.52 ผลสัญญาณการควบคุมตำแหน่งมอเตอร์ของแขนกลแบบข้อต่ออ่อนตัว ค่าเป้าหมายที่ 80 องศา ของรูปที่ 4.48.....	62
4.53 ระนาบเฟสความผิดพลาดของระบบจริงที่สอดคล้องกับการตอบสนอง การควบคุมตำแหน่งมอเตอร์ของแขนกลแบบข้อต่ออ่อนตัว ค่าเป้าหมายที่ 80 องศา ของรูปที่ 4.48.....	62
4.54 ผลสัญญาณการควบคุมตำแหน่งมอเตอร์ของแขนกลแบบข้อต่ออ่อนตัว ค่าเป้าหมายที่ 90 องศา ของรูปที่ 4.49.....	63
4.55 ระนาบเฟสความผิดพลาดของระบบจริงที่สอดคล้องกับการตอบสนอง การควบคุมตำแหน่งมอเตอร์ของแขนกลแบบข้อต่ออ่อนตัว ค่าเป้าหมายที่ 90 องศา ของรูปที่ 4.49.....	63
4.56 สัญญาณรบกวนอลวน logistic map ในระบบจริง.....	64
4.57 ผลทดลองระบบจริงการตอบสนองการควบคุมตำแหน่งมอเตอร์ของแขนกล แบบข้อต่ออ่อนตัวขณะเพิ่มสัญญาณรบกวนอลวนค่าเป้าหมายที่ 70 องศา.....	65
4.58 ผลทดลองระบบจริงการตอบสนองการควบคุมตำแหน่งมอเตอร์ของแขนกล แบบข้อต่ออ่อนตัวขณะเพิ่มสัญญาณรบกวนอลวนค่าเป้าหมายที่ 80 องศา.....	65

สารบัญรูป(ต่อ)

รูปที่	หน้า
4.59 ผลทดลองระบบจริงการตอบสนองการควบคุมตำแหน่งมอเตอร์ของแขนกล แบบข้อต่ออ่อนตัวขณะเพิ่มสัญญาณรบกวนลวนค่าเป้าหมายที่ 90 องศา.....	66
4.60 ผลสัญญาณการควบคุมตำแหน่งมอเตอร์ของแขนกลแบบข้อต่ออ่อน ตัวค่าเป้าหมายที่ 70 องศา ของรูปที่ 4.57.....	67
4.61 ระนาบเฟสความผิดพลาดของระบบจริงที่สอดคล้องกับการตอบสนอง การควบคุมตำแหน่งมอเตอร์ของแขนกลแบบข้อต่ออ่อนตัว ค่าเป้าหมายที่ 70 องศา ของรูปที่ 4.57.....	67
4.62 ผลสัญญาณการควบคุมตำแหน่งมอเตอร์ของแขนกลแบบข้อต่ออ่อนตัว ค่าเป้าหมายที่ 80 องศา ของรูปที่ 4.58.....	68
4.63 ระนาบเฟสความผิดพลาดของระบบจริงที่สอดคล้องกับการตอบสนอง การควบคุมตำแหน่งมอเตอร์ของแขนกลแบบข้อต่ออ่อนตัว ค่าเป้าหมายที่ 80 องศา ของรูปที่ 4.58.....	68
4.64 ผลการควบคุมตำแหน่งมอเตอร์ของแขนกลแบบข้อต่ออ่อนตัว ค่าเป้าหมายที่ 90 องศา ของรูปที่ 4.59.....	69
4.65 ระนาบเฟสความผิดพลาดของระบบจริงที่สอดคล้องกับการตอบสนอง การควบคุมตำแหน่งมอเตอร์ของแขนกลแบบข้อต่ออ่อนตัว ค่าเป้าหมายที่ 90 องศา ของรูปที่ 4.59.....	69
4.66 ผลทดลองระบบจริงการตอบสนองการควบคุมตำแหน่งมอเตอร์ของแขนกล แบบข้อต่ออ่อนตัวขณะขจัดสัญญาณรบกวนลวนค่าเป้าหมายที่ 70 องศา.....	70
4.67 ผลทดลองระบบจริงการตอบสนองการควบคุมตำแหน่งมอเตอร์ของแขนกล แบบข้อต่ออ่อนตัวขณะขจัดสัญญาณรบกวนลวนค่าเป้าหมายที่ 80 องศา.....	71
4.68 ผลทดลองระบบจริงการตอบสนองการควบคุมตำแหน่งมอเตอร์ของแขนกล แบบข้อต่ออ่อนตัวขณะขจัดสัญญาณรบกวนลวนค่าเป้าหมายที่ 90 องศา.....	71
4.69 ผลสัญญาณทางเอาต์พุตของระบบจริงการตอบสนองการควบคุมตำแหน่ง มอเตอร์ของแขนกลแบบข้อต่ออ่อนตัวค่าเป้าหมายที่ 70 องศา ของรูปที่ 4.66.....	72

สารบัญญรูป(ต่อ)

รูปที่	หน้า
4.70 ระนาบเฟสความผิดพลาดของระบบจริงที่สอดคล้องกับการตอบสนอง การควบคุมตำแหน่งมอเตอร์ของแขนกลแบบข้อต่ออ่อนตัว ค่าเป้าหมายที่ 70 องศา ของรูปที่ 4.66.....	72
4.71 ผลสัญญาณทางเอาต์พุตของระบบจริงการตอบสนองการควบคุมตำแหน่ง มอเตอร์ของ แขนกลแบบข้อต่ออ่อนตัวค่าเป้าหมายที่ 80 องศา ของรูปที่ 4.67.....	73
4.72 ระนาบเฟสความผิดพลาดของระบบจริงที่สอดคล้องกับการตอบสนอง การควบคุมตำแหน่งมอเตอร์ของแขนกลแบบข้อต่ออ่อนตัว ค่าเป้าหมายที่ 80 องศา ของรูปที่ 4.67.....	73
4.73 ผลสัญญาณทางเอาต์พุตของระบบจริงการตอบสนองการควบคุมตำแหน่ง มอเตอร์ของแขนกลแบบข้อต่ออ่อนตัวค่าเป้าหมายที่ 90 องศา ของรูปที่ 4.68.....	74
4.74 ระนาบเฟสความผิดพลาดของระบบจริงที่สอดคล้องกับการตอบสนอง การควบคุมตำแหน่งมอเตอร์ของแขนกลแบบข้อต่ออ่อน ตัวค่าเป้าหมายที่ 90 องศา ของรูปที่ 4.68.....	74
4.75 ผลทดลองระบบจริงแบบ dynamics การควบคุมตำแหน่งมอเตอร์ของแขนกล แบบข้อต่ออ่อนตัวค่าเป้าหมายที่ 90, 70, 80 องศา ปรับแต่งค่าพารามิเตอร์ โดยผู้ใช้ที่ไม่มีทักษะ.....	75
4.76 ผลสัญญาณ dynamics การตอบสนองการควบคุมตำแหน่งมอเตอร์ของแขนกล แบบข้อต่ออ่อนตัวค่าเป้าหมายที่ 90, 70, 80 องศา ของรูปที่ 4.75.....	76
4.77 ระนาบเฟสความผิดพลาดของระบบจริงที่สอดคล้องกับการตอบสนอง การควบคุมตำแหน่งมอเตอร์ของแขนกลแบบข้อต่ออ่อนตัว ค่าเป้าหมายที่ 90, 70, 80 องศา ของรูปที่ 4.75.....	76
4.78 ผลทดลองระบบจริงแบบ dynamics การควบคุมตำแหน่งมอเตอร์ของแขนกล แบบข้อต่ออ่อนตัวค่าเป้าหมายที่ 90, 70, 80 องศา ปรับแต่งค่าพารามิเตอร์ โดยผู้ใช้ที่มีทักษะ.....	77

สารบัญรูป(ต่อ)

รูปที่	หน้า
4.79 ผลสัญญาณทางเอาต์พุตของระบบจริงแบบ dynamics การตอบสนอง การควบคุมตำแหน่งมอเตอร์ของแขนกลแบบข้อต่ออ่อนตัว ค่าเป้าหมายที่ 90, 70, 80 องศา ของรูปที่ 4.78.....	78
4.80 ระนาบเฟสความผิดพลาดของระบบจริงที่สอดคล้องกับการตอบสนอง การควบคุมตำแหน่งมอเตอร์ของแขนกลแบบข้อต่ออ่อนตัว ค่าเป้าหมายที่ 90, 70, 80 องศา ของรูปที่ 4.78.....	78
4.81 ผลทดลองระบบจริงแบบ dynamics การควบคุมตำแหน่งมอเตอร์ของแขนกล แบบข้อต่ออ่อนตัวค่าเป้าหมายที่ 90, 70, 80 องศา ปรับแต่งค่าพารามิเตอร์ ด้วยวิธีการทางพันธุศาสตร์.....	79
4.82 ผลสัญญาณทางเอาต์พุตของระบบจริงแบบ dynamics การตอบสนองการควบคุม ตำแหน่งมอเตอร์ของแขนกลแบบข้อต่ออ่อนตัวค่าเป้าหมายที่ 90, 70, 80 องศา ของรูปที่ 4.81.....	80
4.83 ระนาบเฟสความผิดพลาดของระบบจริงที่สอดคล้องกับการตอบสนองการควบคุม ตำแหน่งมอเตอร์ของแขนกลแบบข้อต่ออ่อนตัวค่าเป้าหมายที่ 90, 70, 80 องศา ของรูปที่ 4.81.....	81
4.84 ผลทดลองระบบจริงแบบ dynamics การควบคุมตำแหน่งมอเตอร์ของแขนกลแบบ ข้อต่ออ่อนตัวขณะเพิ่มสัญญาณรบกวนลวนค่าเป้าหมายที่ 90, 70, 80 องศา ปรับแต่งค่าพารามิเตอร์ด้วยวิธีการทางพันธุศาสตร์.....	81
4.85 ผลสัญญาณทางเอาต์พุตของระบบจริงแบบ dynamics การตอบสนองการควบคุม ตำแหน่งมอเตอร์ของแขนกลแบบข้อต่ออ่อนตัวค่าเป้าหมายที่ 90, 70, 80 องศา ของรูปที่ 4.84.....	82
4.86 ระนาบเฟสความผิดพลาดของระบบจริงที่สอดคล้องกับการตอบสนองการควบคุม ตำแหน่งมอเตอร์ของแขนกลแบบข้อต่ออ่อนตัวค่าเป้าหมายที่ 90, 70, 80 องศา ของรูปที่ 4.84.....	82

สารบัญรูป(ต่อ)

รูปที่	หน้า
4.87 ผลทดลองระบบจริงแบบ dynamics การควบคุมตำแหน่งมอเตอร์ของแขนกลแบบ ข้อต่ออ่อนตัวขณะขจัดสัญญาณรบกวนลดค่าเป้าหมายที่ 90, 70, 80 องศา ปรับแต่งค่าพารามิเตอร์ด้วยวิธีการทางพันธุศาสตร์.....	83
4.88 ผลสัญญาณทางเอาต์พุตของระบบจริงแบบ dynamics การตอบสนองการควบคุม ตำแหน่งมอเตอร์ของแขนกลแบบข้อต่ออ่อนตัวค่าเป้าหมายที่ 90, 70, 80 องศา ของรูปที่ 4.87.....	84
4.89 ระนาบเฟสความผิดพลาดของระบบจริงที่สอดคล้องกับการตอบสนองการควบคุม ตำแหน่งมอเตอร์ของแขนกลแบบข้อต่ออ่อนตัวค่าเป้าหมายที่ 90, 70, 80 องศา ของรูปที่ 4.87.....	85

บทที่ 1

บทนำ

1. ความเป็นมาและความสำคัญของงานวิจัย

ปัจจุบันการศึกษาและพัฒนาเทคโนโลยีทางด้านหุ่นยนต์ และเครื่องจักรกลอัตโนมัตินั้นมีประโยชน์อย่างมากในการพัฒนาประเทศทางด้านอุตสาหกรรม ซึ่งจะพบมากโรงงานอุตสาหกรรม อีกทั้ง ในงานสำรวจสถานที่ที่อันตรายต่างๆ ทั้งนี้เพื่อเป็นการลดการใช้กำลังงาน ลดความเสี่ยงและประหยัดพลังงานของมนุษย์ จากประโยชน์ที่กล่าวมานั้นผู้วิจัยได้เลือกหุ่นยนต์ชนิดที่เป็นแขนกลมาทำการศึกษา ซึ่งแบบจำลองแขนกลที่นำมาศึกษาในวิทยานิพนธ์นี้เป็นแขนกลแบบข้อต่ออ่อนตัว โดยที่ผู้วิจัยจะนำมาสร้างจริง โดยใช้ตัวควบคุมแบบพีซีพีเอสแควร์ไอดีที่ปรับค่าพารามิเตอร์ด้วยวิธีการทางพันธุศาสตร์มาควบคุมการทำงาน

จากการศึกษาค้นคว้าวิจัยในเรื่องของการควบคุมแขนกลแบบข้อต่ออ่อนตัวนั้นพบว่าในการควบคุมทำได้ไม่ราบเรียบเท่าที่ควร [1] เนื่องจากธรรมชาติในการเคลื่อนไหวของแขนกลแบบข้อต่ออ่อนตัวขณะภาระเปลี่ยนแปลงตามเวลานั้นเป็นแบบไม่เชิงเส้น จากปัญหาดังกล่าวจึงได้นำตัวควบคุมพีซีพีเอสแควร์ไอดีที่ทำงานได้กับระบบที่ไม่เป็นเชิงเส้น มาควบคุมแขนกลแบบข้อต่ออ่อนตัว โดยที่การปรับค่าพารามิเตอร์ของตัวควบคุมพีซีพีเอสแควร์ไอดีให้เหมาะสมกับระบบนั้น ใช้วิธีการทางพันธุศาสตร์ [2], [3] เข้ามาช่วยทำให้ลดความซับซ้อนลง ซึ่งตัวควบคุมพีซีพีเอสแควร์ไอดีนั้นมีพารามิเตอร์หลายตัว จากปัญหาที่เกิดขึ้นได้มีการหาวิธีที่จะมาช่วยในการค้นหาพารามิเตอร์ของตัวควบคุมที่เหมาะสมจึงได้มีการนำแนวคิดของวิธีการทางพันธุศาสตร์ เข้ามาประยุกต์ใช้ในการหาค่าเพื่อทำให้การควบคุมมีประสิทธิภาพเพิ่มมากขึ้น

งานวิจัยนี้เป็นการนำเสนอการสร้างจริงและการประยุกต์ ตัวควบคุมแบบพีซีพีเอสแควร์ไอดีที่ปรับค่าพารามิเตอร์ให้เหมาะสมด้วยวิธีการทางพันธุศาสตร์ มาควบคุมแขนกลแบบข้อต่ออ่อนตัว (Flexible-joint robot arm) ซึ่งจากการตรวจเอกสารที่ผ่านมายังไม่มีผู้ใดทำมาก่อน อีกทั้งทดสอบประสิทธิภาพของตัวควบคุมดังกล่าวโดยมีการรบกวนโดยสัญญาณอลวน [8] (Chaotic signals)

1.1 วัตถุประสงค์ของงานวิจัย

1. เพื่อเป็นแนวทางในการพัฒนาเทคโนโลยีทางด้านหุ่นยนต์และเครื่องจักรกลอัตโนมัติ
2. เป็นการนำตัวควบคุมฟัซซีพีสแควร์ไอดีที่ปรับค่าพารามิเตอร์ให้เหมาะสมด้วยวิธีการทางพันธุศาสตร์มาประยุกต์ใช้กับงานจริง
3. เป็นการทดสอบประสิทธิภาพของตัวควบคุมเมื่อมีการรบกวนโดยสัญญาณอลวน เพื่อประยุกต์ใช้กับระบบแบบอื่นต่อไป

1.2 สมมติฐานเบื้องต้น

1. แขนกลแบบข้อต่ออ่อนตัวเคลื่อนที่ได้ตามเป้าหมาย โดยมีช่วงเวลาดำเนิน (rise time) เข้าหาเป้าหมายได้รวดเร็ว
2. มีสภาวะเสถียรที่ดีเมื่อแขนกลอยู่ในตำแหน่งเป้าหมายและช่วงเวลาเข้าที่ (setting time) ได้ดี
3. สามารถจัดการรบกวนจากสัญญาณอลวนได้อย่างมีประสิทธิภาพ

1.3 ทฤษฎีหรือแนวความคิดที่ใช้ในการวิจัย

1. ทฤษฎีของตัวควบคุมแบบฟัซซีพีสแควร์ไอดี
2. เทคนิคและวิธีการแก้ปัญหาโดยใช้วิธีทางพันธุศาสตร์

1.5 ขอบเขตของงานวิจัย

1. นำโปรแกรมที่ได้ออกแบบมาทดลองแบบจำลอง โดยใช้โปรแกรม MATLAB เป็นเครื่องมือในการเขียนโปรแกรม
2. นำระบบที่ออกแบบมาทดลองจริง โดยการทดลองโดยควบคุมตำแหน่งของแขนกลแบบข้อต่ออ่อนตัว
3. สร้างสัญญาณรบกวนอลวนให้กับระบบและทำการขจัดสัญญาณรบกวนอลวนของระบบโดยใช้ตัวควบคุมที่ได้ออกแบบไว้

1.6 ขั้นตอนของงานวิจัย

1. ค้นคว้า รวบรวม ศึกษาเอกสาร และข้อมูลที่เกี่ยวข้อง
2. ออกแบบและทดสอบ โปรแกรมทางพันธุศาสตร์
3. ออกแบบโปรแกรมจำลองของตัวควบคุมแบบฟัซซีพีสแควร์ไอดี
4. ออกแบบโปรแกรมสัญญาณรบกวนอลวน

5. ทำการจำลองผลโปรแกรมในข้อ 2, 3 และ 4 ด้วยโปรแกรม MATLAB
6. ทำการสร้างแกนกลแบบข้อต่ออ่อนตัว และวงจรถิเล็กทรอนิกส์ที่จำเป็น
7. ทำการทดลองจากระบบควบคุมที่ได้ออกแบบไว้และทดลองขจัดสัญญาณรบกวน
อัตรวนที่ให้กับระบบ
8. สรุปผล วิเคราะห์ผลการทดลอง และเรียบเรียงวิทยานิพนธ์

บทที่ 2

ตัวควบคุมแบบฟัซซีพีแอสควร์ไอดี

ในบทนี้จะกล่าวถึงโครงสร้างของตัวควบคุมแบบฟัซซีพีแอสควร์ไอดี (Fuzzy P²ID) [4] และเทคนิคการออกแบบ เนื่องจากตัวควบคุมแบบฟัซซีพีแอสควร์ไอดีเป็นการประสานการทำงานกันระหว่างตัวควบคุมแบบฟัซซีพีไอ(Fuzzy PI) และตัวควบคุมแบบฟัซซีพีดี(Fuzzy PD) โดยที่ตัวควบคุมทั้งสองแบบจะทำงานขนานกัน ซึ่งจะมีสวิตช์ในการเลือกที่จะให้ตัวควบคุมใดทำงาน เมื่อระบบเริ่มทำงานตัวควบคุมแบบฟัซซีพีดีจะเริ่มทำงานก่อนเนื่องจากตัวควบคุมแบบฟัซซีพีดีใช้เวลาในการไต่ขึ้น(Rise Time)ที่เร็วกว่าตัวควบคุมแบบฟัซซีพีไอ [5] จากนั้นเมื่อถึงจุดสลับการทำงานที่ได้ออกแบบไว้ จะเปลี่ยนให้ตัวควบคุมแบบฟัซซีพีไอทำงานต่อเนื่องจากตัวควบคุมแบบฟัซซีพีไอให้ผลที่สถานะอยู่ตัว (Steady State) ดีกว่า เมื่อกระบวนการได้มาถึงจุดที่กำหนดไว้ในย่านสถานะเสถียรตัวควบคุมแบบฟัซซีพีไอจะหยุดการทำงานและหากเอาที่พู่ทของกระบวนการออกไปจากย่านสถานะเสถียร คือต่ำกว่า 90 เปอร์เซ็นต์ของค่าเป้าหมายตัวควบคุมแบบฟัซซีพีดีจะทำงานอีกครั้งหนึ่ง ด้วยเหตุนี้จึงเรียกกระบวนการควบคุมนี้ว่าตัวควบคุมแบบฟัซซีพีแอสควร์ไอดี

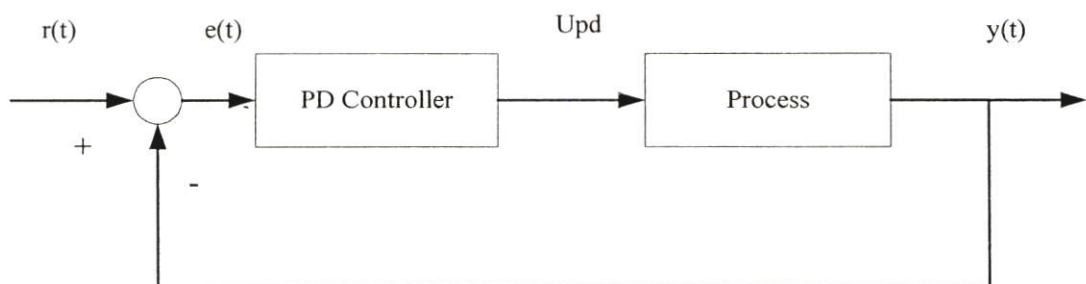
2.1 ตัวควบคุมแบบฟัซซีพีดี

2.1.1 การออกแบบตัวควบคุมแบบฟัซซีพีดี

โครงสร้างพื้นฐานของตัวควบคุมอนาล็อกพีดีแบบดั้งเดิมดังรูปที่ 2.1 จะเขียนให้อยู่ในรูปของโดเมนความถี่ (frequency domain) โดย

$$U_{pd}(s) = (K_p^c + sK_d^c)E(s) \quad (2.1)$$

โดยที่ K_p^c และ K_d^c เป็นค่าเกน และ $E(s)$ เป็นค่าสัญญาณผิดพลาด



รูปที่ 2.1 ระบบควบคุมอนาล็อกพีดีแบบดั้งเดิม

จากสมการที่ (2.1) ใช้การแปลงแบบโพลิเนียทรานฟอร์ม $s = \frac{2}{T} \left[\frac{1-z^{-1}}{1+z^{-1}} \right]$ เมื่อ $T > 0$ จะได้เป็นแบบไม่ต่อเนื่อง (discrete version) ดังนี้

$$U_{pd}(z) = \left(K_p + \frac{2K_d}{T} \left[\frac{1-z^{-1}}{1+z^{-1}} \right] \right) E(z)$$

กำหนดให้ $K_p = K_p^c$ และ $K_d = \frac{2}{T} K_d^c$ และทำการหาอินเวอร์สซีทรานฟอร์ม (Z-transform) ได้เป็น

$$u_{pd}(nT) + u_{pd}(nT - T) = K_p [e(nT) + e(nT - T)] + K_d [e(nT) - e(nT - T)] \quad (2.2)$$

หารสมการที่ (2.2) ด้วย T และแทน nT ด้วย n จะได้เป็น

$$\Delta u_{pd}(n) = K_p e_p(n) + K_d e_v(n) \quad (2.3)$$

โดยที่

$$\Delta u_{pd}(n) = \frac{u_{pd}(n) + u_{pd}(n-1)}{T} \quad (2.4)$$

$$e_p(n) = \frac{e(n) - e(n-1)}{T} \quad (2.5)$$

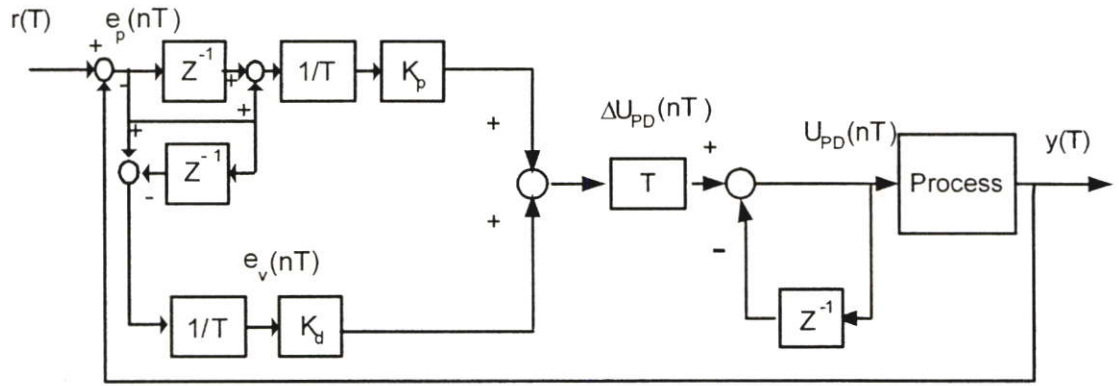
$$e_v(n) = \frac{e(n) + e(n-1)}{T} \quad (2.6)$$

สมการที่ (2.4) เขียนใหม่ได้เป็น

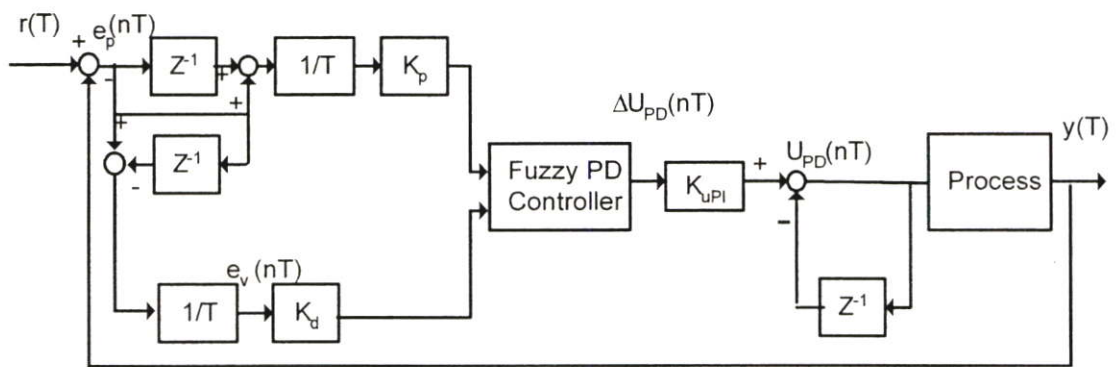
$$u_{pd}(n) = -u_{pd}(n-1) + T \Delta u_{pd}(n) \quad (2.7)$$

แทน $T \Delta u_{pd}(n)$ ด้วยตัวแปรแทนของตัวควบคุมแบบพีชชีฟิตี $K_{upd} \Delta u_{pd}(n)$ ได้เป็น

$$u_{pd}(n) = -u_{pd}(n-1) + K_{upd} \Delta u_{pd}(n) \quad (2.8)$$



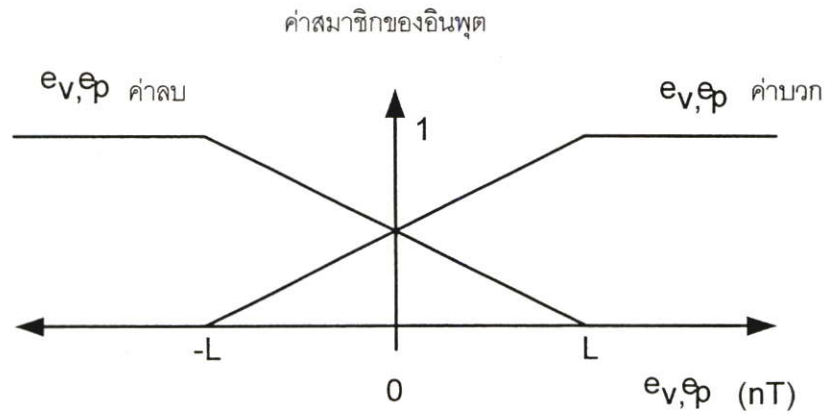
รูปที่ 2.2 ระบบควบคุมดิจิทัลพีดีแบบดั้งเดิม [4]



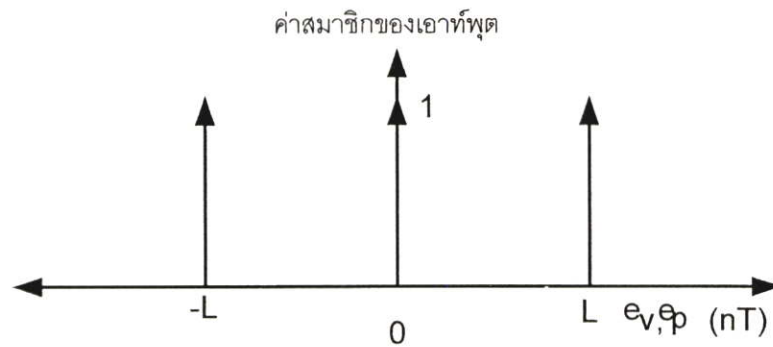
รูปที่ 2.3 ระบบควบคุมแบบฟัซซีพีดี [4]

2.1.2. การทำฟัซซีฟิเคชัน

ตัวควบคุมแบบฟัซซีพีดีใช้สองอินพุตประกอบด้วย ค่าเฉลี่ยสัญญาณผิดพลาด ($e_p(nT)$) และค่าอัตราการเปลี่ยนแปลงของค่าสัญญาณผิดพลาด ($e_v(nT)$) จากสมการที่ 2.5 และ 2.6 เขียนฟังก์ชันสมาชิกทางอินพุต และฟังก์ชันสมาชิกเอาต์พุตได้ดังรูปที่ 2.4 และ 2.5 ตามลำดับ



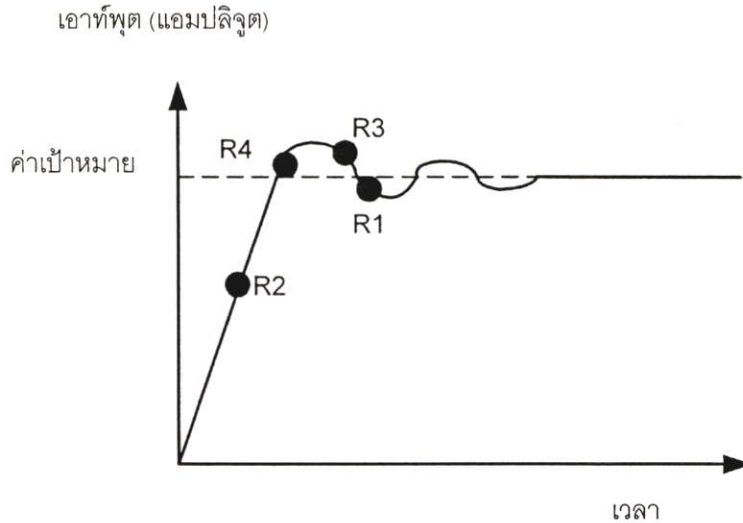
รูปที่ 2.4 ฟังก์ชันสมาชิกของอินพุตของตัวควบคุมฟัซซีแบบพีดี [4]



รูปที่ 2.5 ฟังก์ชันสมาชิกของเอาต์พุตของตัวควบคุมฟัซซีแบบพีดี [4]

2.1.3 การกำหนดกฎของฟัซซีพีดี

การกำหนดกฎของฟัซซีพีดีนั้น จะขึ้นอยู่กับฟังก์ชันสมาชิกของอินพุตในรูปที่ 2.4 โดยจะกำหนดกฎเป็นไปตามตารางที่ 2.1 และจะเลือกเอาต์พุตจากฟังก์ชันสมาชิกของเอาต์พุตในรูปที่ 2.5 และกำหนดกฎจากรูปที่ 2.6 และจะได้กฎของฟัซซีพีดีดังนี้



รูปที่ 2.6 ผลตอบสนองที่ใช้กำหนดกฎของฟัซซีฟีดี้ [4]

ตารางที่ 2.1 กฎของตัวควบคุมแบบฟัซซีฟีดี้

กฎที่	e_p	e_v	เออร์ทพุตที่ถูกเลือก
R1	p	p	o.z
R2	p	n	o.p
R3	n	p	o.n
R4	n	n	o.z

จากตารางที่ 2.1 $e_p = r - y$ และ $e_v = \theta - y$ โดย

e_p คือ ค่าสัญญาณผิดพลาด

e_v คือ ค่าอัตราการเปลี่ยนแปลงของค่าสัญญาณผิดพลาด

r คือ ค่าเป้าหมาย

y คือ เออร์ทพุต (Δu_{upd})

“ $e_p \cdot p$ ” คือ ค่าตำแหน่งสัญญาณผิดพลาดที่เป็นบวก และ “ $o.p$ ” หมายถึงเออร์ทพุตที่เป็นบวก จาก

กฎในตารางที่ 2.1 จะใช้ “AND” หมายถึง ตรรกศาสตร์ซาดเอน (Zadeh’s logical “AND”) กำหนด

โดย $\mu(A \wedge B) = \min\{\mu_A, \mu_B\}$ จะแบ่งเป็นกฎเป็น 4 ข้อดังนี้

R1 : ถ้า $e_p =$ ค่าผิดพลาดทางบวก และ $e_v =$ ค่าผิดพลาดทางบวก ดังนี้เออร์ทพุตที่ได้เป็น ศูนย์

R2 : ถ้า $e_p =$ ค่าผิดพลาดทางบวก และ $e_v =$ ค่าผิดพลาดทางลบ ดังนี้เออร์ทพุตที่ได้เป็น บวก

R3 : ถ้า $e_p =$ ค่าผิดพลาดทางลบ และ $e_v =$ ค่าผิดพลาดทางบวก ดังนี้เออร์ทพุตที่ได้เป็น ลบ

R4 : ถ้า $e_p =$ ค่าผิดพลาดทางลบ และ $e_v =$ ค่าผิดพลาดทางลบ ดังนี้เออร์ทพุตที่ได้เป็น ศูนย์

2.1.4 การทำดีพีซซีพีเคชันของพีซซีพีดี

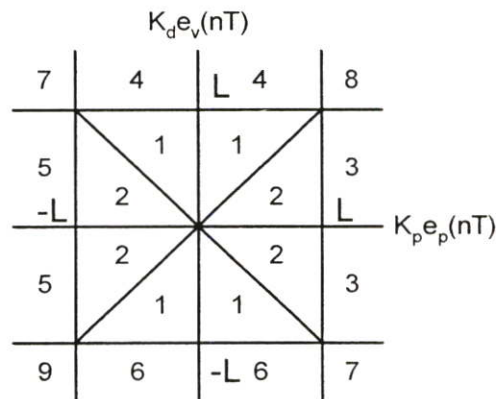
ในขั้นตอนของการทำดีพีซซีพีเคชัน จะใช้วิธีศูนย์กลางมวล (center of mass) ดังสมการที่

2.9

$$\Delta u(n) = \frac{\sum MV_{input} \times MV_{output}}{\sum MV_{input}} \quad (2.9)$$

โดยที่ MV_{input} คือ สมาชิกทางอินพุต และ MV_{output} คือ สมาชิกทางเอาต์พุต

สำหรับตัวควบคุมแบบพีซซีพีดีมี 2 อินพุต คือ ค่าสัญญาณผิดพลาด และ ค่าอัตรากรเปลี่ยนแปลงของค่าสัญญาณผิดพลาด จะแบ่งได้ทั้งหมด 20 พื้นที่ และมีพื้นที่ที่มีสมการเหมือนกัน 9 พื้นที่จึงสามารถแบ่งได้เป็น 9 พื้นที่ดังรูปที่ 2.7



รูปที่ 2.7 แสดงพื้นที่ทั้งหมดของพีซซีพีดี[4]

โดยค่า $o.p = L$, $o.n = -L$, $o.z = 0$ และสูตรสมการเส้นตรงจากรูปที่ 2.7 จะได้

$$e_{p.p} = \frac{K_p d(n) + L}{2L}, e_{p.n} = \frac{-K_p d(n) + L}{2L}$$

$$e_{v.p} = \frac{K_p d(n) + L}{2L}, e_{v.n} = \frac{-K_p d(n) + L}{2L}$$

และจะได้ 9 สมการสำหรับ 9 พื้นที่ดังนี้

$$\Delta u_{pd}(nT) = \frac{L[K_p e_p(nT) - K_d e_v(nT)]}{2[2L - K_p |e_p(nT)]}$$

พื้นที่ 1

$$\Delta u_{pd}(nT) = \frac{L[K_p e_p(nT) - K_d e_v(nT)]}{2[2L - K_d |e_v(nT)]} \quad \text{พื้นที่ 2}$$

$$\Delta u_{pd}(nT) = \frac{1}{2}[-K_d e_v(nT) + L] \quad \text{พื้นที่ 3}$$

$$\Delta u_{pd}(nT) = \frac{1}{2}[K_p e_p(nT) - L] \quad \text{พื้นที่ 4}$$

$$\Delta u_{pd}(nT) = \frac{1}{2}[-K_d e_v(nT) - L] \quad \text{พื้นที่ 5}$$

$$\Delta u_{pd}(nT) = \frac{1}{2}[K_p e_p(nT) + L] \quad \text{พื้นที่ 6}$$

$$\Delta u_{pd}(nT) = 0 \quad \text{พื้นที่ 7}$$

$$\Delta u_{pd}(nT) = -L \quad \text{พื้นที่ 8}$$

$$\Delta u_{pd}(nT) = L \quad \text{พื้นที่ 9}$$

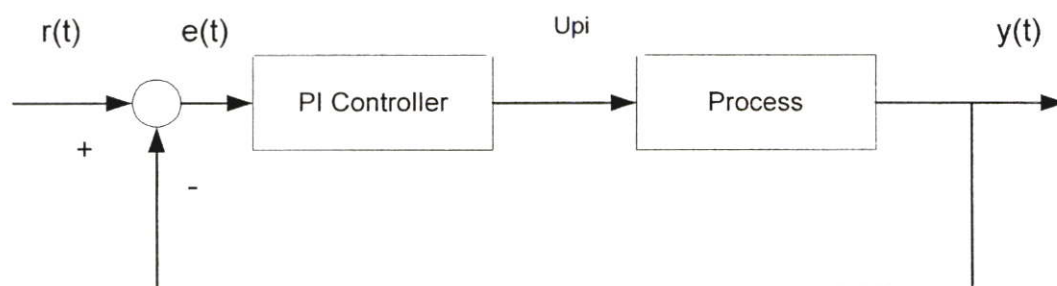
2.2 ตัวควบคุมแบบพีซีพีไอ

2.2.1 การออกแบบตัวควบคุมแบบพีซีพีไอ

โครงสร้างพื้นฐานของตัวควบคุมอนาล็อกพีไอแบบดั้งเดิมดังรูปที่ 2.8 จะเขียนให้อยู่ในรูปของโดเมนความถี่ (frequency domain) โดย

$$U_{pi}(s) = \left(K_p + \frac{K_i}{s}\right)E(s) \quad (2.10)$$

โดยที่ K_p และ K_i เป็นค่าเกน และ $E(s)$ เป็นค่าสัญญาณผิดพลาด



รูปที่ 2.8 ระบบควบคุมอนาล็อกพีไอแบบดั้งเดิม

จากสมการที่ (2.10) ใช้การแปลงแบบไพลินิยทรานฟอร์ม $s = \frac{2}{T} \left[\frac{1-z^{-1}}{1+z^{-1}} \right]$ เมื่อ $T > 0$ จะ
ได้เป็นแบบไม่ต่อเนื่อง (discrete version) ดังนี้

$$U_{pi}(z) = \left(K_p^c - \frac{K_i^c T}{2} + \frac{K_i^c T}{1-z^{-1}} \right) E(z)$$

กำหนดให้ $K_p = K_p^c - \frac{K_i^c}{2}$ และ $K_d = K_i^c T$ และทำการหาอินเวอร์สซีทรานฟอร์ม
(Z-transform) ได้เป็น

$$u_{pi}(nT) - u_{pi}(nT - T) = K_p [e(nT) + e(nT - T)] + K_i T e(nT) \quad (2.11)$$

หารสมการที่(2.2) ด้วย T

$$u_{pi}(nT) = u_{pi}(nT - T) + T \Delta u_{pi}(nT) \quad (2.12)$$

โดยที่ ...

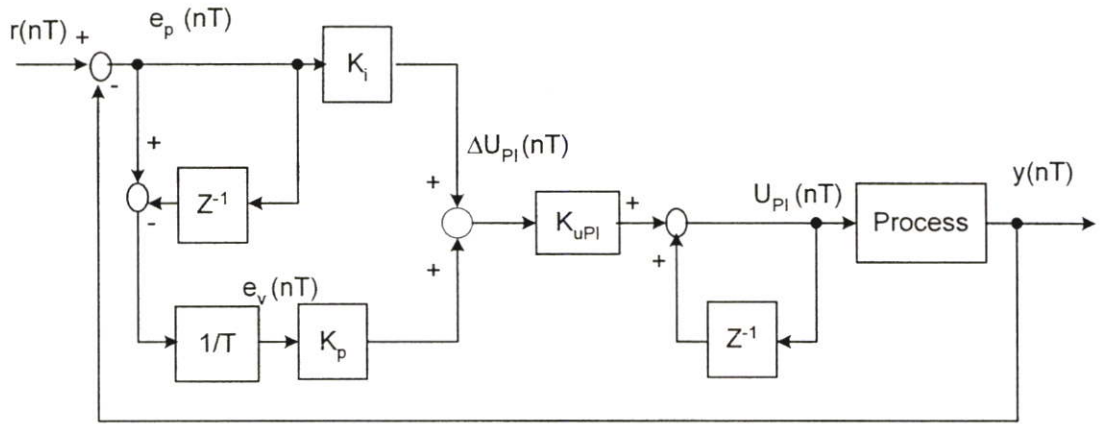
$$\Delta u_{pi}(nT) = K_p e_v(nT) + K_i e_p(nT) \quad (2.13)$$

$$e_v(nT) = \frac{e(n) - e(n-T)}{T} \quad (2.14)$$

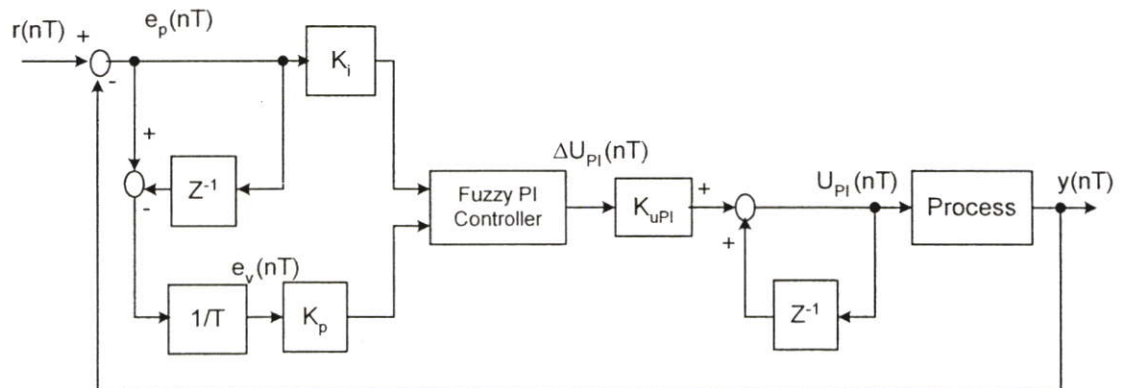
$$e_p(nT) = e(nT) \quad (2.15)$$

แทน $T \Delta u_{pi}(n)$ ด้วยตัวแปรแทนของตัวควบคุมแบบพีชชีฟีดี $K_{upi} \Delta u_{pi}$ ได้เป็น

$$u_{pi}(n) = u_{pi}(nT - T) + K_{upi} \Delta u_{pi}(nT) \quad (2.16)$$



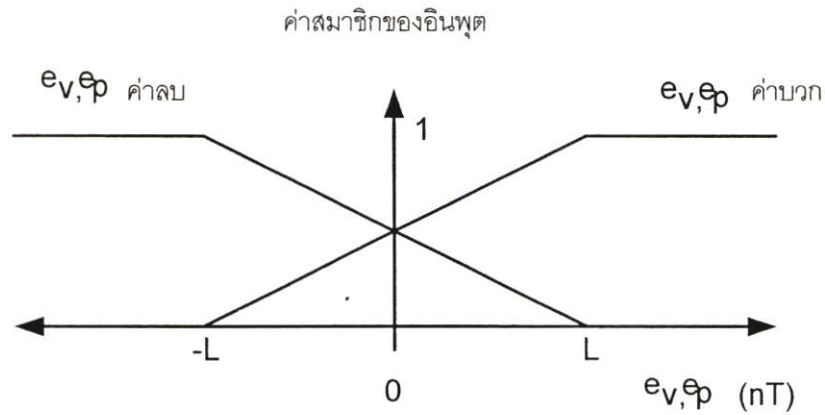
รูปที่ 2.9 ระบบควบคุมดิจิทัลพีไอแบบดั้งเดิม [4]



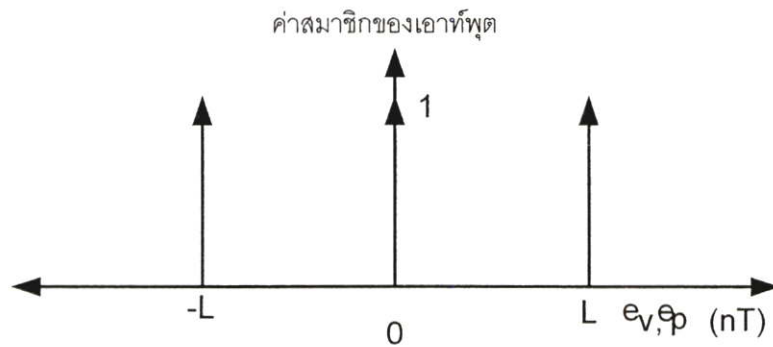
รูปที่ 2.10 ระบบควบคุมแบบฟัซซีพีไอ [4]

2.2.2. การทำฟัซซีฟิเคชัน

ตัวควบคุมแบบฟัซซีพีไอใช้สองอินพุตประกอบด้วย ค่าสัญญาณผิดพลาด ($e_p(nT)$) และ ค่าอัตราการเปลี่ยนแปลงของค่าสัญญาณผิดพลาด ($e_v(nT)$) จากสมการที่ (2.15) และ (2.14) ตามลำดับ เขียนฟังก์ชันสมาชิกทางอินพุต และฟังก์ชันสมาชิกเอาต์พุตได้ดังรูปที่ 2.11 และ 2.12 ตามลำดับ



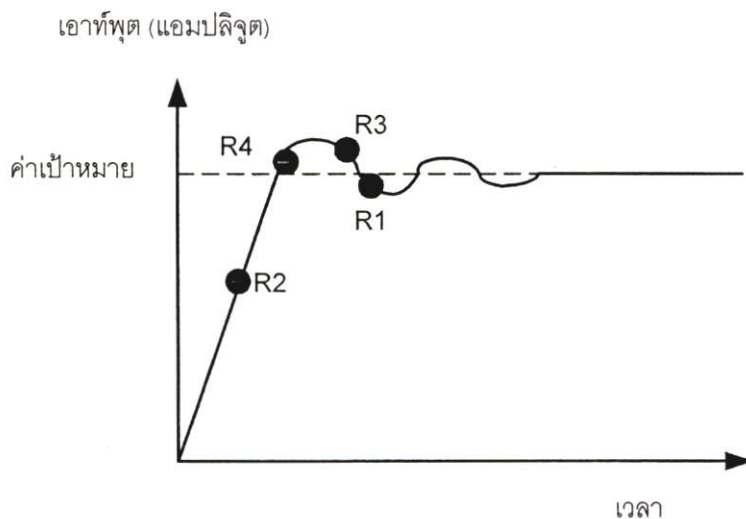
รูปที่ 2.11 ฟังก์ชันสมาชิกของอินพุตของตัวควบคุมฟัซซีแบบพีไอ[4]



รูปที่ 2.12 ฟังก์ชันสมาชิกของเอาต์พุตของตัวควบคุมฟัซซีแบบพีไอ[4]

2.2.3 การกำหนดกฎของฟัซซีพีไอ

การกำหนดกฎของฟัซซีพีไอนั้น จะขึ้นอยู่กับฟังก์ชันสมาชิกของอินพุตในรูปที่ 2.11 โดยจะกำหนดกฎเป็นไปตามตารางที่ 2.2 และจะเลือกเอาต์พุตจากฟังก์ชันสมาชิกของเอาต์พุตในรูปที่ 2.12 และกำหนดกฎจากรูปที่ 2.13 และจะได้กฎของฟัซซีพีไอดังนี้



รูปที่ 2.13 ผลตอบสนองที่ใช้กำหนดกฎของฟัซซี่พีไอ[4]

ตารางที่ 2.2 กฎของตัวควบคุมแบบฟัซซี่พีไอ

กฎที่	e_p	e_v	เออร์ทพุตที่ถูกเลือก
R1	p	p	o.p
R2	p	n	o.z
R3	n	p	o.z
R4	n	n	o.n

จากตารางที่ 2.1 $e_p = r - y$ และ $e_v = 0 - y$ โดย

e_p คือ ค่าสัญญาณผิดพลาด

e_v คือ ค่าอัตราการเปลี่ยนแปลงของค่าสัญญาณผิดพลาด

r คือ ค่าเป้าหมาย

y คือ เออร์ทพุต (Δu_{up})

“ $e_p.p$ ” คือ ค่าตำแหน่งสัญญาณผิดพลาดที่เป็นบวก และ “ $o.p$ ” หมายถึงเออร์ทพุตที่เป็นบวก จากกฎในตารางที่ 2.1 จะใช้ “AND” หมายถึง ตรรกศาสตร์ซาดอน (Zadeh’s logical “AND”) กำหนดโดย $\mu(A \wedge B) = \min\{\mu_A, \mu_B\}$ จะแบ่งเป็นกฎเป็น 4 ข้อดังนี้

R1 : ถ้า $e_p =$ ค่าผิดพลาดทางบวก และ $e_v =$ ค่าผิดพลาดทางบวก ดังนั้นเออร์ทพุตที่ได้เป็น บวก

R2 : ถ้า $e_p =$ ค่าผิดพลาดทางบวก และ $e_v =$ ค่าผิดพลาดทางลบ ดังนั้นเออร์ทพุตที่ได้เป็น ศูนย์

R3 : ถ้า $e_p =$ ค่าผิดพลาดทางลบ และ $e_v =$ ค่าผิดพลาดทางบวก ดังนั้นเออร์ทพุตที่ได้เป็น ศูนย์

R4 : ถ้า $e_p =$ ค่าผิดพลาดทางลบ และ $e_v =$ ค่าผิดพลาดทางลบ ดังนั้นเออร์ทพุตที่ได้เป็น ลบ

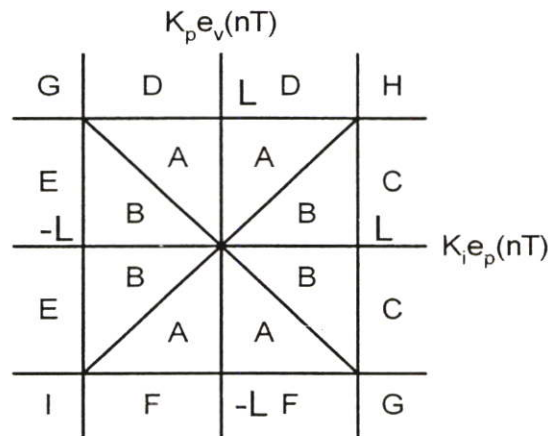
2.2.4 การทำดีพีซซีพีเคชันของพีซซีพีไอ

ในขั้นตอนของการทำดีพีซซีพีเคชัน จะใช้วิธีหาคุนย์กกลางมวล (center of mass) ดังสมการที่ 2.17

$$\Delta u(n) = \frac{\sum MV_{input} \times MV_{output}}{\sum MV_{input}} \quad (2.17)$$

โดยที่ MV_{input} คือ สมาชิกทางอินพุต และ MV_{output} คือ สมาชิกทางเอาต์พุต

สำหรับตัวควบคุมแบบพีซซีพีไอมี 2 อินพุต คือ ค่าสัญญาณผิดพลาด และ ค่าอัตราการเปลี่ยนแปลงของค่าสัญญาณผิดพลาด จะแบ่งได้ทั้งหมด 20 พื้นที่ และมีพื้นที่ที่มีสมการเหมือนกัน 9 พื้นที่จึงสามารถแบ่งได้เป็น 9 พื้นที่ดังรูปที่ 2.14



รูปที่ 2.14 แสดงพื้นที่ทั้งหมดของพีซซีพีไอ[4]

โดยค่า $o.p = L$, $o.n = -L$, $o.z = 0$ และสูตรสมการเส้นตรงจากรูปที่ 2.14 จะได้

$$e_p.p = \frac{K_i e_p(nT) + L}{2L}, e_p.n = \frac{-K_i e_p(n) + L}{2L}$$

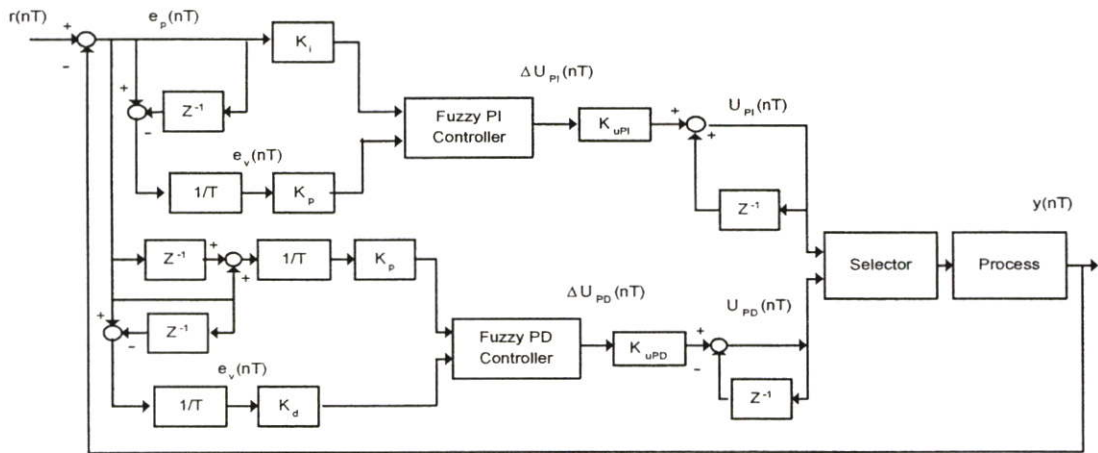
$$e_v.p = \frac{K_p e_v(n) + L}{2L}, e_v.n = \frac{-K_p e_v(n) + L}{2L}$$

และจะได้ 9 สมการสำหรับ 9 พื้นที่ดังนี้

$$\begin{aligned} \Delta u_{pi}(nT) &= \frac{L[K_i e_p(nT) + K_p e_v(nT)]}{2[2L - K_i |e_p(nT)|]} && \text{พื้นที่ A} \\ \Delta u_{pi}(nT) &= \frac{L[K_i e_p(nT) + K_p e_v(nT)]}{2[2L - K_i |e_v(nT)|]} && \text{พื้นที่ B} \\ \Delta u_{pi}(nT) &= \frac{1}{2}[K_p e_v(nT) + L] && \text{พื้นที่ C} \\ \Delta u_{pi}(nT) &= \frac{1}{2}[K_i e_p(nT) + L] && \text{พื้นที่ D} \\ \Delta u_{pi}(nT) &= \frac{1}{2}[K_p e_v(nT) - L] && \text{พื้นที่ E} \\ \Delta u_{pi}(nT) &= \frac{1}{2}[K_i e_p(nT) - L] && \text{พื้นที่ F} \\ \Delta u_{pi}(nT) &= 0 && \text{พื้นที่ G} \\ \Delta u_{pi}(nT) &= L && \text{พื้นที่ H} \\ \Delta u_{pi}(nT) &= -L && \text{พื้นที่ I} \end{aligned}$$

2.3 ตัวควบคุมแบบพีชซีพีแสดควร์ไอดี

ตัวควบคุมแบบพีชซีพีแสดควร์ไอดีเป็นการทำงานร่วมกันระหว่างตัวควบคุมแบบพีชซีพีไอ และตัวควบคุมแบบพีชซีพีดี ซึ่งจะมีตัวเลือก จะทำหน้าที่ในเลือกการทำงาน โดยเริ่มแรกตัวควบคุมแบบพีชซีพีดี จะทำงานเริ่มต้นกระบวนการเนื่องจะตัวควบคุมแบบพีชซีพีดีให้การตอบสนองได้เร็วกว่าตัวควบคุมแบบพีชซีพีไอ แล้วจะสลับการทำงานเป็นตัวควบคุมแบบพีชซีพีไอ เนื่องจากตัวควบคุมแบบพีชซีพีไอให้ผลที่สถานะอยู่ตัว (steady state) ดีกว่า เมื่อกระบวนการได้มาถึงจุดที่กำหนดไว้ในย่านสถานะเสถียร ตัวควบคุมแบบพีชซีพีไอจะหยุดการทำงาน หากเอาท์พุทของกระบวนการออกไปจากย่านสถานะเสถียร คือต่ำกว่า 90 เปอร์เซ็นต์ของค่าเป้าหมาย โดยตัวควบคุมแบบพีชซีพีดีจะทำงานอีกครั้งหนึ่ง ด้วยเหตุนี้เราจะเรียกกระบวนการควบคุมนี้ว่า ตัวควบคุมแบบพีชซีพีแสดควร์ไอดีแสดงในรูปที่ 2.15 [4]



รูปที่ 2.15 ระบบควบคุมแบบฟัซซีพีแสดควร์ไอดี[4]

สำหรับการสร้างตัวควบคุมแบบฟัซซีพีแสดควร์ไอดี ตัวเลือก(Selector) ที่แสดงในรูปที่ 2.15 เป็นเซตของกฎทางตรรกะสำหรับการทำงานของตัวควบคุม และจะมีการประกันความมีเสถียรภาพได้จาก

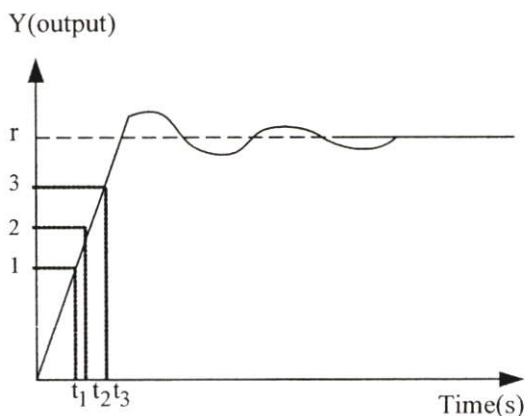
1. ทฤษฎีเกนน้อย (small gain theorem) เสถียรภาพของตัวควบคุมฟัซซีพีไอ และฟัซซีพีดี รับประกัน โดย[8]และ[9] ตามลำดับ
2. ความมีเสถียรภาพของระบบควบคุมทั้งหมดขึ้นอยู่กับเสถียรภาพของตัวเลือก โดยจะเขียนแบบจำลองทางคณิตศาสตร์สำหรับระบบควบคุมการสลับแบบคิติดอล ได้ดังสมการที่ 2.18

$$x(nT + T) = Gx(nT) + H \sum_{i=1}^2 u_i(nT) \delta_i(nT) \tag{2.18}$$

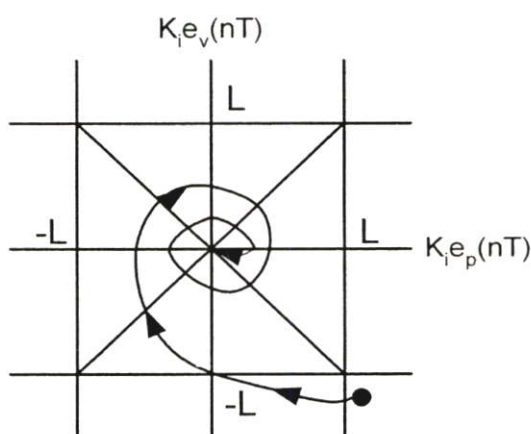
ซึ่ง $x(nT)$ เป็นเวกเตอร์สถานะ (state vector) ที่เวลาไม่ต่อเนื่อง (discrete) G เป็นเมตริกซ์ระบบ และ H เป็นเมตริกซ์อินพุตสำหรับระบบเวลาไม่ต่อเนื่อง โดย u เป็นค่าอินพุตควบคุม ซึ่ง $i = 1$ แทนการทำงานของตัวควบคุมแบบฟัซซีพีดี และ $i = 2$ แทนการทำงานของตัวควบคุมแบบฟัซซีพีไอ $\delta_i(nT)$ เป็นตัวแปรทางตรรกะซึ่งจะมีค่าเท่ากับ 1 เมื่อระบบทำงาน และเท่ากับ 0 หากหยุดทำงาน จะพบว่าทุกเวลา nT มีเพียงดัชนีเดียวที่ถูกใช้งาน โดยอาจจะใช้สมการที่ 2... มาวิเคราะห์เสถียรภาพแบบ BIBO ใน[10]

การออกแบบโดยใช้กราฟนำมาใช้ในการออกแบบกฎสลับการควบคุม โดยเริ่มจากการพิจารณาวิถีโคจรของเอาต์พุตกับเวลาดังแสดงในรูปที่ 2. โดยที่ r เป็นจุดค่าเป้าหมาย $a, b,$ และ c แทนเอาต์พุตที่เวลา t_a, t_b และ t_c ตามลำดับ และเมื่อคู่วิถีโคจรของค่าความผิดพลาดบนระนาบเฟส (error-phase plane) ที่แสดงในรูป 2.16 จากรูปจะเห็นว่าจำนวนของวงกลมรอบจุดศูนย์กลางของ

แผนภาพ ได้สอดคล้องกับระยะเวลาของสภาวะชั่วคราวคลื่นไซน์ (transient sine wave) เมื่อวิธีเอทพุตของระบบในรูป 2.16 มาถึงสภาวะเสถียรวิธีค่าความผิดพลาดจะตกอยู่ในจุดศูนย์กลางของระนาบเฟส แสดงในรูป 2.17



รูปที่ 2.16 วิธีเอทพุตเทียบกับเวลา [4]



รูปที่ 2.17 วิธีค่าความผิดพลาดบนระนาบเฟส [4]

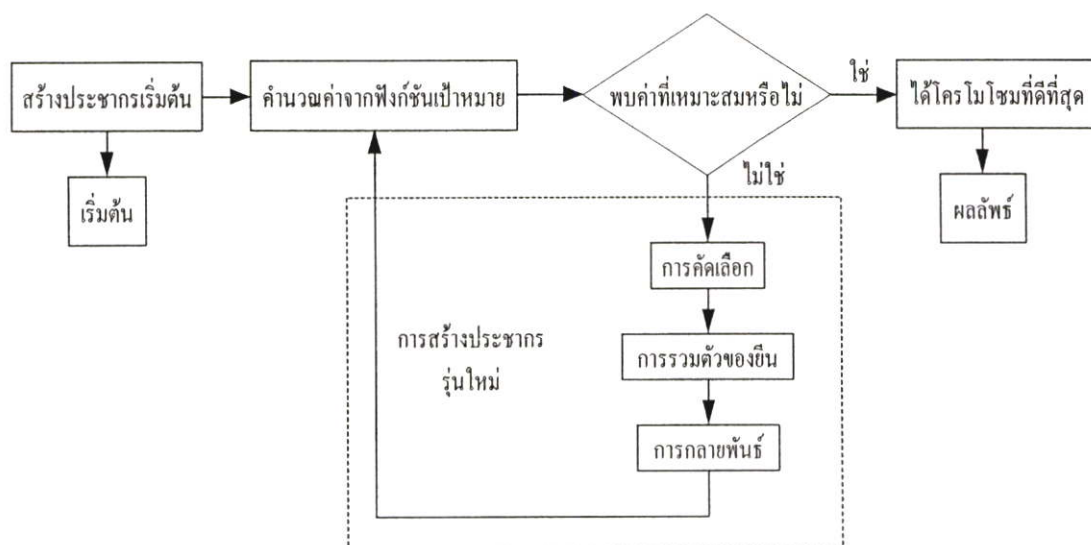
จากรูปที่ 2.16 จะเห็นว่าสามารถเลือกเวลาการสลับได้ตามต้องการ โดยอาจจะใช้เวลาสลับที่ 90/10 โดยให้ตัวควบคุมแบบพีซีพีดีทำงานไปจนถึง 90% ของค่าเป้าหมาย และให้ตัวควบคุมแบบพีซีพีไอทำงานใน 10% ที่เหลือ เพราะช่วงเวลาที่ 10% ถึง 90% ของค่าเป้าหมายเป็นช่วงของเวลาไต่ขึ้น (rise time) เนื่องจากตัวควบคุมแบบพีซีพีดีให้การตอบสนองที่เร็วจึงเหมาะที่จะนำมาใช้ในส่วนนี้ หลังจาก 90% ต้องการวิธีที่เข้าเป้าหมายดีที่สุด ดังนั้นด้วยคุณสมบัติของตัวควบคุมแบบพีไอจึงทำงานต่อในช่วง 10% ที่เหลือ แต่อาจจะเลือนจุดได้ตามความเหมาะสม

บทที่ 3

กระบวนการทางพันธุศาสตร์

กระบวนการทางพันธุศาสตร์ (Genetic Algorithms) ได้เลียนแบบการวิวัฒนาการทางธรรมชาติ [5,6,7] ขั้นตอนการวิวัฒนาการได้ถูกนำไปประยุกต์ใช้ในการแก้ปัญหาได้อย่างมีประสิทธิภาพ โดยความสำคัญนั้นอยู่ที่ ประชากรลูกหลานที่อยู่รอด จะเป็นประชากรที่ดีและเหมาะสมกับปัญหานั้น ๆ ประชากรแต่ละรุ่นจะถูกสร้างโดย กระบวนการคัดเลือกประชากร (population) แต่ละตัวที่มีระดับของความเหมาะสมจากขอบเขตของปัญหา และนำมาผสมกันโดยใช้ตัวดำเนินการทางเจเนติก (Genetic Operation) โดยคำตอบที่ดีที่สุดจะพบจากประชากรตัวสุดท้ายที่เหลือรอดอยู่

กระบวนการทางพันธุศาสตร์จะประกอบด้วย การคัดเลือก (selection) การผสม (recombination) และการกลายพันธุ์ (mutation) ดังในรูปที่ 3.1 แสดงโครงสร้างของกระบวนการทางพันธุศาสตร์แบบพื้นฐาน ขั้นตอนแรกจะเริ่มจากการสร้างประชากรเริ่มต้นโดยการสุ่ม ขนาดของประชากรขึ้นอยู่กับปัญหาที่แก้ไข ต่อมาจะเป็นการคำนวณประชากรแต่ละตัวด้วยฟังก์ชันวัตถุประสงค์ (Objective function) หรือฟังก์ชันเป้าหมาย จะไม่มีการกำหนดตายตัวขึ้นอยู่กับลักษณะของปัญหาที่จะแก้ไข เมื่อผ่านขั้นตอนนี้จะเป็นการตรวจสอบ ถ้าไม่พบคำตอบที่เหมาะสม จะเริ่มสร้างประชากรรุ่นลูกหลาน โดยจะนำ ประชากรรุ่นพ่อแม่ (parent) มาคัดเลือกซึ่งจะดูจากค่าของฟิตเนส (fitness) ประชากรพ่อแม่ที่ถูกเลือกจะถูกนำมาผสมกัน หลังจากนั้นจะได้ประชากรรุ่นลูกหลาน (offspring) ประชากรรุ่นลูกหลานทั้งหมดจะถูกทำให้กลายพันธุ์ (mutated) ด้วยค่าความน่าจะเป็น ต่อมาจะเป็นการคำนวณค่าของประชากรลูกหลานแต่ละตัว แล้วจึงนำประชากรรุ่นลูกหลานที่ดีเข้าไปแทนในประชากรรุ่นพ่อแม่ เพื่อนำเป็นประชากรในเจเนอเรชันใหม่ต่อไป และจะวนรอบเช่นนี้ไปจนกว่าจะพบคำตอบที่เหมาะสม



รูปที่ 3.1 โครงสร้างกระบวนการทางพันธุศาสตร์

3.1 การแทนที่ประชากร (Population Representation)

ก่อนที่จะมีการดำเนินการทางเจเนติก จะต้องมีการเข้ารหัสของพารามิเตอร์ในประชากรเสียก่อน โดยประชากรที่สร้างนั้นจะอยู่ในช่วง 30 ถึง 50 ตัว (individual) แต่บางครั้งวิธีการของไมโครเจเนติก จะใช้ประชากรที่น้อยคือประมาณ 10 ตัวและได้ใช้ความสามารถของ การผลิต (reproduction) และการแทนที่ (replacement) เพื่อให้สามารถใช้กับเวลาจริง (real-time) ได้

การแทนที่ประชากรหรือโครโมโซมของเจเนติก อัลกอริทึม จะเป็นการเข้ารหัสของแต่ละตัวแปรหรือยีนส์ ด้วยรหัสแบบไบนารี (Binary code) และจะมีการเชื่อมตัวแปรแต่ละตัวเข้าเป็นชุดเดียวกันเรียกว่า โครโมโซม ต่อมาได้มีงานวิจัยได้ทำการทดลองพบว่า การเข้ารหัสแบบเกรย์ (Gray code) ให้ผลของการทำงานได้ดีกว่าการเข้ารหัสแบบไบนารี

ในขณะที่มีการใช้การเข้ารหัสแบบไบนารีกันอย่างแพร่หลายนั้น ได้มีอีกทางเลือกหนึ่งที่น่าสนใจ คือการเข้ารหัสแบบค่าจริง (Real - value) ซึ่งการแทนด้วยค่าจริงนี้ได้ถูกนำเสนอโดย Wright[13] โดยข้อดีของการเข้ารหัสด้วยค่าจริงคือ ไม่จำเป็นต้องทำการแปลงจากโครโมโซมเป็นฟีโนไทป์ (phenotype) ก่อนการคำนวณค่าจากฟังก์ชันเป้าหมาย ต้องการหน่วยความจำน้อยและสามารถนำไปใช้กับคอมพิวเตอร์ได้โดยตรง และยังมีอิสระในการใช้ตัวดำเนินการทางเจเนติก (Genetic Operation) ที่แตกต่างกัน

จากวิธีที่กล่าวมาทั้งหมดนี้ การเลือกใช้วิธีการในนั้นขึ้นอยู่กับปัญหาที่จะใช้ เพราะการเลือกวิธีที่เหมาะสมจะช่วยเพิ่มประสิทธิภาพในการทำงานของเจเนติก อัลกอริทึม

3.2 ฟังก์ชันเป้าหมายและฟังก์ชันฟิตเนส (The Objective and Fitness Function)

ฟังก์ชันเป้าหมายนั้นจะถูกกำหนดโดยผู้ใช้หรือตามปัญหาที่จะแก้ ฟังก์ชันเป้าหมายเป็นตัววัดประสิทธิภาพของประชากรแต่ละตัว ในการหาค่าต่ำสุดหรือค่าสูงสุดของปัญหา บางครั้งค่าของฟังก์ชันเป้าหมายอาจมีค่าเป็นลบ ในเจดิกฟังก์ชันฟิตเนสเป็นตัววัดสถานะของประชากร จะต้องมีการปรับค่าบวกเสมอ ดังนั้นถ้าฟังก์ชันเป้าหมายมีค่าเป็นลบจำเป็นต้องเปลี่ยนให้เป็นฟังก์ชันฟิตเนสจากสมการที่ (3.1)

$$F(x) = g(f(x)) \quad (3.1)$$

ซึ่ง $f(x)$ คือ ฟังก์ชันเป้าหมาย g คือ การเปลี่ยนแปลงค่าของฟังก์ชันเป้าหมายเพื่อไม่ให้ค่าเป็นลบ และ $F(x)$ คือ ค่าของฟิตเนสที่ได้ ส่วนมากค่าของฟังก์ชันฟิตเนสจะสอดคล้องกับจำนวนของประชากรลูกหลานที่คาดหวังในการผลิตในเจนเนอร์เรชันถัดไป จากสมการที่ (3.2) $F(x_i)$ คือ ค่าของฟิตเนส $f(x_i)$ คือ ค่าประสิทธิภาพที่คำนวณได้จากประชากรแต่ละตัว

$$F(x_i) = \frac{f(x_i)}{\sum_{i=1}^{N_{ind}} f(x_i)} \quad (3.2)$$

ซึ่ง N_{ind} คือ จำนวนของประชากรทั้งหมด และ x_i คือ ค่าของประชากร

ในขณะที่ความเหมาะสมของประชากรแต่ละตัวนั้น จะถูกรับประกันการถูกเลือกด้วยความน่าจะเป็น แต่อาจจะเกิดความผิดพลาดกันเกิดจาก ค่าฟังก์ชันเป้าหมายของประชากรที่มีค่าเป็นลบ และอาจจะลู่เข้าก่อนกำหนด เนื่องจากการคลอ้งพื้นที่ของประชากรที่มีค่าฟิตเนสที่สูง ทำให้ประชากรที่มีค่าฟิตเนสต่ำไม่มีโอกาสที่จะถูกเลือก จากปัญหาที่เกิดขึ้นนี้จะแก้ได้ โดยการปรับค่าฟิตเนส ซึ่งการปรับค่าฟิตเนสมี 2 วิธี คือ การทำสเกลลิ่ง (scaling) และการทำเร้นคิง (ranking)

การทำสเกลลิ่งจะเป็นการแปลงค่าฟิตเนสใหม่โดยใช้สมการเส้นตรงดังสมการที่ (3.3)

$$F(x) = af(x) + b \quad (3.3)$$

โดยที่ $f(x)$ คือค่าของฟิตเนสเก่า $F(x)$ คือ ค่าของฟิตเนสใหม่ a คือ ค่าของสเกลลิ่ง เฟกเตอร์ ที่มีค่าเป็นบวก และ b เป็นค่าชดเชย (offset) ที่รับรองว่าค่าของฟิตเนสใหม่มีค่าเป็นบวก ส่วนการทำเร้นคิงนั้น เป็นการเรียงค่าจากฟังก์ชันเป้าหมาย ประชากรที่มีค่าฟิตเนสน้อยที่สุดจะอยู่ในลำดับที่ 1 และจะเรียงลำดับต่อไปจนถึงประชากรที่มีค่าฟิตเนสมากที่สุดจะอยู่ลำดับสุดท้ายจากสมการที่ (3.4)

$$Fitness(pos) = 2 - SP + 2(SP - 1) \frac{Pos - 1}{Nind - 1} \quad (3.4)$$

โดย SP คือค่าความลำเอียง (bias) หรือค่าของซีเล็กทีฟ เพเจอร์ (selective pressure) Pos คือลำดับของประชากรตัวที่ i และ Nind คือจำนวนของประชากรทั้งหมด

3.3 การคัดเลือก (Selection)

การคัดเลือกเป็นขั้นตอนที่จำลองการคัดเลือกทางธรรมชาติ โดยจะคัดเลือกประชากรพ่อแม่เพื่อเป็นประชากรต้นแบบในเมททิงพูล (mating pool) เพื่อใช้ในการสร้างประชากรลูกหลานต่อไป การคัดเลือกของเจเนติก อัลกอริทึม นั้น จะใช้ค่าความเหมาะสมเป็นตัวตัดสินว่า ประชากรมีโอกาสถูกเลือกเป็นประชากรพ่อแม่มากน้อยเพียงใด ประชากรที่มีค่าความเหมาะสมที่ดี จะถูกกำหนดค่าความน่าจะเป็นที่จะถูกเลือกแต่ละครั้งจะสูงตามไปด้วยจากสมการที่ (3.5)

$$Pr ob_select = \frac{Fi}{\sum Fitness} \quad (3.5)$$

โดย Fi คือ ค่าของฟิตเนสของประชากรแต่ละตัว และ $\sum Fitness$ คือ ผลรวมของค่าฟิตเนสทั้งหมดที่เขามาคัดเลือกใน เมททิง พูล (mating pool) ซึ่งมีวิธีการคัดเลือกหลายวิธีด้วยกัน ประสิทธิภาพจะขึ้นอยู่กับ ตัววัดประสิทธิภาพของวิธีการทั้งหมดคือ

Selective pressure คือ ค่าความน่าจะเป็นของประชากรที่ดีที่สุดที่ถูกเลือก โดยเปรียบเทียบกับค่าเฉลี่ยของความน่าจะเป็นของประชากรที่ถูกเลือกทั้งหมด

ความลำเอียง (Bias) คือ ค่าสัมบูรณ์ของความแตกต่างระหว่างค่าจริงกับความน่าจะเป็นที่คาดหวังไว้สำหรับการคัดเลือกของสมาชิกแต่ละตัว

การกระจาย (spread) คือ ช่วงของค่าความเป็นไปได้ที่ประชากรตัวหนึ่งจะถูกเลือก

Loss of diversity คือ สัดส่วนของประชากรตัวหนึ่ง ซึ่งไม่ถูกเลือกในระหว่างขั้นตอนของการคัดเลือก

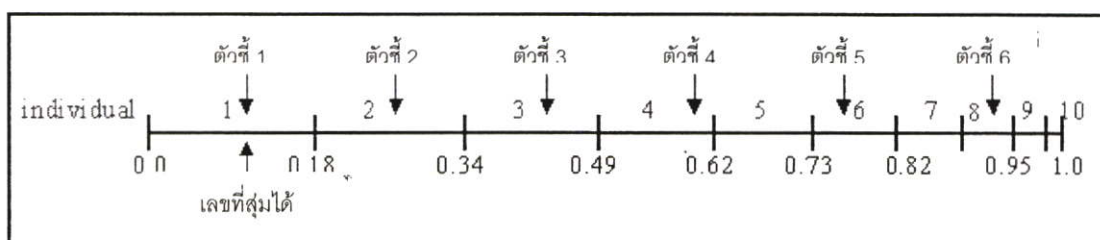
ความหนาแน่นของการคัดเลือก (selection intensity) คือ ค่าเฉลี่ยของค่าฟิตเนสของประชากรหลังจากใช้วิธีการคัดเลือกแบบการกระจายตัวของ Gaussian

ความแปรปรวนของการคัดเลือก (selection variance) คือ ความแปรปรวนของการกระจายตัวของค่าฟิตเนสของประชากร หลังจากใช้วิธีการคัดเลือกแบบการกระจายตัวของ Gaussian

3.3.1 การคัดเลือกแบบยูนิเวอร์ซอลโดยสุ่ม (Stochastic Universal Sampling)

วิธีการคัดเลือกแบบยูนิเวอร์ซอลโดยสุ่มทำให้ได้ค่าความลำเอียงเท่ากับ 0 และจะได้ค่าของการกระจายน้อยที่สุด จะเพิ่มตัวชี้ (Pointer) ที่มีจำนวนเท่ากับจำนวนของอินดิวิดวลที่ต้องการเลือก คือ Npointer ซึ่งระยะห่างของตัวชี้จะเท่ากับ $1/Npointer$ โดยตำแหน่งแรกของตัวชี้จะกำหนดจากการสุ่มในช่วง $[0, 1/Npointer]$ ตัวอย่างการเลือก 6 อินดิวิดวล ระยะห่างของตัวชี้จะมีค่าเท่ากับ $1/6$ หรือ 0.167 จากรูปที่ 3.3 แสดงตัวอย่างของการคัดเลือกแบบยูนิเวอร์ซอลโดยสุ่ม

ตัวอย่าง การสุ่ม 1 ครั้งในช่วง $[0, 0.167]$ ได้ค่าเท่ากับ 0.1



รูปที่ 3.2 วิธีการคัดเลือกแบบยูนิเวอร์ซอลโดยสุ่ม

หลังจากนั้นใน แมททิง ปล่อยให้สุ่ม จะประกอบด้วยอินดิวิดวลที่ 1 2 3 4 6 และ 8

3.4 การรวมตัวของยีน (Recombination)

การรวมตัวของยีนหรือการครอสโอเวอร์ (Cross over) เป็นการนำประชากรที่ได้จากการคัดเลือกที่อยู่ใน แมททิงพูล นำมาจับคู่แลกเปลี่ยนยีนของประชากรพ่อแม่ ตามการกำหนดอัตราความน่าจะเป็นของการครอสโอเวอร์ (Probability of Crossover : P_c) เพื่อสร้างประชากรรุ่นใหม่หรือประชากรลูกหลาน โดยการกระทำนี้จะแบ่งแบ่ง 2 ประเภท คือ การรวมตัวของยีนโดยใช้ค่าจริง และการรวมตัวของยีนโดยใช้ค่าไบนารี

3.4.1 การรวมตัวของยีนโดยใช้ค่าจริง

3.4.1.1 การรวมตัวของยีนแบบเส้น (Line Recombination)

ในงานวิจัยนี้ได้ใช้การรวมตัวของยีนแบบเส้นซึ่งได้มีการทดสอบแล้ว [2,3] การรวมตัวของยีนแบบเส้นจะมีวิธีการที่คล้ายกับการรวมตัวของยีนแบบตัวกลางดังสูตรด้านล่าง

$$\text{ประชากรลูกหลาน} = \text{ประชากรพ่อแม่ 1} + \alpha (\text{ประชากรพ่อแม่ 2} - \text{ประชากรพ่อแม่ 1}) \quad (3.6)$$

ซึ่ง α เป็นสเกลลิง แฟกเตอร์ (scaling factor) ที่ถูกเลือกโดยการสุ่มค่าที่อยู่ระหว่าง $[-d, 1+d]$ การรวมตัวของยีนแบบตัวกลางจะมีค่า $d = 0$ สำหรับระยะการขยายออก $d > 0$ ค่าที่ดีที่สุดที่ถูกเลือกจะมีค่า $d = 0.25$ ค่าของตัวแปรประชากรลูกหลานที่ได้ จะมีขอบเขตที่มากกว่าค่าของตัวแปรประชากรพ่อแม่เท่ากับค่าของ α ที่ถูกเลือก ซึ่งการรวมตัวของยีนแบบเส้นจะมีความแตกต่างที่จะใช้ค่า α ค่าเดียวกับค่าตัวแปรของประชากรทั้งหมดดังตัวอย่าง

ประชากรพ่อแม่ 1	12	25	5
ประชากรพ่อแม่ 2	123	4	34

ค่าของของ α ที่สุ่มได้เท่ากับ

ตัวอย่าง 1	0.5
ตัวอย่าง 2	0.1

ค่าของประชากรลูกหลานใหม่ที่คำนวณได้

ประชากรลูกหลาน 1	67.5	14.5	19.5
ประชากรลูกหลาน 2	23.1	22.9	7.9

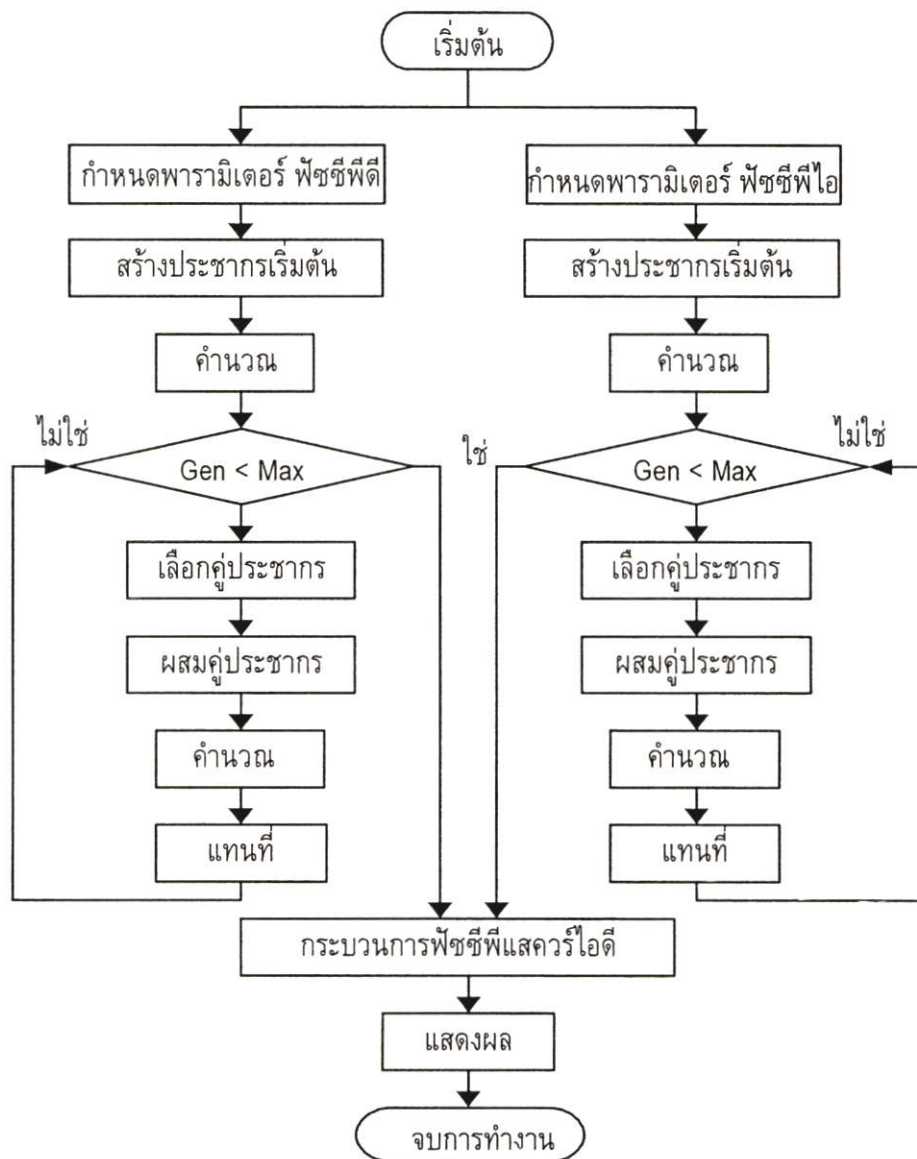
3.5 การกลายพันธุ์ (Mutation)

การกลายพันธุ์เป็นการสร้างความหลากหลายให้กับประชากร หรือเป็นการผ่าเหล่า หลังจากการครอสโอเวอร์ โดยทั่วไปการมิวเตชันจะออกแบบไว้สำหรับประชากรที่เข้ารหัสแบบไบนารีเท่านั้น แต่ในปัจจุบันมีการมิวเตชันแบบสุ่มซึ่งเป็นวิธีที่ใช้กับประชากรที่เข้ารหัสแบบจำนวนจริง

3.6 การแทนที่ (Reinsertion)

หลังจากที่สร้างประชากรลูกหลานแล้ว จะมีการแทนที่ประชากรพ่อแม่ปัจจุบันด้วยประชากรลูกหลานทุกตัว เช่น ถ้าหากขนาดประชากรเท่ากับ N วิธีนี้จะสร้างประชากรลูกหลานเท่ากับ N ด้วย วิธีนี้อาจจะทำให้ประชากรที่ดีเสียหายในรุ่นถัดไป ดังนั้นจึงมีการสำเนาประชากรที่ดี

ที่สุด 2-5 ตัว ในรุ่นถัดไป วิธีสำเนาประชากรจะช่วยเพิ่มความเร็วในการหาคำตอบที่ดีที่สุดถ้าหากกำหนดจำนวนสำเนาประชากรได้อย่างเหมาะสม



รูปที่ 3.3 โพลีชาร์ตโปรแกรมทางพันธุศาสตร์ของตัวควบคุมฟิชชีพีแอสควร์ไอดี

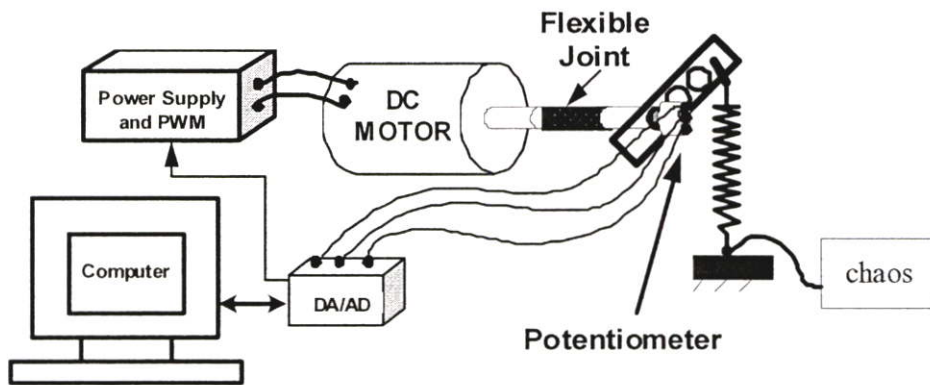
บทที่ 4

ผลการจำลองและการทดลอง

4.1 แบบจำลองแขนกลแบบข้อต่ออ่อนตัว

ในการทดลองนี้ได้นำรูปแบบของแขนกลแบบข้อต่ออ่อนตัวที่มีโหลดเป็นสปริง มาทำการสร้างจริง โดยนำแบบจำลองนี้มาจาก [10] ซึ่งเป็นหุ่นยนต์ในลักษณะที่เป็นแขนกลคังในรูปแบบที่ 4.1 ซึ่งการทำงานของระบบแขนกลแบบข้อต่ออ่อนตัวนี้เป็นแบบไม่เชิงเส้น

โดยที่ในงานวิจัยนี้ได้เพิ่มในส่วนของสัญญาณรบกวนในแบบ logistic map ให้ระบบด้วยเพื่อเป็นการทดสอบประสิทธิภาพของตัวควบคุมแบบฟัซซีพีสแควร์ไอดี



รูปที่ 4.1 แบบจำลองแขนกลแบบข้อต่ออ่อนตัวขณะการะเปลี่ยนตามเวลา

4.1.1 สมการทางคณิตศาสตร์ของแขนกลแบบข้อต่ออ่อนตัว

ในงานวิจัยนี้ได้นำแบบจำลองทางคณิตศาสตร์ของแขนกลแบบข้อต่ออ่อนตัวมาจาก[10]ซึ่งได้เป็นดังสมการนี้

$$I_1 \ddot{\theta}_1(t) + mlg \cdot \sin[\theta_1(t)] + \tilde{k}[\theta_1(t) - \theta_2(t)] = 0 \quad (4.1)$$

$$I_2 \ddot{\theta}_2(t) - \tilde{k}[\theta_1(t) - \theta_2(t)] = u(t) \quad (4.2)$$

โดยที่

I_1 = ค่าความเฉื่อยการหมุนของแขนกล (kgm^2)

I_2 = ค่าความเฉื่อยโรเตอร์ของมอเตอร์ (kgm^2)

\tilde{k} = ค่าความแข็งของข้อต่ออ่อนตัว (Nm/rad)

$\theta_1(t)$ = มุมที่เปลี่ยนไปของแกนกลเทียบกับแกนตั้งฉาก

$\theta_2(t)$ = มุมของแกนมอเตอร์

m = มวลรวมทั้งหมดของแกนกล (kg)

l = ระยะห่างข้อต่อวัดจากจุดศูนย์กลางของแกนหมุน (m)

g = ค่าแรงโน้มถ่วงของโลก (m/s^2)

4.1.2 สมการปริภูมิสถานะ(State-Space)

จากสมการ (4.1) และ (4.2) จะได้สมการปริภูมิสถานะที่อนุพันธ์อันดับหนึ่ง คือ

$$\dot{x} = Ax + Bu \quad (4.3)$$

เมื่อ

$$X = \begin{bmatrix} \theta_1 \\ \dot{\theta}_1 \\ \theta_2 \\ \dot{\theta}_2 \end{bmatrix} \quad (4.4)$$

และสมการสุดท้ายของระบบที่ได้คือ

$$\begin{bmatrix} \dot{x}_1 \\ \dot{x}_2 \\ \dot{x}_3 \\ \dot{x}_4 \end{bmatrix} = \begin{bmatrix} 0 & 1 & 0 & 0 \\ \frac{-(k + mlg)}{I_1} & 0 & \frac{k}{I_1} & 0 \\ 0 & 0 & 0 & 1 \\ \frac{k}{I_2} & 0 & \frac{-k}{I_2} & 0 \end{bmatrix} \begin{bmatrix} x_1 \\ x_2 \\ x_3 \\ x_4 \end{bmatrix} + \begin{bmatrix} 0 \\ 0 \\ 0 \\ \frac{1}{I_2} \end{bmatrix} \cdot u \quad (4.5)$$

ซึ่งสมการ (4.5) นี้สามารถนำไปใช้ในการจำลองผลด้วยคอมพิวเตอร์ในหัวข้อต่อไป

4.2 การจำลองการควบคุมแขนกลข้อต่ออ่อนตัวด้วยคอมพิวเตอร์

การทดลองนี้จะเป็นการเปรียบเทียบผลที่ได้ระหว่างการใช้ตัวควบคุมพีชชีฟิสแควร์ไอดี ที่ไม่ได้ปรับค่าพารามิเตอร์ให้เหมาะสมด้วยวิธีการทางพันธุศาสตร์กับ การใช้ตัวควบคุมแบบพีชชีฟิสแควร์ไอดี ที่ปรับค่าพารามิเตอร์ให้เหมาะสมด้วยวิธีการทางพันธุศาสตร์ของแบบจำลองแขนกลแบบข้อต่ออ่อนตัวซึ่งนำแบบจำลองมาจากรูปที่ 4.1 โดยกำหนดค่าเป้าหมายไว้ที่ 70, 80, 90 ตามลำดับ

4.2.1 การเปรียบเทียบผลตอบสนองของตัวควบคุมพีชชีฟิสแควร์ไอดีปรับแต่งค่าพารามิเตอร์โดยผู้ใช้ที่ไม่มีทักษะ และความชำนาญของแบบจำลองแขนกลแบบข้อต่ออ่อนตัวโดยกำหนดค่าเป้าหมายไว้ที่ 70, 80, 90 องศา

ในการเริ่มแรกของการปรับแต่งค่าพารามิเตอร์ของตัวควบคุมพีชชีฟิสแควร์ไอดีที่นำไปใช้กับแขนกลแบบข้อต่ออ่อนตัวนั้น จะทำการปรับแต่งได้ค่อนข้างยากต้องใช้ทักษะและความชำนาญเป็นอย่างมาก ในการปรับค่าพารามิเตอร์ของตัวควบคุมพีชชีฟิสแควร์ไอดีที่ได้ผลตอบสนองที่ดีซึ่งในหัวข้อนี้ จะทำการทดลองให้เห็นถึงผลในการปรับแต่งค่าพารามิเตอร์ที่ปรับแต่งโดยผู้ใช้ที่ไม่มีทักษะและความชำนาญโดยใช้ค่าพารามิเตอร์ในตารางที่ 4.1

ตารางที่ 4.1 ค่าพารามิเตอร์ของตัวควบคุมพีชชีฟิสแควร์ไอดีที่ปรับค่าพารามิเตอร์โดยผู้ใช้ที่ไม่มี

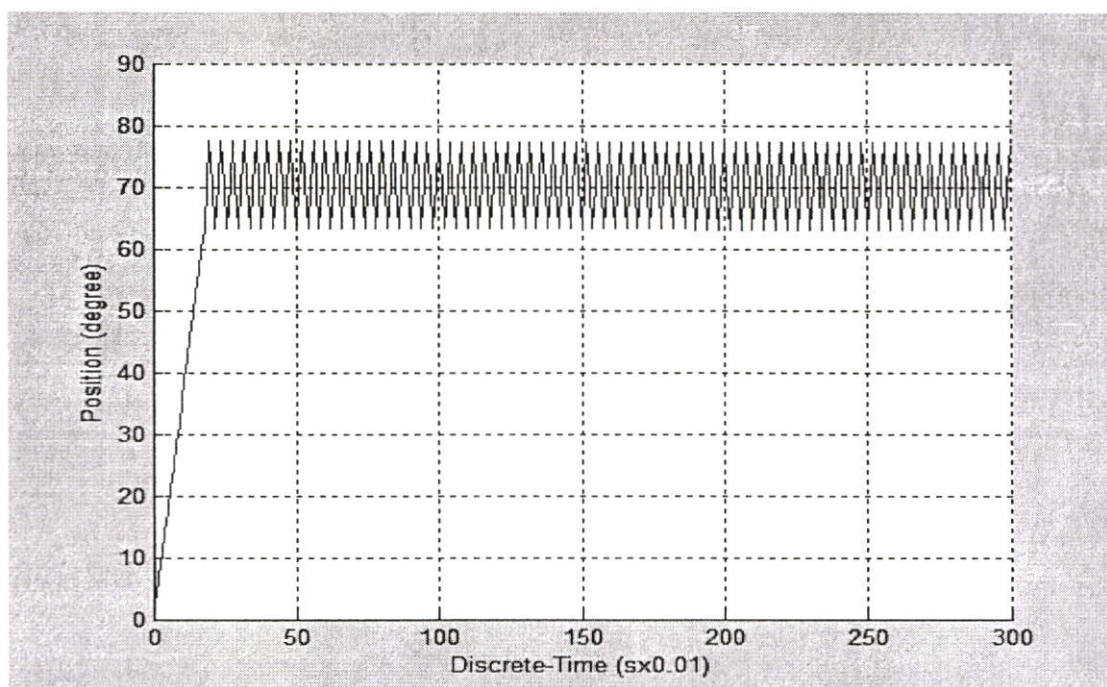
ทักษะและความชำนาญ โดยกำหนดค่า $I_1 = 0.000142 \text{ (kgm}^2\text{)}$, $I_2 = 0.001 \text{ (kgm}^2\text{)}$,

$\tilde{k} = 0.31 \text{ (Nm/rad)}$, $mlg = 0.051 \text{ (Nm)}$, Setpoint(degree) = 70, 80, 90

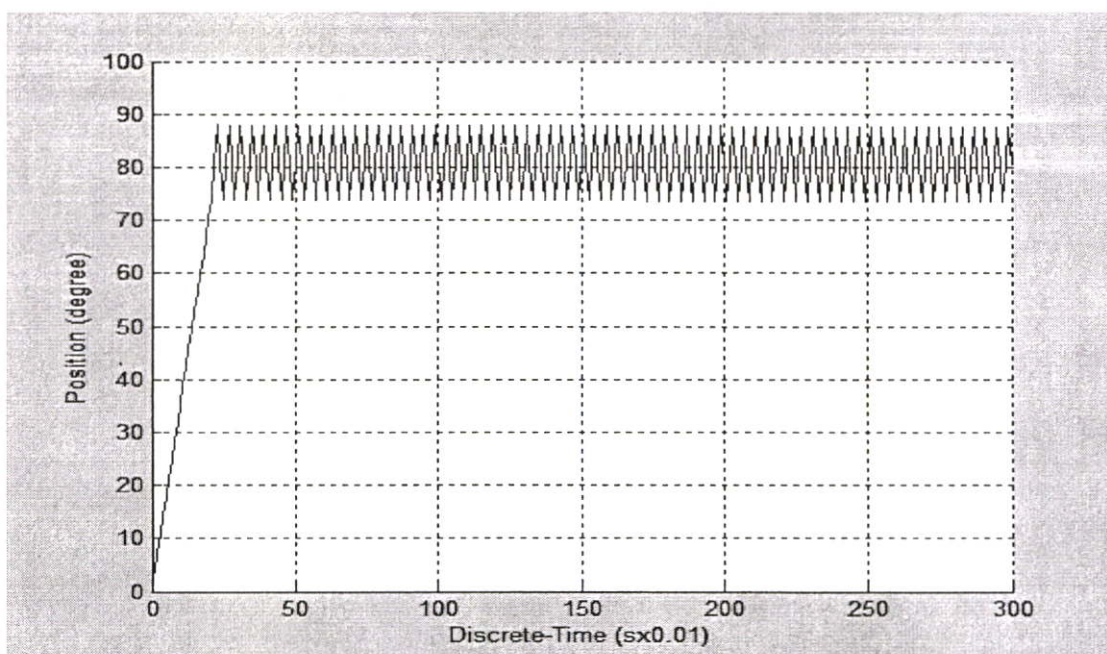
เวลาในการสุ่ม (Sampling Time) $T_s = 0.01 \text{ xsec}$

ค่าเป้าหมาย(degree)	Kpd	Kd	Kupd	Ld	Kpi	Ki	Kupi	Li
70	10	1	1	10	10	1	2	10
80	10	1	1	10	10	1	2	10
90	10	1	1	10	10	1	2	10

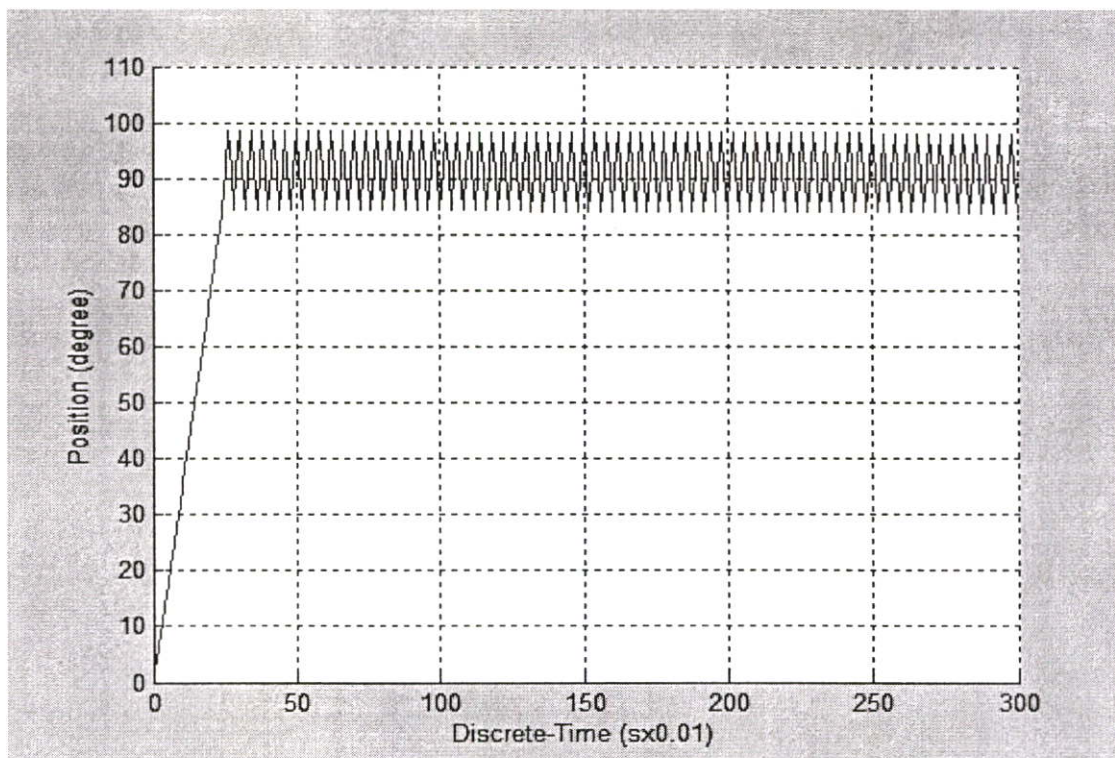
ผลการทดลองในรูปที่ 4.2, 4.3, 4.4 เป็นผลตอบสนองการควบคุมตำแหน่งมอเตอร์ของแขนกลแบบข้อต่ออ่อนตัวด้วยคอมพิวเตอร์ค่าเป้าหมายที่ 70, 80, 90 องศา ปรับแต่งค่าพารามิเตอร์โดยผู้ใช้ที่ไม่มีทักษะซึ่งจะเห็นได้ว่าผลตอบสนองที่ได้จะวิ่งเข้าหาค่าเป้าหมายในช่วงเวลาประมาณ 0.2 วินาทีแต่ระบบจะไม่มีประสิทธิภาพซึ่งดูได้จากการแกว่งของสัญญาณที่มีค่าพุ่งเกินที่มากเมื่อเทียบกับค่าเป้าหมายดูผลการทดลองของรูปที่ 4.2, 4.3, 4.4 ในตารางที่ 4.2



รูปที่ 4.2 ผลจำลองการตอบสนองการควบคุมตำแหน่งมอเตอร์ของแขนกลแบบข้อต่ออ่อนตัว ด้วยคอมพิวเตอร์ค่าเป้าหมายที่ 70 องศา ปรับแต่งค่าพารามิเตอร์โดยผู้ใช้ที่ไม่มีทักษะ



รูปที่ 4.3 ผลจำลองการตอบสนองการควบคุมตำแหน่งมอเตอร์ของแขนกลแบบข้อต่ออ่อนตัว ด้วยคอมพิวเตอร์ค่าเป้าหมายที่ 80 องศา ปรับแต่งค่าพารามิเตอร์โดยผู้ใช้ที่ไม่มีทักษะ

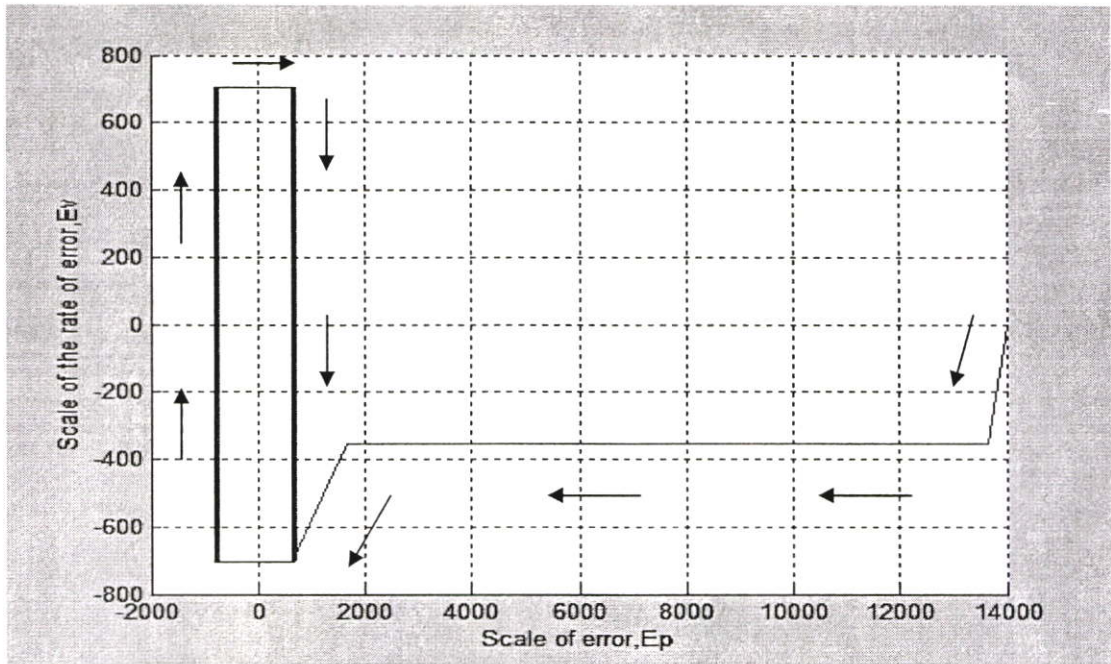


รูปที่ 4.4 ผลจำลองการตอบสนองการควบคุมตำแหน่งมอเตอร์ของแขนกลแบบข้อต่ออ่อนตัว ด้วยคอมพิวเตอร์ค่าเป้าหมายที่ 90 องศา ปรับแต่งค่าพารามิเตอร์โดยผู้ใช้ที่ไม่มีทักษะ

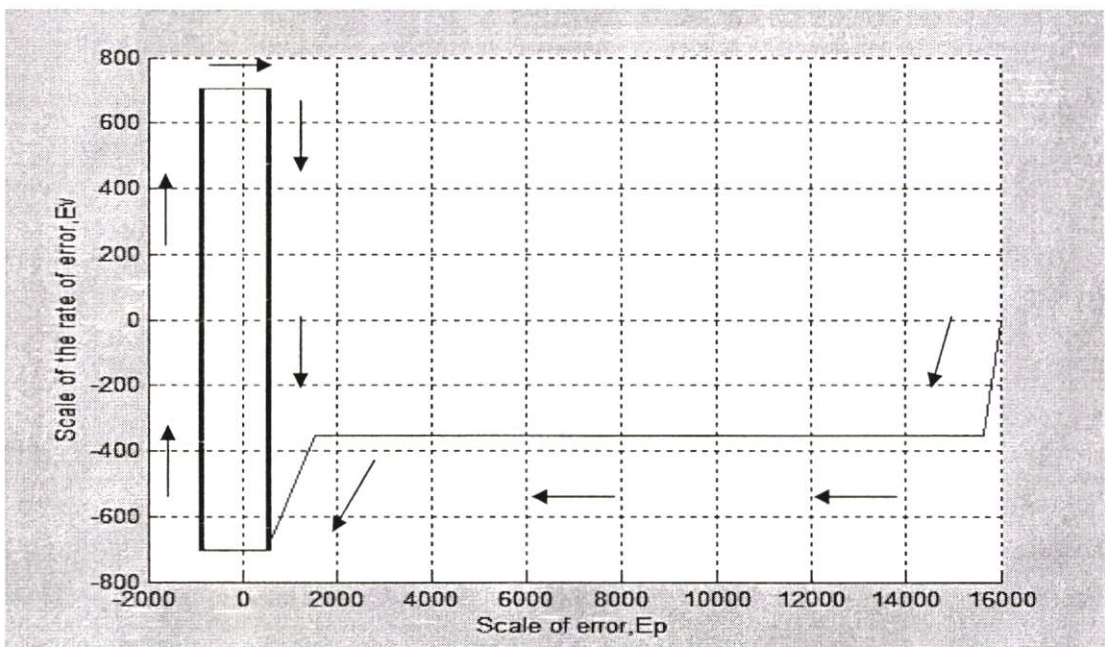
ตารางที่ 4.2 ผลการวัดค่าประสิทธิภาพของการใช้ตัวควบคุมพีซีพีเอสแควร์ไอดีที่ปรับค่าพารามิเตอร์โดยผู้ใช้ที่ไม่มีทักษะและความชำนาญโดยจำลองด้วยคอมพิวเตอร์

ค่าเป้าหมาย(degree)	Rise time(s)	Setting time(s)	Overshoot %
70	0.2391	0.4315	10.642
80	0.2657	0.4853	10
90	0.3189	0.588	9.56

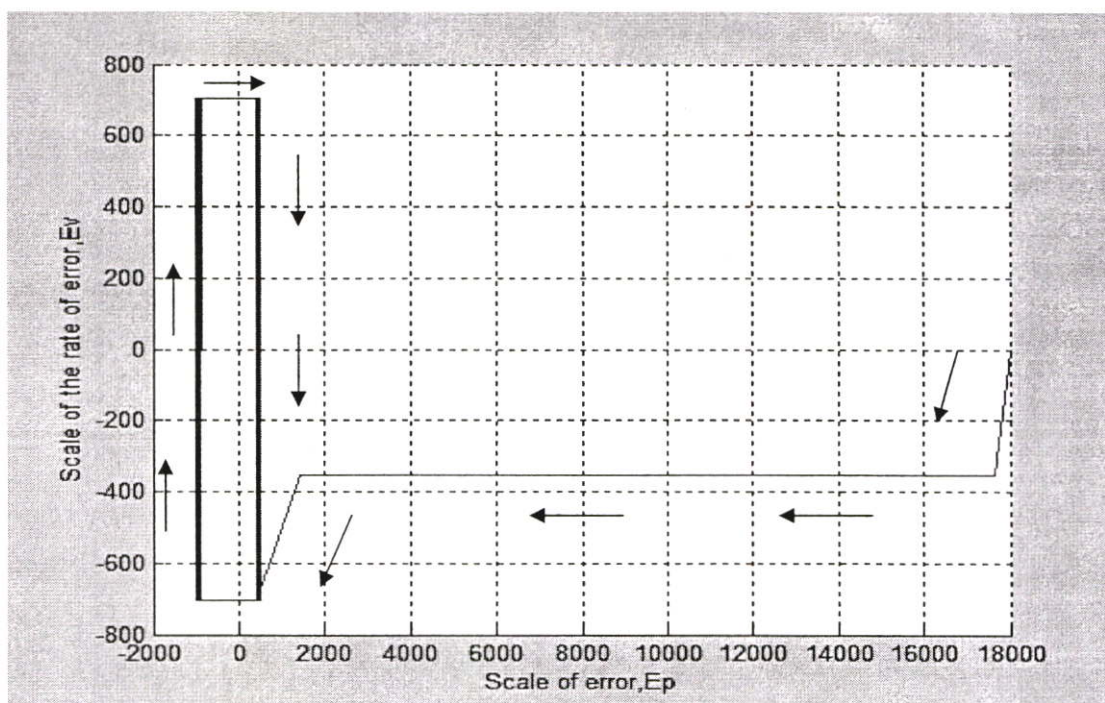
การทดลองในรูปที่ 4.5, 4.6, 4.7 เป็นผลของระนาบเฟสความผิดพลาดของการควบคุมตำแหน่งมอเตอร์ของแขนกลแบบข้อต่ออ่อนตัว ด้วยคอมพิวเตอร์ค่าเป้าหมายที่ 70, 80, 90 องศา ที่ปรับแต่งค่าพารามิเตอร์โดยผู้ใช้ที่ไม่มีทักษะ ซึ่งจะเห็นได้ว่าผลตอบสนองที่ได้ไม่สามารถที่จะลู่อเข้าสู่จุดศูนย์ได้ ซึ่งมีความสอดคล้องกับรูปที่ 4.2, 4.3, 4.4



รูปที่ 4.5 ระบายเฟสความผิดพลาดที่สอดคล้องกับผลตอบสนองของการควบคุมตำแหน่งมอเตอร์ของแกนกลแบบข้อต่ออ่อนตัวด้วยคอมพิวเตอร์ค่าเป้าหมายที่ 70 องศา ของรูปที่ 4.2



รูปที่ 4.6 ระบายเฟสความผิดพลาดที่สอดคล้องกับผลตอบสนองของการควบคุมตำแหน่งมอเตอร์ของแกนกลแบบข้อต่ออ่อนตัวด้วยคอมพิวเตอร์ค่าเป้าหมายที่ 80 องศา ของรูปที่ 4.3



รูปที่ 4.7 ระบายเฟสความผิดพลาดที่สอดคล้องกับผลตอบสนองของการควบคุมตำแหน่งมอเตอร์ของแขนกลแบบข้อต่ออ่อนตัวด้วยคอมพิวเตอร์ค่าเป้าหมายที่ 90 องศา ของรูปที่ 4.4

จากรูปที่ 4.2, 4.3, 4.4 จะเห็นได้ว่าการปรับแต่งค่าพารามิเตอร์ของตัวควบคุมพีซีพีสแควร์ไอดี โดยผู้ใช้ที่ไม่มีทักษะหรือความชำนาญนั้นจะทำให้ได้ผลตอบสนองที่ไม่ดีซึ่งดูได้จากกราฟจะเห็นว่าการแกว่งของค่าพุ่งเกินที่มาก (overshoot) เมื่อเทียบกับค่าเป้าหมาย (setpoint) และค่าเฟสผิดพลาดนั้นจากรูปที่ 4.5, 4.6, 4.7 จะเห็นได้ว่าค่าที่ได้นั้น ไม่มีแนวโน้มที่จะเข้าสู่จุดกำเนิด (origin) ซึ่งแสดงให้เห็นว่าการปรับแต่งค่าพารามิเตอร์ของตัวควบคุมแบบพีซีพีสแควร์ไอดีนั้น หากไม่มีทักษะจะหาค่าที่เหมาะสมได้ยากและใช้เวลานาน

4.2.2 การเปรียบเทียบผลตอบสนองของตัวควบคุมพีซีพีสแควร์ไอดีปรับแต่งค่าพารามิเตอร์โดยผู้ใช้ที่มีทักษะและความชำนาญกับการปรับแต่งค่าพารามิเตอร์ด้วยวิธีการทางพันธุศาสตร์ของแบบจำลองแขนกลแบบข้อต่ออ่อนตัวโดยกำหนดค่าเป้าหมายไว้ที่ 70, 80, 90 องศา

ในการจำลองผลตอบสนองของแบบจำลองแขนกลแบบข้อต่ออ่อนตัวโดยการปรับแต่งค่าพารามิเตอร์โดยผู้ใช้ที่มีทักษะและความชำนาญนั้นใช้ค่าพารามิเตอร์ในตารางที่ 4.3 และการปรับแต่งค่าพารามิเตอร์ด้วยวิธีการทางพันธุศาสตร์นั้นใช้ค่าพารามิเตอร์ในตารางที่ 4.4 ตามลำดับ

ตารางที่ 4.3 ค่าพารามิเตอร์ของตัวควบคุมพีชชีฟีสแควร์ไอดีที่ปรับค่าพารามิเตอร์โดยผู้ใช้ที่มี

ทักษะและความชำนาญ โดยกำหนดค่า $I_1 = 0.000142 \text{ (kgm}^2\text{)}$, $I_2 = 0.001 \text{ (kgm}^2\text{)}$,

$\tilde{k} = 0.31 \text{ (Nm/rad)}$, $mlg = 0.051 \text{ (Nm)}$, Setpoint(degree) = 70, 80, 90

เวลาในการสุ่ม (Sampling Time) $T_s = 0.01 \text{ xsec}$

ค่าเป้าหมาย(degree)	Kpd	Kd	Kupd	Ld	Kpi	Ki	Kupi	Li
70	3	5	1	9	20	1	2	0.1
80	3	5	1	9	20	1	2	0.1
90	3	5	1	9	20	1	2	0.1

ตารางที่ 4.4 ค่าพารามิเตอร์ของตัวควบคุมพีชชีฟีสแควร์ไอดีที่ปรับค่าพารามิเตอร์ด้วยวิธีการทาง

พันธุศาสตร์ โดยกำหนดค่า $I_1 = 0.000142 \text{ (kgm}^2\text{)}$, $I_2 = 0.001 \text{ (kgm}^2\text{)}$, $\tilde{k} =$

0.31 (Nm/rad) , $mlg = 0.051 \text{ (Nm)}$, Setpoint(degree) = 70, 80, 90

เวลาในการสุ่ม (Sampling Time) $T_s = 0.01 \text{ xsec}$

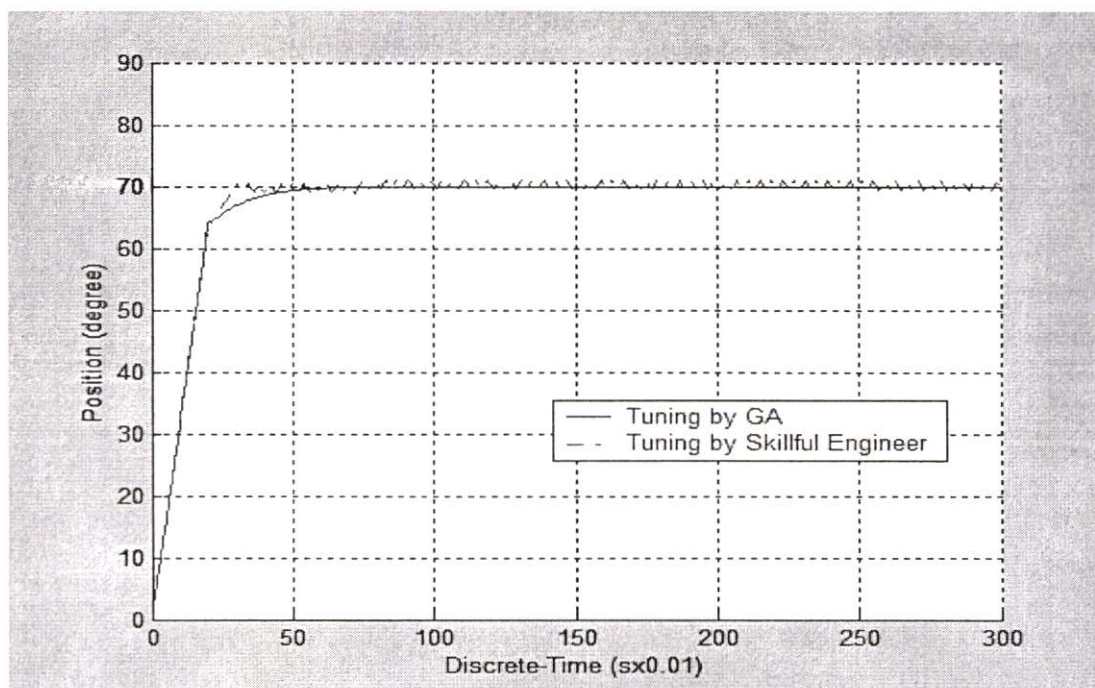
ค่าเป้าหมาย (degree)	Kpd	Kd	Kupd	Ld	Kpi	Ki	Kupi	Li
70	2.9521	3.1263	0.9542	9.5311	0.03	0.0009	0.56	1.3
80	2.9521	3.1263	0.9542	9.5311	0.03	0.0009	0.56	1.3
90	2.9521	3.1263	0.9542	9.5311	0.03	0.0009	0.56	1.3

ผลการทดลองในรูปแบบที่ 4.8, 4.9, 4.10 เป็นผลตอบสนองการควบคุมตำแหน่งมอเตอร์ของแขนกลแบบข้อต่ออ่อนตัวด้วยคอมพิวเตอร์ค่าเป้าหมายที่ 70, 80, 90 องศา ปรับแต่งค่าพารามิเตอร์โดยผู้ใช้ที่มีทักษะซึ่งจะเห็นได้ว่าผลตอบสนองที่ได้จะวิ่งเข้าหาค่าเป้าหมายได้ในช่วงเวลาประมาณ 0.2 วินาที และระบบมีความเสถียรภาพที่ยอมรับได้ซึ่งดูได้จากการแกว่งของสัญญาณที่มีค่าพุ่งเกินที่น้อยเมื่อเทียบกับค่าเป้าหมายซึ่งดูผลการทดลองได้จากตารางที่ 4.5

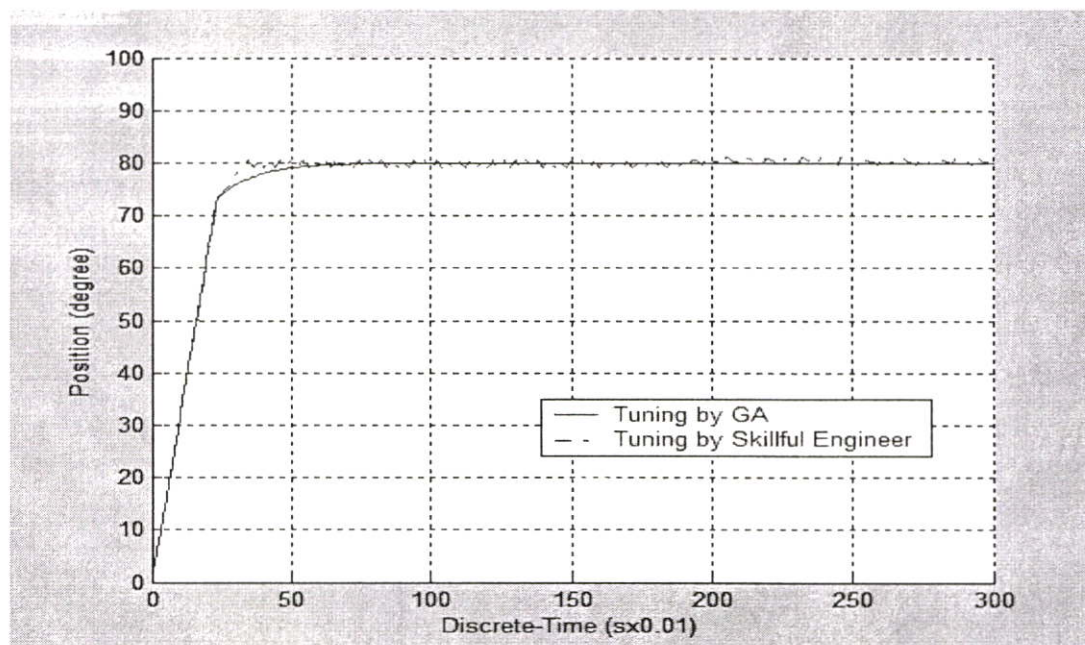
ตารางที่ 4.5 ผลการวัดค่าประสิทธิภาพของการใช้ตัวควบคุมแบบพีชชีฟีสแควร์ไอดีที่ปรับ

ค่าพารามิเตอร์ให้เหมาะสมด้วยวิธีการทางพันธุศาสตร์โดยจำลองด้วยคอมพิวเตอร์

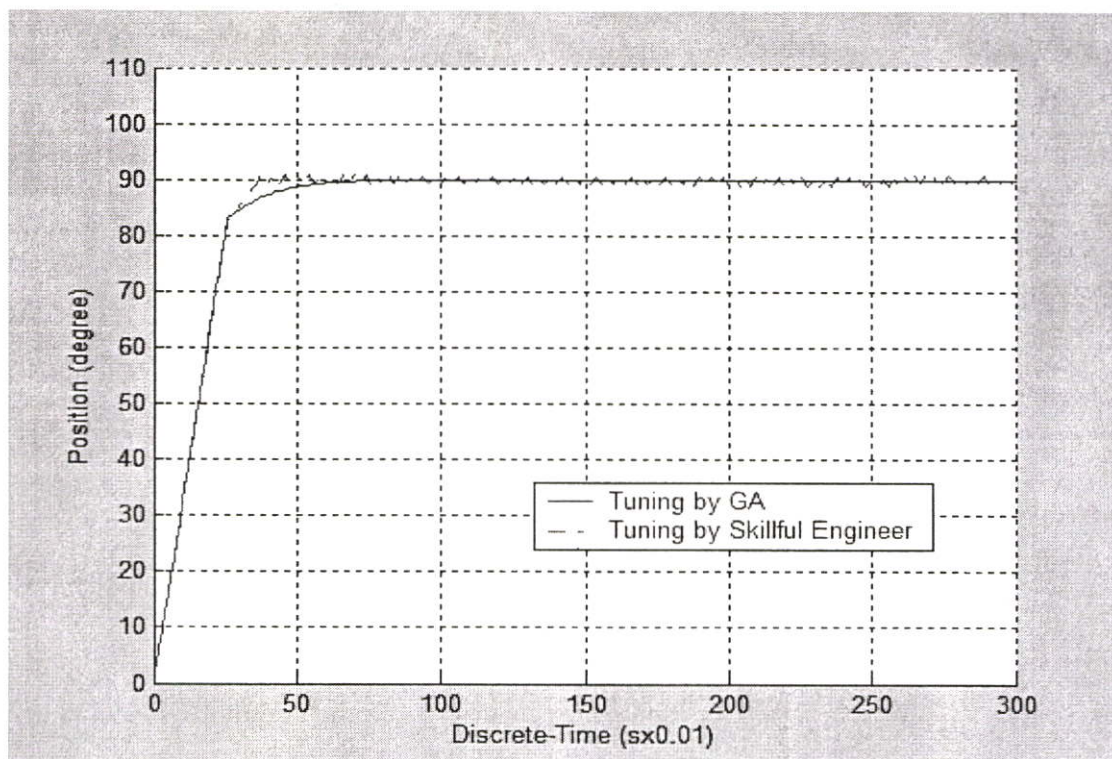
ค่าเป้าหมาย(degree)	Rise time(s)	Setting time(s)	Overshoot %
70	0.2248	0.364	0
80	0.2488	0.4338	0
90	0.299	0.498	0



รูปที่ 4.8 การเปรียบเทียบผลจำลองการตอบสนองการควบคุมตำแหน่งมอเตอร์ของแขนกลแบบข้อต่ออ่อนตัวด้วยคอมพิวเตอร์ค่าเป้าหมายที่ 70 องศา ระหว่างการปรับแต่งพารามิเตอร์โดยผู้ใช้ที่มีทักษะกับการใช้วิธีการทางพันธุศาสตร์

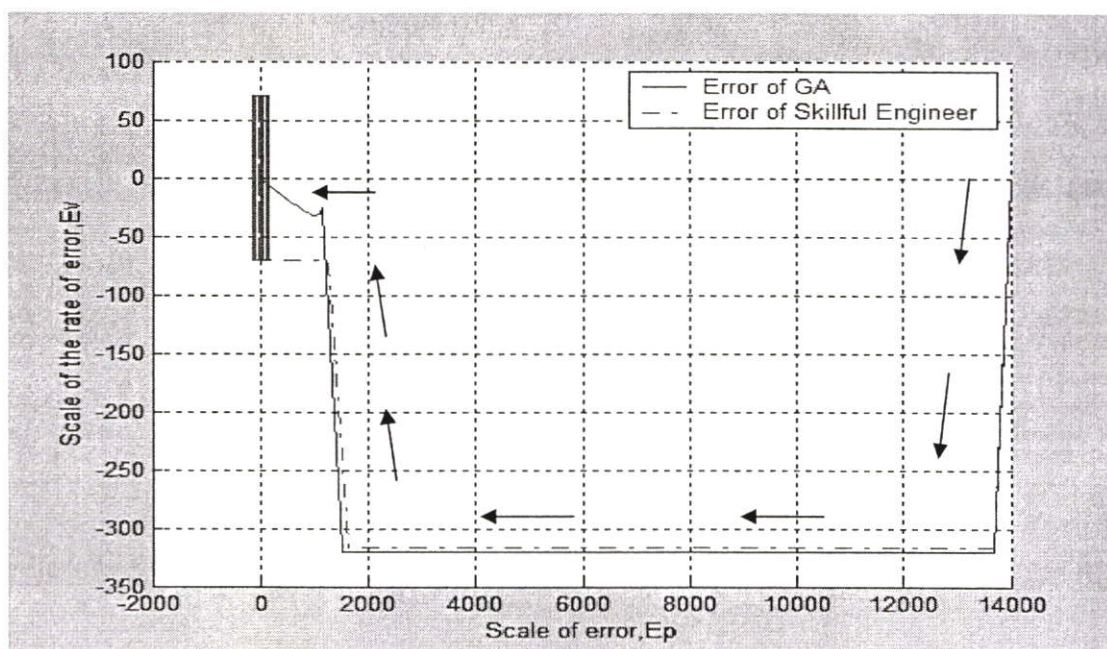


รูปที่ 4.9 การเปรียบเทียบผลจำลองการตอบสนองการควบคุมตำแหน่งมอเตอร์ของแขนกลแบบข้อต่ออ่อนตัวด้วยคอมพิวเตอร์ค่าเป้าหมายที่ 80 องศา ระหว่างการปรับแต่งพารามิเตอร์โดยผู้ใช้ที่มีทักษะกับการใช้วิธีการทางพันธุศาสตร์

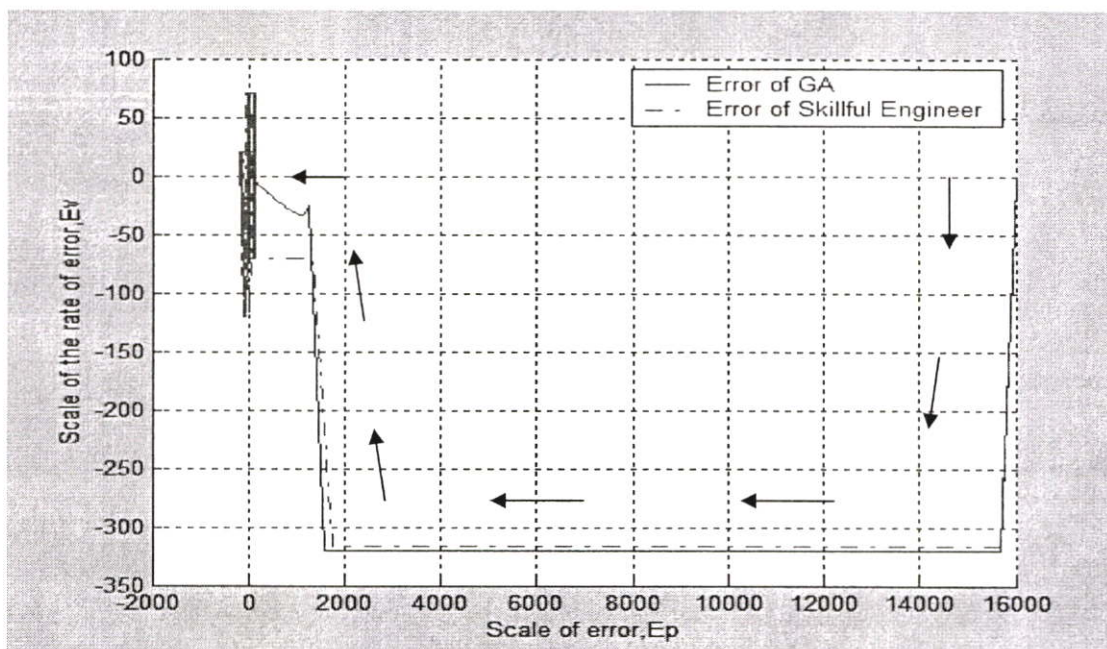


รูปที่ 4.10 การเปรียบเทียบผลจำลองการตอบสนองการควบคุมตำแหน่งมอเตอร์ของแขนกลแบบ ข้อต่ออ่อนตัวด้วยคอมพิวเตอร์ค่าเป้าหมายที่ 90 องศา ระหว่างการปรับแต่งพารามิเตอร์ โดยผู้ใช้ที่มีทักษะกับการใช้วิธีการทางพันธุศาสตร์

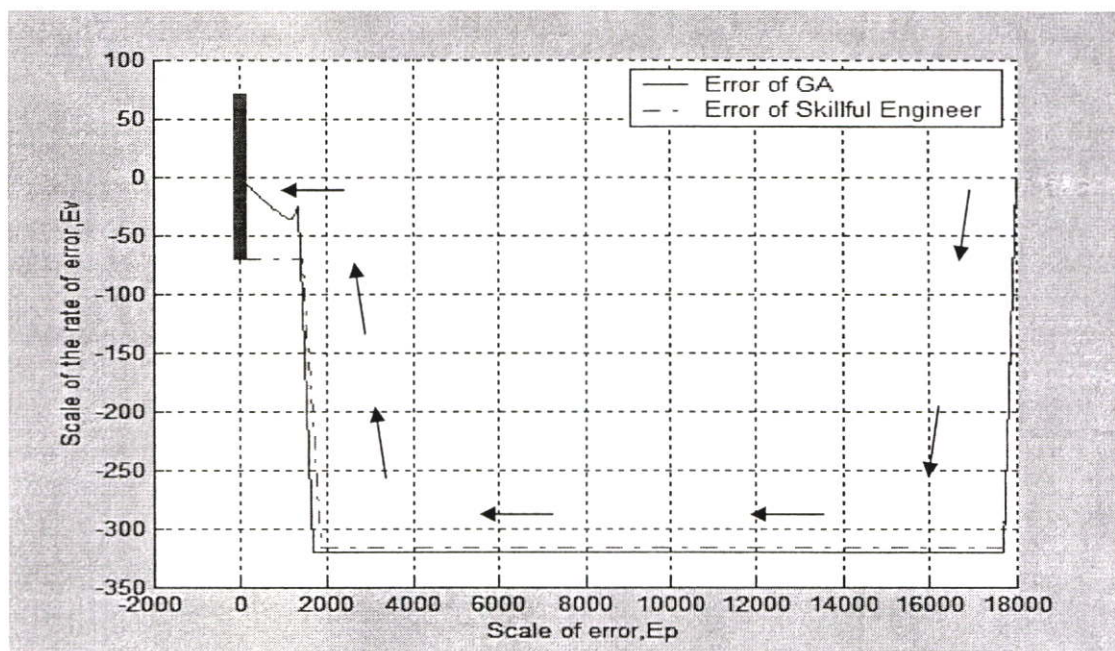
การทดลองในรูปที่ 4.11, 4.12, 4.13 เป็นผลของระนาบเฟสความผิดพลาดของการควบคุม ตำแหน่งมอเตอร์ของแขนกลแบบข้อต่ออ่อนตัว ด้วยคอมพิวเตอร์ค่าเป้าหมายที่ 70, 80, 90 องศา ที่ ปรับแต่งค่าพารามิเตอร์โดยผู้ใช้ที่มีทักษะ ซึ่งจะเห็นได้ว่าผลตอบสนองที่ได้สามารถที่จะลู่เข้าสู่จุด กำเนิดได้ ซึ่งมีความสอดคล้องกับรูปที่ 4.8, 4.9, 4.10



รูปที่ 4.11 ระนาบเฟสความผิดพลาดที่สอดคล้องกับผลตอบสนองของการควบคุมตำแหน่งมอเตอร์ของแขนกลแบบข้อต่ออ่อนตัวด้วยคอมพิวเตอร์ค่าเป้าหมายที่ 70 องศา ของรูปที่ 4.8



รูปที่ 4.12 ระนาบเฟสความผิดพลาดที่สอดคล้องกับผลตอบสนองของการควบคุมตำแหน่งมอเตอร์ของแขนกลแบบข้อต่ออ่อนตัวด้วยคอมพิวเตอร์ค่าเป้าหมายที่ 80 องศา ของรูปที่ 4.9



รูปที่ 4.13 ระนาบเฟสความผิดพลาดที่สอดคล้องกับผลตอบสนองของการควบคุมตำแหน่งมอเตอร์ของแขนกลแบบข้อต่ออ่อนตัวด้วยคอมพิวเตอร์ค่าเป้าหมายที่ 90 องศา ของรูปที่ 4.10

จากการทดลองในรูปที่ 4.8, 4.9, 4.10 นั้นพบว่า การปรับแต่งค่าพารามิเตอร์ของตัวควบคุมแบบฟัซซีฟิสแควร์ไอดีโดยผู้ที่มีความชำนาญนั้น สามารถให้ผลตอบสนองที่ดีใกล้เคียงกับการใช้วิธีการทางพันธุศาสตร์เข้ามาช่วย แต่ยังมีข้อเสียโดยใช้เวลาในการปรับแต่งค่าพารามิเตอร์ที่นานกว่าและยังมีค่าพุ่งเกิน (overshoot) ที่มากกว่าอีกด้วย ซึ่งสรุปได้ว่าการใช้วิธีการทางพันธุศาสตร์เข้ามาปรับแต่งพารามิเตอร์ของตัวควบคุมแบบฟัซซีฟิสแควร์ไอดีนั้นให้ผลตอบสนองที่ดีกว่าและเวลาในการปรับแต่งพารามิเตอร์ที่รวดเร็วกว่า โดยจะนำผลที่ได้ในการจำลองด้วยคอมพิวเตอร์นี้ไปทำการทดลองในงานสร้างจริงในต่อไป

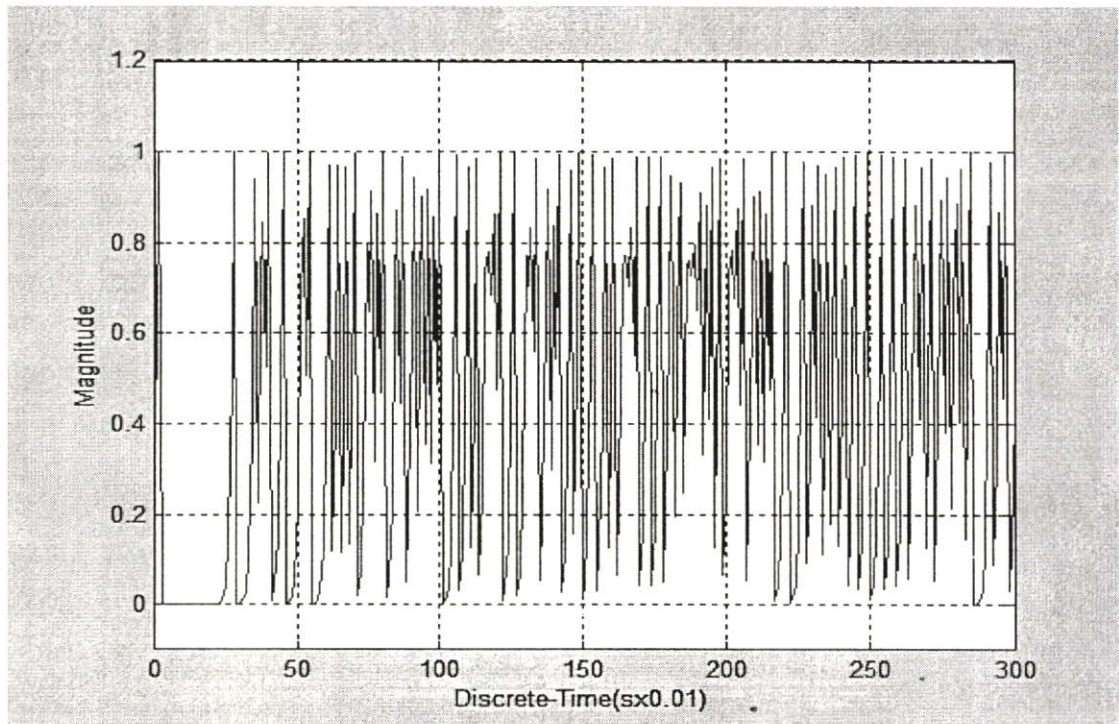
4.2.3 การทดสอบประสิทธิภาพของตัวควบคุมฟัซซีฟิสแควร์ไอดีที่ปรับค่าพารามิเตอร์ให้เหมาะสมด้วยวิธีการทางพันธุศาสตร์

การทดสอบประสิทธิภาพในการควบคุมแบบจำลองแขนกลแบบข้อต่ออ่อนตัวนั้นในงานวิจัยนี้ได้ทำการเพิ่มสัญญาณรบกวนอลวนให้กับระบบ โดยใช้สัญญาณอลวนในรูป logistic map [9] ซึ่งมีสมการดังนี้

$$x_{n+1} = r \cdot x_n (1 - x_n) \quad (4.6)$$

ที่ $x_n = 0.49999999$, $r = 4$

จากการนำสมการที่ (4.6) มาทำการจำลองด้วยคอมพิวเตอร์ทำให้ได้ค่าสัญญาณรบกวนอลวนดังรูปที่ 4.14 ซึ่งจะเห็นได้ว่าค่าของสัญญาณแต่ละช่วงเวลามีค่าไม่เท่ากันซึ่งเป็นไปตามสมการของสัญญาณรบกวนอลวน [9]

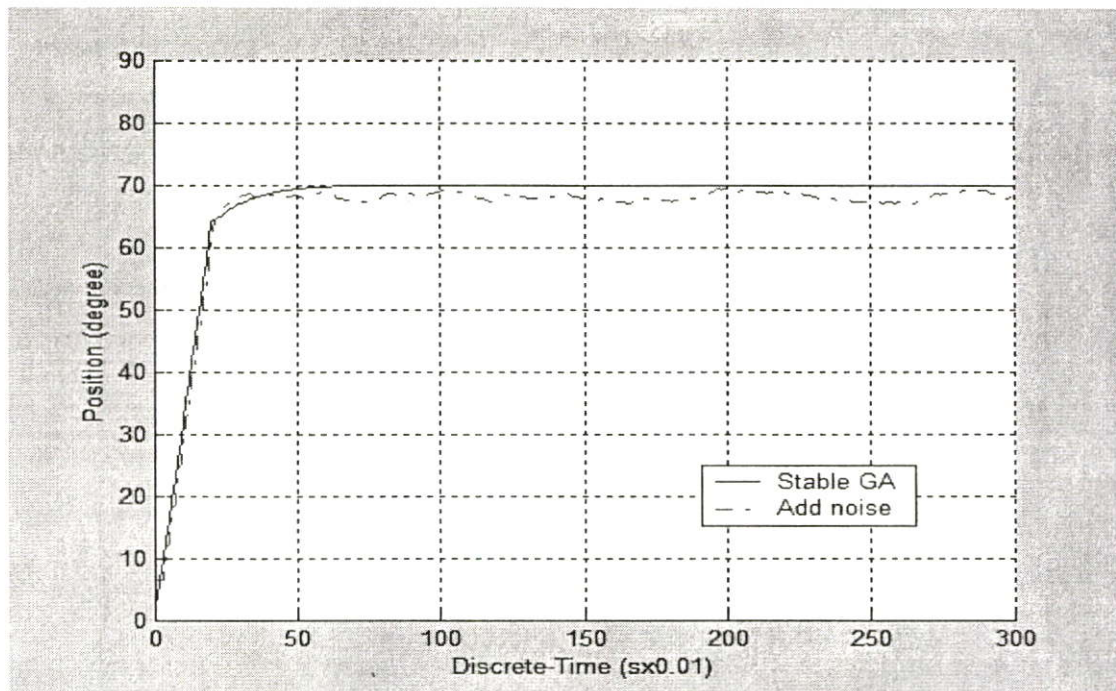


รูปที่ 4.14 สัญญาณอลวนในรูป logistic map

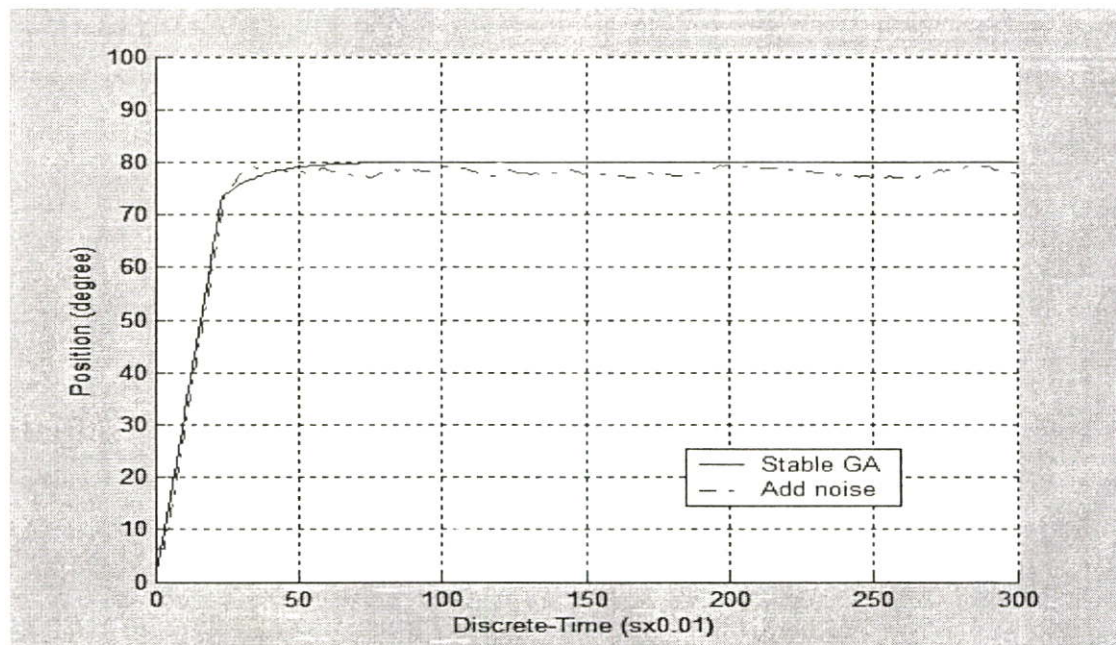
4.2.3.1 ผลตอบสนองของตัวควบคุมแบบพีซีพีสแควร์ไอดีที่ปรับค่าพารามิเตอร์ให้

เหมาะสมด้วยวิธีการทางพันธุศาสตร์ขณะมีสัญญาณรบกวนอลวน logistic map กำหนดค่าเป้าหมาย ที่ 70, 80, 90 องศา

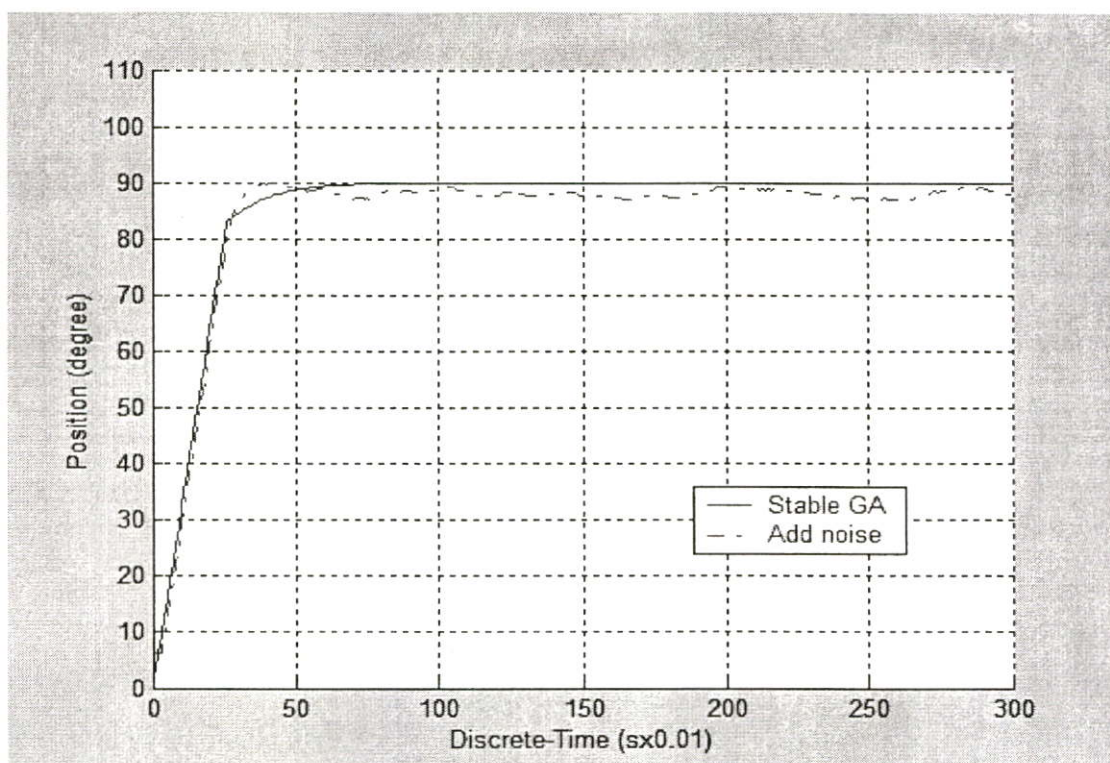
ในการทดลองนี้จะทำการเพิ่มสัญญาณรบกวนอลวน logistic map กำหนดค่าเป้าหมาย ที่ 70, 80, 90 องศาโดยใช้ค่าพารามิเตอร์ในตารางที่ 4.4 ดังในรูปที่ 4.15, 4.16, 4.17 ซึ่งจะเห็นว่ามีการแกว่งของผลตอบสนองของมอเตอร์ ซึ่งมีความไม่ราบเรียบเมื่อเทียบกับค่าเป้าหมายที่ตั้งไว้ซึ่งดูผลที่ได้จากตารางที่ 4.6



รูปที่ 4.15 ผลการจำลองการตอบสนองการควบคุมตำแหน่งมอเตอร์ของแขนกลแบบข้อต่ออ่อนตัว ด้วยคอมพิวเตอร์ขณะมีสัญญาณรบกวนลอจิสติก ค่าเป้าหมายที่ 70 องศา



รูปที่ 4.16 ผลการจำลองการตอบสนองการควบคุมตำแหน่งมอเตอร์ของแขนกลแบบข้อต่ออ่อนตัว ด้วยคอมพิวเตอร์ขณะมีสัญญาณรบกวนลอจิสติก ค่าเป้าหมายที่ 80 องศา

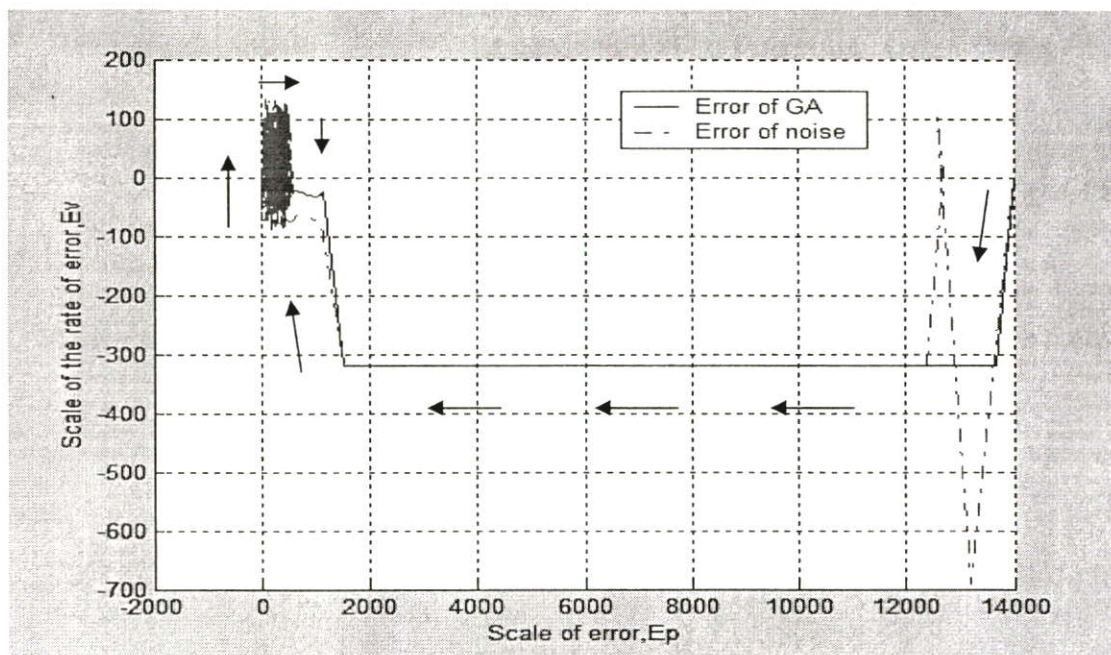


รูปที่ 4.17 ผลการจำลองการตอบสนองการควบคุมตำแหน่งมอเตอร์ของแขนกลแบบข้อต่ออ่อนตัว ด้วยคอมพิวเตอร์ขณะมีสัญญาณรบกวนลอวน logistic map ค่าเป้าหมายที่ 90 องศา

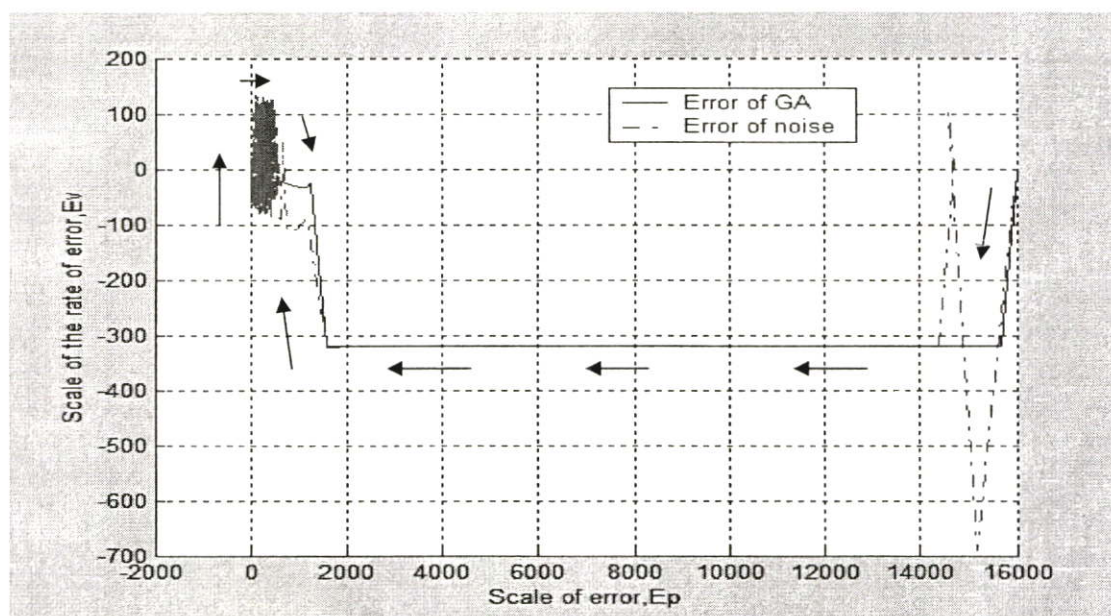
การทดลองในรูปที่ 4.18, 4.19, 4.20 เป็นผลของระนาบเฟสความผิดพลาดของการควบคุมตำแหน่งมอเตอร์ของแขนกลแบบข้อต่ออ่อนตัว ด้วยคอมพิวเตอร์ค่าเป้าหมายที่ 70, 80, 90 องศา ที่มีสัญญาณรบกวนลอวน ซึ่งจะเห็นได้ว่าผลตอบสนองที่ได้สามารถที่ไม่ลู่เข้าสู่จุดกำเนิดได้ ซึ่งมีความสอดคล้องกับรูปที่ 4.15, 4.16, 4.17

ตารางที่ 4.6 ผลการวัดค่าประสิทธิภาพของการใช้ตัวควบคุมพีซีพีสแควร์ไอดีที่ปรับค่าพารามิเตอร์ให้เหมาะสมด้วยวิธีการทางพันธุศาสตร์ซึ่งทำการเพิ่มสัญญาณรบกวนลอวน logistic map โดยจำลองโดยคอมพิวเตอร์

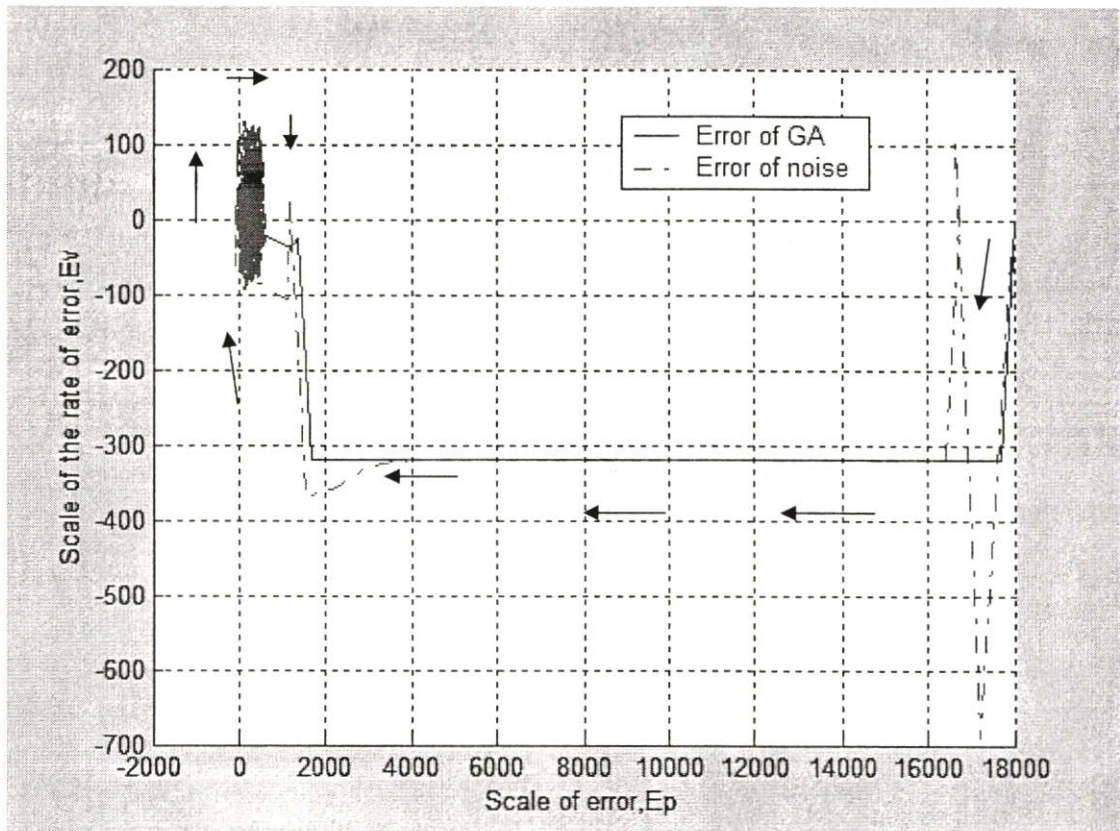
ค่าเป้าหมาย(degree)	Rise time(s)	Setting time(s)	Overshoot %
70	0.2248	0.3281	-1.03
80	0.2498	0.3625	-0.87
90	0.253	0.332	-0.77



รูปที่ 4.18 ระนาบเฟสความผิดพลาดที่สอดคล้องกับผลตอบสนองของการควบคุมตำแหน่งมอเตอร์ของแกนกลแบบข้อต่ออ่อนตัวด้วยคอมพิวเตอร์ขณะมีสัญญาณรบกวนลวนค่าเป้าหมายที่ 70 องศา ของรูปที่ 4.15



รูปที่ 4.19 ระนาบเฟสความผิดพลาดที่สอดคล้องกับผลตอบสนองของการควบคุมตำแหน่งมอเตอร์ของแกนกลแบบข้อต่ออ่อนตัวด้วยคอมพิวเตอร์ขณะมีสัญญาณรบกวนลวนค่าเป้าหมายที่ 80 องศา ของรูปที่ 4.16



รูปที่ 4.20 ระนาบเฟสความผิดพลาดที่สอดคล้องกับผลตอบสนองของการควบคุมตำแหน่งมอเตอร์ของแขนกลแบบข้อต่ออ่อนตัวด้วยคอมพิวเตอร์ขณะมีสัญญาณรบกวนลวนค่าเป้าหมายที่ 90 องศา ของรูปที่ 4.17

จากผลการทดลองในรูปที่ 4.15, 4.16, 4.17 จะพบว่าระบบของตัวควบคุมแบบพีซีพีเอสแควร์ไอดีของแขนกลแบบข้อต่ออ่อนตัวโดยที่มีการเพิ่มสัญญาณรบกวนลวนนั้นจะเห็นว่าระบบไม่สามารถที่จะเข้าสู่ค่าเป้าหมายที่กำหนดไว้ได้ ซึ่งดูจากผลการตอบสนองที่ได้จะเห็นว่าการแกว่งของสัญญาณเมื่อเทียบกับค่าเป้าหมายที่ตั้งไว้ที่ 70, 80, 90 องศา และเมื่อดูจากรูปที่ 4.18, 4.19, 4.20 ค่าของระนาบเฟสผิดพลาดยังไม่เข้าสู่จุดกำเนิด ซึ่งจากผลการทดลองดังกล่าวจะได้ทำการทดลองขจัดสัญญาณรบกวนในหัวข้อต่อไป

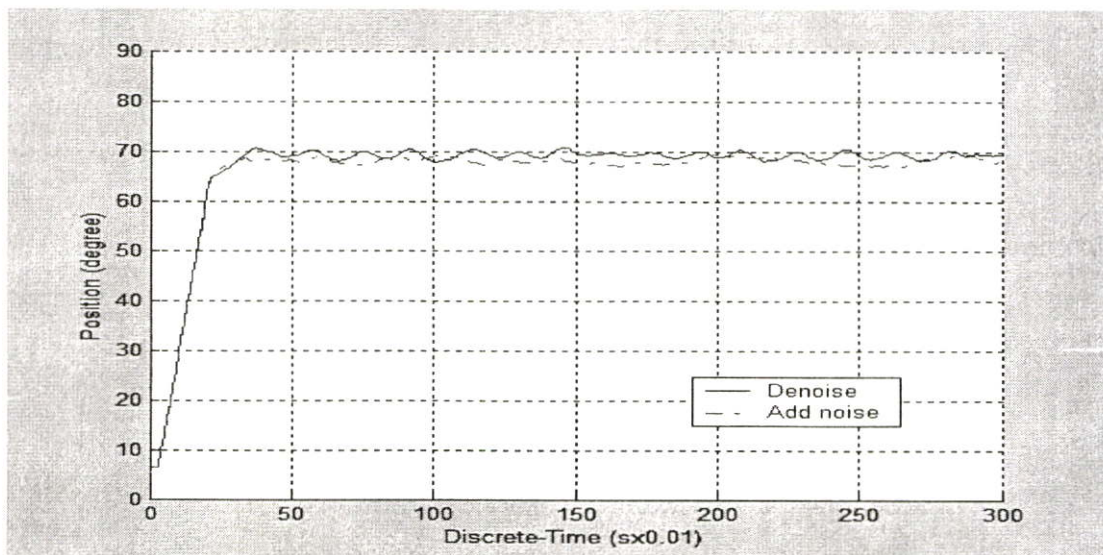
4.2.3.2 การตอบสนองของตัวควบคุมแบบพีซีพีสแควร์ไอดีที่ปรับค่าพารามิเตอร์ให้

เหมาะสมด้วยวิธีการทางพันธุศาสตร์ขณะขจัดสัญญาณรบกวนลอวน logistic map กำหนดค่าเป้าหมาย ที่ 70, 80, 90 องศา

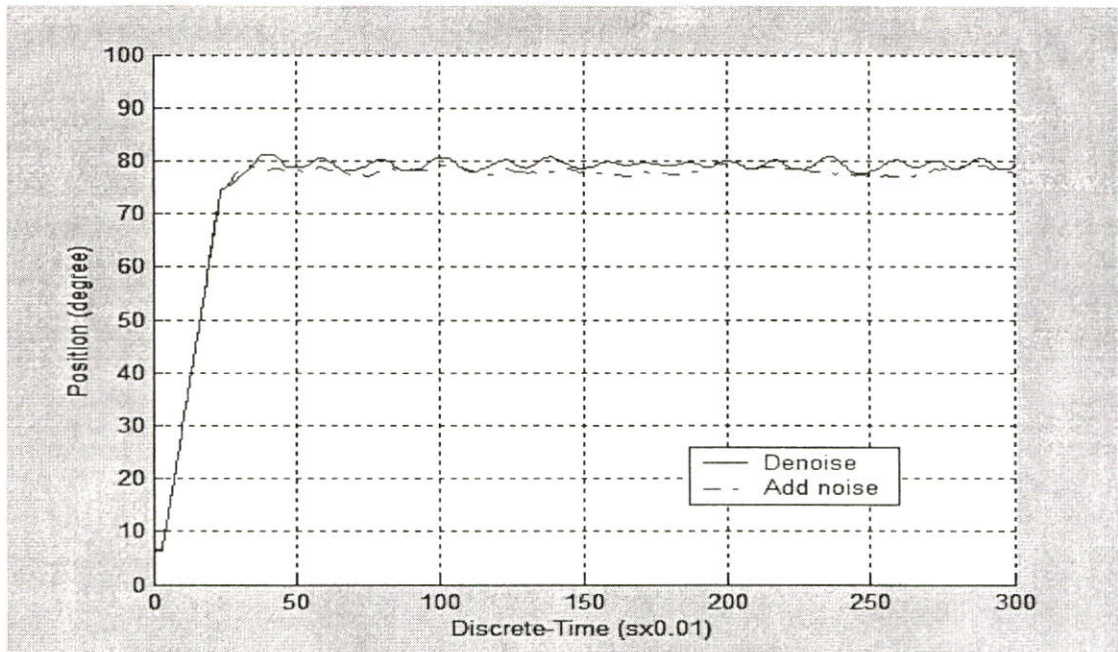
ในการทดลองนี้จะทำการขจัดสัญญาณรบกวนลอวน logistic map กำหนดค่าเป้าหมาย ที่ 70, 80, 90 องศาโดยใช้ค่าพารามิเตอร์ในตารางที่ 4.7 ดังในรูปที่ 4.21, 4.22, 4.23 ซึ่งจะเห็นว่าผลตอบสนองที่ได้นั้นมีการลู่เข้าสู่ค่าเป้าหมายที่ตั้งไว้ได้แต่มีการแกว่งของผลตอบสนองของมอเตอร์อยู่ซึ่งในระบบควบคุมนั้นสามารถยอมรับได้ซึ่งผลการทดลองจากตารางที่ 4.8

ตารางที่ 4.7 ค่าพารามิเตอร์ของตัวควบคุมพีซีพีสแควร์ไอดีที่ปรับค่าพารามิเตอร์ให้เหมาะสมด้วยวิธีการทางพันธุศาสตร์ของแบบจำลองแขนกลแบบข้อต่ออ่อนตัวที่ขจัดสัญญาณรบกวนลอวนในรูป logistic map แล้ว ที่กำหนดค่า $I_1 = 0.000142 \text{ (kgm}^2\text{)}$, $I_2 = 0.001 \text{ (kgm}^2\text{)}$, $\tilde{k} = 0.31 \text{ (Nm/rad)}$, $mlg = 0.051 \text{ (Nm)}$, Setpoint(degree) = 70, 80, 90 เวลาในการสุ่ม (Sampling Time) $T_s = 0.01 \text{ xsec}$

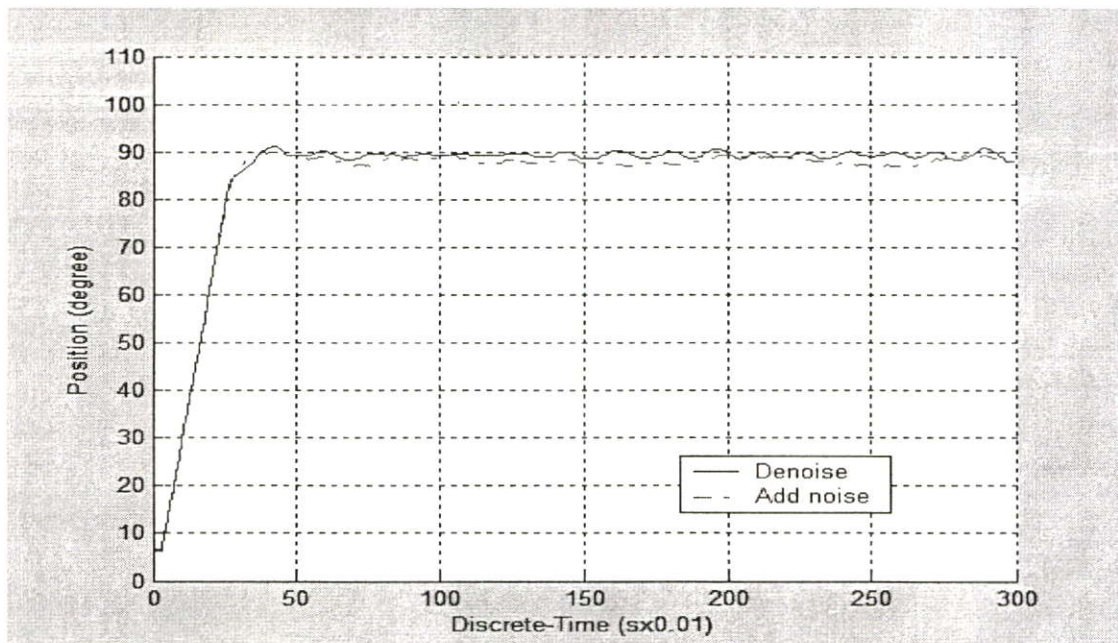
ค่าเป้าหมาย (degree)	Kpd	Kd	Kupd	Ld	Kpi	Ki	Kupi	Li
70	2.9521	3.1263	0.963	9.5311	0.04998	0.01	0.565	0.5
80	2.9521	3.1263	0.963	9.5311	0.04998	0.01	0.565	0.5
90	2.9521	3.1263	0.963	9.5311	0.04998	0.01	0.565	0.5



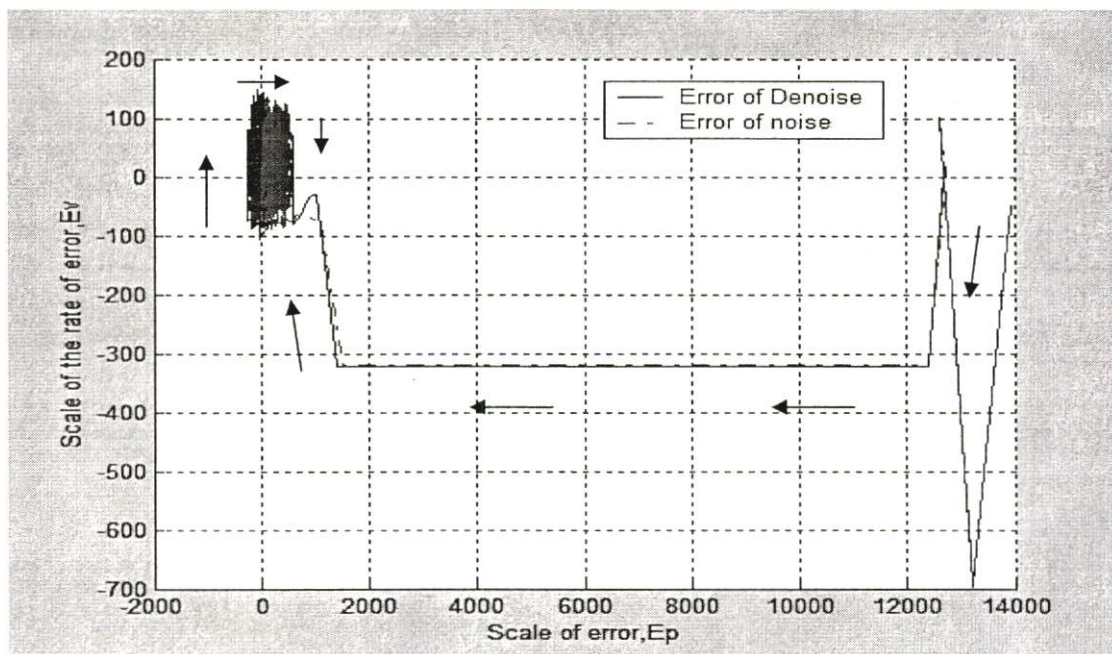
รูปที่ 4.21 ผลการจำลองการตอบสนองการควบคุมตำแหน่งมอเตอร์ของแขนกลแบบข้อต่ออ่อนตัวด้วยคอมพิวเตอร์ขณะขจัดสัญญาณรบกวนลอวน logistic map ค่าเป้าหมายที่ 70 องศา



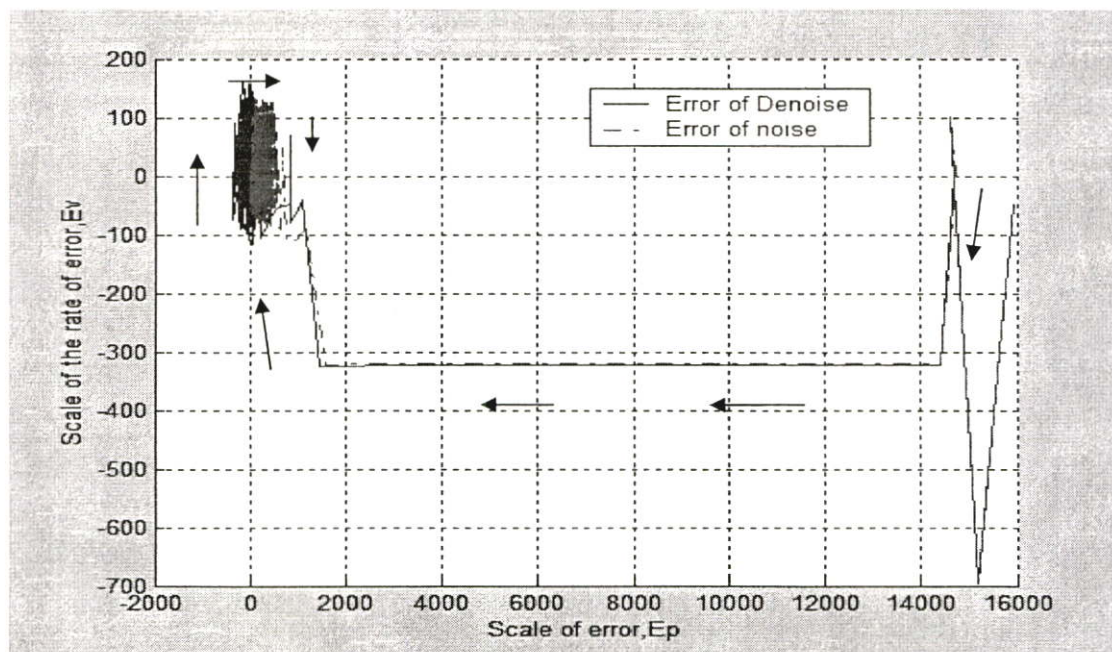
รูปที่ 4.22 ผลการจำลองการตอบสนองการควบคุมตำแหน่งมอเตอร์ของแขนกลแบบข้อต่ออ่อนตัว ด้วยคอมพิวเตอร์ขณะจัดสัญญาณรบกวนลอจิสติก ค่าเป้าหมายที่ 80 องศา



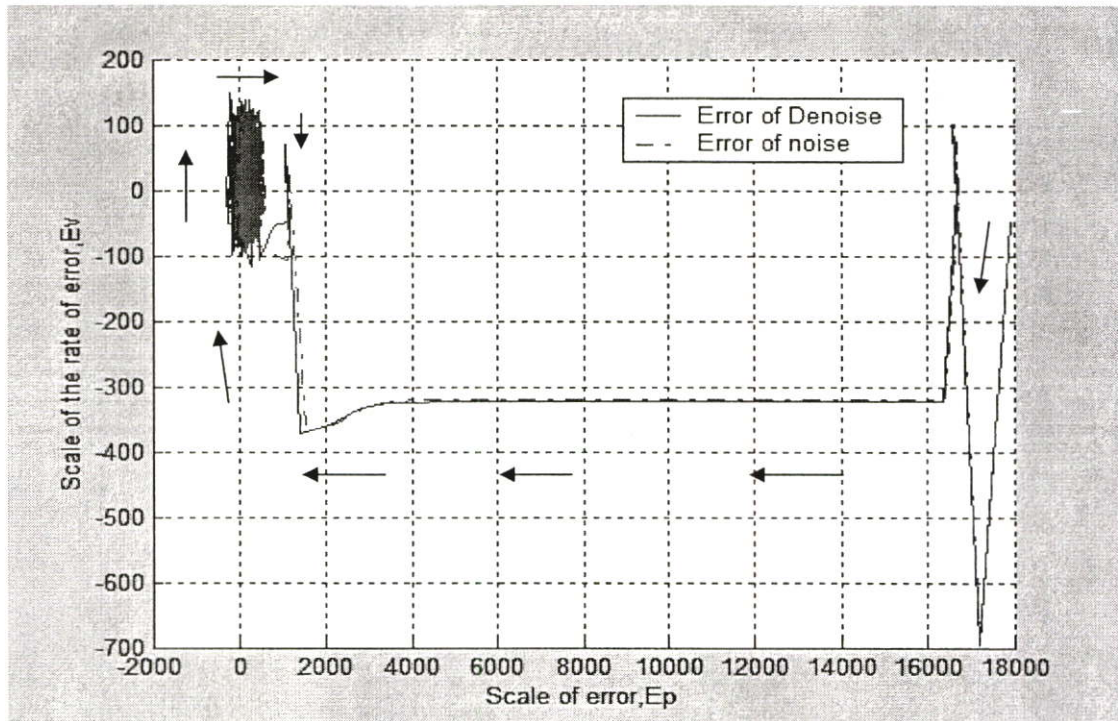
รูปที่ 4.23 ผลการจำลองการตอบสนองการควบคุมตำแหน่งมอเตอร์ของแขนกลแบบข้อต่ออ่อนตัว ด้วยคอมพิวเตอร์ขณะจัดสัญญาณรบกวนลอจิสติก ค่าเป้าหมายที่ 90 องศา



รูปที่ 4.24 ระบายเฟสความผิดพลาดที่สอดคล้องกับผลตอบสนองของการควบคุมตำแหน่งมอเตอร์ของแกนกลแบบข้อต่ออ่อนตัวด้วยคอมพิวเตอร์ขณะมีสัญญาณรบกวนลวนค่าเป้าหมายที่ 70 องศา ของรูปที่ 4.21



รูปที่ 4.25 ระบายเฟสความผิดพลาดที่สอดคล้องกับผลตอบสนองของการควบคุมตำแหน่งมอเตอร์ของแกนกลแบบข้อต่ออ่อนตัวด้วยคอมพิวเตอร์ขณะมีสัญญาณรบกวนลวนค่าเป้าหมายที่ 80 องศา ของรูปที่ 4.22



รูปที่ 4.26 ระบายเฟสความผิดพลาดที่สอดคล้องกับผลตอบสนองของการควบคุมตำแหน่งมอเตอร์ของแกนกลแบบข้อต่ออ่อนตัวด้วยคอมพิวเตอร์ขณะมีสัญญาณรบกวนค่าเป้าหมายที่ 90 องศา ของรูปที่ 4.23

ตารางที่ 4.8 ผลการวัดค่าประสิทธิภาพของการใช้ตัวควบคุมพีชซีพีสแควร์ไอดีที่ปรับค่าพารามิเตอร์ให้เหมาะสมด้วยวิธีการทางพันธุศาสตร์โดยขจัดสัญญาณรบกวนลอวน logistic map โดยจำลองโดยคอมพิวเตอร์

ค่าเป้าหมาย(degree)	Rise time(s)	Setting time(s)	Overshoot %
70	0.222	0.3249	0.0814
80	0.244	0.3548	0.0706
90	0.257	0.364	0.0814

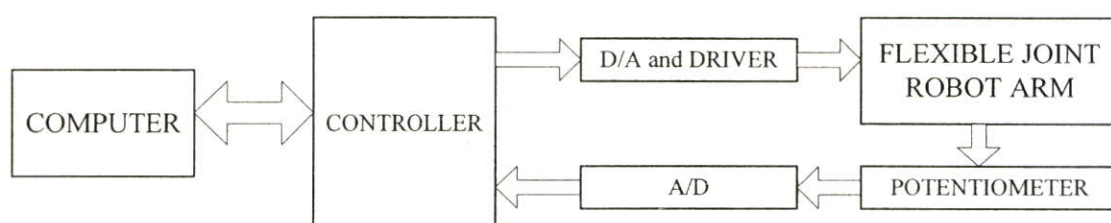
จากผลการทดลองในรูปที่ 4.21, 4.22, 4.23 จะพบว่าระบบของตัวควบคุมแบบพีชซีพีสแควร์ไอดีของแกนกลแบบข้อต่ออ่อนตัว โดยการขจัดสัญญาณรบกวนลอวนนั้นจะเห็นว่าระบบสามารถขจัดสัญญาณรบกวนลอวนได้แต่ผลตอบสนองนั้นยังคงมีค่าพุ่งเกินอยู่เล็กน้อยซึ่งเป็นผลมาจากสัญญาณรบกวน โดยมีระนาบเฟสความผิดพลาดที่สอดคล้องกันดังในรูปที่ 4.24, 4.25, 4.26 ซึ่งสรุปได้ว่าการทดสอบประสิทธิภาพของตัวควบคุมแบบพีชซีพีสแควร์ไอดีที่ปรับค่าพารามิเตอร์ด้วย

วิธีการทางพันธุศาสตร์ของแขนกลแบบข้อต่ออ่อนตัวนั้น ได้ผลเป็นที่น่าพอใจ และจะนำผลที่ได้จากการทดลองด้วยคอมพิวเตอร์นี้ไปทำการสร้างจริงในหัวข้อต่อไป

4.3 อุปกรณ์ที่ใช้ในการทดลอง

1. เครื่องคอมพิวเตอร์พร้อมระบบปฏิบัติการ 1 เครื่อง
2. โปรแกรมที่ใช้เขียนจำลองการทำงานบนเครื่องคอมพิวเตอร์ของ MATLAB version 6.5
3. โปรแกรมที่ใช้เขียนบนเครื่องคอมพิวเตอร์ (Compiler) ของ Microsoft รุ่น Microsoft Visual Basic version 6.0
4. โปรแกรมที่ใช้เขียนบนบอร์ดควบคุมไมโครคอนโทรลเลอร์ (Compiler) ของ Microchip รุ่น Keil C51
5. บอร์ดควบคุมไมโครคอนโทรลเลอร์ของ ATMEL รุ่น 89C51AC2
6. เครื่องโปรแกรมและDebugโปรแกรมไมโครคอนโทรลเลอร์ ของ ETT รุ่น CP-JR51AC2
7. สายติดต่อพอร์ตอนุกรม
8. ชุดจำลองการทำงานของระบบแขนกลแบบข้อต่ออ่อนตัว

4.4 การทำงานของระบบ



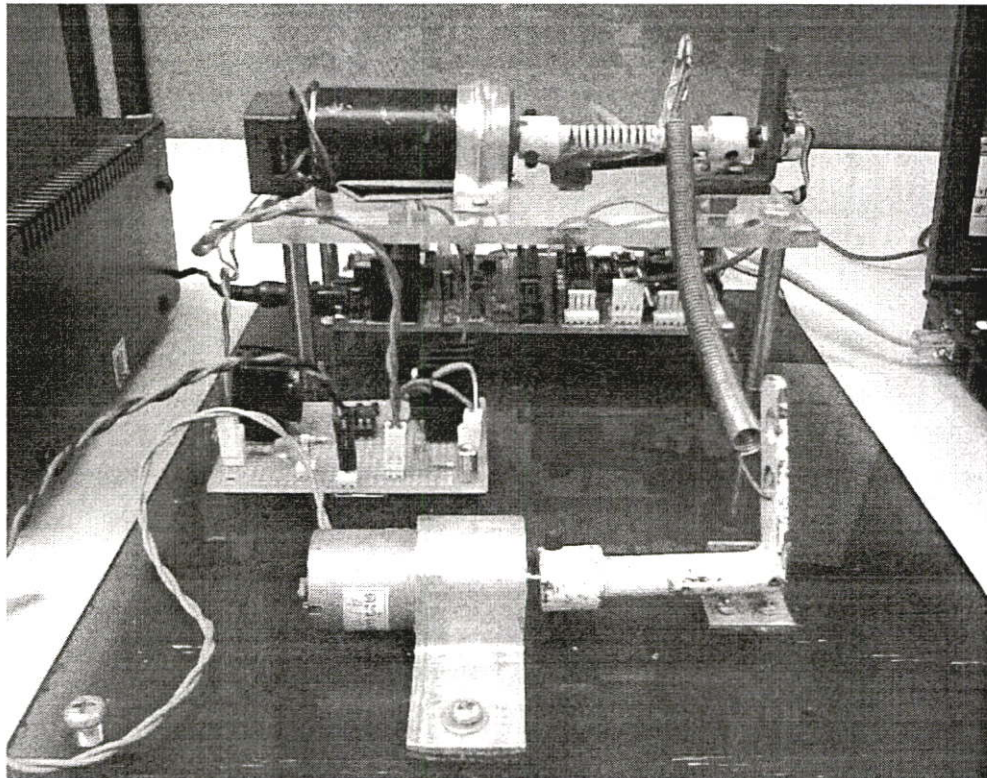
รูปที่ 4.27 บล็อกการทำงานของระบบแขนกลแบบข้อต่ออ่อนตัว

จากรูปที่ 4.27 การทำงานเริ่มจากคอมพิวเตอร์จะส่งค่าอินพุต (องศาที่ต้องการ) ไปยังบอร์ดควบคุม 89C51AC2 ทำการประมวลผล เอาท์พุทที่ได้จะถูกแปลงสัญญาณจากดิจิทัลเป็นอนาล็อกผ่านชุด Driver เข้าสู่ระบบแขนกลแบบข้อต่ออ่อนตัว จากนั้นตัวความต้านทานปรับค่าได้ (potentiometer) จะวัดองศาและส่งกลับไปที่บอร์ดควบคุม 89C51AC2 โดยผ่านตัวแปลงสัญญาณอนาล็อกเป็นดิจิทัล เพื่อทำการประมวลผลให้ได้องศาตามที่คอมพิวเตอร์กำหนดมา และบอร์ด

ควบคุม 89C51AC2 จะส่งค่าที่ได้จากตัวความต้านทานปรับค่าได้ (potentiometer) กลับไปแสดงผลกราฟที่คอมพิวเตอร์

4.5 การทดลองระบบจริง

ในการทดลองได้กำหนดค่าพารามิเตอร์ดังนี้ $I_1 = 0.000142 \text{ (kgm}^2\text{)}$, $I_2 = 0.001 \text{ (kgm}^2\text{)}$, $\tilde{k} = 0.31 \text{ (Nm/rad)}$, $mlg = 0.051 \text{ (Nm)}$, Setpoint(degree) = 70, 80, 90

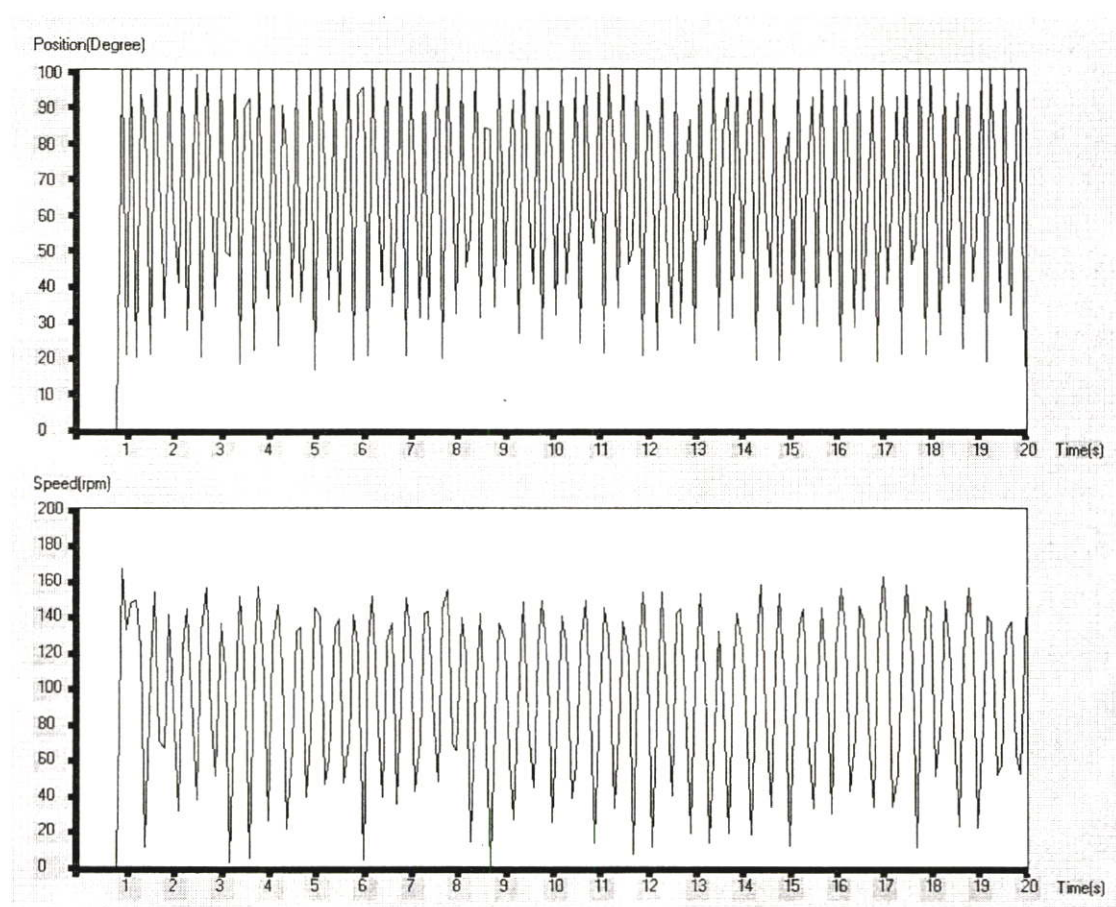


รูปที่ 4.28 แขนกลแบบข้อต่ออ่อนตัวที่ใช้ทดลองจริง

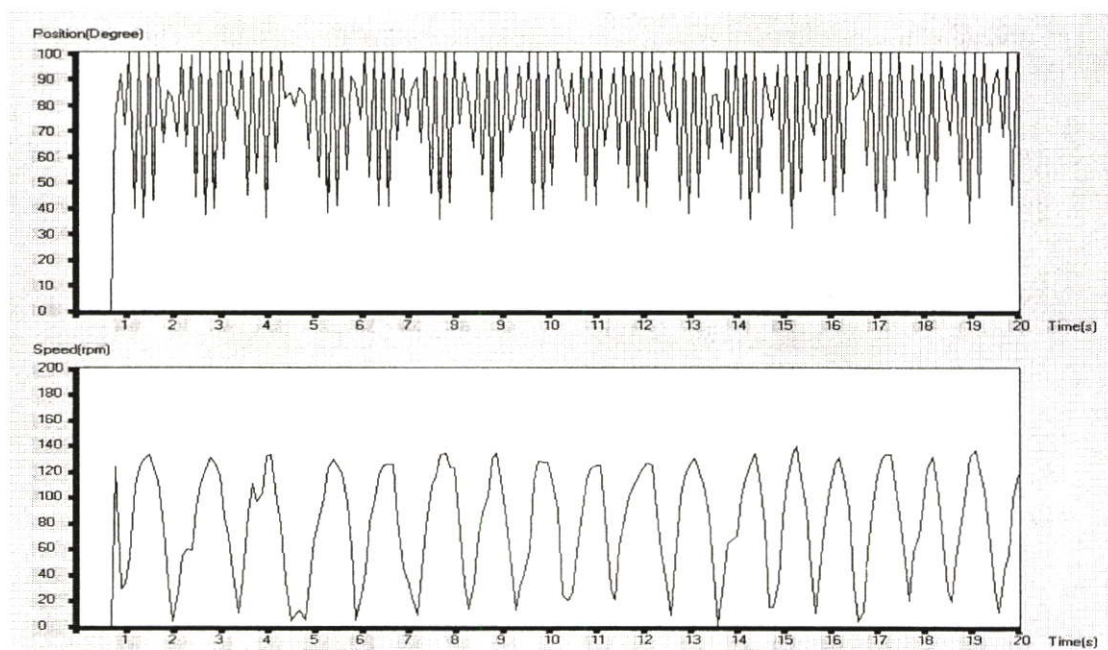
4.5.1 ผลตอบสนองระบบจริงของตัวควบคุมพีซีพีเอสแควร์ไอดีปรับแต่งค่าพารามิเตอร์โดยผู้ใช้ที่ไม่มีทักษะ และความชำนาญของแกนกลแบบข้อต่ออ่อนตัวโดยกำหนดค่าเป้าหมายไว้ที่ 70, 80, 90 องศา

การทดลองนี้เป็นการทดสอบผลตอบสนองที่ได้จากการใช้ตัวควบคุมแบบพีซีพีเอสแควร์ไอดีที่ปรับค่าพารามิเตอร์จากผู้ใช้ที่ไม่มีทักษะ โดยตั้งค่าเป้าหมายที่ 70, 80, 90 องศา

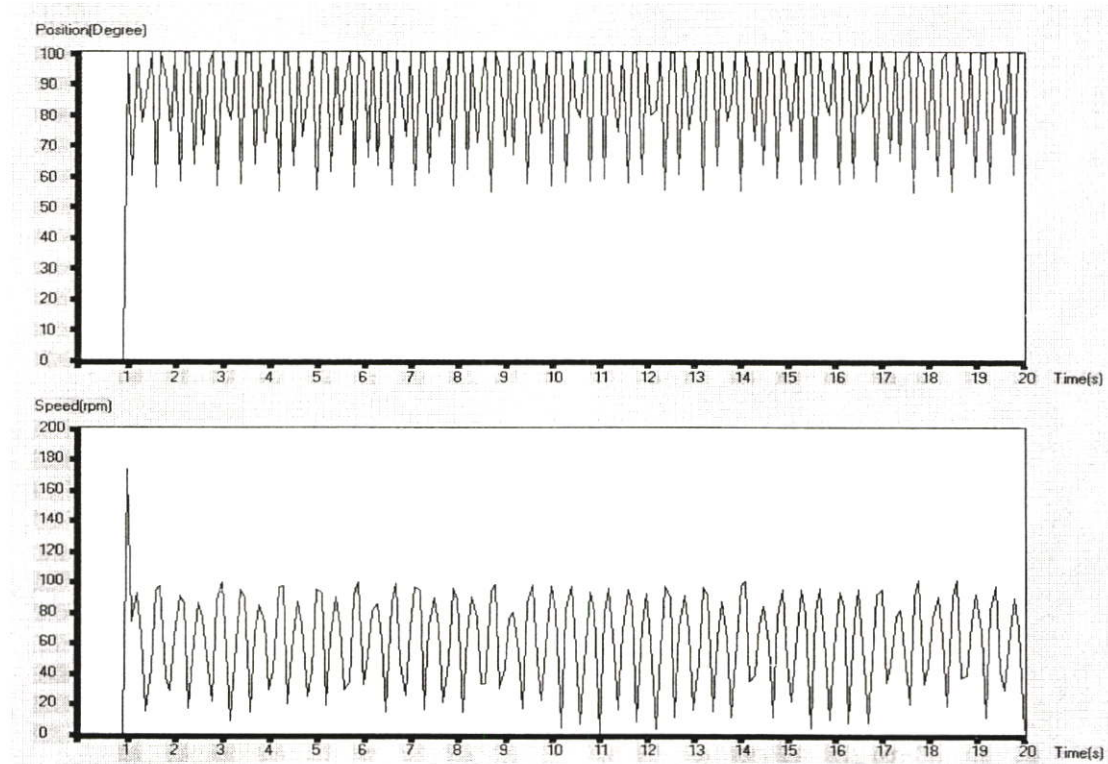
ในรูปที่ 4.29, 4.30, 4.31 เป็นผลตอบสนองที่ได้จากผลทดลองระบบจริงการตอบสนองการควบคุมตำแหน่งมอเตอร์ของแกนกลแบบข้อต่ออ่อนตัวค่าเป้าหมายที่ 70, 80, 90 องศา ปรับแต่งค่าพารามิเตอร์โดยผู้ใช้ที่ไม่มีทักษะ ซึ่งจะเห็นได้ว่าการแกว่งของสัญญาณมากเมื่อเทียบกับค่าเป้าหมายจะเห็นได้ว่าระบบไม่ได้เริ่มการทำงานที่เวลาเท่ากับศูนย์วินาที เนื่องจากการหน่วงค่าที่เกิดขึ้นมาจากการรับส่งค่าจากบอร์ดควบคุมมายังคอมพิวเตอร์ และเมื่อนำมาเทียบผลตอบสนองของตำแหน่งมอเตอร์กับค่าความเร็วจะเห็นได้ว่ามีความสอดคล้องกัน คือไม่คงที่ในการรักษาระดับขององศาและความเร็วไว้ได้



รูปที่ 4.29 ผลทดลองระบบจริงการตอบสนองการควบคุมตำแหน่งมอเตอร์ของแกนกลแบบข้อต่ออ่อนตัวค่าเป้าหมายที่ 70 องศา ปรับแต่งค่าพารามิเตอร์โดยผู้ใช้ที่ไม่มีทักษะ

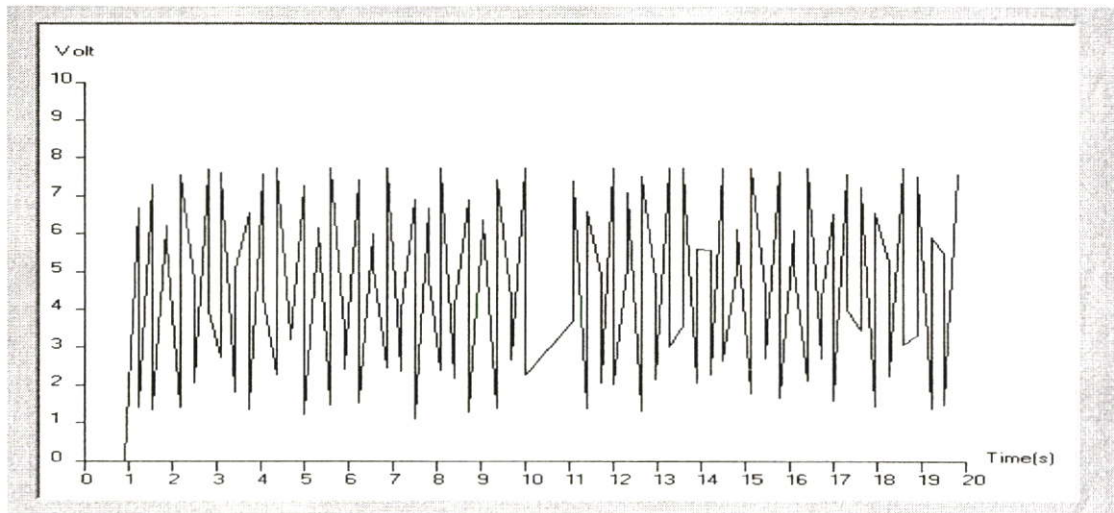


รูปที่ 4.30 ผลทดลองระบบจริงการตอบสนองการควบคุมตำแหน่งมอเตอร์ของแกนกลแบบ
 ข้อต่ออ่อนตัวค่าเป้าหมายที่ 80 องศา ปรับแต่งค่าพารามิเตอร์โดยผู้ใช้ที่ไม่มีทักษะ

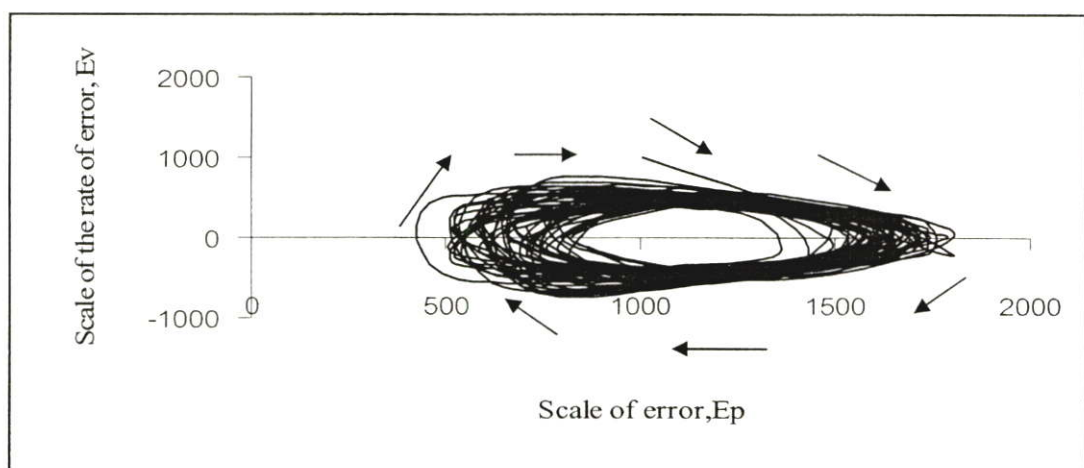


รูปที่ 4.31 ผลทดลองระบบจริงการตอบสนองการควบคุมตำแหน่งมอเตอร์ของแกนกลแบบ
 ข้อต่ออ่อนตัวค่าเป้าหมายที่ 90 องศา ปรับแต่งค่าพารามิเตอร์โดยผู้ใช้ที่ไม่มีทักษะ

ในรูปที่ 4.32 เป็นผลตอบสนองสัญญาณควบคุมของรูปที่ 4.29 ซึ่งเป็นผลทดลองจากระบบจริงของแกนกลแบบข้อต่ออ่อนตัวค่าเป้าหมายที่ 70 องศา ปรับแต่งค่าพารามิเตอร์โดยผู้ใช้ที่ไม่มีทักษะ ซึ่งจากภาพเป็นแรงดันที่ป้อนให้กับมอเตอร์ จะเห็นได้ว่าการแกว่งของแรงดันมากเนื่องจากแกนกลมีการแกว่งไม่คงที่ และเมื่อเทียบผลตอบสนองของตำแหน่งมอเตอร์กับค่าความเร็วในรูปที่ 4.29 จะเห็นได้ว่ามีความสอดคล้องกันและรูปที่ 4.33 เป็นผลระนาบเฟสความผิดพลาดของรูปที่ 4.29 จะเห็นว่าไม่มีแนวโน้มที่จะเข้าสู่จุดกำเนิด

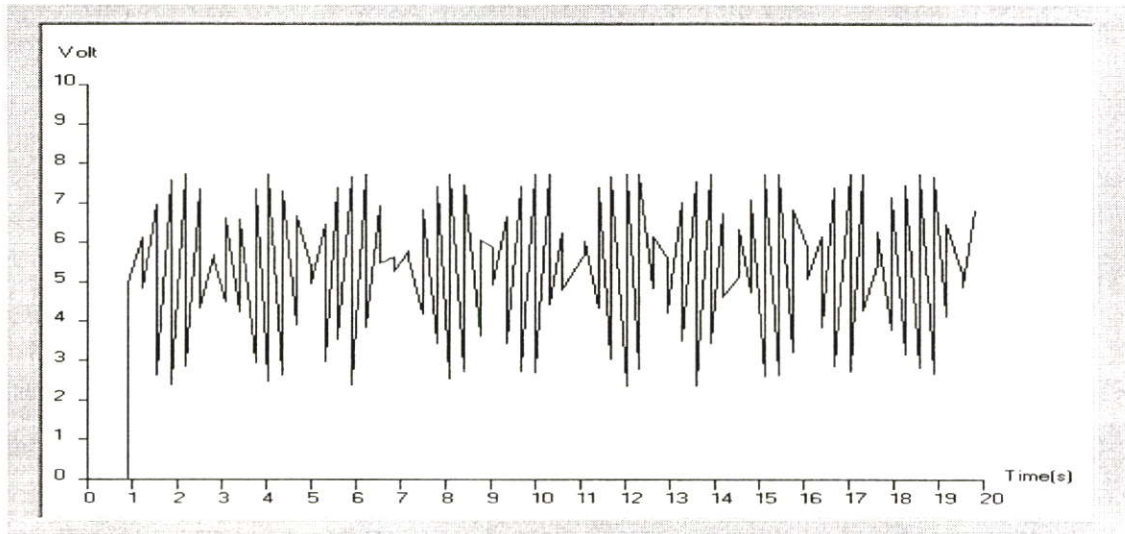


รูปที่ 4.32 ผลสัญญาณควบคุมตำแหน่งมอเตอร์ของแกนกลแบบข้อต่ออ่อนตัวค่าเป้าหมายที่ 70 องศา ของรูปที่ 4.29

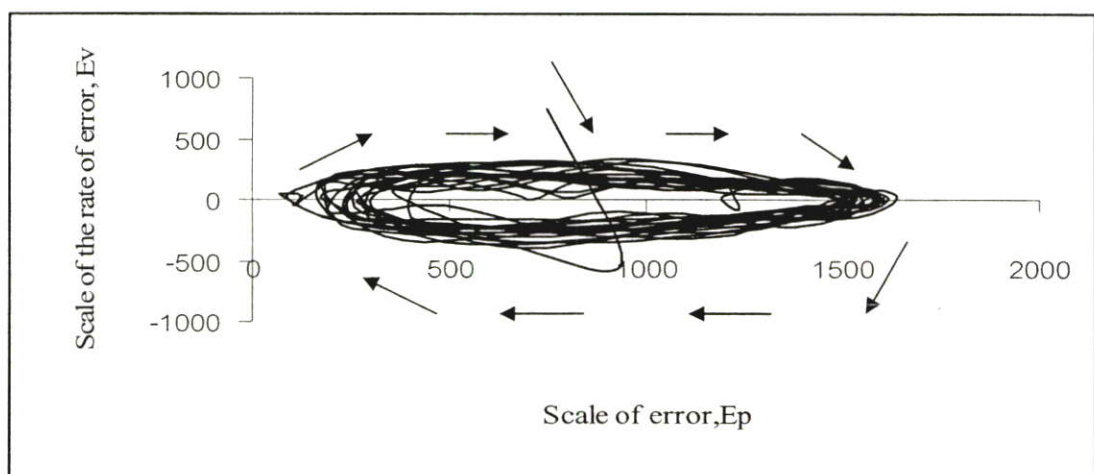


รูปที่ 4.33 ระนาบเฟสความผิดพลาดของระบบจริงที่สอดคล้องกับการตอบสนองการควบคุมตำแหน่งมอเตอร์ของแกนกลแบบข้อต่ออ่อนตัวค่าเป้าหมายที่ 70 องศา ของรูปที่ 4.29

ในรูปที่ 4.34 เป็นผลตอบสนองสัญญาณควบคุมของรูปที่ 4.30 ซึ่งเป็นผลทดลองจากระบบจริงของแกนกลแบบข้อต่ออ่อนตัวค่าเป้าหมายที่ 80 องศา ปรับแต่งค่าพารามิเตอร์โดยผู้ใช้ที่ไม่มีทักษะ ซึ่งจากภาพเป็นแรงดันที่ป้อนให้กับมอเตอร์ จะเห็นได้ว่าการแกว่งของแรงดันมากเนื่องจากแกนกลมีการแกว่งไม่คงที่ และเมื่อเทียบผลตอบสนองของตำแหน่งมอเตอร์กับค่าความเร็วในรูปที่ 4.30 จะเห็นได้ถึงความสอดคล้องกันและรูปที่ 4.35 เป็นผลระนาบเฟสความผิดพลาดของรูปที่ 4.30 จะเห็นว่าไม่มีแนวโน้มที่จะเข้าสู่จุดกำเนิด

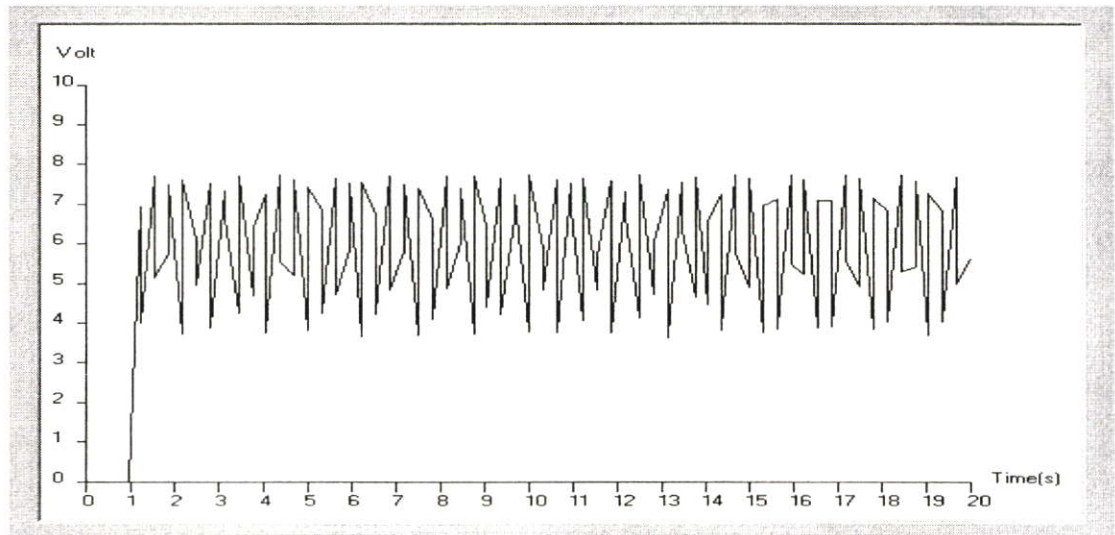


รูปที่ 4.34 ผลสัญญาณควบคุมตำแหน่งมอเตอร์ของ แกนกลแบบข้อต่ออ่อนตัวค่าเป้าหมายที่ 80 องศา ของรูปที่ 4.30

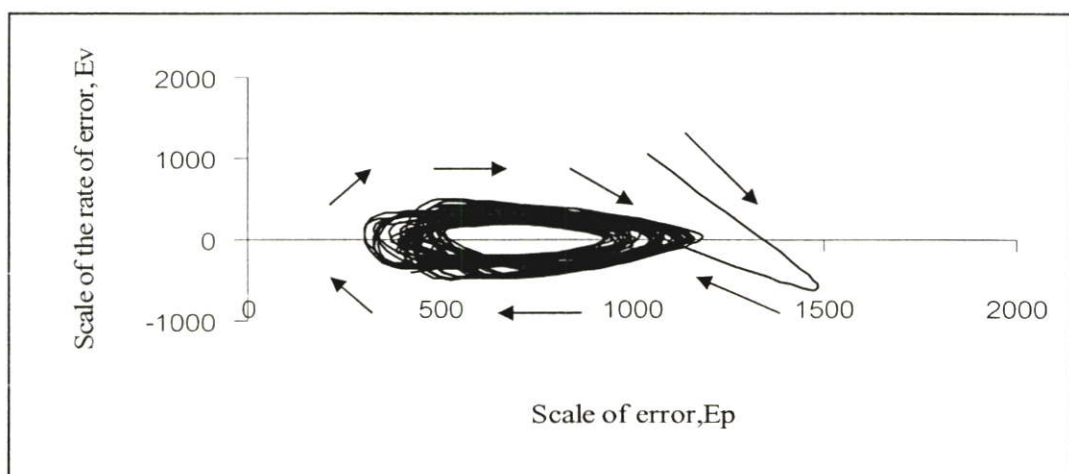


รูปที่ 4.35 ระนาบเฟสความผิดพลาดของระบบจริงที่สอดคล้องกับการตอบสนองการควบคุมตำแหน่งมอเตอร์ของแกนกลแบบข้อต่ออ่อนตัวค่าเป้าหมายที่ 80 องศา ของรูปที่ 4.30

ในรูปที่ 4.36 เป็นผลตอบสนองสัญญาณควบคุมของรูปที่ 4.31 ซึ่งเป็นผลทดลองจากระบบจริงของแขนกลแบบข้อต่ออ่อนตัวค่าเป้าหมายที่ 90 องศา ปรับแต่งค่าพารามิเตอร์โดยผู้ใช้ที่ไม่มีทักษะ ซึ่งจากภาพเป็นแรงดันที่ป้อนให้กับมอเตอร์ จะเห็นได้ว่ามีการแกว่งของแรงดันมาก เนื่องจากแขนกลมีการแกว่งไม่คงที่ และเมื่อเทียบผลตอบสนองของตำแหน่งมอเตอร์กับค่าความเร็วในรูปที่ 4.31 จะเห็นได้ว่ามีความสอดคล้องกันและรูปที่ 4.37 เป็นผลระนาบเฟสความผิดพลาดของรูปที่ 4.31 จะเห็นว่าไม่มีแนวโน้มที่จะเข้าสู่จุดกำเนิด



รูปที่ 4.36 ผลการควบคุมตำแหน่งมอเตอร์ของแขนกลแบบข้อต่ออ่อนตัวค่าเป้าหมายที่ 90 องศา ของรูปที่ 4.31



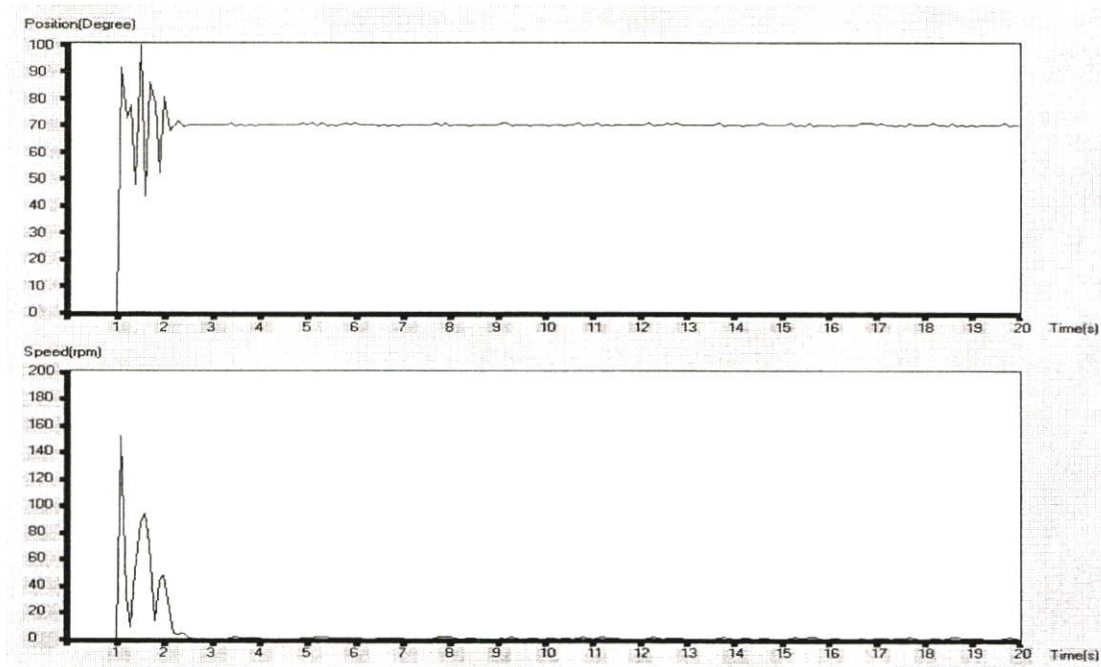
รูปที่ 4.37 ระนาบเฟสความผิดพลาดของระบบจริงที่สอดคล้องกับการตอบสนองการควบคุมตำแหน่งมอเตอร์ของแขนกลแบบข้อต่ออ่อนตัวค่าเป้าหมายที่ 90 องศา ของรูปที่ 4.31

จากรูปที่ 4.29 ถึง 4.37 สรุปได้ว่าการใช้ตัวควบคุมแบบพีชซีพีสแควร์ไอดีที่ปรับค่าพารามิเตอร์โดยผู้ใช้ที่ไม่มีทักษะพบว่า ให้ค่าผลตอบสนองที่ไม่ดีคือมีการแกว่งของสัญญาณพุ่งเกินเมื่อเทียบกับค่าเป้าหมาย ค่าสัญญาณที่ควบคุมมอเตอร์ก็ไม่คงที่และระนาบเฟสผิดพลาดยังไม่เข้าสู่จุดกำเนิด

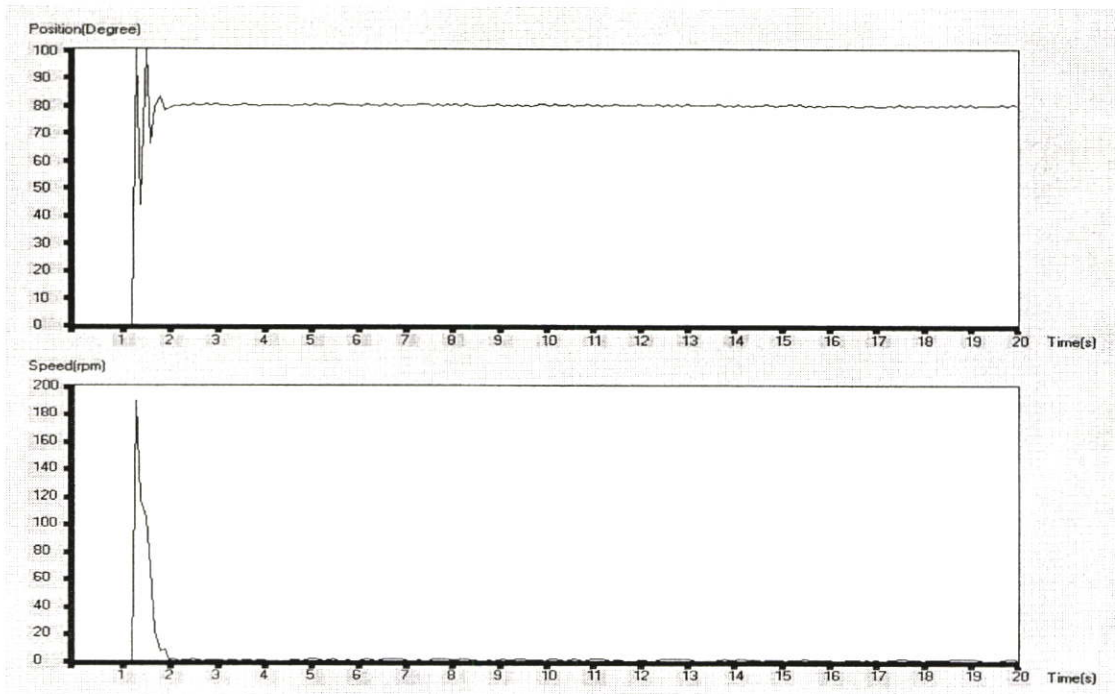
4.5.2 ผลตอบสนองระบบจริงของตัวควบคุมพีชซีพีสแควร์ไอดีปรับแต่งค่าพารามิเตอร์โดยผู้ใช้ที่มีทักษะและความชำนาญของแบบแขนกลแบบข้อต่ออ่อนตัวโดยกำหนดค่าเป้าหมายไว้ที่ 70, 80, 90 องศา

การทดลองนี้เป็นการทดสอบผลตอบสนองที่ได้จากการใช้ตัวควบคุมแบบพีชซีพีสแควร์ไอดีที่ปรับค่าพารามิเตอร์จากผู้ใช้ที่มีทักษะ โดยตั้งค่าเป้าหมายที่ 70, 80, 90 องศา

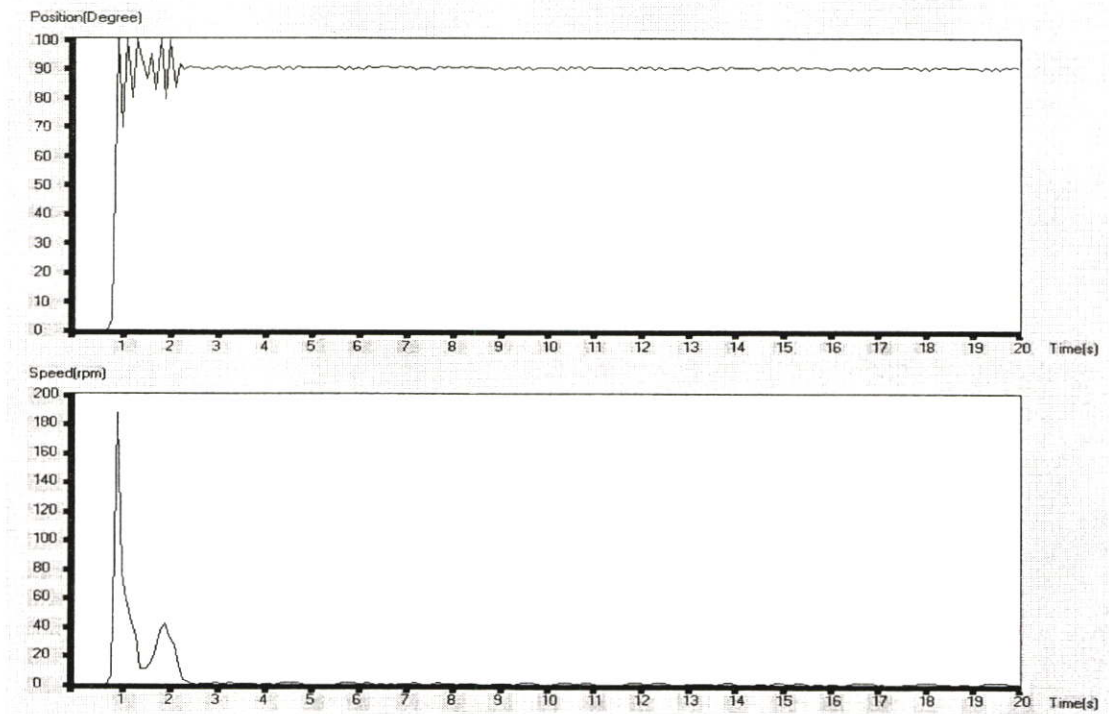
ในรูปที่ 4.38, 4.39, 4.40 เป็นผลตอบสนองที่ได้จากผลทดลองระบบจริงการตอบสนองการควบคุมตำแหน่งมอเตอร์ของแขนกลแบบข้อต่ออ่อนตัวค่าเป้าหมายที่ 70, 80, 90 องศา ปรับแต่งค่าพารามิเตอร์โดยผู้ใช้ที่มีทักษะ ซึ่งจะเห็นได้ว่าการแกว่งของสัญญาณที่ลดน้อยลงแต่จะมีค่าการพุ่งขึ้นในขณะเริ่มการทำงานของระบบ และเมื่อนำมาเทียบผลตอบสนองของตำแหน่งมอเตอร์กับค่าความเร็วจะเห็นได้ว่ามีความสอดคล้องกันคือความเร็วจะสูงขึ้นในขณะเริ่มการทำงานและเมื่อเข้าสู่ค่าเป้าหมายแล้วความเร็วก็จะคงที่



รูปที่ 4.38 ผลทดลองระบบจริงการตอบสนองการควบคุมตำแหน่งมอเตอร์ของแขนกลแบบข้อต่ออ่อนตัวค่าเป้าหมายที่ 70 องศา ปรับแต่งค่าพารามิเตอร์โดยผู้ใช้ที่มีทักษะ

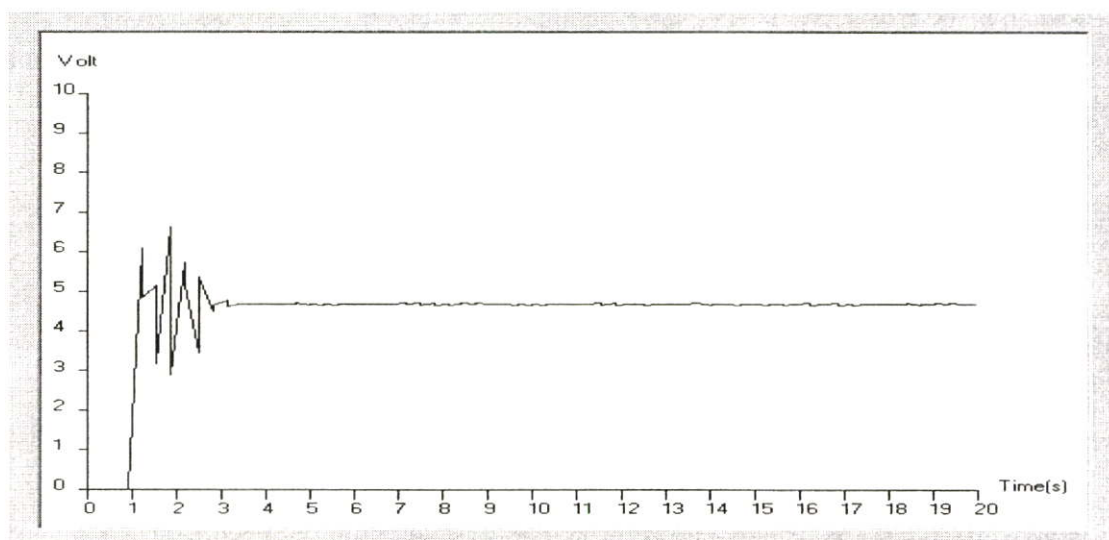


รูปที่ 4.39 ผลทดลองระบบจริงการตอบสนองการควบคุมตำแหน่งมอเตอร์ของแขนกลแบบ
 ข้อต่ออ่อนตัวค่าเป้าหมายที่ 80 องศา ปรับแต่งค่าพารามิเตอร์โดยผู้ใช้ที่มีทักษะ

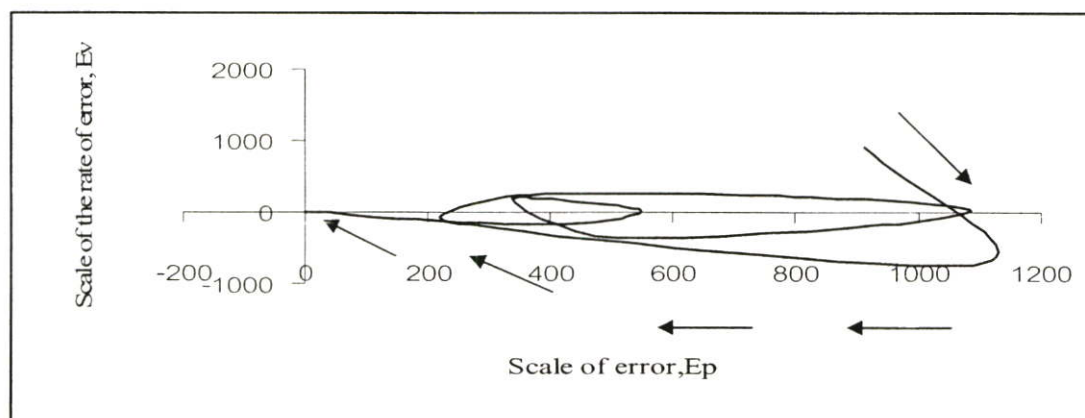


รูปที่ 4.40 ผลทดลองระบบจริงการตอบสนองการควบคุมตำแหน่งมอเตอร์ของแขนกลแบบ
 ข้อต่ออ่อนตัวค่าเป้าหมายที่ 90 องศา ปรับแต่งค่าพารามิเตอร์โดยผู้ใช้ที่มีทักษะ

ในรูปที่ 4.41 เป็นผลตอบสนองสัญญาณควบคุมของรูปที่ 4.38 ซึ่งเป็นผลทดลองจากระบบจริงของแขนกลแบบข้อต่ออ่อนตัวค่าเป้าหมายที่ 70 องศา ปรับแต่งค่าพารามิเตอร์โดยผู้ใช้ที่มีทักษะ ซึ่งจากภาพเป็นแรงดันที่ป้อนให้กับมอเตอร์ จะเห็นได้ว่าการแกว่งของแรงดันขณะเริ่มทำงานเนื่องจากแขนกลต้องพยายามที่จะเข้าสู่ค่าเป้าหมาย และเมื่อแขนกลถึงค่าเป้าหมายที่ตั้งไว้แรงดันก็จะเริ่มนิ่ง และเมื่อเทียบผลตอบสนองของตำแหน่งมอเตอร์กับค่าความเร็วในรูปที่ 4.38 จะเห็นได้ถึงความสอดคล้องกัน และรูปที่ 4.42 เป็นผลระนาบเฟสความผิดพลาดของรูปที่ 4.38 จะเห็นได้ว่าทิศทางของค่าผิดพลาดมีแนวโน้มที่จะเข้าสู่จุดกำเนิด

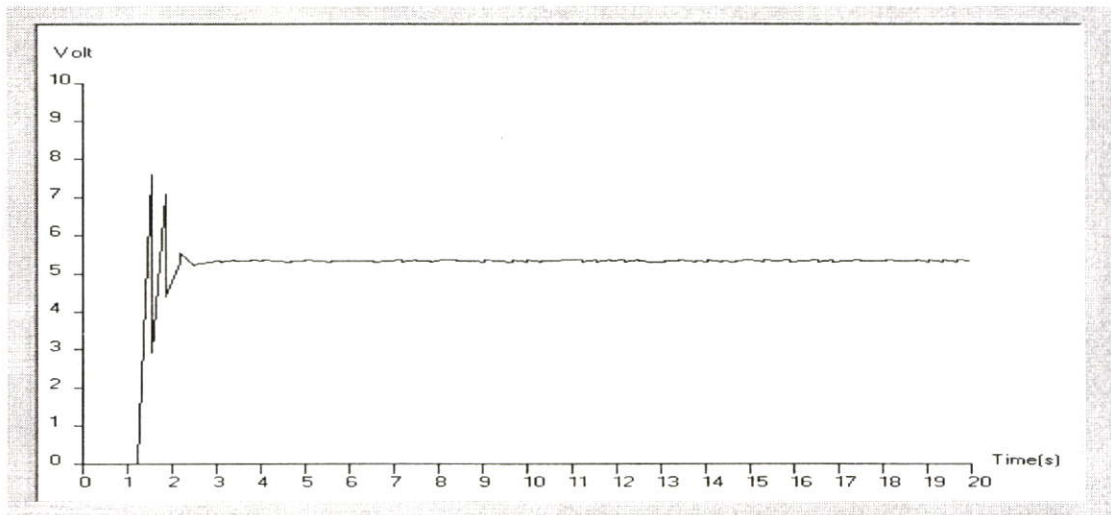


รูปที่ 4.41 ผลสัญญาณการควบคุมตำแหน่งมอเตอร์ของแขนกลแบบข้อต่ออ่อนตัวค่าเป้าหมายที่ 70 องศา ของรูปที่ 4.38

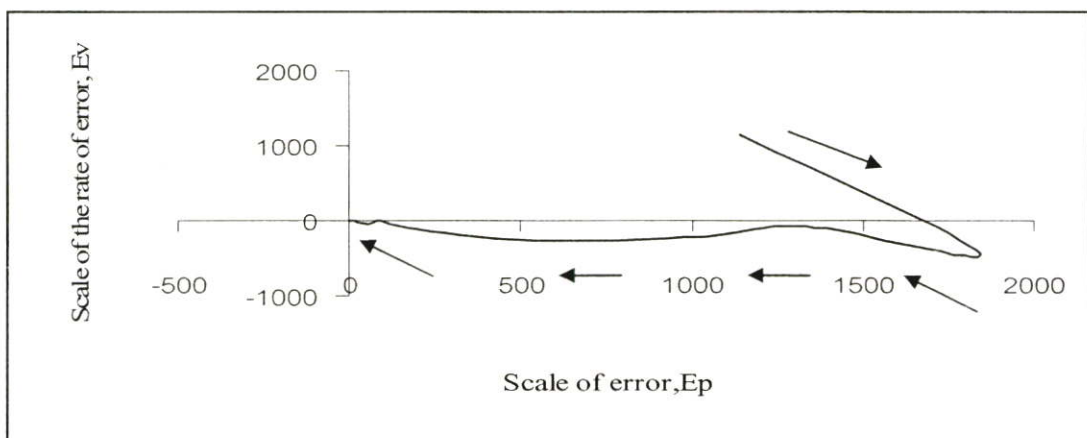


รูปที่ 4.42 ระนาบเฟสความผิดพลาดของระบบจริงที่สอดคล้องกับการตอบสนองการควบคุมตำแหน่งมอเตอร์ของแขนกลแบบข้อต่ออ่อนตัวค่าเป้าหมายที่ 70 องศา ของรูปที่ 4.38

ในรูปที่ 4.43 เป็นผลตอบสนองสัญญาณควบคุมของรูปที่ 4.39 ซึ่งเป็นผลทดลองจากระบบจริงของแขนกลแบบข้อต่ออ่อนตัวค่าเป้าหมายที่ 80 องศา ปรับแต่งค่าพารามิเตอร์โดยผู้ใช้ที่มีทักษะ ซึ่งจากภาพเป็นแรงดันที่ป้อนให้กับมอเตอร์ จะเห็นได้ว่าการแกว่งของแรงดันขณะเริ่มทำงานเนื่องจากแขนกลต้องพยายามที่จะลู่เข้าสู่ค่าเป้าหมาย และเมื่อแขนกลถึงค่าเป้าหมายที่ตั้งไว้แรงดันก็จะเริ่มนิ่ง และเมื่อเทียบผลตอบสนองของตำแหน่งมอเตอร์กับค่าความเร็วในรูปที่ 4.39 จะเห็นได้ว่ามีความสอดคล้องกันและรูปที่ 4.44 เป็นผลระนาบเฟสความผิดพลาดของรูปที่ 4.39 จะเห็นได้ว่าทิศทางของค่าผิดพลาดมีแนวโน้มที่จะลู่เข้าสู่จุดกำเนิด

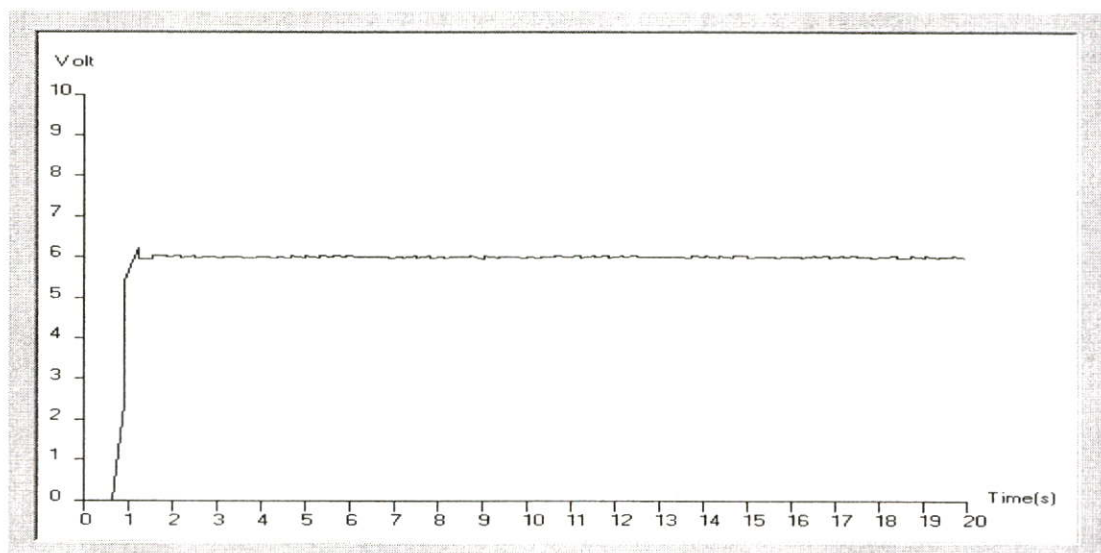


รูปที่ 4.43 ผลสัญญาณการควบคุมตำแหน่งมอเตอร์ของแขนกลแบบข้อต่ออ่อนตัวค่าเป้าหมายที่ 80 องศา ของรูปที่ 4.39

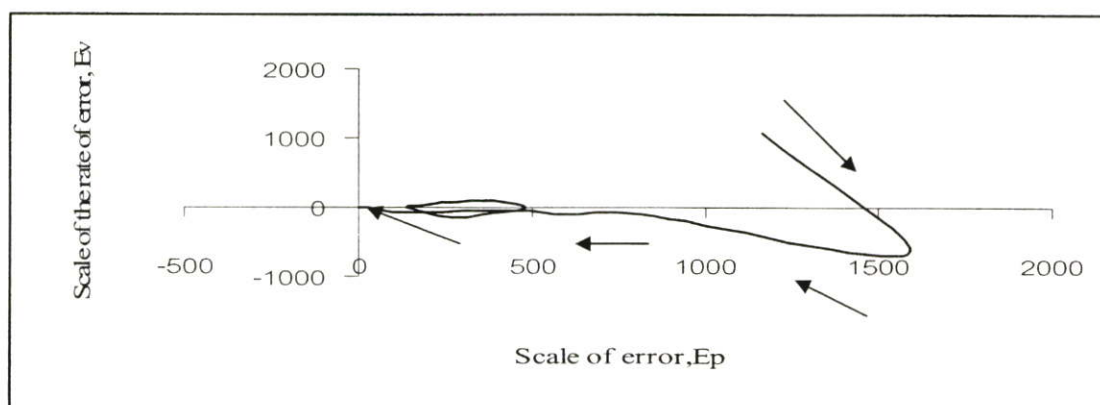


รูปที่ 4.44 ระนาบเฟสความผิดพลาดของระบบจริงที่สอดคล้องกับการตอบสนองการควบคุมตำแหน่งมอเตอร์ของแขนกลแบบข้อต่ออ่อนตัวค่าเป้าหมายที่ 80 องศา ของรูปที่ 4.39

ในรูปที่ 4.45 เป็นผลตอบสนองสัญญาณควบคุมของรูปที่ 4.40 ซึ่งเป็นผลทดลองจากระบบจริงของแกนกลแบบข้อต่ออ่อนตัวค่าเป้าหมายที่ 90 องศา ปรับแต่งค่าพารามิเตอร์โดยผู้ใช้ที่มีทักษะ ซึ่งจากภาพเป็นแรงดันที่ป้อนให้กับมอเตอร์ จะเห็นได้ว่าการแกว่งของแรงดันขณะเริ่มทำงานเนื่องจากแกนกลต้องพยายามที่จะลู่เข้าสู่ค่าเป้าหมายและ เมื่อแกนกลถึงค่าเป้าหมายที่ตั้งไว้แรงดันก็จะเริ่มนิ่ง และเมื่อเทียบผลตอบสนองของตำแหน่งมอเตอร์กับค่าความเร็วในรูปที่ 4.40 จะเห็นได้ว่ามีความสอดคล้องกันและรูปที่ 4.46 เป็นผลระนาบเฟสความผิดพลาดของรูปที่ 4.40 จะเห็นได้ว่าทิศทางของค่าผิดพลาดมีแนวโน้มที่จะลู่เข้าสู่จุดกำเนิด



รูปที่ 4.45 ผลสัญญาณการควบคุมตำแหน่งมอเตอร์ของแกนกลแบบข้อต่ออ่อนตัวค่าเป้าหมายที่ 90 องศา ของรูปที่ 4.40



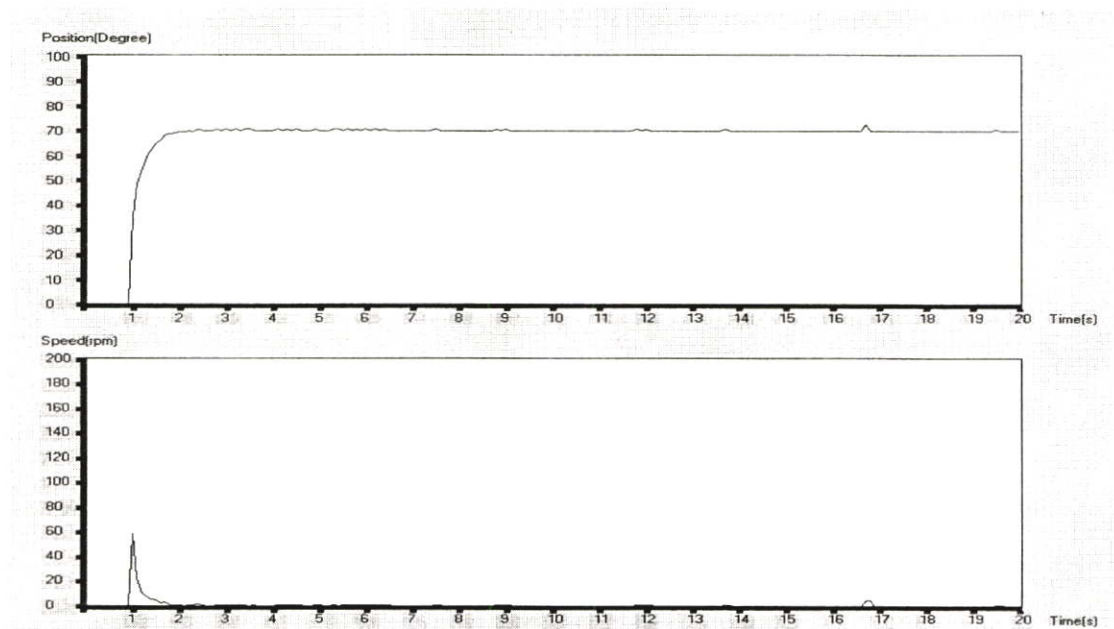
รูปที่ 4.46 ระนาบเฟสความผิดพลาดของระบบจริงที่สอดคล้องกับการตอบสนองการควบคุมตำแหน่งมอเตอร์ของแกนกลแบบข้อต่ออ่อนตัวค่าเป้าหมายที่ 90 องศา ของรูปที่ 4.40

จากรูปที่ 4.38 ถึง 4.46 สรุปได้ว่าการใช้ตัวควบคุมแบบฟัซซีพีสแควร์ไอดีที่ปรับค่าพารามิเตอร์โดยผู้ใช้ที่มีทักษะพบว่าให้ค่าผลตอบสนองที่พอร์รับได้แต่จะมีการแกว่งของสัญญาณพุ่งเกินในขณะเริ่มทำงานระบบโดยเมื่อเทียบกับค่าเป้าหมาย และระนาบเฟสผิดพลาดที่ได้ยังมีแนวโน้มที่ลู่เข้าสู่จุดกำเนิด

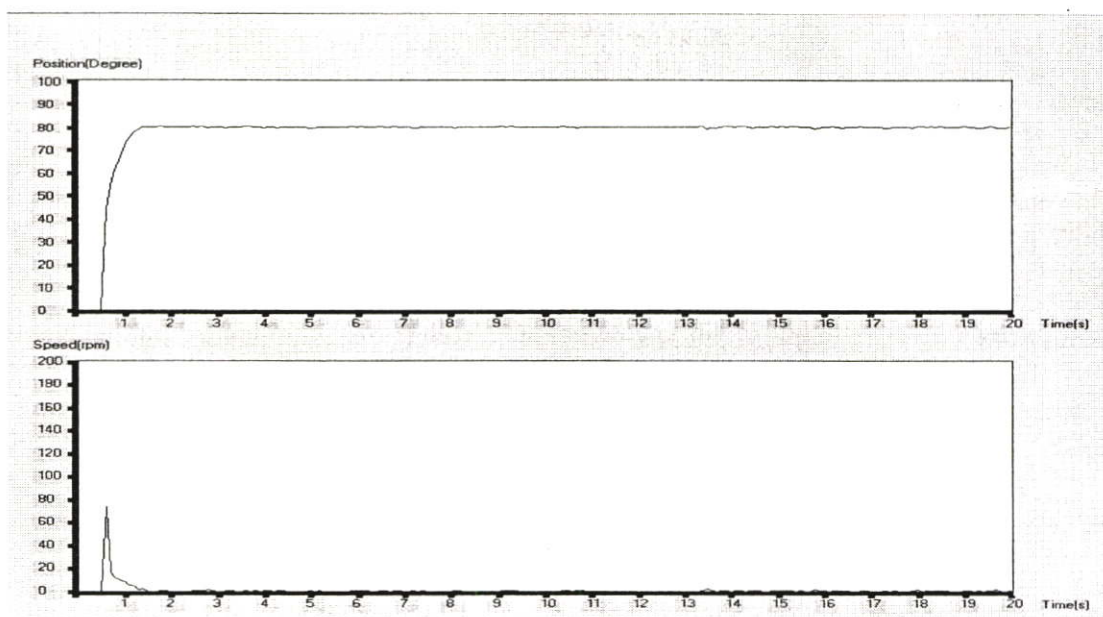
4.5.3 ผลตอบสนองระบบจริงของตัวควบคุมฟัซซีพีสแควร์ไอดีปรับแต่งค่าพารามิเตอร์ด้วยวิธีการทางพันธุศาสตร์ของแบบแขนกลแบบข้อต่ออ่อนตัวโดยกำหนดค่าเป้าหมายไว้ที่ 70, 80, 90 องศา

การทดลองนี้เป็นการทดสอบผลตอบสนองที่ได้จากการใช้ตัวควบคุมแบบฟัซซีพีสแควร์ไอดีที่ปรับค่าพารามิเตอร์ด้วยวิธีการทางพันธุศาสตร์โดยตั้งค่าเป้าหมายที่ 70, 80, 90 องศา

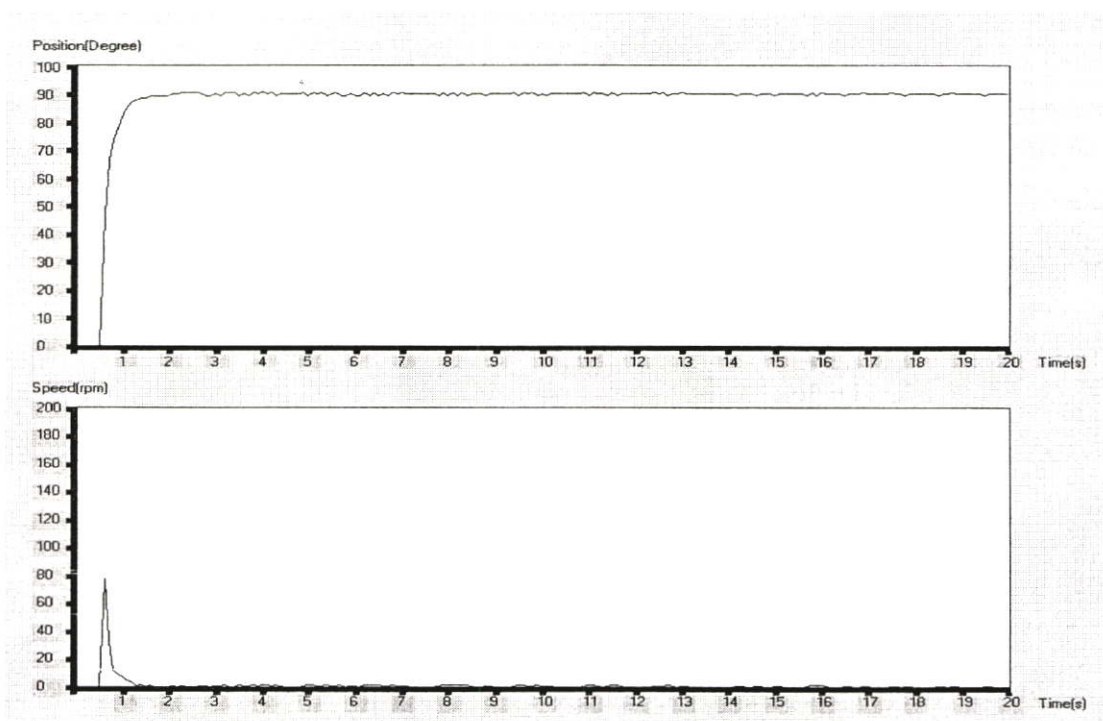
ในรูปที่ 4.47, 4.48, 4.49 เป็นผลตอบสนองที่ได้จากผลทดลองระบบจริงการตอบสนองการควบคุมตำแหน่งมอเตอร์ของแขนกลแบบข้อต่ออ่อนตัวค่าเป้าหมายที่ 70, 80, 90 องศา ปรับแต่งค่าพารามิเตอร์ด้วยวิธีการทางพันธุศาสตร์ ซึ่งจะเห็นได้ว่ามีความราบเรียบขึ้นเมื่อเข้าหาเป้าหมาย และมีการแกว่งของสัญญาณพุ่งเกินที่น้อยมาก และเมื่อนำผลการควบคุมตำแหน่งของมอเตอร์นำมาเทียบค่าความเร็ว จะเห็นได้ว่ามีความสอดคล้องกันคือความเร็วของมอเตอร์จะค่อยๆเพิ่มระดับไปจนถึงค่าเป้าหมายที่ตั้งไว้และเมื่อเข้าสู่ค่าเป้าหมายแล้วความเร็วก็จะคงที่



รูปที่ 4.47 ผลทดลองระบบจริงการตอบสนองการควบคุมตำแหน่งมอเตอร์ของแขนกลแบบข้อต่ออ่อนตัวค่าเป้าหมายที่ 70 องศา ปรับแต่งค่าพารามิเตอร์ด้วยวิธีการทางพันธุศาสตร์

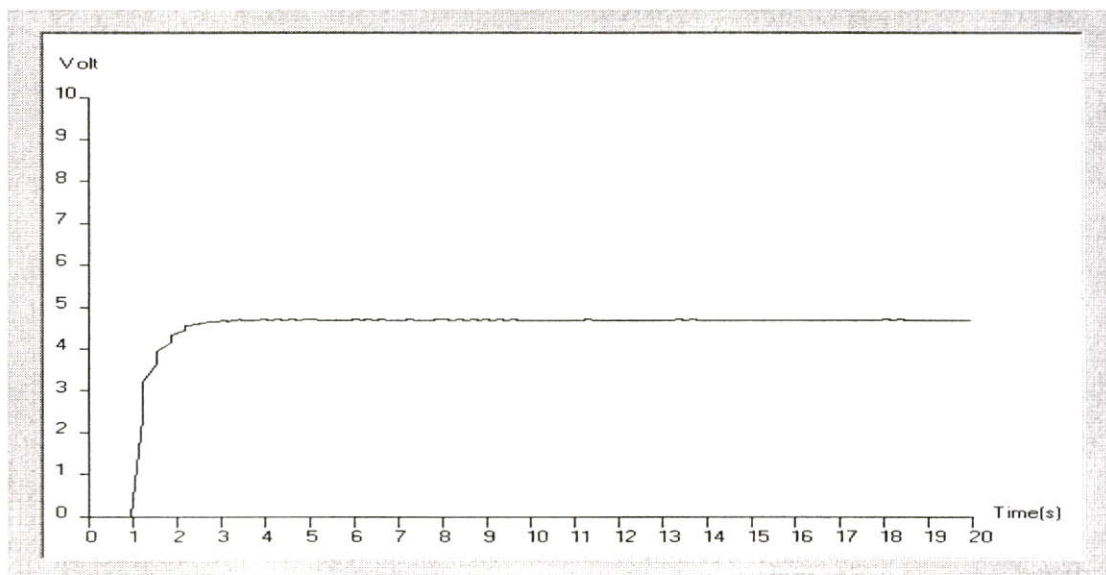


รูปที่ 4.48 ผลทดลองระบบจริงการตอบสนองการควบคุมตำแหน่งมอเตอร์ของแขนกลแบบ
 ข้อต่ออ่อนตัวค่าเป้าหมายที่ 80 องศา ปรับแต่งค่าพารามิเตอร์
 ด้วยวิธีการทางพันธุศาสตร์

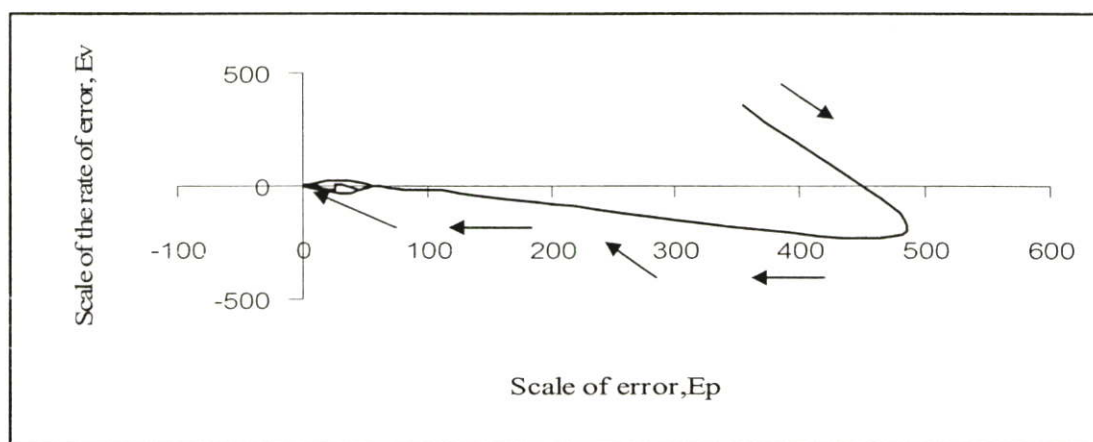


รูปที่ 4.49 ผลทดลองระบบจริงการตอบสนองการควบคุมตำแหน่งมอเตอร์ของแขนกลแบบ
 ข้อต่ออ่อนตัวค่าเป้าหมายที่ 90 องศา ปรับแต่งค่าพารามิเตอร์
 ด้วยวิธีการทางพันธุศาสตร์

ในรูปที่ 4.50 เป็นผลตอบสนองสัญญาณควบคุมของรูปที่ 4.47 ซึ่งเป็นผลทดลองจากระบบจริงของแกนกลแบบข้อต่ออ่อนตัวค่าเป้าหมายที่ 70 องศา ปรับแต่งค่าพารามิเตอร์ด้วยวิธีการทางพันธุศาสตร์ ซึ่งจากภาพเป็นแรงดันที่ป้อนให้กับมอเตอร์ จะเห็นได้ว่าแรงดันมีค่าที่ราบเรียบขณะที่เข้าสู่ค่าเป้าหมาย และเมื่อเทียบผลตอบสนองของตำแหน่งมอเตอร์กับค่าความเร็วในรูปที่ 4.47 จะเห็นได้ว่ามีความสอดคล้องกันและรูปที่ 4.51 เป็นผลระนาบเฟสความผิดพลาดของรูปที่ 4.47 จะเห็นว่าทิศทางของค่าผิดพลาดมีแนวโน้มที่จะลู่เข้าสู่จุดกำเนิด

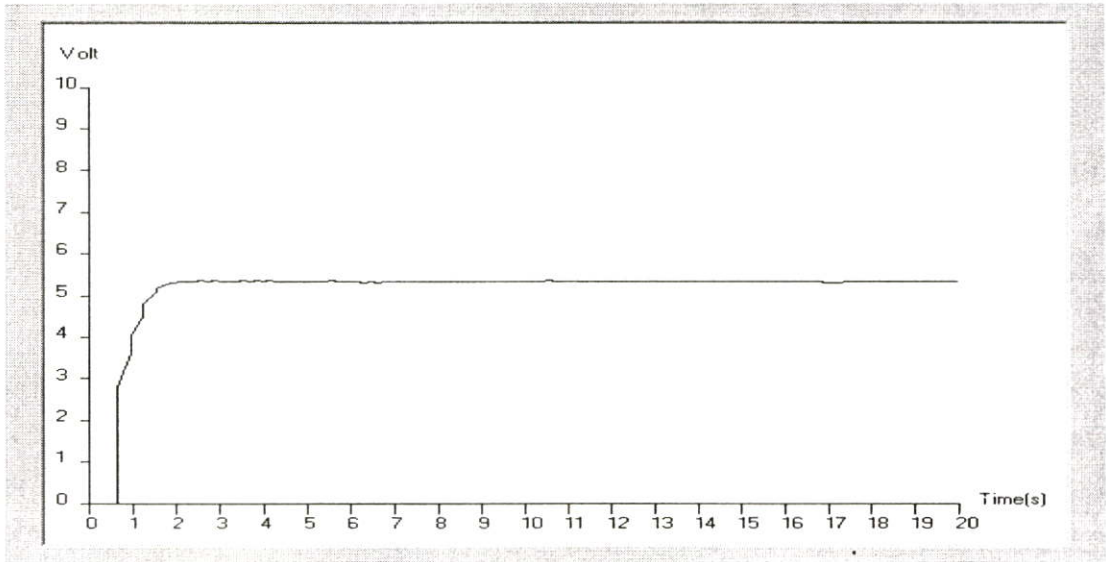


รูปที่ 4.50 ผลสัญญาณการตอบสนองการควบคุมตำแหน่งมอเตอร์ของแกนกลแบบข้อต่ออ่อนตัวค่าเป้าหมายที่ 70 องศา ของรูปที่ 4.47

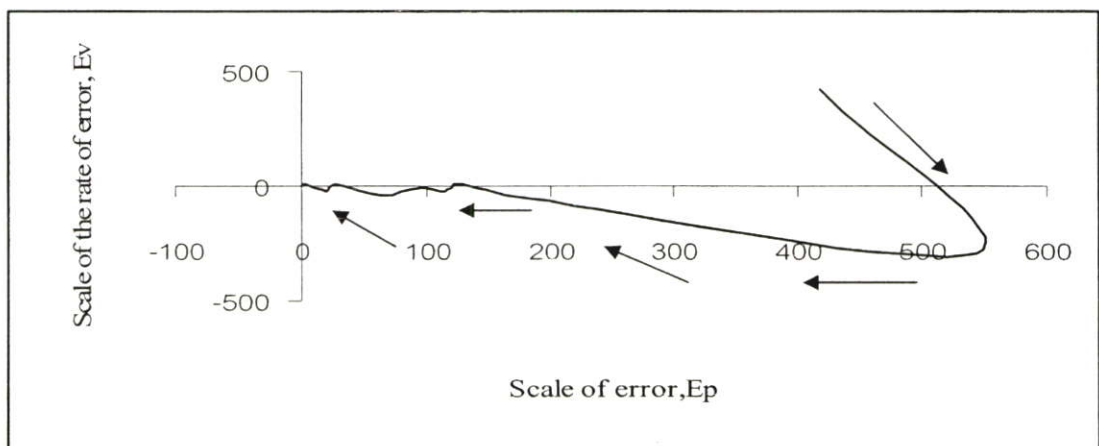


รูปที่ 4.51 ระนาบเฟสความผิดพลาดของระบบจริงที่สอดคล้องกับการตอบสนองการควบคุมตำแหน่งมอเตอร์ของแกนกลแบบข้อต่ออ่อนตัวค่าเป้าหมายที่ 70 องศา ของรูปที่ 4.47

ในรูปที่ 4.52 เป็นผลตอบสนองสัญญาณควบคุมของรูปที่ 4.48 ซึ่งเป็นผลทดลองจากระบบจริงของแกนกลแบบข้อต่ออ่อนตัวค่าเป้าหมายที่ 80 องศา ปรับแต่งค่าพารามิเตอร์ด้วยวิธีการทางพันธุศาสตร์ ซึ่งจากภาพเป็นแรงดันที่ป้อนให้กับมอเตอร์ จะเห็นได้ว่าแรงดันมีค่าที่ราบเรียบขณะที่เข้าสู่ค่าเป้าหมาย และเมื่อเทียบผลตอบสนองของตำแหน่งมอเตอร์กับค่าความเร็วในรูปที่ 4.48 จะเห็นได้ว่ามีความสอดคล้องกันและรูปที่ 4.53 เป็นผลระนาบเฟสความผิดพลาดของรูปที่ 4.48 จะเห็นว่าทิศทางของค่าผิดพลาดมีแนวโน้มที่จะลู่อู่เข้าสู่จุดกำเนิด

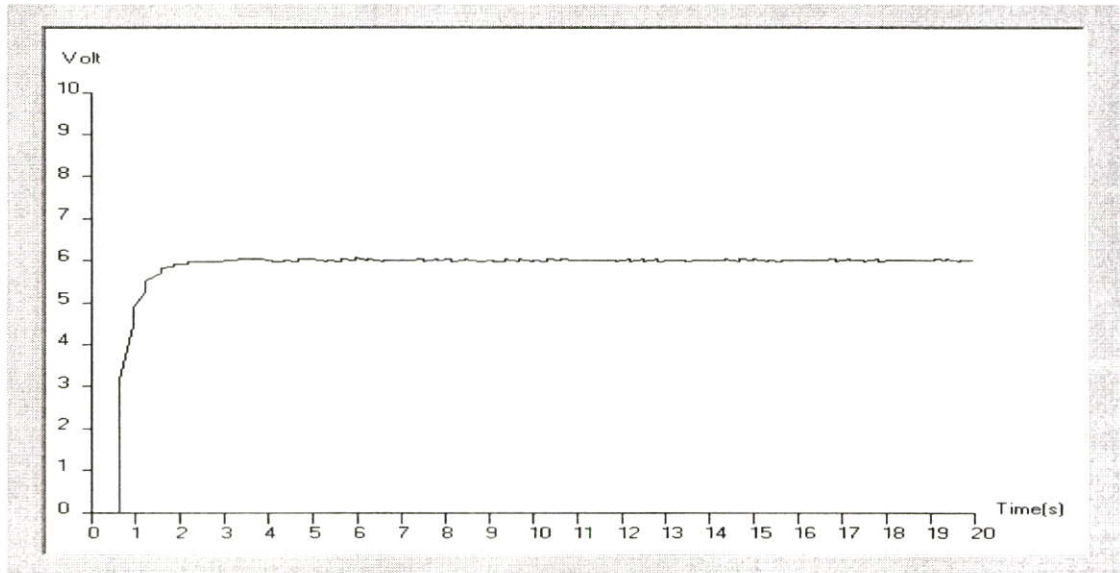


รูปที่ 4.52 ผลสัญญาณการควบคุมตำแหน่งมอเตอร์ของแกนกลแบบข้อต่ออ่อนตัวค่าเป้าหมายที่ 80 องศา ของรูปที่ 4.48

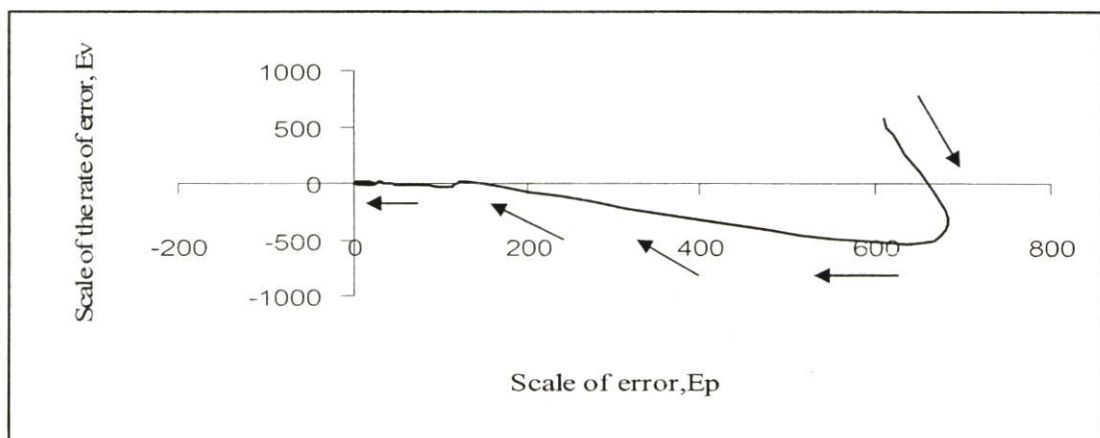


รูปที่ 4.53 ระนาบเฟสความผิดพลาดของระบบจริงที่สอดคล้องกับการตอบสนองการควบคุมตำแหน่งมอเตอร์ของแกนกลแบบข้อต่ออ่อนตัวค่าเป้าหมายที่ 80 องศา ของรูปที่ 4.48

ในรูปที่ 4.54 เป็นผลตอบสนองสัญญาณควบคุมของรูปที่ 4.49 ซึ่งเป็นผลทดลองจากระบบจริงของแขนกลแบบข้อต่ออ่อนตัวค่าเป้าหมายที่ 90 องศา ปรับแต่งค่าพารามิเตอร์ด้วยวิธีการทางพันธุศาสตร์ ซึ่งจากภาพเป็นแรงดันที่ป้อนให้กับมอเตอร์ จะเห็นได้ว่าแรงดันมีค่าที่ราบเรียบขณะที่เข้าสู่ค่าเป้าหมาย และเมื่อเทียบผลตอบสนองของตำแหน่งมอเตอร์กับค่าความเร็วในรูปที่ 4.49 จะเห็นได้ว่ามีความสอดคล้องกันและรูปที่ 4.55 เป็นผลระนาบเฟสความผิดพลาดของรูปที่ 4.49 จะเห็นว่าทิศทางของค่าผิดพลาดมีแนวโน้มที่จะเข้าสู่จุดกำเนิด



รูปที่ 4.54 ผลสัญญาณการควบคุมตำแหน่งมอเตอร์ของแขนกลแบบข้อต่ออ่อนตัวค่าเป้าหมายที่ 90 องศา ของรูปที่ 4.49



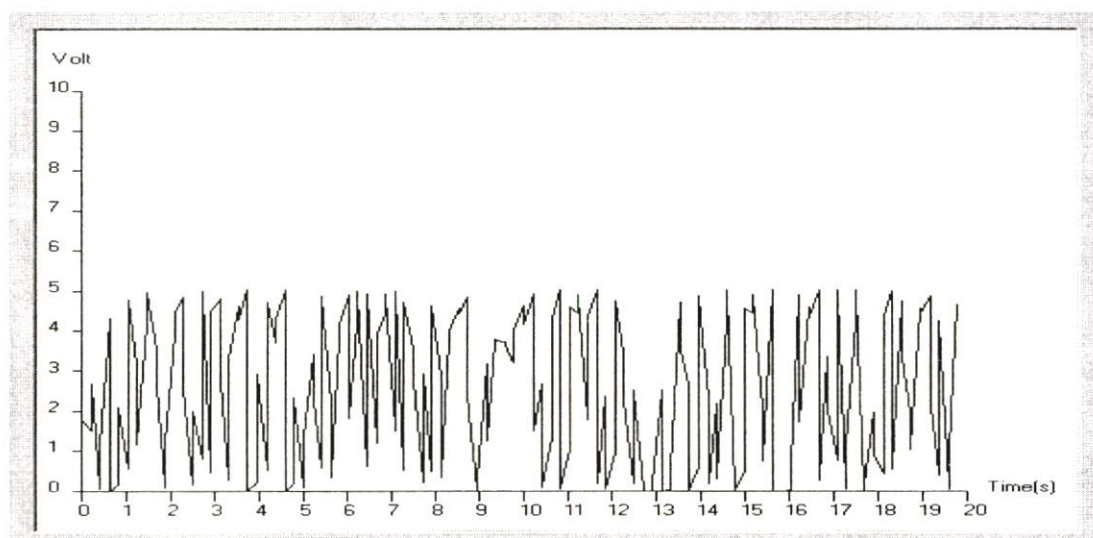
รูปที่ 4.55 ระนาบเฟสความผิดพลาดของระบบจริงที่สอดคล้องกับการตอบสนองการควบคุมตำแหน่งมอเตอร์ของแขนกลแบบข้อต่ออ่อนตัวค่าเป้าหมายที่ 90 องศา ของรูปที่ 4.49

จากรูปที่ 4.47 ถึง 4.55 การใช้ตัวควบคุมแบบฟuzzyฟuzzyสแควร์โอดีที่ปรับค่าพารามิเตอร์ด้วยวิธีการทางพันธุศาสตร์พบว่า ให้ค่าผลตอบสนองที่ดีมีการแกว่งของสัญญาณพุ่งเกินน้อยมากเมื่อเทียบกับค่าเป้าหมาย ค่าสัญญาณที่ควบคุมมอเตอร์ก็คงที่เมื่อเข้าสู่เป้าหมายและระนาบเฟสผิดพลาดที่ได้ยังลู่เข้าสู่จุดกำเนิด สรุปว่าการใช้วิธีการทางพันธุศาสตร์เข้ามาช่วยปรับค่าพารามิเตอร์ของตัวควบคุมฟuzzyฟuzzyสแควร์โอดี นั้นได้ผลตอบสนองที่ดีกว่าการปรับแต่งโดยผู้ใช้และใช้เวลาที่รวดเร็วกว่า

4.5.4 ผลตอบสนองระบบจริงของตัวควบคุมฟuzzyฟuzzyสแควร์โอดีปรับแต่งค่าพารามิเตอร์ด้วยวิธีการทางพันธุศาสตร์ของแบบแผนกลแบบข้อต่ออ่อนตัวขณะเพิ่มสัญญาณรบกวนลอวน logistic map โดยกำหนดค่าเป้าหมายไว้ที่ 70, 80, 90 องศา

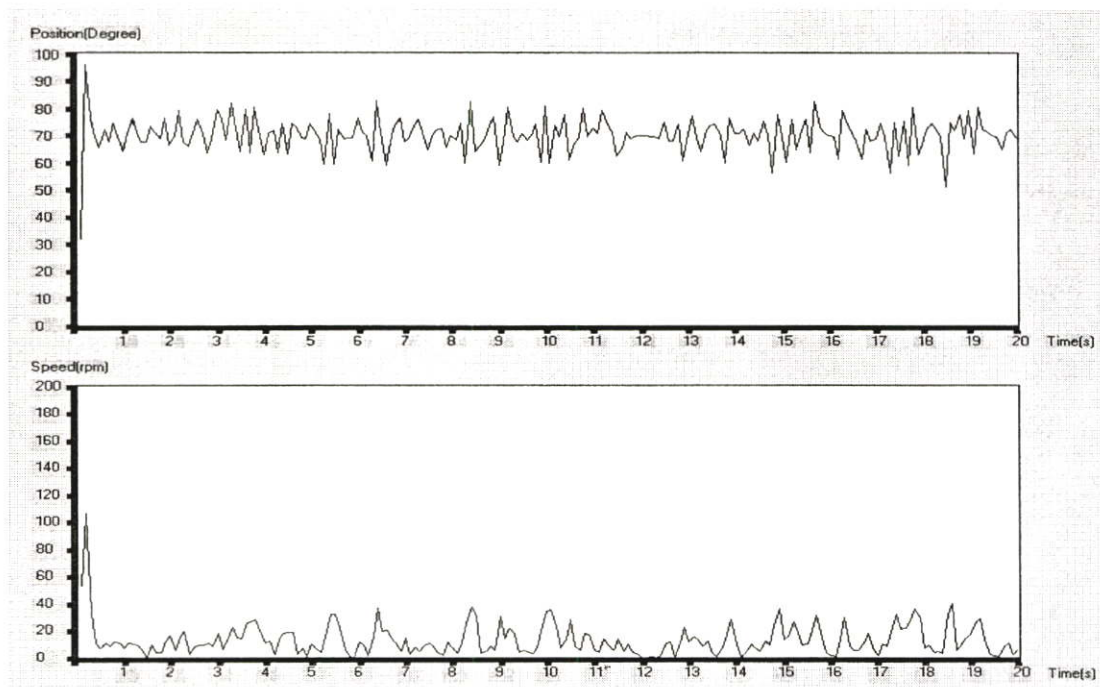
การทดลองนี้เป็นการทดสอบประสิทธิภาพของตัวควบคุมแบบฟuzzyฟuzzyสแควร์โอดีที่ปรับค่าพารามิเตอร์ด้วยวิธีการทางพันธุศาสตร์โดยเพิ่มสัญญาณรบกวนลอวน logistic map

โดยที่ในรูปที่ 4.56 เป็นสัญญาณลอวนจริงที่เพิ่มให้กับระบบซึ่งเป็นค่าแรงดันที่ป้อนให้กับมอเตอร์ จากผลที่ได้จะเห็นว่าแรงดันในแต่ละเวลานั้นไม่เท่ากันซึ่งเป็นไปตามสามการที่ (4.6)

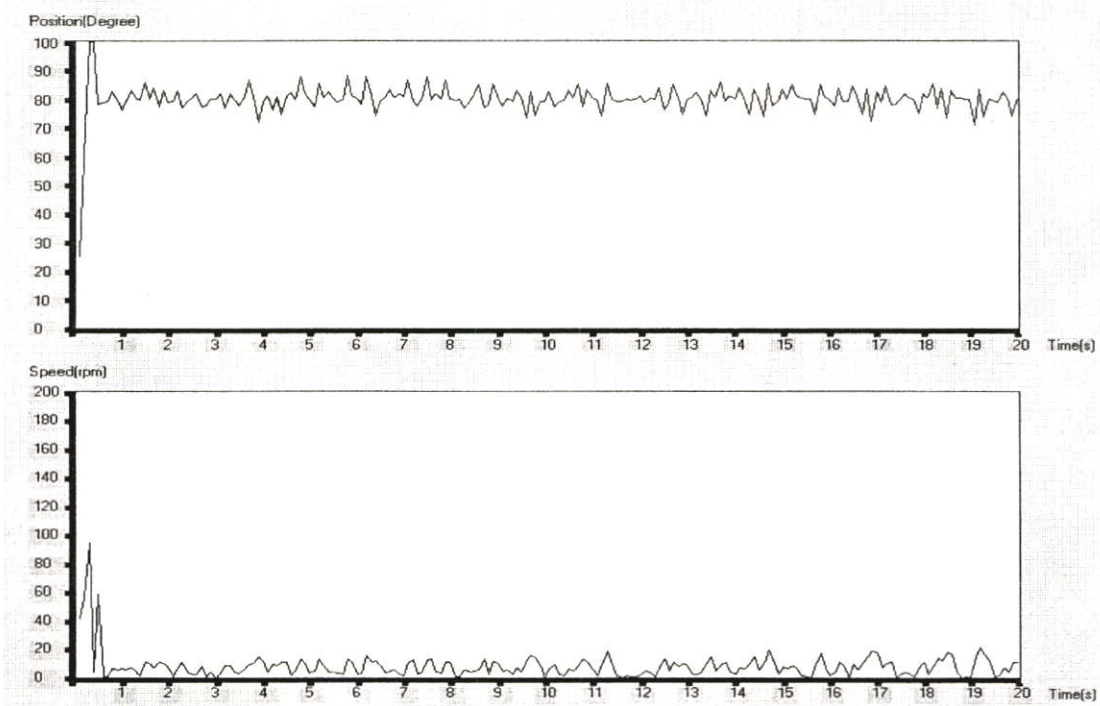


รูปที่ 4.56 สัญญาณรบกวนลอวน logistic map ในระบบจริง

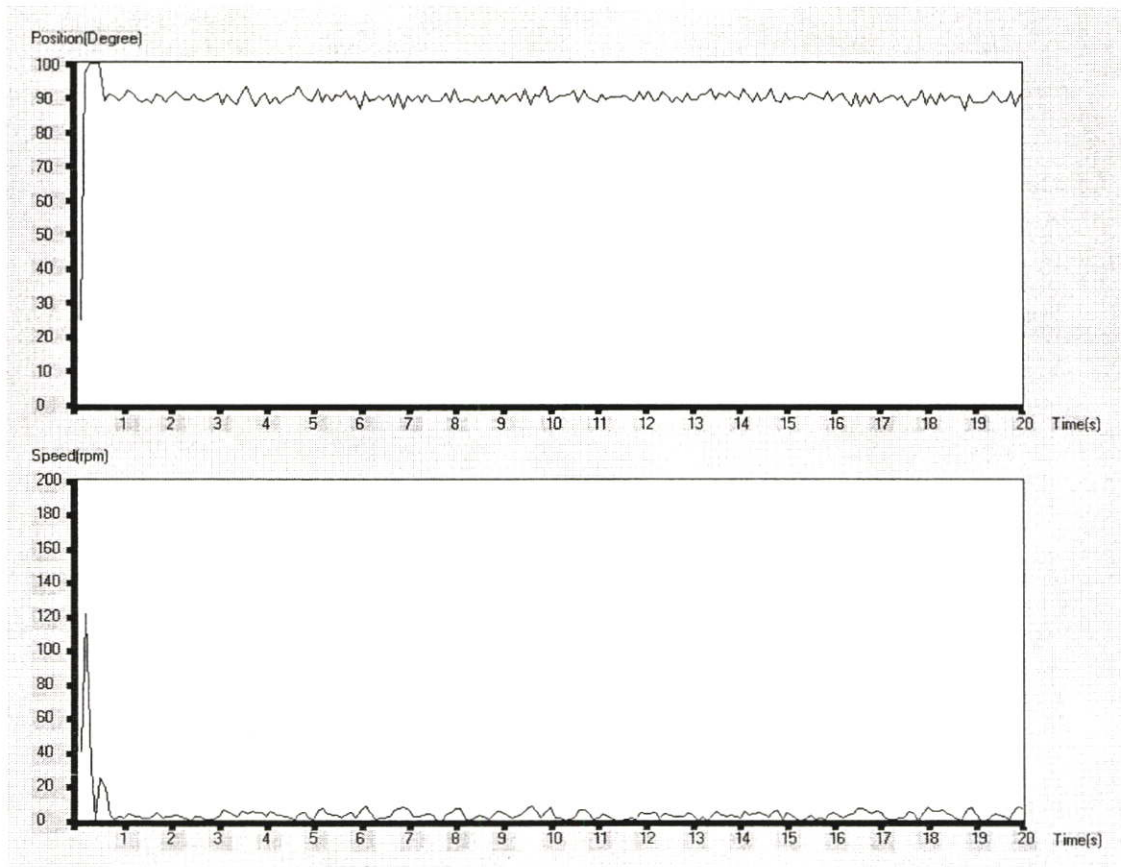
ในรูปที่ 4.57, 4.57, 4.59 จะเห็นได้ว่าผลการควบคุมตำแหน่งมอเตอร์ของตัวควบคุมแบบฟuzzyฟuzzyสแควร์โอดีค่าเป้าหมาย 70, 80, 90 องศา ที่มีการเพิ่มสัญญาณรบกวนลอวนให้กับระบบนั้นพบว่ามีการแกว่งมากเมื่อเทียบกับค่าเป้าหมายที่ตั้งไว้โดย และเมื่อมองความเร็วที่ได้จะเห็นว่าการเปลี่ยนแปลงความเร็วของมอเตอร์อยู่ตลอดเวลาซึ่งสอดคล้องกับค่าของตำแหน่งของแผนกล



รูปที่ 4.57 ผลทดลองระบบจริงการตอบสนองการควบคุมตำแหน่งมอเตอร์ของแกนกลแบบ
 ข้อต่ออ่อนด้วยขณะเพิ่มสัญญาณรบกวนลวนค่าเป้าหมายที่ 70 องศา

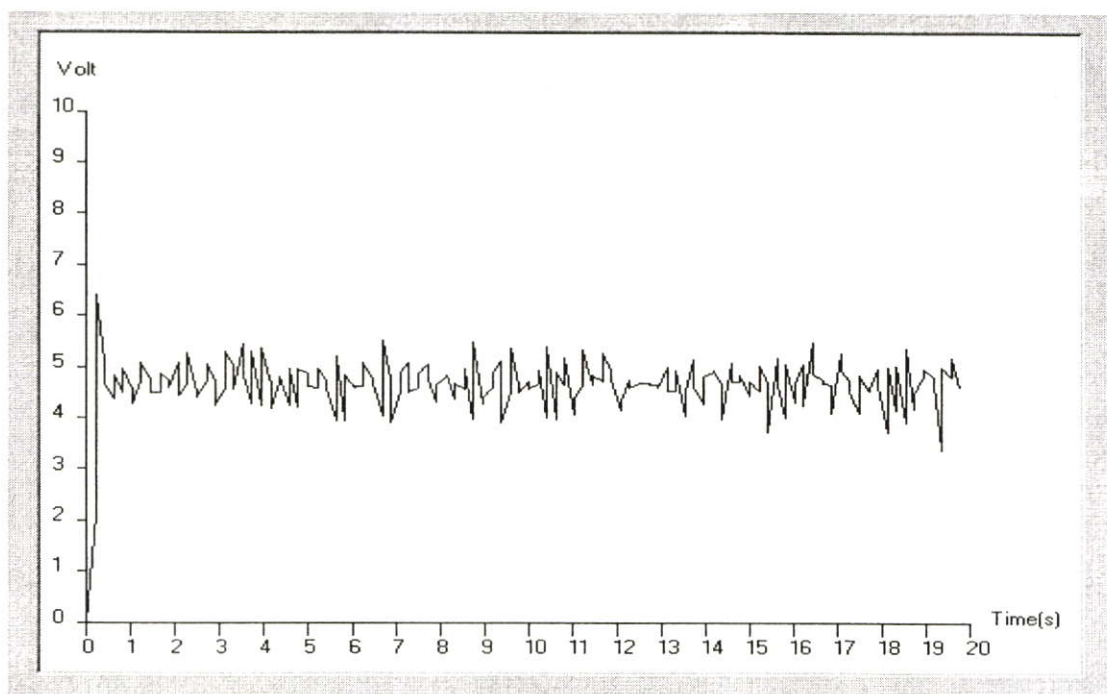


รูปที่ 4.58 ผลทดลองระบบจริงการตอบสนองการควบคุมตำแหน่งมอเตอร์ของแกนกลแบบ
 ข้อต่ออ่อนด้วยขณะเพิ่มสัญญาณรบกวนลวนค่าเป้าหมายที่ 80 องศา

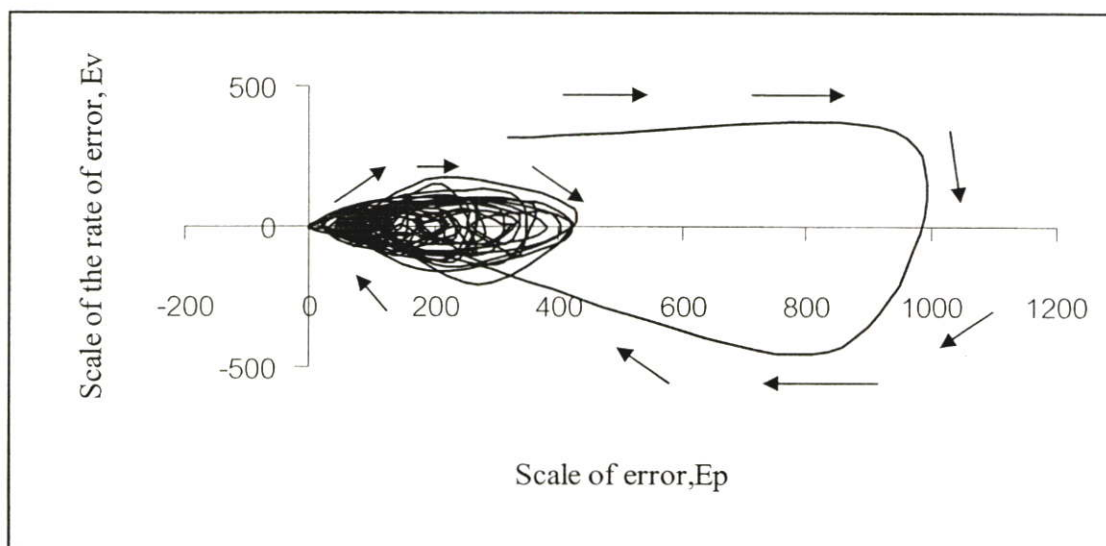


รูปที่ 4.59 ผลทดลองระบบจริงการตอบสนองการควบคุมตำแหน่งมอเตอร์ของแขนกลแบบ
 ข้อต่ออ่อนตัวขณะเพิ่มสัญญาณรบกวนลอวนค่าเป้าหมายที่ 90 องศา

ในรูปที่ 4.60 เป็นผลตอบสนองสัญญาณควบคุมของรูปที่ 4.57 ขณะมีสัญญาณรบกวน
 ลอวน ซึ่งเป็นผลทดลองจากระบบจริงของแขนกลแบบข้อต่ออ่อนตัวค่าเป้าหมายที่ 70 องศา
 ปรับแต่งค่าพารามิเตอร์ด้วยวิธีการทางพันธุศาสตร์ ซึ่งจากภาพเป็นแรงดันที่ป้อนให้กับมอเตอร์ จะ
 เห็นได้ว่าแรงดันมีค่าที่ไม่ราบเรียบขณะที่เข้าสู่ค่าเป้าหมาย และเมื่อเทียบผลตอบสนองของตำแหน่ง
 มอเตอร์กับค่าความเร็วในรูปที่ 4.57 จะเห็นได้ว่ามีความสอดคล้องกันและรูปที่ 4.61 เป็นผลระนาบ
 เฟสความผิดพลาดของรูปที่ 4.57 จะเห็นว่าทิศทางของค่าผิดพลาดไม่ลู่เข้าสู่จุดกำเนิด

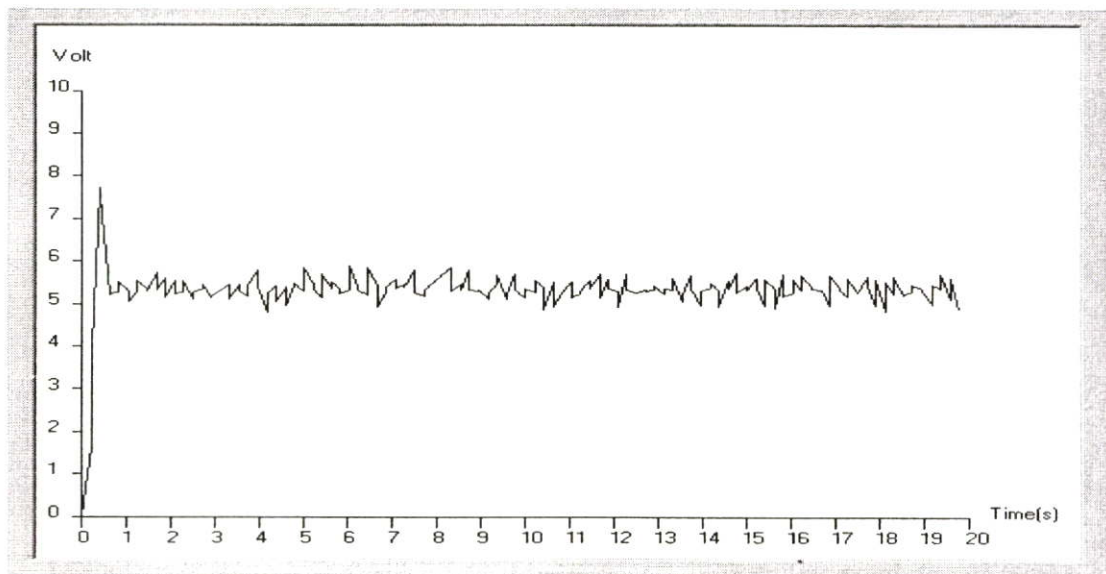


รูปที่ 4.60 ผลสัญญาณการควบคุมตำแหน่งมอเตอร์ของแกนกลแบบข้อต่ออ่อนตัวค่าเป้าหมายที่ 70 องศา ของรูปที่ 4.57

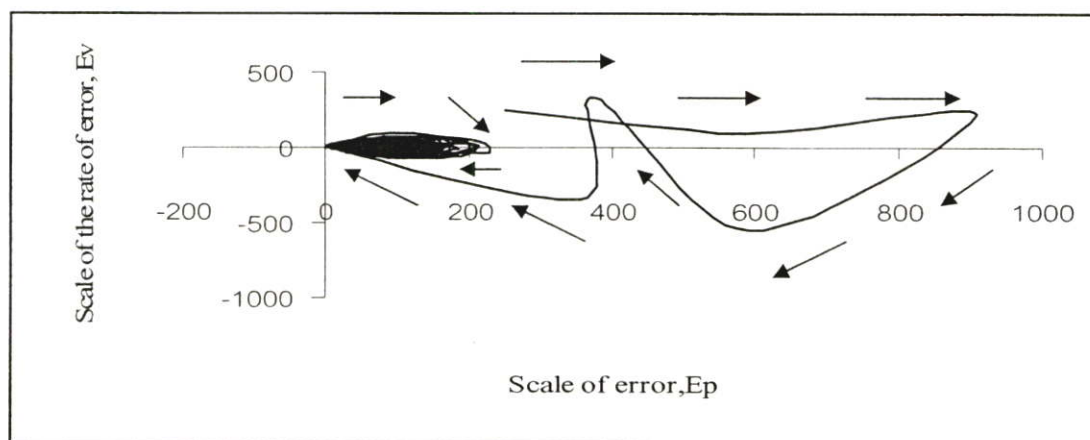


รูปที่ 4.61 ระนาบเฟสความผิดพลาดของระบบจริงที่สอดคล้องกับการตอบสนองการควบคุมตำแหน่งมอเตอร์ของแกนกลแบบข้อต่ออ่อนตัวค่าเป้าหมายที่ 70 องศา ของรูปที่ 4.57

ในรูปที่ 4.62 เป็นผลตอบสนองสัญญาณควบคุมของรูปที่ 4.58 ขณะมีสัญญาณรบกวนอลวน ซึ่งเป็นผลทดลองจากระบบจริงของแกนกลแบบข้อต่ออ่อนตัวค่าเป้าหมายที่ 80 องศา ปรับแต่งค่าพารามิเตอร์ด้วยวิธีการทางพันธุศาสตร์ ซึ่งจากภาพเป็นแรงดันที่ป้อนให้กับมอเตอร์ จะเห็นว่าแรงดันมีค่าที่ไม่ราบเรียบขณะที่เข้าสู่ค่าเป้าหมาย และเมื่อเทียบผลตอบสนองของตำแหน่งมอเตอร์กับค่าความเร็วในรูปที่ 4.58 จะเห็นได้ว่ามีความสอดคล้องกันและรูปที่ 4.63 เป็นผลระนาบเฟสความผิดพลาดของรูปที่ 4.58 จะเห็นว่าทิศทางของค่าผิดพลาดไม่ลู่อู่เข้าสู่จุดกำเนิด

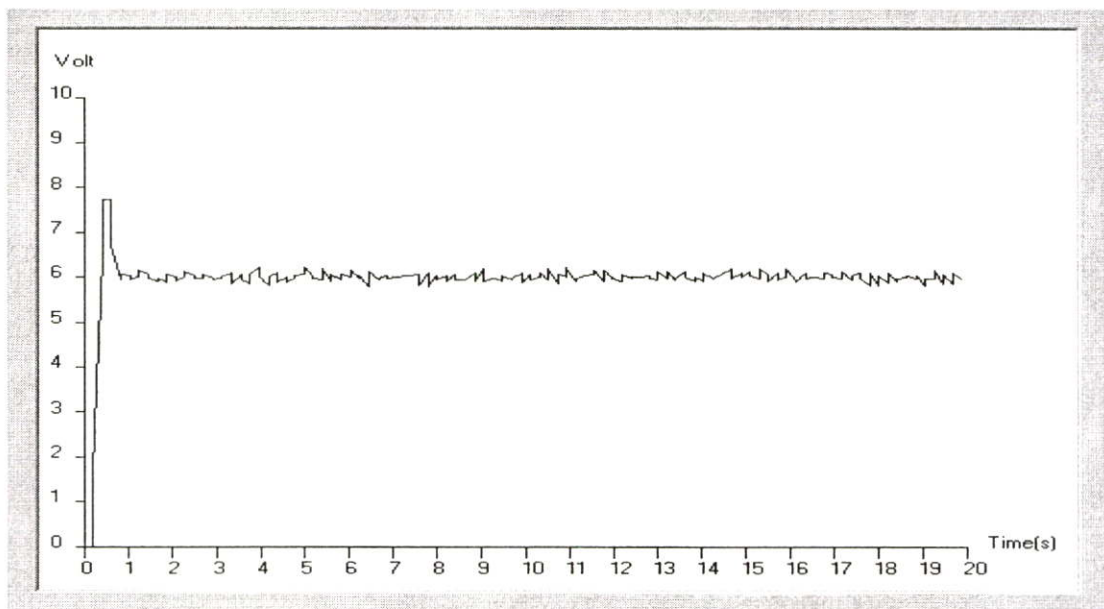


รูปที่ 4.62 ผลสัญญาณการควบคุมตำแหน่งมอเตอร์ของแกนกลแบบข้อต่ออ่อนตัวค่าเป้าหมายที่ 80 องศา ของรูปที่ 4.58

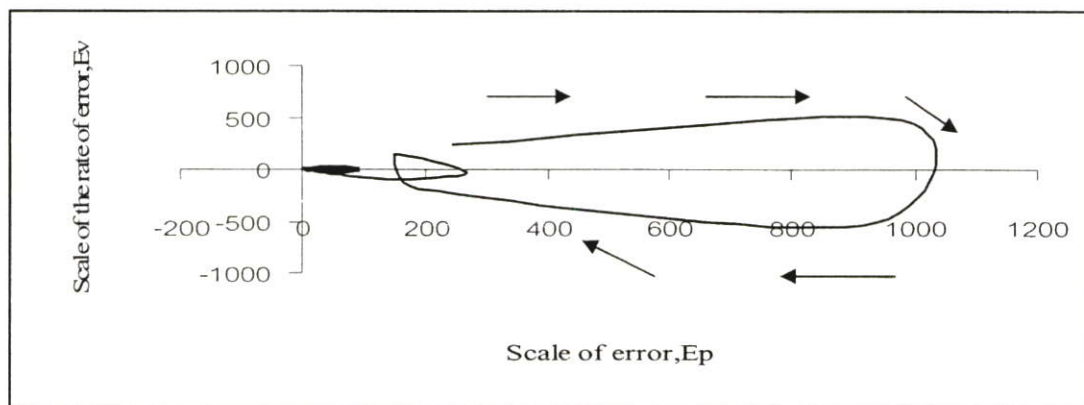


รูปที่ 4.63 ระนาบเฟสความผิดพลาดของระบบจริงที่สอดคล้องกับการตอบสนองการควบคุมตำแหน่งมอเตอร์ของแกนกลแบบข้อต่ออ่อนตัวค่าเป้าหมายที่ 80 องศา ของรูปที่ 4.58

ในรูปที่ 4.64 เป็นผลตอบสนองสัญญาณควบคุมของรูปที่ 4.59 ขณะมีสัญญาณรบกวนอลวน ซึ่งเป็นผลทดลองจากระบบจริงของแกนกลแบบข้อต่ออ่อนตัวค่าเป้าหมายที่ 90 องศา ปรับแต่งค่าพารามิเตอร์ด้วยวิธีการทางพันธุศาสตร์ ซึ่งจากภาพเป็นแรงดันที่ป้อนให้กับมอเตอร์ จะเห็นว่าแรงดันมีค่าที่ไม่ราบเรียบขณะที่เข้าสู่ค่าเป้าหมาย และเมื่อเทียบผลตอบสนองของตำแหน่งมอเตอร์กับค่าความเร็วในรูปที่ 4.59 จะเห็นได้ว่ามีความสอดคล้องกันและรูปที่ 4.65 เป็นผลระนาบเฟสความผิดพลาดของรูปที่ 4.59 จะเห็นว่าทิศทางของค่าผิดพลาดไม่ลู่เข้าสู่จุดกำเนิด



รูปที่ 4.64 ผลการควบคุมตำแหน่งมอเตอร์ของแกนกลแบบข้อต่ออ่อนตัวค่าเป้าหมายที่ 90 องศา ของรูปที่ 4.59



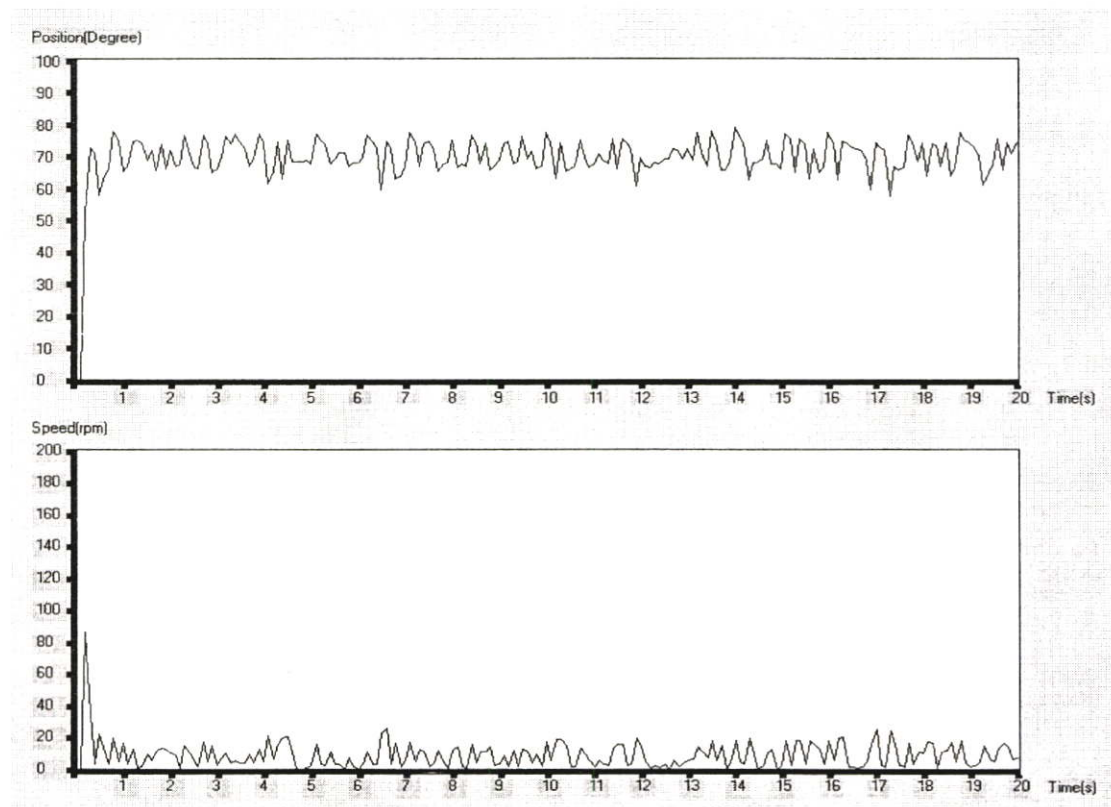
รูปที่ 4.65 ระนาบเฟสความผิดพลาดของระบบจริงที่สอดคล้องกับการตอบสนองการควบคุมตำแหน่งมอเตอร์ของแกนกลแบบข้อต่ออ่อนตัวค่าเป้าหมายที่ 90 องศา ของรูปที่ 4.59

จากรูป 4.57 ถึง 4.65 ผลการทดลองการควบคุมตำแหน่งมอเตอร์ของแขนกลแบบข้อต่ออ่อนตัวด้วยวิธีการทางพันธุศาสตร์ขณะเพิ่มสัญญาณรบกวนลอวน logistic map พบว่ามีการแกว่งของแขนกลเมื่อเทียบกับค่าเป้าหมายอีกทั้งค่าแรงดันที่ป้อนให้กับมอเตอร์นั้นก็มีค่าไม่คงที่ และเมื่อดูจากระบบเฟสผิดพลาดของผลตอบสนองพบว่าไม่ลู่เข้าสู่จุดกำเนิด ดังนั้นจะได้นำผลการทดลองนี้ไปทำการขจัดสัญญาณรบกวนลอวนด้วยวิธีการทางพันธุศาสตร์ในหัวข้อต่อไป

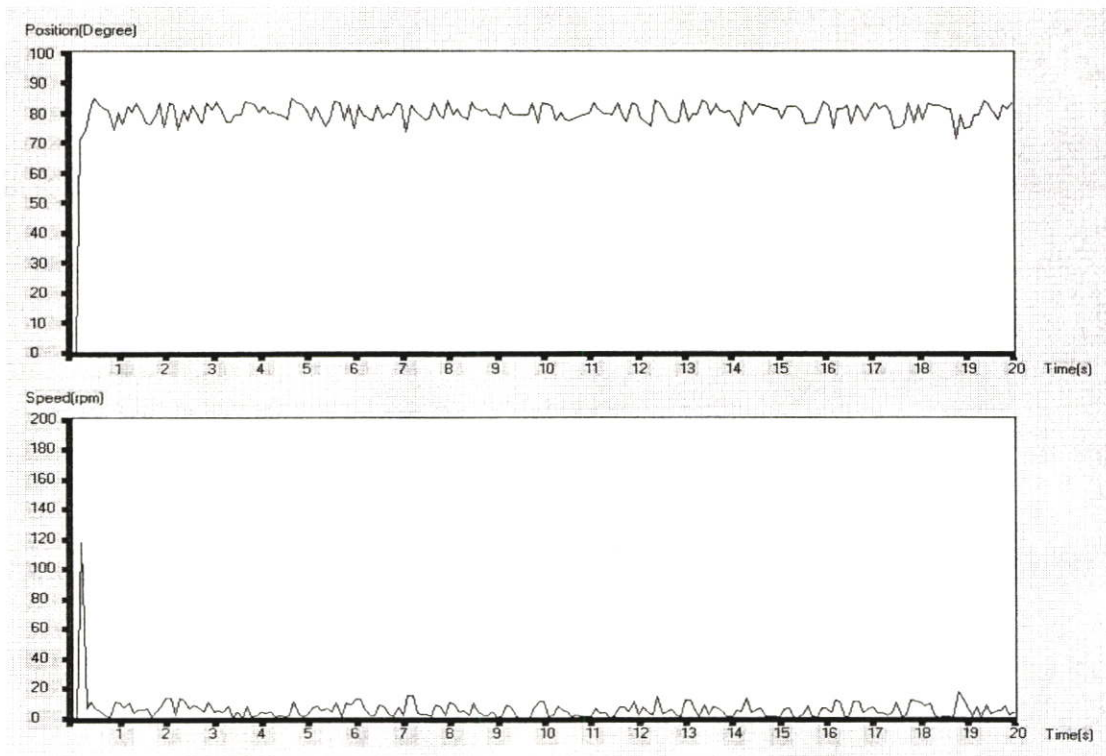
4.5.5 ผลตอบสนองระบบจริงของตัวควบคุมพีซีพีสแควร์ไอดีปรับแต่งค่าพารามิเตอร์ด้วยวิธีการทางพันธุศาสตร์ของแขนกลแบบข้อต่ออ่อนตัวขณะขจัดสัญญาณรบกวนลอวน logistic map โดยกำหนดค่าเป้าหมายไว้ที่ 70, 80, 90 องศา

ในการทดลองนี้จะทำการขจัดสัญญาณรบกวนลอวนของตัวควบคุมแบบพีซีพีสแควร์ไอดีด้วยวิธีการทางพันธุศาสตร์ค่าเป้าหมายที่ 70, 80, 90 องศา

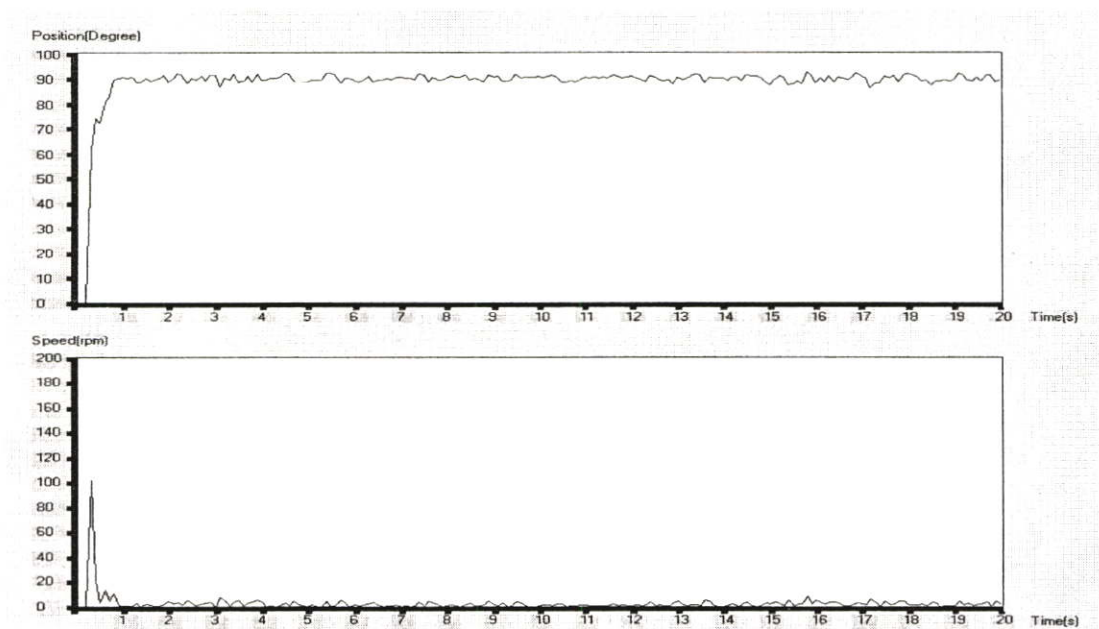
ในรูปที่ 4.66, 4.67, 4.68 เป็นผลตอบสนองที่ได้จากการขจัดสัญญาณรบกวนลอวนของแขนกลแบบข้อต่ออ่อนตัวค่าเป้าหมายที่ 70, 80, 90 ซึ่งจะเห็นว่าการแกว่งของผลตอบสนองที่ได้มีค่าพุ่งเกินที่ลดน้อยลงเมื่อเทียบกับรูปที่ 4.57, 4.58, 4.59



รูปที่ 4.66 ผลทดลองระบบจริงการตอบสนองการควบคุมตำแหน่งมอเตอร์ของแขนกลแบบข้อต่ออ่อนตัวขณะขจัดสัญญาณรบกวนลอวนค่าเป้าหมายที่ 70 องศา

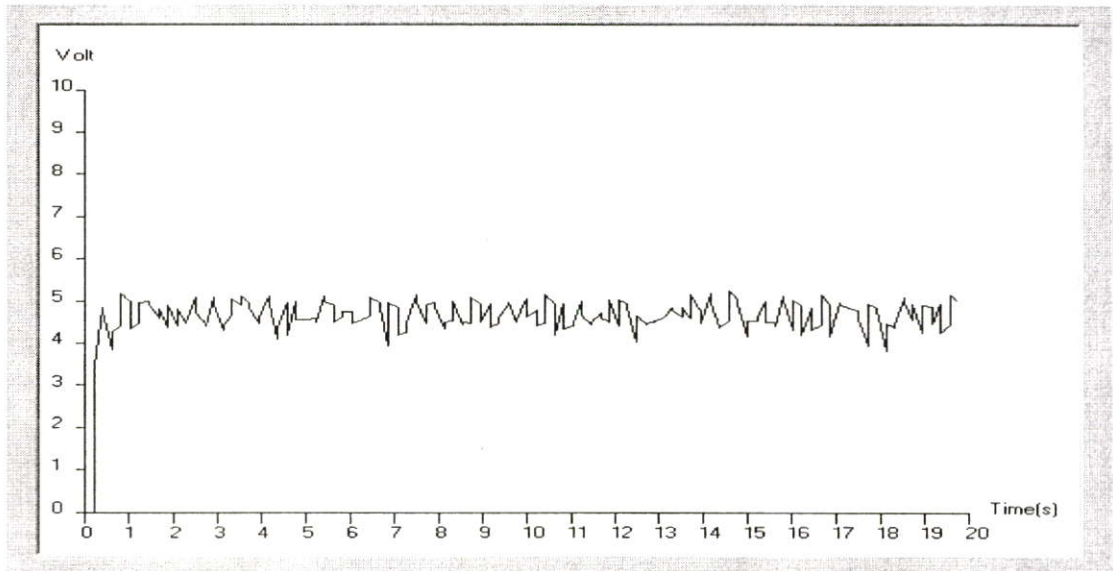


รูปที่ 4.67 ผลทดลองระบบจริงการตอบสนองการควบคุมตำแหน่งมอเตอร์ของแกนกลแบบ
 ข้อต่ออ่อนตัวขณะจัดสัญญาณรบกวนลอวนค่าเป้าหมายที่ 80 องศา

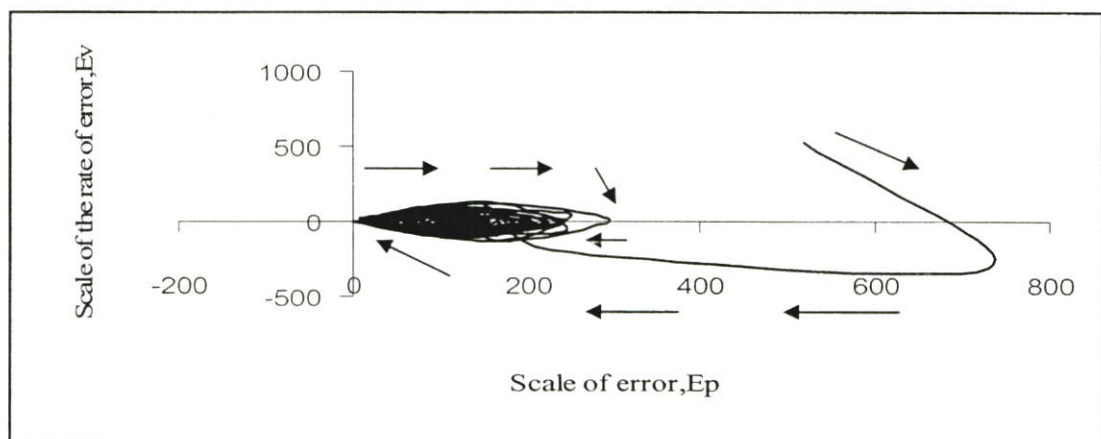


รูปที่ 4.68 ผลทดลองระบบจริงการตอบสนองการควบคุมตำแหน่งมอเตอร์ของแกนกลแบบ
 ข้อต่ออ่อนตัวขณะจัดสัญญาณรบกวนลอวนค่าเป้าหมายที่ 90 องศา

ในรูปที่ 4.69 เป็นผลตอบสนองสัญญาณควบคุมของรูปที่ 4.66 ซึ่งเป็นผลทดลองจากระบบจริงของแกนกลแบบข้อต่ออ่อนตัวค่าเป้าหมายที่ 70 องศา ขณะที่ทำการขจัดสัญญาณรบกวน ซึ่งจากภาพเป็นแรงดันที่ป้อนให้กับมอเตอร์ จะเห็นได้ว่าการแกว่งของแรงดันลดน้อยลงแต่ยังมีการแกว่งของระดับแรงดันอยู่ และเมื่อเทียบผลตอบสนองของตำแหน่งมอเตอร์กับค่าความเร็วในรูปที่ 4.66 จะเห็นได้ว่ามีความสอดคล้องกันและรูปที่ 4.70 เป็นผลระนาบเฟสความผิดพลาดของรูปที่ 4.66 จะเห็นว่าการวนรอบของค่าผิดพลาดลดน้อยลง

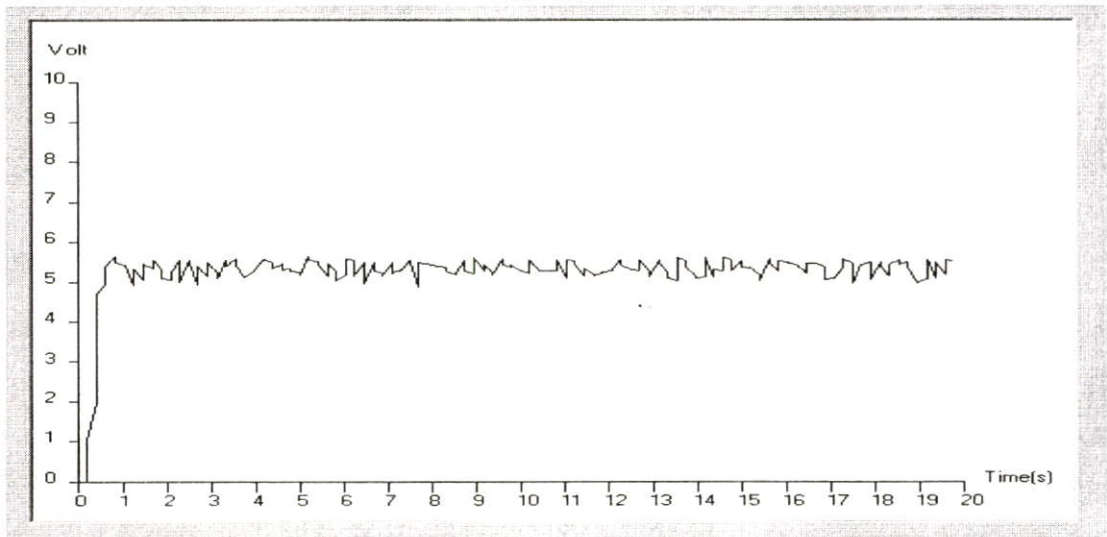


รูปที่ 4.69 ผลสัญญาณทางเอาต์พุตของระบบจริงการตอบสนองการควบคุมตำแหน่งมอเตอร์ของแกนกลแบบข้อต่ออ่อนตัวค่าเป้าหมายที่ 70 องศา ของรูปที่ 4.66

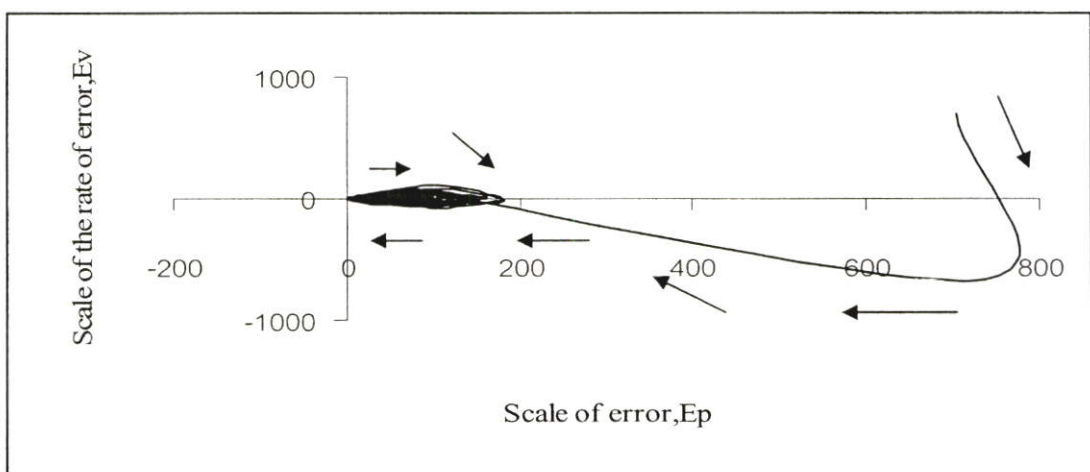


รูปที่ 4.70 ระนาบเฟสความผิดพลาดของระบบจริงที่สอดคล้องกับการตอบสนองการควบคุมตำแหน่งมอเตอร์ของแกนกลแบบข้อต่ออ่อนตัวค่าเป้าหมายที่ 70 องศา ของรูปที่ 4.66

ในรูปที่ 4.71 เป็นผลตอบสนองสัญญาณควบคุมของรูปที่ 4.67 ซึ่งเป็นผลทดลองจากระบบจริงของแกนกลแบบข้อต่ออ่อนตัวค่าเป้าหมายที่ 80 องศา ขณะที่ทำการขจัดสัญญาณรบกวนซึ่งจากภาพเป็นแรงดันที่ป้อนให้กับมอเตอร์ จะเห็นได้ว่าการแกว่งของแรงดันลดน้อยลงแต่ยังมีการแกว่งของระดับแรงดันอยู่ และเมื่อเทียบผลตอบสนองของตำแหน่งมอเตอร์กับค่าความเร็วในรูปที่ 4.67 จะเห็นได้ว่ามีความสอดคล้องกันและรูปที่ 4.72 เป็นผลระนาบเฟสความผิดพลาดของรูปที่ 4.67 จะเห็นว่ากรวนรอบของค่าผิดพลาดลดน้อยลง

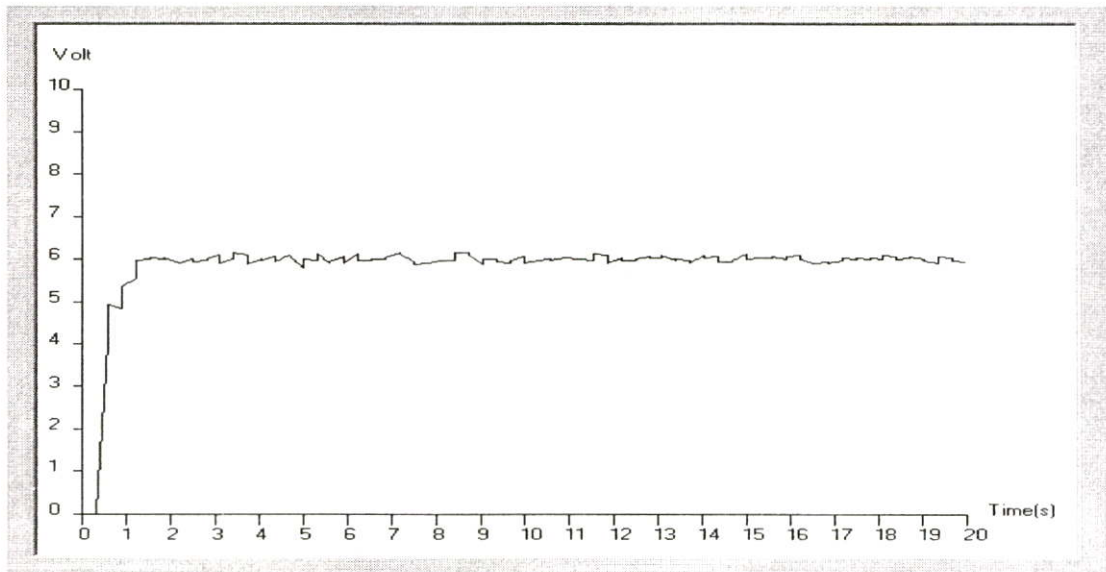


รูปที่ 4.71 ผลสัญญาณทางเอาต์พุตของระบบจริงการตอบสนองการควบคุมตำแหน่งมอเตอร์ของแกนกลแบบข้อต่ออ่อนตัวค่าเป้าหมายที่ 80 องศา ของรูปที่ 4.67

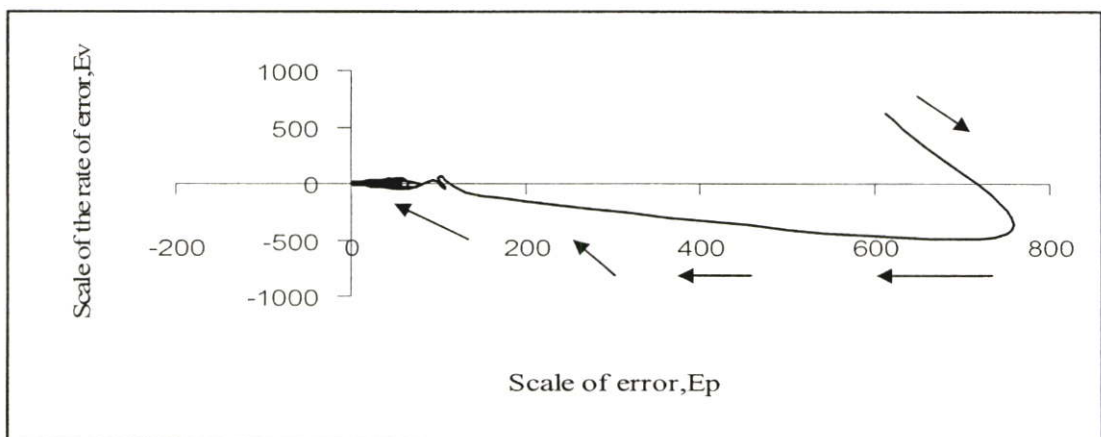


รูปที่ 4.72 ระนาบเฟสความผิดพลาดของระบบจริงที่สอดคล้องกับการตอบสนองการควบคุมตำแหน่งมอเตอร์ของแกนกลแบบข้อต่ออ่อนตัวค่าเป้าหมายที่ 80 องศา ของรูปที่ 4.67

ในรูปที่ 4.73 เป็นผลตอบสนองสัญญาณควบคุมของรูปที่ 4.68 ซึ่งเป็นผลทดลองจากระบบจริงของแกนกลแบบข้อต่ออ่อนตัวค่าเป้าหมายที่ 90 องศา ขณะที่ทำการขจัดสัญญาณรบกวน ซึ่งจากภาพเป็นแรงดันที่ป้อนให้กับมอเตอร์ จะเห็นได้ว่าการแกว่งของแรงดันลดน้อยลงแต่ยังมีการแกว่งของระดับแรงดันอยู่ และเมื่อเทียบผลตอบสนองของตำแหน่งมอเตอร์กับค่าความเร็วในรูปที่ 4.68 จะเห็นได้ว่าเป็นการสอดคล้องกันและรูปที่ 4.74 เป็นผลระนาบเฟสความผิดพลาดของรูปที่ 4.68 จะเห็นว่าการวนรอบของค่าผิดพลาดลดน้อยลง



รูปที่ 4.73 ผลสัญญาณทางเอาต์พุตของระบบจริงการตอบสนองการควบคุมตำแหน่งมอเตอร์ของแกนกลแบบข้อต่ออ่อนตัวค่าเป้าหมายที่ 90 องศา ของรูปที่ 4.68

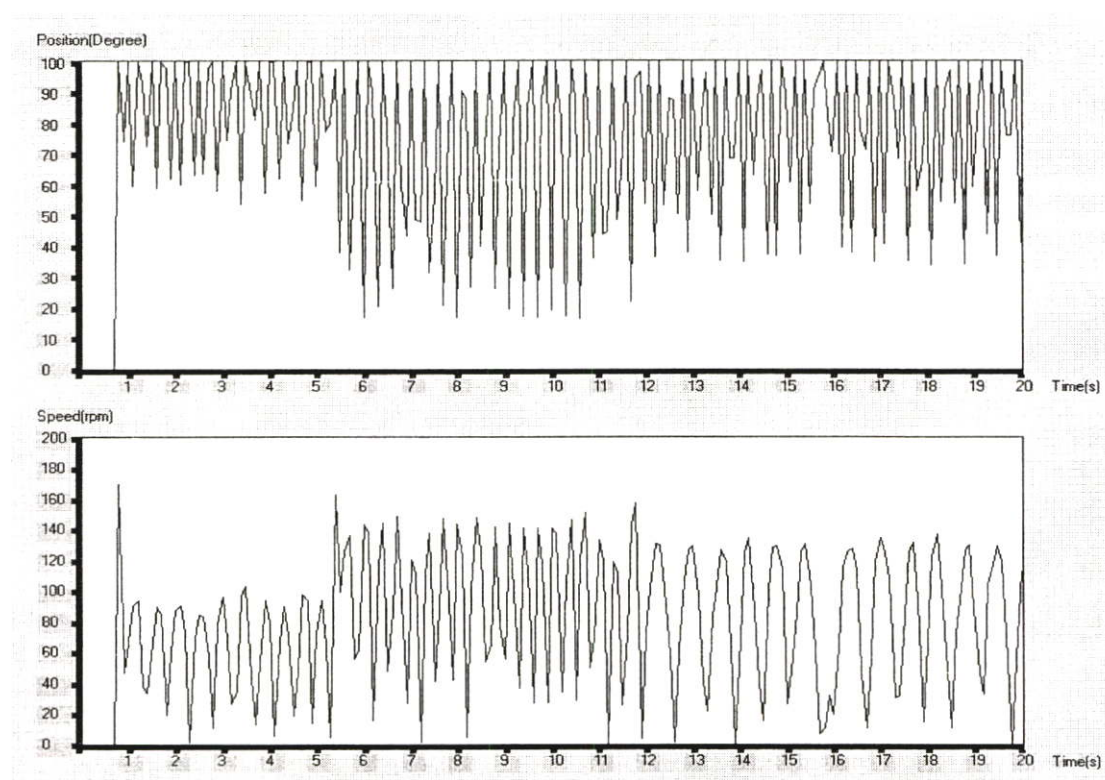


รูปที่ 4.74 ระนาบเฟสความผิดพลาดของระบบจริงที่สอดคล้องกับการตอบสนองการควบคุมตำแหน่งมอเตอร์ของแกนกลแบบข้อต่ออ่อนตัวค่าเป้าหมายที่ 90 องศา ของรูปที่ 4.68

จากการทดลองในรูปที่ 4.667 ถึง 4.74 จะเห็นได้ว่าการขจัดสัญญาณรบกวนอลวนของตัวควบคุมแบบฟuzzyพีสแควร์ไอดีที่ปรับค่าพารามิเตอร์ด้วยวิธีการทางพันธุศาสตร์นั้น สามารถขจัดสัญญาณรบกวนอลวนได้เมื่อเปรียบเทียบกับรูปที่ 4.57 ถึง 4.65 จะเห็นว่ารูปที่ 4.66, 4.67, 4.68 มีการแกว่งของผลตอบสนองที่น้อยกว่ารูปที่ 4.57, 4.58, 4.59 และระนาบเฟสผิดพลาดยังมีการวนรอบที่น้อยกว่าการเพิ่มสัญญาณรบกวนอลวน

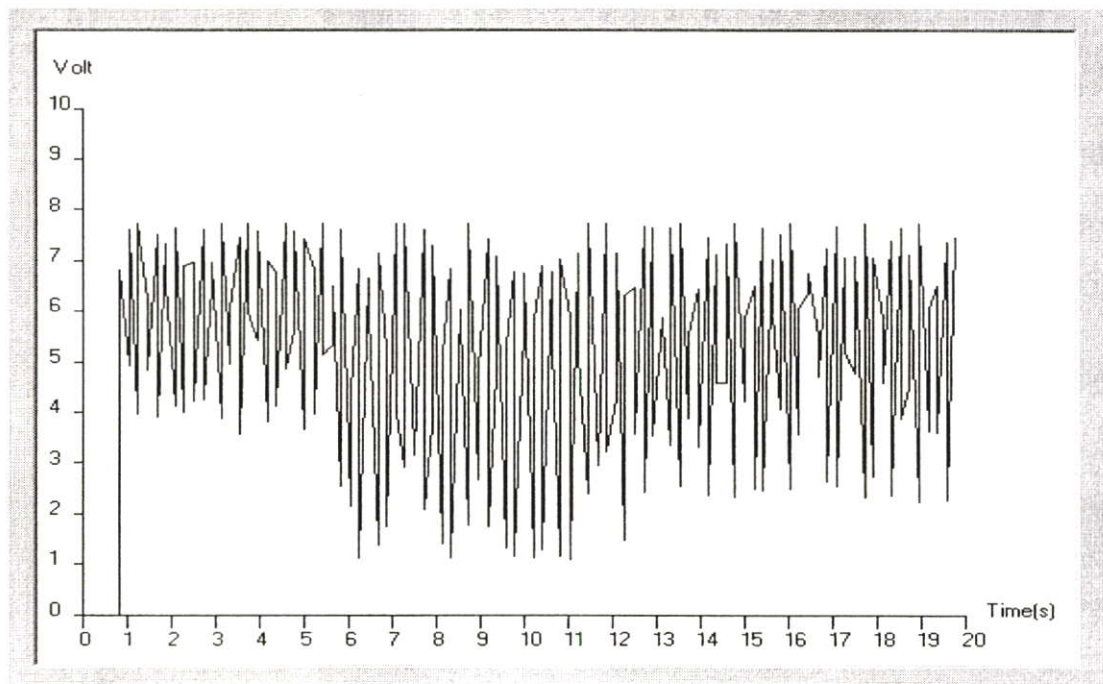
4.5.6 ผลตอบสนองระบบจริงแบบ dynamics ของตัวควบคุมฟuzzyพีสแควร์ไอดีปรับแต่งค่าพารามิเตอร์โดยผู้ใช้ที่ไม่มีทักษะ และความชำนาญของแกนกลแบบข้อต่ออ่อนตัว โดยกำหนดค่าเป้าหมายให้เปลี่ยนแปลงจาก 90, 70, 80 องศา

การทดลองในรูปที่ 4.75 เป็นการควบคุมตำแหน่งของแกนกลแบบข้อต่ออ่อนตัวโดยปรับค่าพารามิเตอร์โดยผู้ใช้ที่ไม่มีทักษะ โดยเปลี่ยนแปลงค่าเป้าหมายตามเวลาโดยเริ่มจาก 90 องศา และเปลี่ยนแปลงไป 70 องศาที่เวลา 5 วินาทีและเมื่อเวลาที่ 11 วินาทีให้เปลี่ยนค่าเป้าหมายไปที่ 80 องศา

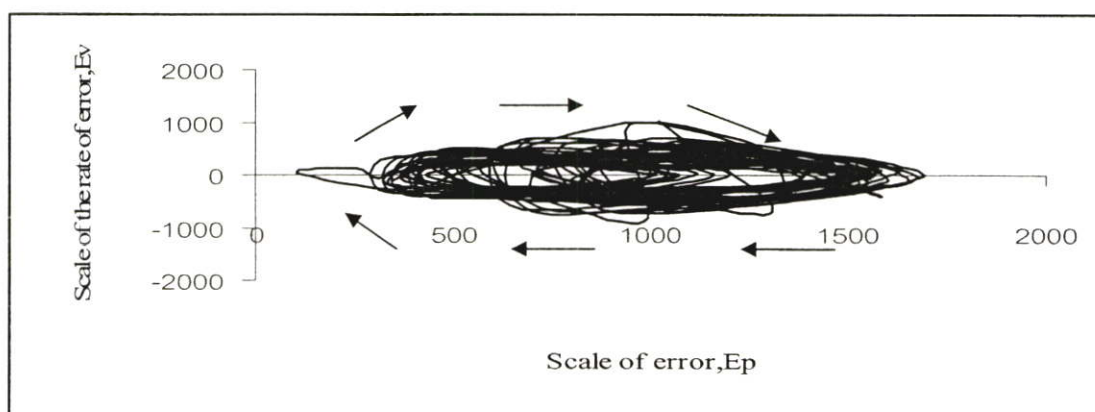


รูปที่ 4.75 ผลทดลองระบบจริงแบบ dynamics การควบคุมตำแหน่งมอเตอร์ของแกนกลแบบข้อต่ออ่อนตัวค่าเป้าหมายที่ 90, 70, 80 องศา ปรับแต่งค่าพารามิเตอร์โดยผู้ใช้ที่ไม่มีทักษะ

ในรูปที่ 4.76 เป็นผลสัญญาณของระบบจริงแบบ dynamics การควบคุมตำแหน่งมอเตอร์ของแขนกลแบบข้อต่ออ่อนตัวค่าเป้าหมายที่ 90, 70, 80 องศา ของรูปที่ 4.75 จะเห็นได้ว่าการแกว่งของแรงดันตามผลตอบสนองสอดคล้องตามในรูปที่ 4.75 และระนาบเฟสความผิดพลาดมีการวนรอบตามค่าเป้าหมายที่เปลี่ยนแปลงดังในรูปที่ 4.77



รูปที่ 4.76 ผลสัญญาณ dynamics การตอบสนองการควบคุมตำแหน่งมอเตอร์ของแขนกลแบบข้อต่ออ่อนตัวค่าเป้าหมายที่ 90, 70, 80 องศา ของรูปที่ 4.75

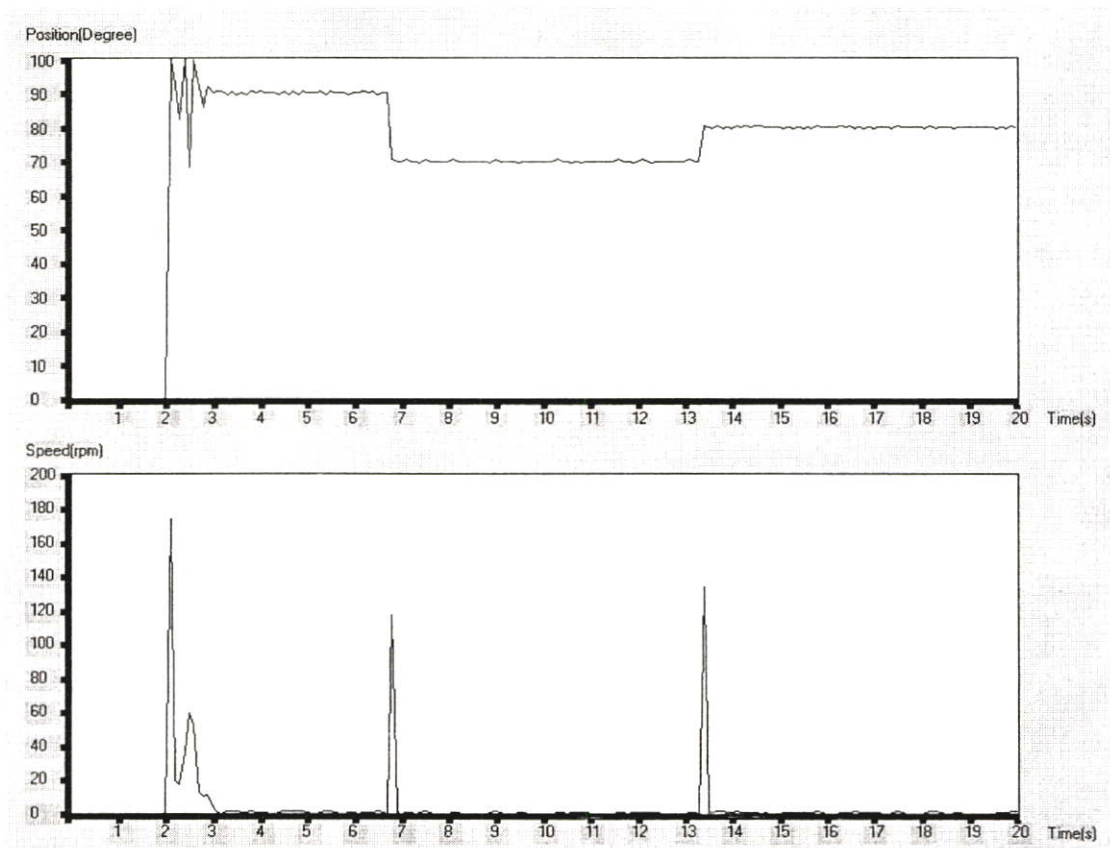


รูปที่ 4.77 ระนาบเฟสความผิดพลาดของระบบจริงที่สอดคล้องกับการตอบสนองการควบคุมตำแหน่งมอเตอร์ของแขนกลแบบข้อต่ออ่อนตัวค่าเป้าหมายที่ 90, 70, 80 องศา ของรูปที่ 4.75

จากรูปที่ 4.75 จะเห็นว่าการใช้ตัวควบคุมแบบพีซีพีสแควร์ไอดีที่มีการเปลี่ยนแปลงค่าเป้าหมายตามเวลาที่ 90, 70, 80 โดยใช้การปรับค่าพารามิเตอร์โดยผู้ใช้ที่ไม่มีทักษะจะเห็นว่าเกิดการแกว่งของผลตอบสนองที่มากและในรูปที่ 4.76 ค่าแรงดันที่ป้อนให้กับมอเตอร์ก็มีการแกว่งเช่นกัน ดังนั้น ในหัวข้อต่อไปจะทำการใช้ตัวควบคุมแบบพีซีพีสแควร์ไอดีที่ปรับค่าพารามิเตอร์ด้วยผู้ใช้ที่มีทักษะ

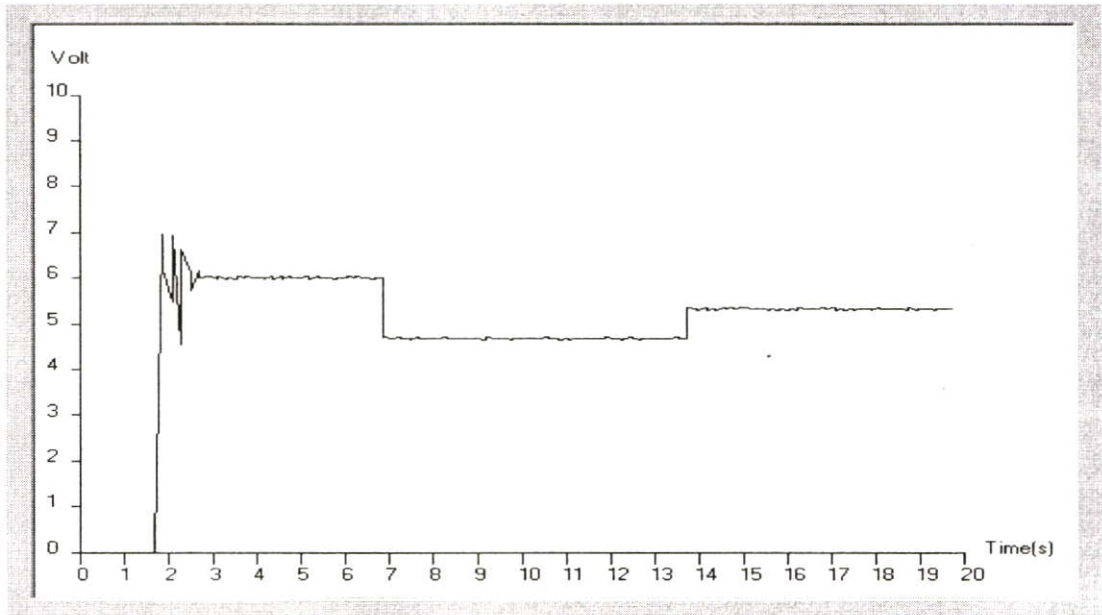
4.5.7 ผลตอบสนองระบบจริงแบบ dynamics ของตัวควบคุมพีซีพีสแควร์ไอดีปรับแต่งค่าพารามิเตอร์โดยผู้ใช้ที่มีทักษะ และความชำนาญของแขนกลแบบข้อต่ออ่อนตัวโดยกำหนดค่าเป้าหมายให้เปลี่ยนแปลงจาก 90, 70, 80 องศา ตามลำดับ

การทดลองในรูปที่ 4.78 การใช้ตัวควบคุมแบบพีซีพีสแควร์ไอดีที่ปรับค่าพารามิเตอร์โดยผู้ใช้ที่มีทักษะควบคุมแขนกลแบบข้อต่ออ่อนตัวด้วยวิธีการทางพันธุศาสตร์ค่าเป้าหมายที่ 90, 70, 80 องศา

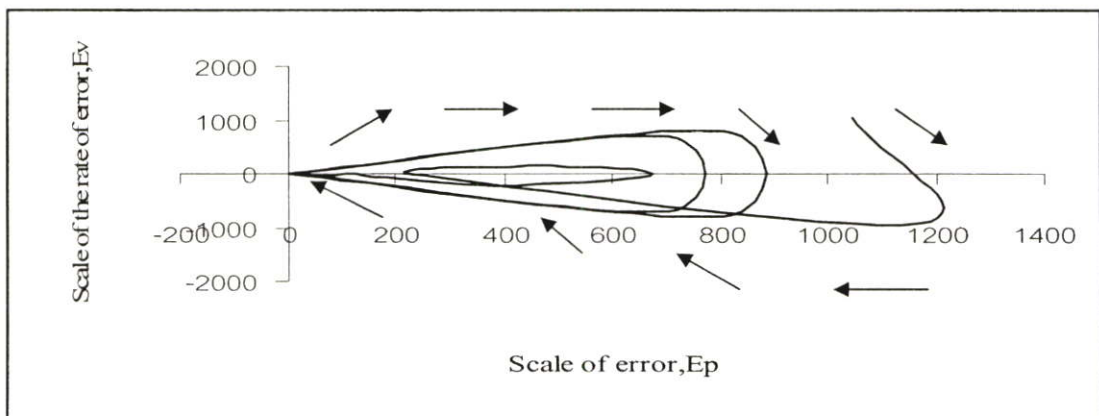


รูปที่ 4.78 ผลทดลองระบบจริงแบบ dynamics การควบคุมตำแหน่งมอเตอร์ของแขนกลแบบข้อต่ออ่อนตัวค่าเป้าหมายที่ 90, 70, 80 องศา ปรับแต่งค่าพารามิเตอร์โดยผู้ใช้ที่มีทักษะ

ในรูปที่ 4.79 เป็นผลสัญญาณของระบบจริงแบบ dynamics การควบคุมตำแหน่งมอเตอร์ของแขนกลแบบข้อต่ออ่อนตัวค่าเป้าหมายที่ 90, 70, 80 องศา ของรูปที่ 4.78 จะเห็นได้ว่าการแกว่งของแรงดันตามผลตอบสนองสอดคล้องตามในรูปที่ 4.78 และระนาบเฟสความผิดพลาดมีการวนรอบตามค่าเป้าหมายที่เปลี่ยนแปลงดังในรูปที่ 4.80



รูปที่ 4.79 ผลสัญญาณทางเอาต์พุตของระบบจริงแบบ dynamics การตอบสนองการควบคุมตำแหน่งมอเตอร์ของแขนกลแบบข้อต่ออ่อนตัวค่าเป้าหมายที่ 90, 70, 80 องศา ของรูปที่ 4.78

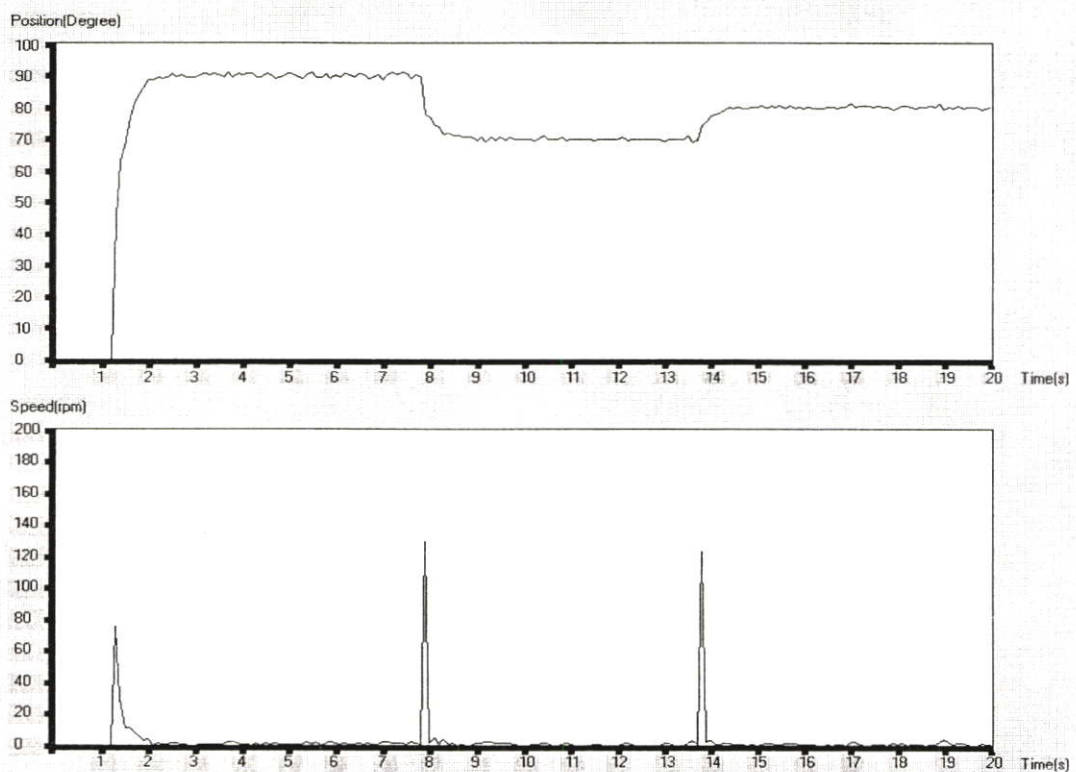


รูปที่ 4.80 ระนาบเฟสความผิดพลาดของระบบจริงที่สอดคล้องกับการตอบสนองการควบคุมตำแหน่งมอเตอร์ของแขนกลแบบข้อต่ออ่อนตัวค่าเป้าหมายที่ 90, 70, 80 องศา ของรูปที่ 4.78

จากรูปที่ 4.78 จะเห็นว่าการใช้ตัวควบคุมแบบพีซีพีสแควร์ไอดีที่มีการเปลี่ยนแปลงค่าเป้าหมายตามเวลาที่ 90, 70, 80 โดยใช้การปรับค่าพารามิเตอร์โดยผู้ใช้ที่มีทักษะจะเห็นว่าเกิดการแกว่งของผลตอบสนองที่น้อยลงและ ในรูปที่ 4.79 ค่าแรงดันที่ป้อนให้กับมอเตอร์เกิดมีการแกว่งเล็กน้อยตอนเริ่ม ดังนั้น ในหัวข้อต่อไปจะทำการใช้ตัวควบคุมแบบพีซีพีสแควร์ไอดีที่ปรับค่าพารามิเตอร์ด้วยวิธีการทางพันธุศาสตร์

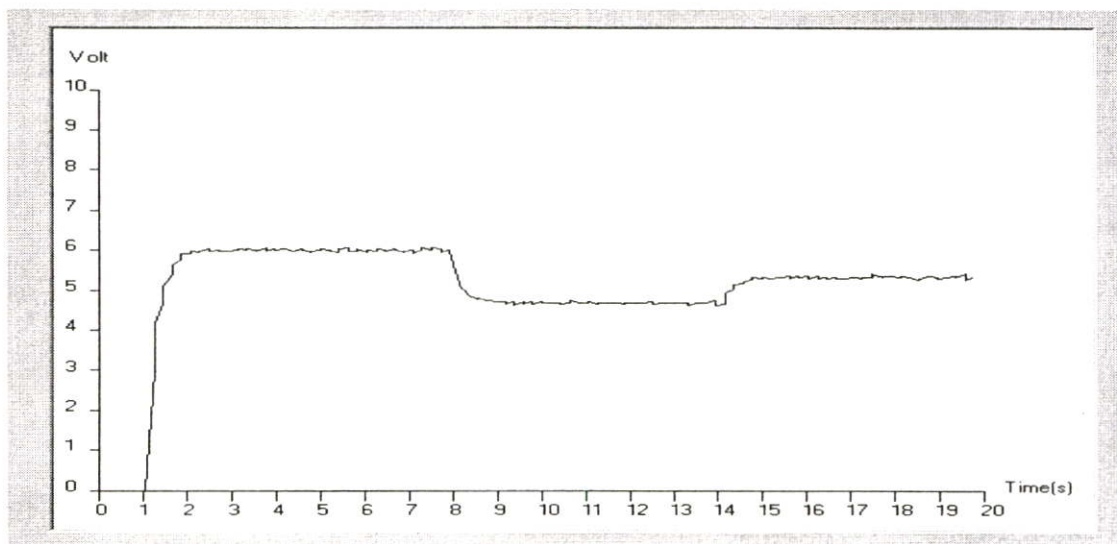
4.5.8 ผลตอบสนองระบบจริงแบบ dynamics ของตัวควบคุมพีซีพีสแควร์ไอดีปรับแต่งค่าพารามิเตอร์ด้วยวิธีการทางพันธุศาสตร์ของแขนกลแบบข้อต่ออ่อนตัวโดยกำหนดค่าเป้าหมายให้เปลี่ยนแปลงจาก 90, 70, 80 องศา

การทดลองในรูปที่ 4.81 การใช้ตัวควบคุมแบบพีซีพีสแควร์ไอดีที่ปรับค่าพารามิเตอร์ด้วยวิธีการทางพันธุศาสตร์มาควบคุมแขนกลแบบข้อต่ออ่อนตัวค่าเป้าหมายที่ 90, 70, 80 องศา

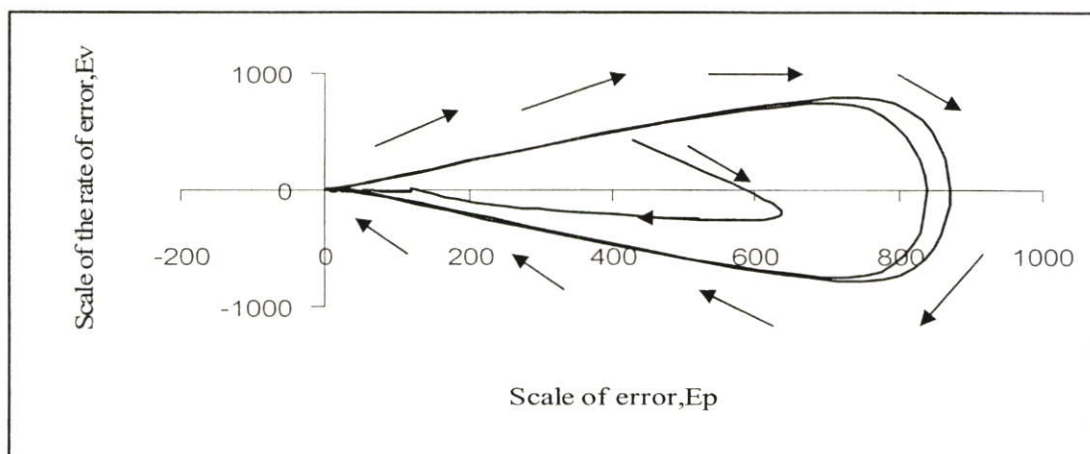


รูปที่ 4.81 ผลทดลองระบบจริงแบบ dynamics การควบคุมตำแหน่งมอเตอร์ของแขนกลแบบข้อต่ออ่อนตัวค่าเป้าหมายที่ 90, 70, 80 องศา ปรับแต่งค่าพารามิเตอร์ด้วยวิธีการทางพันธุศาสตร์

ในรูปที่ 4.82 เป็นผลสัญญาณของระบบจริงแบบ dynamics การควบคุมตำแหน่งมอเตอร์ของแขนกลแบบข้อต่ออ่อนตัวค่าเป้าหมายที่ 90, 70, 80 องศา ของรูปที่ 4.81 จะเห็นได้ว่าการแกว่งของแรงดันตามผลตอบสนองสอดคล้องตามในรูปที่ 4.81 และระนาบเฟสความผิดพลาดมีการวนรอบตามค่าเป้าหมายที่เปลี่ยนแปลงดังในรูปที่ 4.83



รูปที่ 4.82 ผลสัญญาณทางเอาต์พุตของระบบจริงแบบ dynamics การตอบสนองการควบคุมตำแหน่งมอเตอร์ของแขนกลแบบข้อต่ออ่อนตัวค่าเป้าหมายที่ 90, 70, 80 องศา ของรูปที่ 4.81

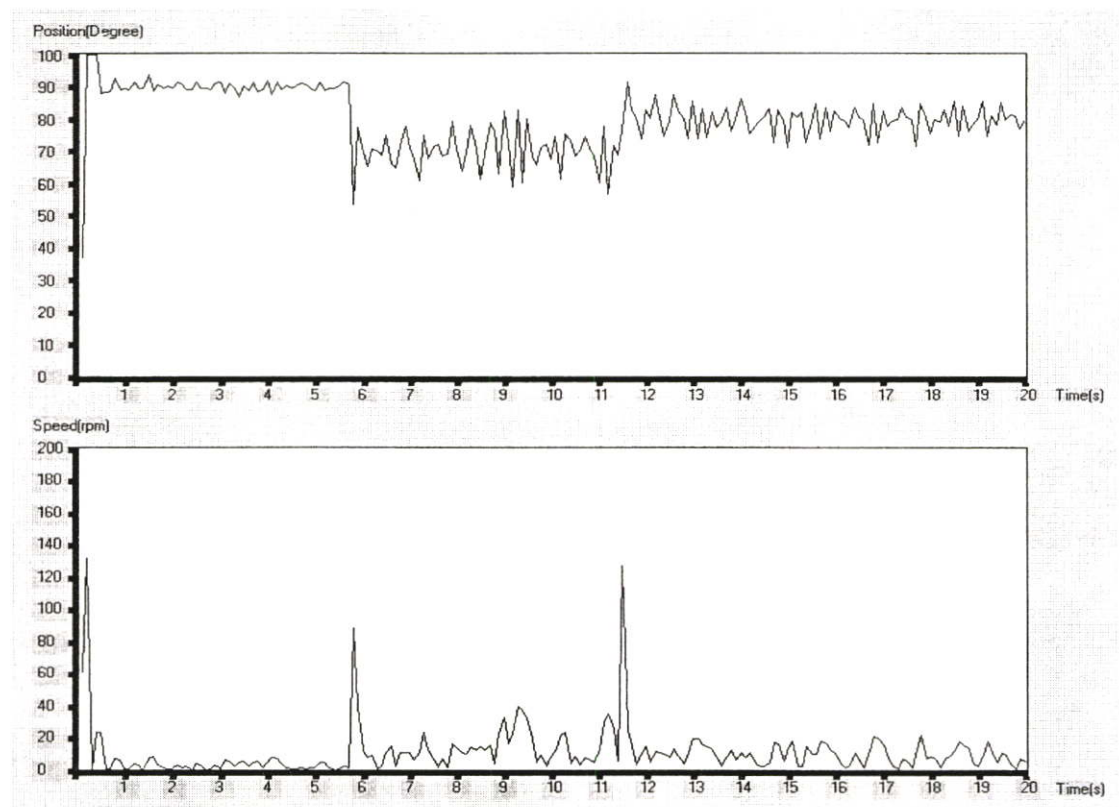


รูปที่ 4.83 ระนาบเฟสความผิดพลาดของระบบจริงที่สอดคล้องกับการตอบสนองการควบคุมตำแหน่งมอเตอร์ของแขนกลแบบข้อต่ออ่อนตัวค่าเป้าหมายที่ 90, 70, 80 องศา ของรูปที่ 4.81

ในรูปที่ 4.81 เป็นผลตอบสนองที่ได้มาจากการใช้ตัวควบคุมพีซีพีสแควร์ไอดีที่ปรับค่าพารามิเตอร์ด้วยวิธีการทางพันธุศาสตร์ที่ค่าเป้าหมายเปลี่ยนแปลง 90, 70 และ 80 จะเห็นได้ว่าค่าตอบสนองที่ได้มีความราบเรียบเมื่อลู่เข้าค่าเป้าหมายที่ตั้งไว้และค่าแรงดันในรูปที่ 4.82 ก็มีความราบเรียบเช่นกัน ส่วนค่าระนาบเฟสผิดพลาดในรูปที่ 4.83 มีแนวโน้มลู่เข้าสู่จุดกำเนิด สรุปได้ว่าการใช้วิธีการทางพันธุศาสตร์เข้ามาช่วยปรับตำแหน่งแกนกลที่เปลี่ยนแปลงตามเวลาให้ค่าตอบสนองที่ดีกว่าการปรับโดยผู้ใช้

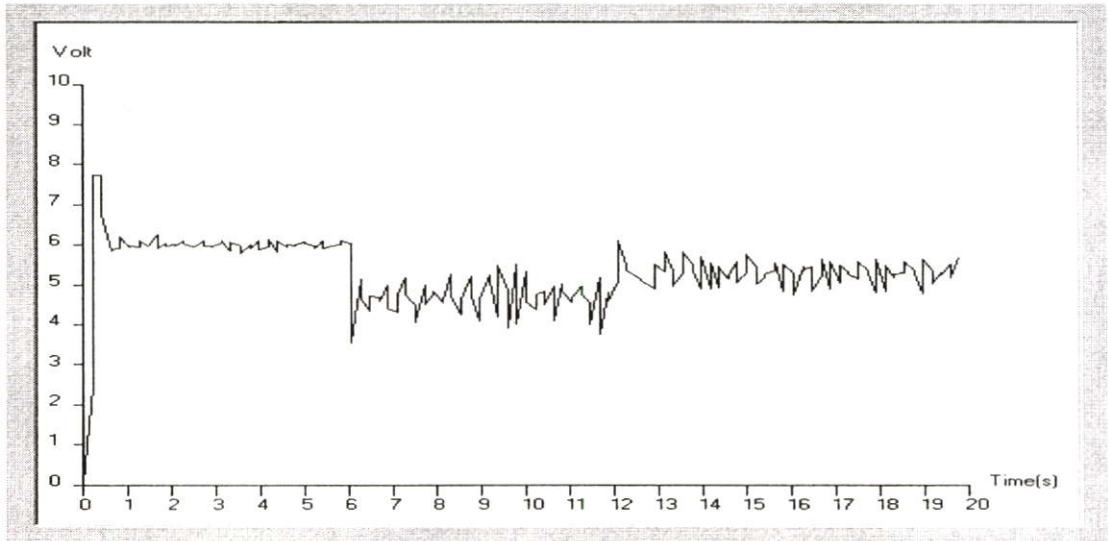
4.5.9 ผลตอบสนองระบบจริงแบบ dynamics ของตัวควบคุมพีซีพีสแควร์ไอดีปรับแต่งค่าพารามิเตอร์ด้วยวิธีการทางพันธุศาสตร์ขณะเพิ่มสัญญาณรบกวนลอจิสติก map ของแกนกลแบบข้อต่ออ่อนตัวโดยกำหนดค่าเป้าหมายให้เปลี่ยนแปลงจาก 90, 70, 80 องศา

การทดลองในรูปที่ 4.84 เป็นการทดสอบประสิทธิภาพของการควบคุมแกนกลแบบข้อต่ออ่อนตัวโดยเพิ่มสัญญาณรบกวนลอจิสติก map

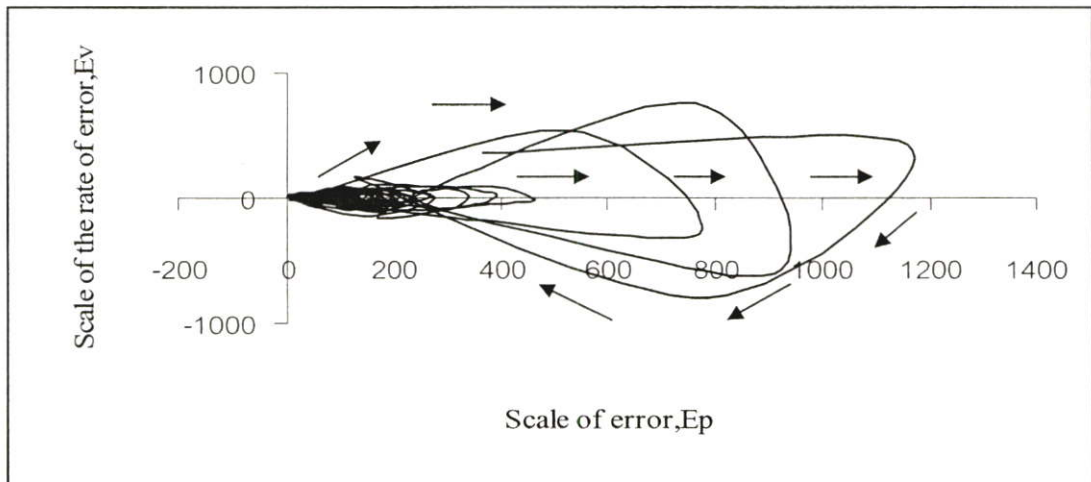


รูปที่ 4.84 ผลทดลองระบบจริงแบบ dynamics การควบคุมตำแหน่งมอเตอร์ของแกนกลแบบข้อต่ออ่อนตัวขณะเพิ่มสัญญาณรบกวนลอจิสติกค่าเป้าหมายที่ 90, 70, 80 องศา ปรับแต่งค่าพารามิเตอร์ด้วยวิธีการทางพันธุศาสตร์

ในรูปที่ 4.85 เป็นผลสัญญาณของระบบจริงแบบ dynamics การควบคุมตำแหน่งมอเตอร์ของแขนกลแบบข้อต่ออ่อนตัวค่าเป้าหมายที่ 90, 70, 80 องศาจะเพิ่มสัญญาณรบกวนของรูปที่ 4.84 จะเห็นได้ว่าการแกว่งของแรงดันตามผลตอบสนองสอดคล้องตามในรูปที่ 4.84 และระนาบเฟสความผิดพลาดมีการวนรอบตามค่าเป้าหมายที่เปลี่ยนแปลงดังในรูปที่ 4.86



รูปที่ 4.85 ผลสัญญาณทางเอาต์พุตของระบบจริงแบบ dynamics การตอบสนองการควบคุมตำแหน่งมอเตอร์ของแขนกลแบบข้อต่ออ่อนตัวค่าเป้าหมายที่ 90, 70, 80 องศาของรูปที่ 4.84

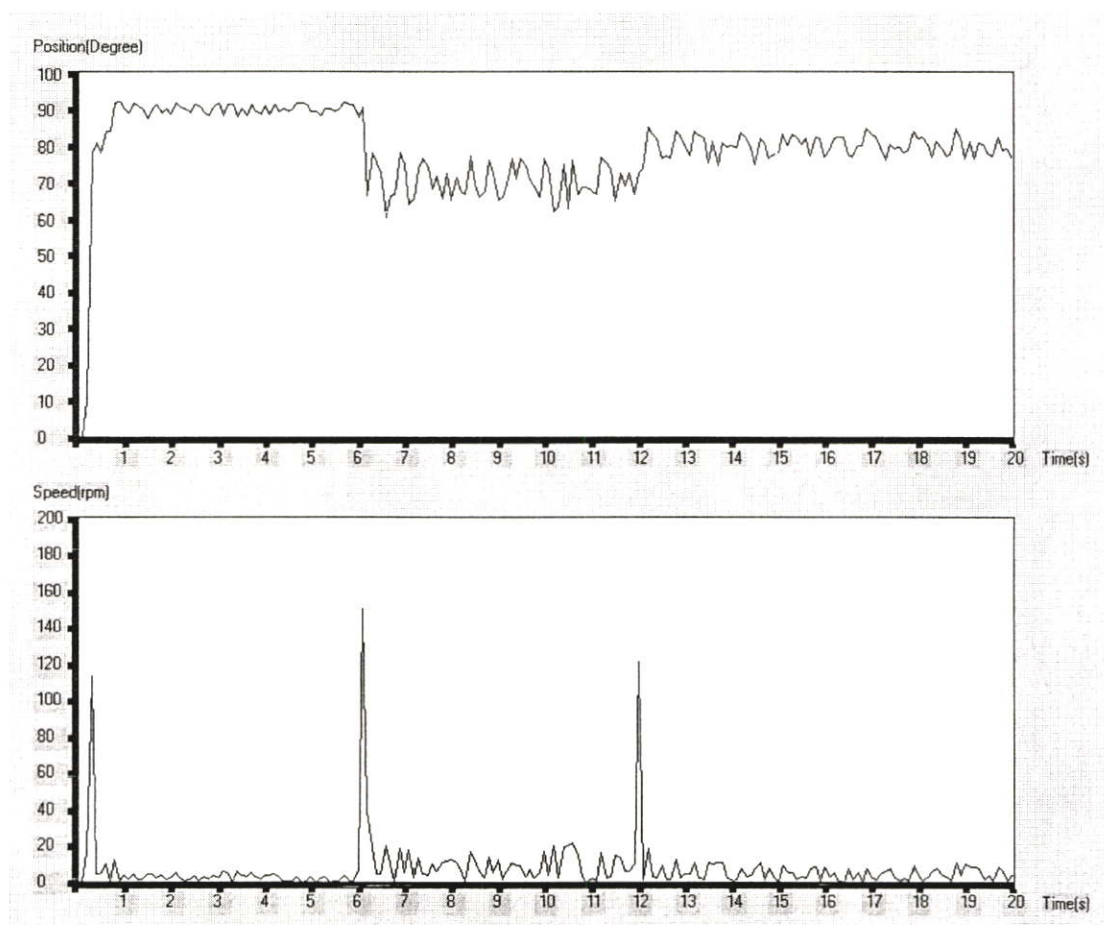


รูปที่ 4.86 ระนาบเฟสความผิดพลาดของระบบจริงที่สอดคล้องกับการตอบสนองการควบคุมตำแหน่งมอเตอร์ของแขนกลแบบข้อต่ออ่อนตัวค่าเป้าหมายที่ 90, 70, 80 องศาของรูปที่ 4.84

จากรูปที่ 4.84 จะเห็นได้ว่าการเพิ่มสัญญาณรบกวนอลวนขณะควบคุมแกนกลแบบข้อต่ออ่อนตัวจะเห็นได้ว่าระบบมีการแกว่งของค่าเป้าหมายและค่าแรงดันในรูปที่ 4.85 มีการแกว่งไม่มีความราบเรียบซึ่งสอดคล้องกับระนาบเฟสผิดพลาดในรูปที่ 4.86 ซึ่งจะทำให้การขจัดสัญญาณรบกวนอลวนในหัวข้อต่อไป

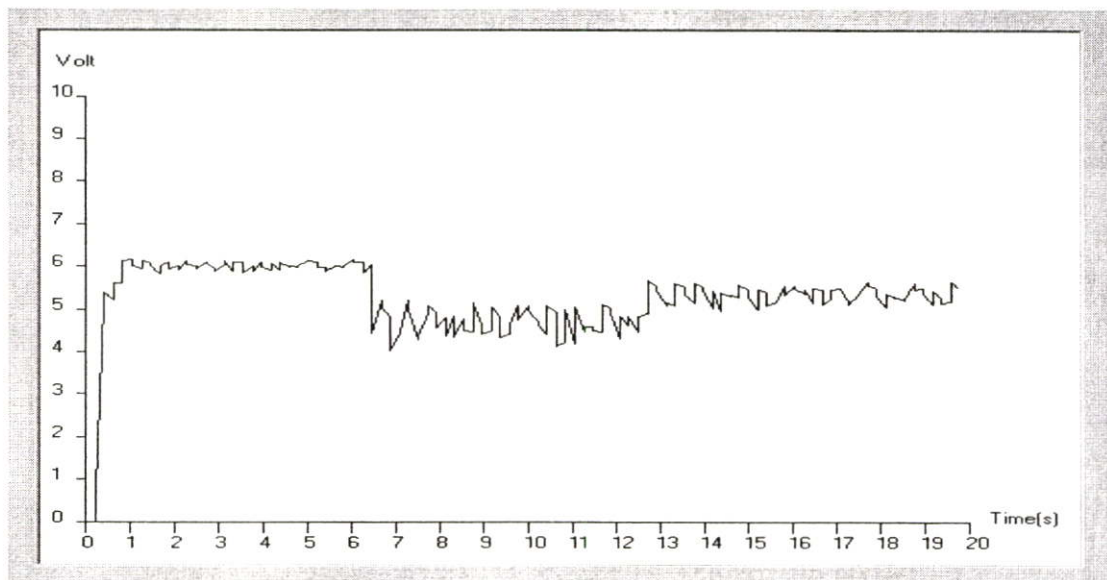
4.5.10 ผลตอบสนองระบบจริงแบบ dynamics ของตัวควบคุมพีชชีฟิสแควร์ไอดีปรับแต่งค่าพารามิเตอร์ด้วยวิธีการทางพันธุศาสตร์ขณะขจัดสัญญาณรบกวนอลวน logistic map ของแกนกลแบบข้อต่ออ่อนตัวโดยกำหนดค่าเป้าหมายให้เปลี่ยนแปลงจาก 90, 70, 80 องศาตามลำดับ

การทดลองในรูปที่ 4.87 เป็นการทดลองขจัดสัญญาณรบกวนอลวนของตัวควบคุมพีชชีฟิสแควร์ไอดีที่ปรับแต่งพารามิเตอร์ด้วยวิธีการทางพันธุศาสตร์

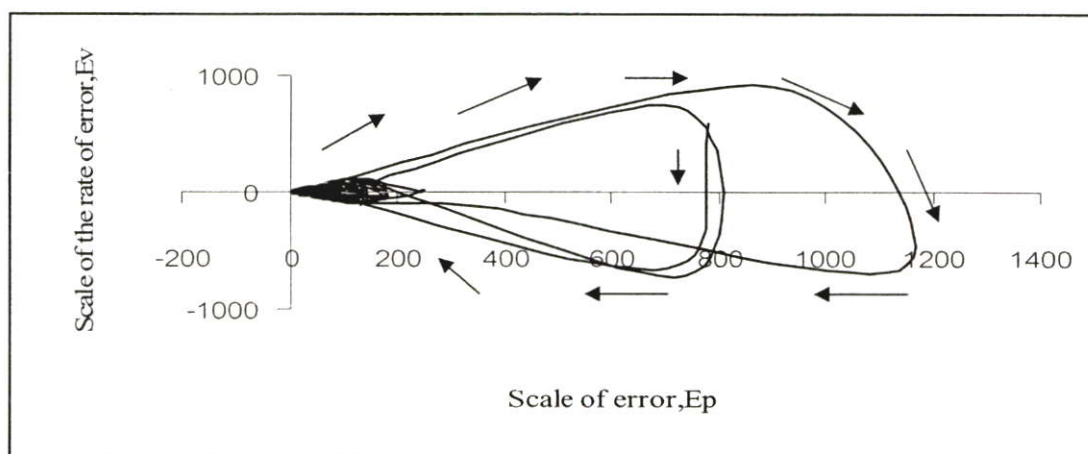


รูปที่ 4.87 ผลทดลองระบบจริงแบบ dynamics การควบคุมตำแหน่งมอเตอร์ของแกนกลแบบข้อต่ออ่อนตัวขณะขจัดสัญญาณรบกวนอลวนค่าเป้าหมายที่ 90, 70, 80 องศา ปรับแต่งค่าพารามิเตอร์ด้วยวิธีการทางพันธุศาสตร์

ในรูปที่ 4.88 เป็นผลสัญญาณของระบบจริงแบบ dynamics การควบคุมตำแหน่งมอเตอร์ของแขนกลแบบข้อต่ออ่อนตัวค่าเป้าหมายที่ 90, 70 และ 80 องศาขณะขจัดสัญญาณรบกวนของรูปที่ 4.87 จะเห็นได้ว่าการแกว่งของแรงดันตามผลตอบสนองสอดคล้องตามในรูปที่ 4.87 และระนาบเฟสความผิดพลาดมีการวนรอบตามค่าเป้าหมายที่เปลี่ยนแปลงดังในรูปที่ 4.89



รูปที่ 4.88 ผลสัญญาณทางเอาต์พุตของระบบจริงแบบ dynamics การตอบสนองการควบคุมตำแหน่งมอเตอร์ของแขนกลแบบข้อต่ออ่อนตัวค่าเป้าหมายที่ 90, 70, 80 องศาของรูปที่ 4.87



รูปที่ 4.89 ระนาบเฟสความผิดพลาดของระบบจริงที่สอดคล้องกับการตอบสนองการควบคุมตำแหน่งมอเตอร์ของแขนกลแบบข้อต่ออ่อนตัวค่าเป้าหมายที่ 90, 70, 80 องศาของรูปที่ 4.87

จากรูปที่ 4.87 จะเห็นว่าผลของการขจัดสัญญาณรบกวนอลวนที่ปรับค่าพารามิเตอร์ด้วยวิธีทางพันธุศาสตร์ของค่าเป้าหมายที่เปลี่ยนแปลงจาก 90, 70 และ 80 มีค่าการแกว่งของสัญญาณรบกวนที่เวลา 1 วินาทีมีค่าลดลงเมื่อเทียบกับรูปที่ 4.84 และค่าแรงดันที่ได้จากรูปที่ 4.88 ก็มีค่าพุ่งเกินระยะเวลาที่ 1 วินาทีน้อยกว่ารูปที่ 4.85 อีกทั้งระนาบเฟสผิดพลาดของผลตอบสนองมีการวนรอบที่น้อยกว่า

บทที่ 5

สรุปผลการวิจัยและข้อเสนอแนะ

งานวิจัยนี้เป็นการนำเสนอการสร้างจริงและการประยุกต์ตัวควบคุมแบบฟัซซีฟีสแควร์ไอดีที่ปรับค่าพารามิเตอร์ให้เหมาะสมด้วยวิธีการทางพันธุศาสตร์ มาทำการควบคุมแขนกลแบบข้อต่ออ่อนตัว (Flexible-joint robot arm) เพื่อเป็นแนวทางในการพัฒนาเทคโนโลยีทางด้านหุ่นยนต์และเครื่องจักรกลอัตโนมัติ โดยมีการเปรียบเทียบผลการทดลองการควบคุมตำแหน่งของแขนกลที่ได้ระหว่างการใช้ตัวควบคุมฟัซซีฟีสแควร์ไอดีที่ปรับค่าพารามิเตอร์โดยผู้ใช้ กับการใช้ตัวควบคุมแบบฟัซซีฟีสแควร์ไอดีที่ปรับค่าพารามิเตอร์ให้เหมาะสมด้วยวิธีการทางพันธุศาสตร์ มาควบคุมระบบ อีกทั้งยังทดสอบประสิทธิภาพของตัวควบคุมดังกล่าว โดยมีการเพิ่มสัญญาณรบกวนลงให้กับระบบ โดยการจำลองด้วยคอมพิวเตอร์และนำมาทดลองโดยการสร้างจริง

5.1 สรุปผลการทดลอง

จากการทดลองด้วยคอมพิวเตอร์และสร้างจริงในบทที่ 4 พบว่าการใช้ตัวควบคุมแบบฟัซซีฟีสแควร์ไอดีที่ปรับค่าพารามิเตอร์ด้วยวิธีการทางพันธุศาสตร์นั้น ให้ผลตอบสนองที่ดีกว่าการปรับโดยผู้ใช้งานและยังมีความรวดเร็วแม่นยำยิ่งกว่า ซึ่งจากการทดลองจำลองผลด้วยคอมพิวเตอร์กับผลการทดลองจากงานจริงพบว่าผลการทดลองทั้งสองแบบนี้ให้ผลตอบสนองที่สอดคล้องกัน และในส่วนของ การเพิ่มสัญญาณรบกวนให้กับระบบนั้นพบว่าในงานจริง ค่าเป้าหมายที่ 70 องศา จะมีค่าความผิดพลาดที่มากกว่า 80 และ 90 องศา เนื่องจากมีตำแหน่งองศาที่น้อยกว่าทำให้การดึงของสัญญาณรบกวนอลวนสามารถรบกวนได้มากกว่า แต่หลังจากทำการขจัดสัญญาณรบกวนอลวน logistic map ด้วยวิธีการทางพันธุศาสตร์นั้นพบว่าสามารถขจัดสัญญาณรบกวนอลวน logistic map ในขอบเขตที่สามารถยอมรับได้ในระบบควบคุม

5.2 ข้อเสนอแนะในการวิจัย

- ถ้าต้องการให้ระบบทำงานได้ดีกว่านี้จำเป็นต้องใช้ตัวด้านทานปรับค่าได้ที่มีความละเอียดมากกว่านี้ซึ่งจะทำให้ระบบทำงานได้ราบรื่นยิ่งขึ้น
- ในการปรับแต่งค่าพารามิเตอร์ของตัวควบคุมแบบฟัซซีฟีสแควร์ไอดีที่ปรับค่าพารามิเตอร์ให้เหมาะสมด้วยวิธีการทางพันธุศาสตร์ต้องทำความเข้าใจพฤติกรรม

ของค่าพารามิเตอร์แต่ละตัวว่าส่งผลกับระบบอย่างไรบ้าง ซึ่งมีความจำเป็นต่อการตั้งค่าเริ่มต้นของการปรับแต่งพารามิเตอร์ด้วยวิธีการทางพันธุศาสตร์และมีผลทำให้การปรับแต่งค่าพารามิเตอร์นั้นได้ค่าที่เหมาะสมได้รวดเร็วและมีประสิทธิภาพมากขึ้น

5.3 ปัญหาที่พบในงานวิจัย

การคิดต่อระหว่าง hardware จริงกับคอมพิวเตอร์ยังมีความล่าช้าอยู่ในบางขณะที่ทำการทดลองโดยจะพบได้ในขณะที่ทำการเพิ่มสัญญาณรบกวนให้กับระบบ

5.4 แนวทางการพัฒนาในอนาคต

ในการวิจัยนี้ใช้ตัวควบคุมแบบฟuzzyพีสแควร์โอดีที่ปรับค่าพารามิเตอร์ด้วยวิธีการทางพันธุศาสตร์ที่ปรับแต่งด้วยการจำลองจากคอมพิวเตอร์ก่อนแล้วค่อยนำมาใช้กับระบบจริงซึ่งเรียกวิธีการแบบนี้ว่าเป็น Off-line ซึ่งในการปรับปรุงในอนาคตจะพัฒนาให้เป็นแบบ On-line เพื่อให้สามารถใช้งานแบบเวลาจริง(Real-Time) ได้ หรือในการปรับแต่งค่าพารามิเตอร์ของตัวควบคุมฟuzzyพีสแควร์โอดีนั้นอาจใช้โครงข่ายประสาทเทียม (Neural Network) เข้ามาปรับแต่งค่าพารามิเตอร์ควบคู่ไปด้วยกันได้เพื่อให้ได้ค่าที่เหมาะสมที่ดียิ่งขึ้น

เอกสารอ้างอิง

- [1] K.S. Tang, Kim F. Man, G. Chen and S. Kwong, "A GA-Optimized Fuzzy PD+I Controller for Nonlinear Systems". *The 27th Annual Conference of the IEEE Industrial Electronics Society*, pp.718-723, 2001.
- [2] T. Onboonare , S. Charumartphan and P . Sooraksa, "A Geno-Fuzzy P²ID Controller For Mobile Robots". *Processdings of the Third Asian Conference on Industrial Automation and Robotics*, Bangkok, Thailand, pp. 189-192, May.8-9, 2003.
- [3] H.A. Malki, H Li and G. Chen, "New Design and Stability Analysis of Fuzzy Proportional- Derivative Control Systems". *IEEE Transaction on Fuzzy Systems*, Nov., pp. 245-254, 1994.
- [4] P. Sooraksa, T Pattaradej and G. Chen, " Design and implementation of fuzzy P²ID controller for handlebar control of a bicycle robot". *Integrated Computer-Aides Engineering*, vol.9, no. 4, pp. 319-331, 2002.
- [5] G. Chen and Hao Ying, "Stability analysis of nonlinear fuzzy PI control systems". *Third International Conference on Industrial Fuzzy Control and Intelligent Systems*, pp.128 – 133, Dec, 1-3,1993.
- [6] K.F. Man , K.S. Tang and S. Kwong, *Genetic Algorithms Concepts and Designs*, Springer-verlay, London, U.K.
- [7] D.E. Goldberg, *Genetic Algorithm in Search Optimization and Machine Learning*, Addison Wesley Publishing Company, New York.
- [8] A. H. Wright, *Genetic Algorithm for Real Parameter Optimization* in *Foundation of Genetic Algorithm*, J. E. Rawlins (Ed.), Morgan Kaufmann.
- [9] R.C. Hilborn, *Chaos and Nonlinear Dynamics An Introduction for Scientists and Engineers* , 2nd ED, New York : Oxford University Press, Inc, 2000.
- [10] H.A. Malki, D. Misir, D. Feigenspan, and G. Chen, "Fuzzy PID Control of a Flexible-Joint Robot Arm with Uncertainties from Time-Varying Loads". *IEEE Transaction on Control Systems Technology*, pp.371-378, May, 1997.

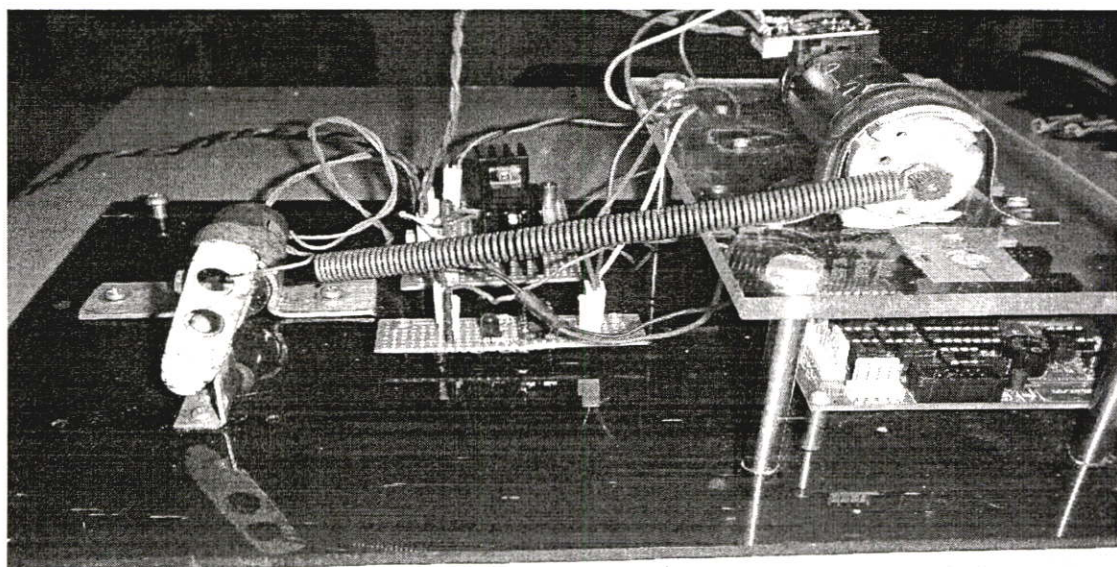
- [11] M.C. Readman, Flexible Joint Robots, Florida : CRC Press, Inc, 2000.
- [12] R.D. Klafter, T.A. Chmielewski, and M. Negin, Robotic Engineering An Integrated Approach , New Jersey : Prentice-Hall, Inc, 1989.
- [13] R. J. Vaccaro, Digital Control A State-Space Approach. International Editions. Singapore : McGraw-Hill, Inc, 1995.
- [14] W.R. Kolk, R.A. Lerman, Nonlinear System Dynamics. New York : Van Nostrand Reinhold, Inc, 1992.
- [15] F.L. Lewis, C.T. Abdallah, and D.M. Dawson. Control of Robot Manipulators. New York : Macmillan Publishing Company, Inc. 1993.
- [16] B. Friedland. Control System Design. Singapore : McGraw-Hill, Inc, 1987.

ภาคผนวก

ภาคผนวก ก

การควบคุมความเร็วมอเตอร์

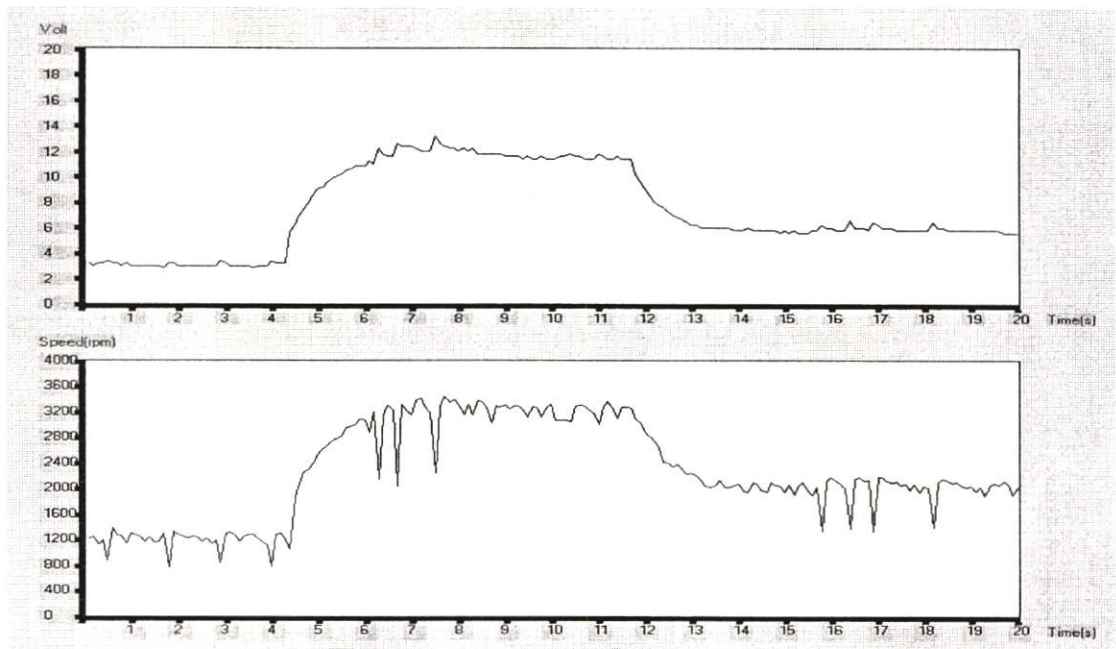
การทดลองนี้เป็นการนำตัวควบคุมแบบฟัซซีฟิสแควร์ไอดีที่ปรับค่าพารามิเตอร์ ให้เหมาะสมด้วยวิธีการทางพันธุศาสตร์มาทำการทดลองปรับความเร็วรอบของมอเตอร์ โดยทำการเปรียบเทียบ ผลการทดลองที่ได้ระหว่างการปรับความเร็วรอบของมอเตอร์ขณะที่มีสัญญาณรบกวนคลื่น logistic map กับผลการทดลองจากการที่ขจัดสัญญาณรบกวนคลื่นแล้ว โดยรูปที่ ผ.ก.1 เป็นรูปจากงานจริง



รูปที่ ผ.ก.1 รูปงานจริงในการควบคุมความเร็วมอเตอร์

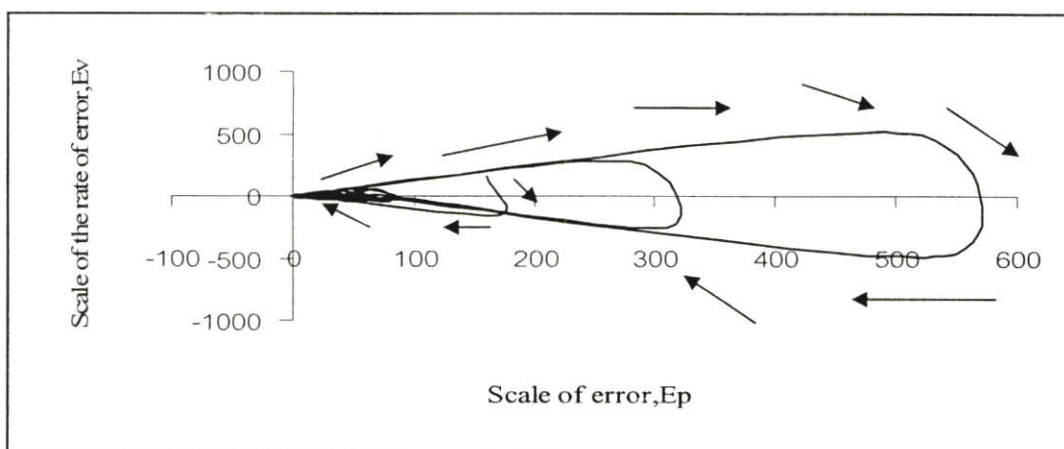
ผ.ก.1 การทดลองตัวควบคุมแบบฟัซซีฟิสแควร์ไอดีที่ปรับค่าพารามิเตอร์ด้วยวิธีการทางพันธุศาสตร์ขณะเพิ่มสัญญาณรบกวนคลื่นค่าเป้าหมายเปลี่ยนแปลงตามเวลาที่ 1200, 3200 และ 2000 รอบต่อนาที

ในรูปที่ ผ.ก.2 เป็นผลการทดลองของตัวควบคุมแบบฟัซซีฟิสแควร์ไอดีที่ปรับค่าด้วยวิธีการทางพันธุศาสตร์ขณะเพิ่มสัญญาณรบกวนคลื่น ค่าเป้าหมายเปลี่ยนแปลงตามเวลาที่ 1,200, 3,200 และ 2,000 รอบต่อนาที ที่ประกอบไปด้วยผลตอบสนองของความเร็วมอเตอร์กับแรงดันที่จ่ายให้มอเตอร์



รูปที่ ผ.ก.2 ผลตอบสนองของตัวควบคุมแบบฟัซซี่พีสแควร์ไอดีที่ปรับค่าด้วยวิธีการทางพันธุศาสตร์ขณะเพิ่มสัญญาณรบกวนอลวน ค่าเป้าหมายเปลี่ยนแปลงตามเวลาที่ 1,200, 3,200 และ 2,000 รอบต่อนาที

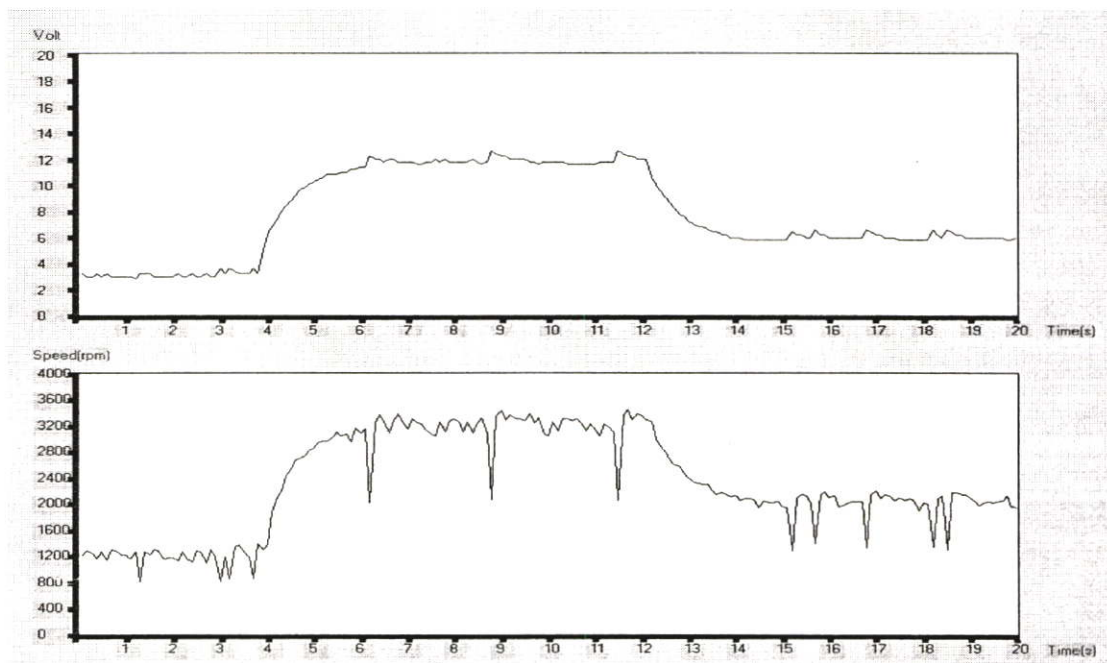
ในรูปที่ ผ.ก.3 เป็นผลระนาบเฟสความผิดพลาดของตัวควบคุมแบบฟัซซี่พีสแควร์ไอดีที่ปรับค่าพารามิเตอร์ ด้วยวิธีการทางพันธุศาสตร์ขณะเพิ่มสัญญาณรบกวนอลวนค่าเป้าหมายเปลี่ยนแปลงตามเวลาที่ 1,200, 3,200 และ 2,000 รอบต่อนาที



รูปที่ ผ.ก.3 ระนาบเฟสผิดพลาดผลตอบสนองของตัวควบคุมแบบฟัซซี่พีสแควร์ไอดีที่ปรับค่าด้วยวิธีการทางพันธุศาสตร์ขณะเพิ่มสัญญาณรบกวนอลวน ค่าเป้าหมายเปลี่ยนแปลงตามเวลาที่ 1,200, 3,200 และ 2,000 รอบต่อนาที

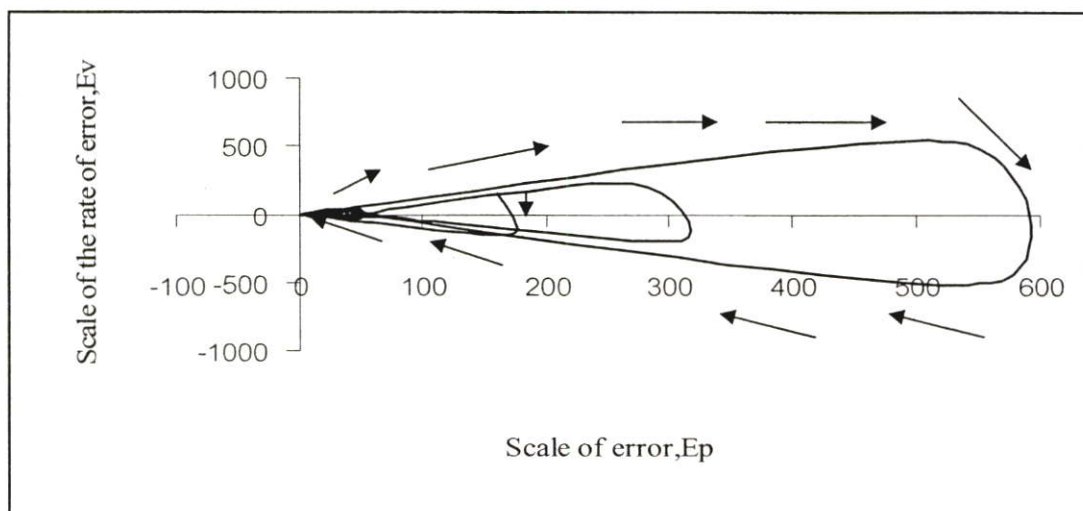
**ผ.ก.2 การทดลองตัวควบคุมแบบพีชซีพีสแควร์ไอดีที่ปรับค่าพารามิเตอร์ด้วยวิธีการทาง
พันธุศาสตร์ขณะจัดสัญญาณรบกวนลวนค่าเป้าหมายเปลี่ยนแปลงตามเวลาที่
1200, 3200 และ 2000 รอบต่อนาที**

ในรูปที่ ผ.ก.4 เป็นผลการทดลองของตัวควบคุมแบบพีชซีพีสแควร์ไอดีที่ปรับค่าด้วย
วิธีการทางพันธุศาสตร์ขณะจัดสัญญาณรบกวนลวน ค่าเป้าหมายเปลี่ยนแปลงตามเวลาที่ 1,200,
3,200 และ 2,000 รอบต่อนาที ที่ประกอบไปด้วยผลตอบสนองของความเร็วมอเตอร์กับแรงดันที่
จ่ายให้มอเตอร์



รูปที่ ผ.ก.4 ผลตอบสนองของตัวควบคุมแบบพีชซีพีสแควร์ไอดีที่ปรับค่าด้วยวิธีการทางพันธุศาสตร์ขณะจัดสัญญาณรบกวนลวน ค่าเป้าหมายเปลี่ยนแปลงตามเวลาที่ 1,200, 3,200 และ 2,000 รอบต่อนาที

ในรูปที่ ผ.ก.5 เป็นผลระนาบเฟสความผิดพลาดของตัวควบคุมแบบพีชซีพีสแควร์ไอดีที่
ปรับค่าด้วยวิธีการทางพันธุศาสตร์ขณะจัดสัญญาณรบกวนลวน ค่าเป้าหมายเปลี่ยนแปลงตาม
เวลาที่ 1,200, 3,200 และ 2,000 รอบต่อนาที



รูปที่ ผ.ก.5 ระนาบเฟสผิดพลาดผลตอบสนองของตัวควบคุมแบบพีซีพีแอสควร์ไอดีที่ปรับค่าด้วยวิธีการทางพันธุศาสตร์ขณะขจัดสัญญาณรบกวนอลวน ค่าเป้าหมายเปลี่ยนแปลงตามเวลาที่ 1,200, 3,200 และ 2,000 รอบต่อนาที

จากผลการทดลองในรูปที่ ผ.ก.2 ซึ่งเป็นผลการทดลองตัวควบคุมแบบพีซีพีแอสควร์ไอดีที่ปรับค่าพารามิเตอร์ด้วยวิธีการทางพันธุศาสตร์ขณะเพิ่มสัญญาณรบกวนอลวน ค่าเป้าหมายเปลี่ยนแปลงตามเวลาที่ 1,200, 3,200 และ 2,000 รอบต่อนาที ซึ่งจะเห็นได้ว่าการแกว่งของสัญญาณมากอยู่ในช่วงเวลาที่ 1 ถึง 4 วินาทีแรกที่เริ่มสตาร์ทระบบเมื่อเทียบกับในรูปที่ ผ.ก.4 ซึ่งได้ทำการขจัดสัญญาณรบกวนอลวนแล้วและค่าระนาบเฟสผิดพลาดในรูปที่ ผ.ก.3 และ ผ.ก.5 ค่าที่ได้มีความใกล้เคียงกันมากคือไม่สามารถที่จะลู่เข้าสู่จุดกำเนิดได้ แต่การใช้ตัวควบคุมแบบพีซีพีแอสควร์ไอดีที่ปรับค่าพารามิเตอร์ด้วยวิธีการทางพันธุศาสตร์มาปรับความเร็วรอบของมอเตอร์ สามารถให้ผลที่ดีกว่าการปรับแต่งโดยผู้ใช้และขจัดสัญญาณรบกวนได้

ภาคผนวก ข

ผลงานทางวิชาการที่ได้รับการตีพิมพ์

- [1] T. Tangcharoensuk, B. Purahong and P. Sooraksa, “Geno-fuzzy P²ID Control System for Flexible-joint Robot Arm” 2005 ECTI International Conference, pp.461-464,2005.

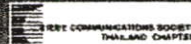
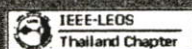
ECTI-CON 2005

The 2005 ECTI International Conference



Proceedings of the 2005 Electrical Engineering, Electronics, Computer, Telecommunications, and Information Technology (ECTI) International Conference

May 12-13, 2005
Asia Pattaya Beach Hotel, Pattaya, Chonburi, THAILAND



Geno-fuzzy P²ID Control System for Flexible-joint Robot Arm

Teranun Tangcharoensuk

Teranun Tangcharoensuk, Boonchana Purahong, Pitikhate Sooraksa,
Department of Information Engineering, Faculty of Engineering King Mongkut's Institute of Technology Ladkrabang,
Chalongsong .Rd., Ladkrabang, Bangkok, Thailand 10520.
E-mail: ball_club2@yahoo.com, yuna001@gmail.com, kspitikh@kmitl.ac.th

ABSTRACT

This paper presents a Geno-fuzzy P²ID control system for the flexible-joint robot arm. This controller is designed based on the parameter adjustment using fuzzy logic and genetic algorithms. According to the simulations, the better performance has been achieved acquired that the robot moved smoothly and met its required objectives.

Keywords: Genetic Algorithm (GA), Fuzzy P²ID Controller, Flexible-joint Robot Arm

1. INTRODUCTION

Smooth movements of the flexible-joint robot arm are depend on the controller that can indicate every specific moment. Because those movements are non-linear, if we use the controller which is suited the non-linear system, it will increase the system's efficiency [1]. Therefore, this paper presents the fuzzy P²ID that can adjust for appropriate parameters using genetic algorithm(GA) to control the arm's movements.

In general, the parameters adjustment usually is usually modified by the users, but this method takes too much time to obtain appropriate results. Since this type of controller has many parameters for tuning, using GA would be worthwhile in order to search for fruitful results. Detail development of the controller can be found in [2]. This paper aims to apply the method to control a flexible-joint robot arm for smooth and accurate movements. Next sections provides a brief detail behind the ideas.

2. FUZZY P²ID CONTROLLER

Fuzzy P²ID controller is the coordination between the fuzzy PI and fuzzy PD controllers, which both controllers will process parallel to each other. Those controllers will be proscribed by a switch that chooses which controller will be in charged. As soon as the system starts, the fuzzy PD controller gives the faster rise time comparing with fuzzy PI controller [3]. Then the process will reach the designed exchange point, the system will swap the control to the fuzzy PI controller because it provides the better output at steady state [4]. When the process reaches the indicated point as the stabilized condition, the fuzzy PI controller will be terminated, and if the output of the process is not in the steady state which means lower

than 90 percents of the projected resulted, the fuzzy PD controller will stand by to take control. For this reason, this process is called fuzzy P²ID control system.

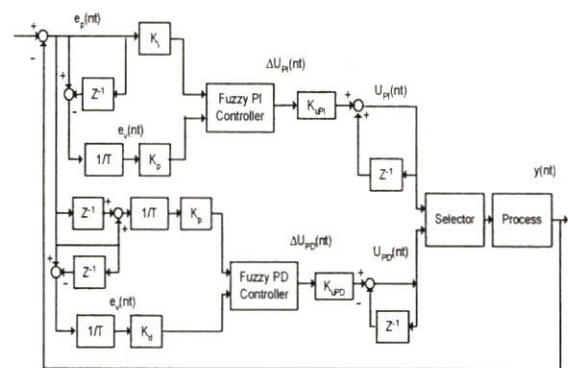


Fig.1: Fuzzy P²ID Control System

3. GENETIC ALGORITHMS

Genetic Algorithms [5-7] were duplicated from the natural evolutions. This method is efficiently applied to the problem solving; the importance of the method relies on how many potential members will survive as the suitable potentials to solve problems. Each generation will be created by population selection, and each member has the limited potential for fitting the problems' boundaries. Also, this method is combined with the genetic operation, which the best result will come for the last survived member.

Genetic operation is consisted of selection, recombination, mutation, and reinsertion. The first procedure initiates with the population creation randomly, the size of population depends on the problems. Next procedure is determining each member by using the objective function, or targeting function, which will not be restricted, it depends on types of problems to be solved. Then, there will be the inspection, if it doesn't find the answer; it will start creating the next generation members by obtaining the parent members which were selected from the fitness values. The selected parent members will be mixed together, and then all offspring will be mutated by using probability and then finding the value of each offspring and then bringing 3-6 best of them to replace the parent members as the next generation. This will be cycling like this till it finds the appropriate values.

The chromosome's length has eight variables which consisted of the fuzzy PD controller that has objected parameters: they are Kpd, Kd, Ld, Kupd, fuzzy PI controller, Kpi, Ki, Li, Kupi, which will give $I = \{Kpd, Kd, Ld, Kupd, Kpi, Ki, Li, Kupi\}$ by substituting the values and the restriction of the parameters with the real numbers and the initial value of the parameter for starting the program. The initial parameter value is the initial population at 30, and the maximum generated value is at 30.

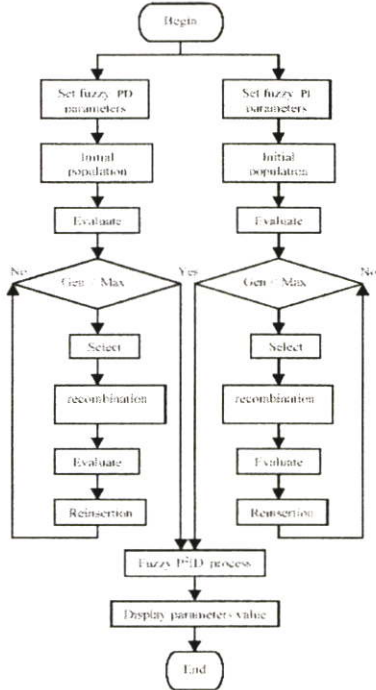


Fig.2: Flow chart of the GA Program for Fuzzy P²ID Controller

4. FLEXIBLE-JOINT ROBOT ARM

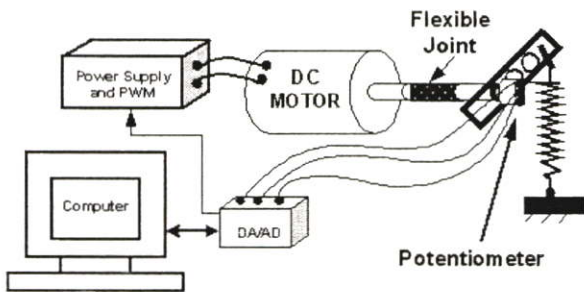


Fig.3: Flexible-joint Robot Arm Model

The mathematical model [8] from "Fig. 3:" is shown as these following equations

$$\begin{aligned}
 I_1 \ddot{\theta}_1(t) + M(t) \ell g \sin[\theta_1(t)] + \tilde{k} [\theta_1(t) - \theta_2(t)] &= 0 \\
 I_2 \ddot{\theta}_2(t) - \tilde{k} [\theta_1(t) - \theta_2(t)] &= u(t)
 \end{aligned}
 \tag{1}$$

In which I_1 is the arm's rotational inertia, I_2 is the rotor inertia of the motor, $\theta_1(t)$ is the changing angle of the arm is angle of the motor's comparing with vertical axis, $\theta_2(t)$ is the changing angle of the rotor of motor axis, $u(t)$ is motor's torque, \tilde{k} is spring constant which used as the joint of the arm, $M(t)$ is the total mass of the arm varies by time which is the spring joining the arm, ℓ is the distance from the center of the rotational axis, g is gravity of the earth.

5. SIMULATION AND RESULTS

The simulation is the application of the fuzzy P²ID idealistic which adjusted the parameter values suited with the genetic algorithm in order to control the movements of the flexible-joint robot arm from equation (1)

There are two parts in this simulation; the first part uses the fuzzy P²ID controller which has not been adjusted the parameter values with the genetic algorithm as shown in table 1, the second part uses the fuzzy P²ID controller which has been adjusted the parameter values with the genetic algorithm as shown in table 3. Then, comparing the results from both parts and determining the efficiency which indicated in table 2 and 4.

Table 1: Parameter Values Acquired from the Fuzzy P²ID Controller which has not been Adjusted the Parameter Values with the Genetic Algorithm.

Given $I_1 = 0.030(kgm^2)$, $I_2 = 0.001(kgm^2)$, $\tilde{k} = 31(Nm/rad)$, $Mg \ell = 0.8(Nm)$, Set point (degree) = 100, 180, Sampling Time (T_s) = 0.01xsec

Setpoint (degree)	Kpd	Kd	Kupd	Ld
100	2	3	15	50
180	2	3	17	70
Setpoint (degree)	Kpi	Ki	Kupi	Li
100	1	5	1	40
180	5	8	2	50

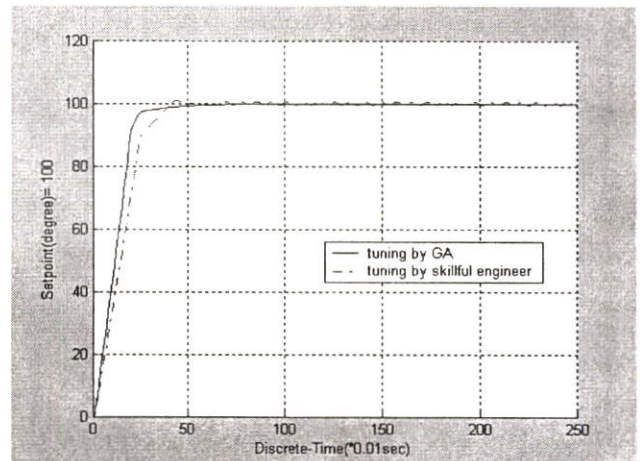


Fig.4: The Comparison of Controlled Position Reaction Acquired from Fuzzy P²ID Controller which has not been Adjusted the Parameter Values with the Genetic Algorithm. The Targeted Values = 100

Table 2: Performance of the Fuzzy P²ID Controller which has been Manually Adjusted Parameters by a Skillful Engineer.

Setpoint (degree)	Rise time (s)	Setting time (s)	Overshoot (%)
100	0.2134	0.3833	1
180	0.2422	0.3553	1.16

Table 3: Parameter Values Acquired from the Fuzzy P²ID Controller which has been Adjusted the Parameter Values with the Genetic Algorithm.

Given, $I_1 = 0.030(kgm^2)$, $I_2 = 0.001(kgm^2)$, $\tilde{k} = 31(Nm/rad)$, $Mg\ell = 0.8(Nm)$, Set point (degree) = 100, 180, Sampling Time(T_s) = 0.01xsec

Setpoint (degree)	Kpd	Kd	Kupd	Ld
100	2.7762	3.1111	19.2384	50
180	10.7762	5.1111	19.34	70
Setpoint (degree)	Kpi	Ki	Kupi	Li
100	0.9703	0.0211	2.3158	40
180	0.9703	0.0211	2.5	50

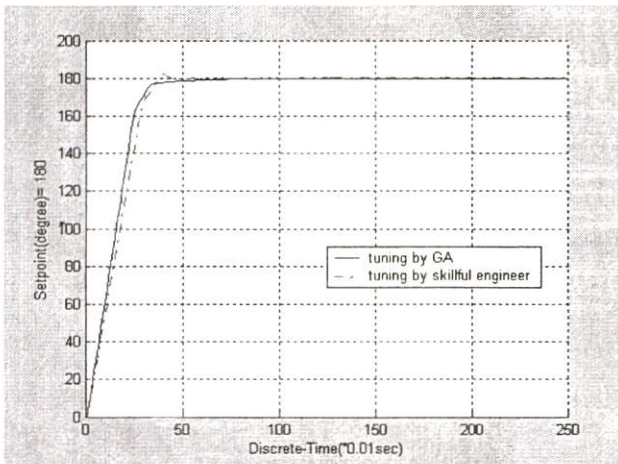


Fig.5: The Comparison of Controlled Position Reaction Acquired from Fuzzy P²ID Controller which has not been Adjusted the Parameter Values with the Genetic algorithm. The Targeted Values = 180

Table 4: Performance of the Fuzzy P²ID Controller which has been Adjusted the Parameters using the Genetic Algorithm.

Setpoint (degree)	Rise time (s)	Setting time (s)	Overshoot (%)
100	0.1663	0.3234	0
180	0.2127	0.3346	0

6. CONCLUSION

Table 2 and 4 show that the application of the fuzzy P²ID controller which has adjusted the parameter values with the genetic algorithm brought up the satisfied results. The rise time and setting time are small, and the overshoot value is significantly small. It means that this idea has high efficiency in controlling the arm movements which

creates the accurate and smooth arm's movements. Furthermore, the results shows that this idea brought up low errors.

Performance comparison between the manually adjusted parameters and the genetic algorithm concludes that the genetic algorithm method provides more precision results and less rise time than the counterpart.

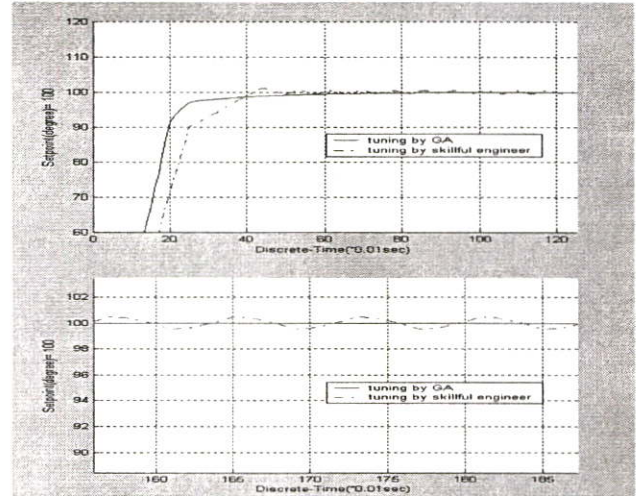


Fig.6: Zoom in from "Fig. 4:"

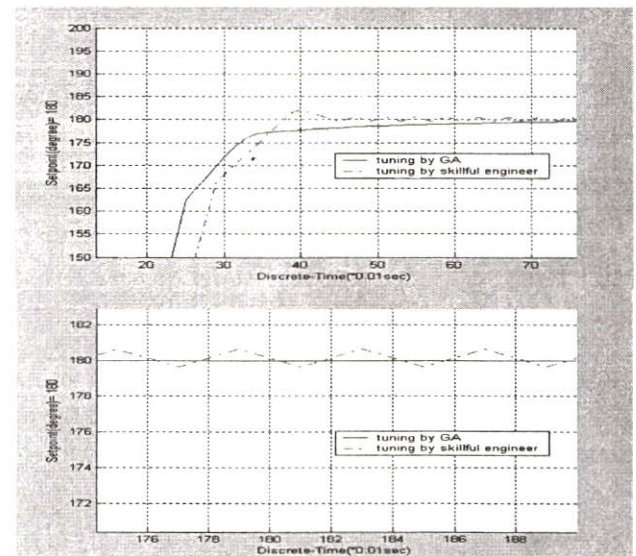


Fig.7: Zoom in from "Fig. 5:"

7. REFERENCES

- [1] K.S. Tang, Kim F. Man, Guanrong Chen and Sam Kwong, A GA-Optimized Fuzzy PD+I Controller for Nonlinear Systems. *The 27th Annual Conference of the IEEE Industrial Electronics Society*, pp.718-723,2001.
- [2] T. Onboonare , S, Charumartphan and P . Sooraksa, A Geno-Fuzzy P²ID Controller For Mobile Robots. *Proceedings of the Third Asian Conference on Industrial Automation and Robotics*, Bangkok, Thailand,pp. 189-192, May. 8-9, 2003.
- [3] Heidar A. Malki, Huaidong Li.,Guanrong Chen, New Design and Stability Analysis of Fuzzy Proportional-Derivative Control Systems. *IEEE Transaction on Fuzzy Systems*, Nov.,pp. 245-254, 1994.

- [4] Guanrong Chen, Hao Ying, 1993. Stability analysis of nonlinear fuzzy PI control systems. *Third International Conference on Industrial Fuzzy Control and Intelligent Systems*, pp.128 – 133, Dec. 1-3,1993.
- [5] K.F. man , K.S. Tang and S. Kwong. 1989. Genetic Algorithms Concepts and Designs, Springer-verlay, London, U.K.
- [6] David E Goldberg. 1989. Genetic Algorithm in Search Optimization and Machine Learning, Addison Wesley Publishing Company, New York.
- [7] A. H. Wright. 1991. Genetic Algorithm for Real Parameter Optimization In Foundation of Genetic Algorithm, J. E. Rawlins (Ed.), Morgan Kaufmann.
- [8] Heidar A. Malki, Dave Misir, Denny Feigenspan, and Guanrong Chen, 1997. Fuzzy PID Control of a Flexible-Joint Robot Arm with Uncertainties from Time-Varying Loads. *IEEE Transaction on Control Systems Technology*, pp.371-378, May. 1997.

ประวัติผู้เขียน

ชื่อ-นามสกุล	นายธีรนนท์ ตั้งเจริญสุข
วัน เดือน ปีเกิด	31 พฤษภาคม 2523
ที่อยู่	2/33 หมู่ 3 ต.นครชัยศรี อ.นครชัยศรี จ.นครปฐม
ประวัติการศึกษา	2541 ประกาศนียบัตรวิชาชีพ วิทยาลัยเทคนิคนครปฐม 2543 ประกาศนียบัตรวิชาชีพชั้นสูง สถาบันเทคโนโลยีราชมงคล วิทยาเขตพระนครเหนือ 2545 อุตสาหกรรมศาสตรบัณฑิต สาขาวิชาเทคโนโลยีอิเล็กทรอนิกส์ สถาบันเทคโนโลยีพระจอมเกล้าเจ้าคุณทหารลาดกระบัง
ประสบการณ์การทำงาน	
ปัจจุบัน	ตำแหน่งวิศวกร ฝ่าย Core network แผนก Implementation & Improvement บริษัท Total Access Communication PLC. (DTAC)